



วารสาร มทร.อีสาน

ฉบับวิทยาศาสตร์และเทคโนโลยี

ISSN 2672-9369 (Online)

ปีที่ 14 ฉบับที่ 1 มกราคม - เมษายน 2564



วารสาร มทร.อีสาน ได้รับการประเมินคุณภาพให้อยู่ในฐานข้อมูลของ
ศูนย์ต้นน้ำการอ้างอิงวารสารไทย (TCI) กลุ่มที่ 2

วารสาร มทร.อีสาน ดับบลิวทีกาศาสตร์และเทคโนโลยี

RMUTI JOURNAL Science and Technology

มหาวิทยาลัยเทคโนโลยีราชมงคลอีสาน

Rajamangala University of Technology Isan (RMUTI)

วัตถุประสงค์

- เพื่อเป็นสื่อกลางในการแลกเปลี่ยนองค์ความรู้ด้านวิชาการ ด้านงานวิจัย และลิ่งประดิษฐ์ระหว่างนักวิชาการ และนักวิจัยกับผู้ที่สนใจทั่วไป
- เพื่อเผยแพร่องค์ความรู้ทางวิชาการ ผลงานวิจัย และลิ่งประดิษฐ์ของนักวิชาการและนักวิจัยสู่สาธารณะ

หลักเกณฑ์การล่งบทบาท

วารสาร มทร.อีสาน เน้นบทบาทความทابงด้านวิทยาศาสตร์และเทคโนโลยี ในสาขาวิชาดังต่อไปนี้

- สาขาวิชาศิวกรรมศาสตร์
- สาขาวิชาเกษตรศาสตร์
- สาขาวิชาสหวิทยาการวิทยาศาสตร์และเทคโนโลยี

เป็นสาขาวิชาน้องใหม่ที่ศึกษาแนวความคิด ทฤษฎีและกฎหมายที่ทางวิทยาศาสตร์ ดังแต่ระดับอนุภาค ระดับโมเลกุลไปจนถึงทั้งจักรวาล ปฏิกิริยาทางเคมี ระหว่างอะตอมและโมเลกุล อันเชื่อมโยงถึงองค์ประกอบของลิ่งมีชีวิต และวิวัฒนาการของลิ่งมีชีวิต รวมถึงแนวความคิดพื้นฐานทางวิทยาศาสตร์และเทคโนโลยีที่มีความสำคัญและมีส่วนเกี่ยวข้องต่อการดำเนินชีวิตในปัจจุบัน ตลอดจนศึกษาถึงประเด็นของการถกเถียงที่สำคัญๆ เกี่ยวกับพร้อมแคนดี้ที่ความรู้ ระหว่างวิทยาศาสตร์และเทคโนโลยีกับสังคม และลิ่งแวดล้อม

เจ้าของ

สถาบันวิจัยและพัฒนา

มหาวิทยาลัยเทคโนโลยีราชมงคลอีสาน

744 ถ.สุวรรณาราม ต.ในเมือง อ.เมือง จ.นครราชสีมา 30000

โทรศัพท์ 0 - 4423 - 3063 โทรสาร 0 - 4423 - 3064

E-mail : rmuti.journal@gmail.com

พิมพ์เผยแพร่ปีละ 3 ฉบับ

ฉบับที่ 1 ประจำเดือนมกราคม - เดือนเมษายน

ฉบับที่ 2 ประจำเดือนพฤษภาคม - เดือนสิงหาคม

ฉบับที่ 3 ประจำเดือนกันยายน - เดือนธันวาคม

ทั้งนี้ ตั้งแต่ปีที่ 8 ฉบับที่ 1 ประจำเดือนมกราคม - เดือนเมษายน 2558 เป็นต้นไป

ยกเลิกการติพิมพ์รูปเล่มตั้งแต่ปีที่ 12 ฉบับที่ 1 ประจำเดือนมกราคม - เดือนเมษายน 2562 เป็นต้นไป
เผยแพร่ออนไลน์เท่านั้น

ลิขสิทธิ์

ต้นฉบับที่ได้รับการติพิมพ์ ถือเป็นลิขสิทธิ์ของ วารสาร มทร.อีสาน และบทบาทความในวารสารเป็นแนวคิดของผู้แต่ง ไม่ใช่เป็นความคิดของคณะกรรมการจัดทำวารสาร และไม่ใช่เป็นความรับผิดชอบของมหาวิทยาลัยเทคโนโลยีราชมงคลอีสาน

วารสาร มทร.อีสาน ฉบับวิทยาศาสตร์และเทคโนโลยี RMUTI JOURNAL Science and Technology

ที่ปรึกษาของบรรณาธิการ

ผู้ช่วยศาสตราจารย์ ดร.วิโรจน์ ลิ้มไขแสง
อธิการบดีมหาวิทยาลัยเทคโนโลยีราชมงคลอีสาน

ดร.อนิวรรต ทาสุข

ผู้อำนวยการสถาบันวิจัยและพัฒนา มหาวิทยาลัยเทคโนโลยีราชมงคลอีสาน

รองศาสตราจารย์ ดร.วีรชัย พุทธวงศ์

ประธานหลักสูตรนิติวิทยาศาสตร์ มหาวิทยาลัยเกษตรศาสตร์

กองบรรณาธิการ

ศาสตราจารย์กิตติคุณอธารง	เปรมปรีดี	จุฬาลงกรณ์มหาวิทยาลัย
ศาสตราจารย์เกียรติคุณ ดร.พิรศักดิ์	ศรีนิเวศน์	มหาวิทยาลัยเกษตรศาสตร์
ศาสตราจารย์ ดร.ณรงค์คุฑธิ	สมบัติสมภพ	มหาวิทยาลัยเทคโนโลยีพระจอมเกล้าธนบุรี
ศาสตราจารย์ ดร.ตะวัน	สุขน้อย	สถาบันเทคโนโลยีพระจอมเกล้าเจ้าคุณทหารลาดกระบัง
ศาสตราจารย์ ดร.ทวนทอง	จุฑากेतุ	มหาวิทยาลัยอุบลราชธานี
ศาสตราจารย์ ดร.ปราเมศ	ชุดima	จุฬาลงกรณ์มหาวิทยาลัย
ศาสตราจารย์ ดร.เปี่ยมศักดิ์	เมนะเวศต	จุฬาลงกรณ์มหาวิทยาลัย
ศาสตราจารย์ ดร.พิเชษฐ์	ลิ้มสุวรรณ	มหาวิทยาลัยเทคโนโลยีพระจอมเกล้าธนบุรี
ศาสตราจารย์ ดร.ไฟศาล	เหล่าสุวรรณ	มหาวิทยาลัยหาดใหญ่
ศาสตราจารย์ ดร.เมฆา	วรรณพัฒน์	มหาวิทยาลัยขอนแก่น
ศาสตราจารย์ ดร.รัตติกร	ยิ้มนิรัน	สถาบันวิทยลิริเมธี
ศาสตราจารย์ ดร.วินัย	ประลิมพ์กัญจน์	มหาวิทยาลัยลักษณ์
ศาสตราจารย์ ดร.คุภชัย	ปทุมนาคุล	มหาวิทยาลัยขอนแก่น
ศาสตราจารย์ ดร.สำเริง	จักรใจ	มหาวิทยาลัยเทคโนโลยีพระจอมเกล้าธนบุรี
ศาสตราจารย์ ดร.สุชาติ	ลิ่มกตัญญู	มหาวิทยาลัยสงขลานครินทร์
ศาสตราจารย์ ดร.สมชาติ	โภษณรัตนฤทธิ์	มหาวิทยาลัยเทคโนโลยีพระจอมเกล้าธนบุรี
ศาสตราจารย์ ดร.สุทธิวัฒน์	เบญจกุล	มหาวิทยาลัยสงขลานครินทร์
ศาสตราจารย์ ดร.อรอนงค์	นัยวิกุล	มหาวิทยาลัยเกษตรศาสตร์
รองศาสตราจารย์ ดร.กนกอว	อินทรพิเชฐ	มหาวิทยาลัยเทคโนโลยีสุรนารี
รองศาสตราจารย์ ดร.กนต์ธาร	ชำนินปภาณลัล	มหาวิทยาลัยเทคโนโลยีสุรนารี
รองศาสตราจารย์ ดร.คงศักดิ์	ราตุทอง	มหาวิทยาลัยขอนแก่น
รองศาสตราจารย์ ดร.เจษฎา	ราเร่บุญ	มหาวิทยาลัยเทคโนโลยีพระจอมเกล้าพระนครเหนือ
รองศาสตราจารย์ ดร.นิรัช	สุคลลังษ์	มหาวิทยาลัยเกรียง
รองศาสตราจารย์ ดร.บัณฑิต	กฤต acum	มหาวิทยาลัยเทคโนโลยีราชมงคลอีสาน

กองบรรณาธิการ (ต่อ)

รองศาสตราจารย์ ดร.ปราโมทย์	แพงคำ	มหาวิทยาลัยเทคโนโลยีสุรนารี
รองศาสตราจารย์ ดร.ปรีชา	กอเจริญ	วิทยาลัยเทคโนโลยีจิตรลดา
รองศาสตราจารย์ ดร.มนัส	ชัยจันทร์	มหาวิทยาลัยวัฒลักษณ์
รองศาสตราจารย์ ดร.คุภชัย	ลิงทัยบุศย์	มหาวิทยาลัยมหาสารคาม
รองศาสตราจารย์ ดร.สรายุธ	เดชะปัญญา	มหาวิทยาลัยบูรพา
รองศาสตราจารย์ ดร.สมพงษ์	คุลย์จินดาขำพร	มหาวิทยาลัยขอนแก่น
รองศาสตราจารย์ ดร.สมพร	ไชยะ	จังหวัดฉะเชิงเทรา
รองศาสตราจารย์ ดร.ลิทธิชัย	แสงอาทิตย์	มหาวิทยาลัยเทคโนโลยีสุรนารี
รองศาสตราจารย์ ดร.อาทิตย์	อัครวุฒิ	มหาวิทยาลัยเทคโนโลยีราชมงคลอีสาน
รองศาสตราจารย์ กานุจนา	ตันสุวรรณรัตน์	จังหวัดนครราชสีมา
รองศาสตราจารย์ อุดมศักดิ์	สาริบุตร	สถาบันเทคโนโลยีพระจอมเกล้าเจ้าคุณทหารลาดกระบัง
ผู้ช่วยศาสตราจารย์ ดร.ไกรลิทธิ์	วสุเพ็ญ	มหาวิทยาลัยเทคโนโลยีราชมงคลอีสาน
ผู้ช่วยศาสตราจารย์ ดร.เกียรติสุคุ	สมนา	มหาวิทยาลัยเทคโนโลยีราชมงคลอีสาน
ผู้ช่วยศาสตราจารย์ ดร.จักษดา	รำรุงวุฒิ	มหาวิทยาลัยเทคโนโลยีราชมงคลอีสาน
ผู้ช่วยศาสตราจารย์ ดร.ณรงค์ศักดิ์	โยธา	มหาวิทยาลัยเทคโนโลยีราชมงคลอีสาน
ผู้ช่วยศาสตราจารย์ ดร.รัฐพล	สมนา	มหาวิทยาลัยเทคโนโลยีราชมงคลอีสาน
ผู้ช่วยศาสตราจารย์ ดร.ศศิพันธ์	วงศ์สุทธอ瓦ล	มหาวิทยาลัยเทคโนโลยีราชมงคลอีสาน
ผู้ช่วยศาสตราจารย์ ดร.สุจิตรา	อุ่นเรือน	มหาวิทยาลัยเทคโนโลยีราชมงคลอีสาน
ดร. Jarvispong	บรรเทา	มหาวิทยาลัยเทคโนโลยีราชมงคลอีสาน
ดร.ชาครวิດ	นวลจิมพล	มหาวิทยาลัยเทคโนโลยีราชมงคลอีสาน
ดร.เยาวพา	ความหมั่น	มหาวิทยาลัยเทคโนโลยีราชมงคลอีสาน
ดร.สุกัญญา	คำหล้า	มหาวิทยาลัยเทคโนโลยีราชมงคลอีสาน
ดร.เดือนเพ็ญ	วงศ์สอน	มหาวิทยาลัยเทคโนโลยีราชมงคลอีสาน

บรรณาธิการ

วงศ์ไตรรัตน์ มหาวิทยาลัยเทคโนโลยีราชมงคลอีสาน

ฝ่ายจัดการและธุรการ

ดีราชรัมย์ มหาวิทยาลัยเทคโนโลยีราชมงคลอีสาน

นางสาวอรุณรักษ์

สารบัญ

บทความวิจัย

ผลกระทบของอุณหภูมินาต่อการเร่งปฏิกริยาการเลือกเพาใหม่ก้าวหน้าอนุมอนอกไปชัดของ 1

โลหะออกไซด์ผสมคงปีเตอร์-ซีเรียม

พราไฟบูลย์ พุทธคุณ, คมกฤษ สว่างกาญจน์, มากย วงศ์วรรณกานต์ และเอกวัฒน์ วงศ์แก้ว

การเจริญเดิบโต ประสิทธิภาพการย่อยได้ออกการ์บอไฮเดรต และโปรตีนในอาหารเสริม

17

กระเจี้ยบเขียวของปลาคาด

ชุลทรรศน์ ศิริแสง, เกรียงศักดิ์ เม่งอ่ำพัน, ชนกันต์ จิตมนัส, Hien Van Doan และสุดาพร คงศิริ

ผลของเบคทีเรียกลุ่มตรึงก้าวในโตรเจนแบบอิสระต่อการเจริญเดิบโตของต้นกล้าโกก gang ในใหญ่ 28

สุบันพิทิพ มีรัตน์, สุพรรณี ช่อนกลิน และวีรพงศ์ วุฒิพันธุ์ชัย

การพยากรณ์การคาดชีวิตของผู้ป่วยมะเร็งเต้านม

44

ชาวด ทองคำ และวาทินี ถุชมากร

การเปรียบเทียบวิธีการประมาณค่าผุ่นละอองขนาดเล็กด้วยดาวเทียมยิมาร์ 8 ในภาคเหนือ

55

ของประเทศไทย

กนกวรรณ ภูธรรม, บริชาติ เวชยนต์ และนิติวัฒน์ ชูสกุล

การพัฒนาแผนที่ศักยภาพพลังงานความร้อนใต้พิภพ โดยข้อมูลอุณหภูมิพื้นผิวจาก

68

ดาวเทียมระบบ MODIS ในพื้นที่ภาคเหนือของประเทศไทย

ฤทธิ์ชันก สายน้ำทิพย์, บริชาติ เวชยนต์ และบิยพงษ์ เชนร้าย

แนวทางการจัดพื้นที่ภายในห้องเรียนเด็กปฐมวัยที่ล้วนเสริมกิจกรรมการเรียนรู้ที่เน้นผู้เรียนเป็นสำคัญ

83

วิศณี ไชรักษ์ และวิไลวรรณ พานทอง

การพัฒนาระบบตรวจสอบย้อนกลับในห้องเชื้อตสาหกรรมถั่วลิสง ตามมาตรฐานเกษตรไทย

103

มกช. 4702-2557

ธิติวัฒน์ ตามา, สุรพล ใจวงศ์ษา และจักรพงษ์ ชุมใจ

การประเมินคุณค่าการใช้ประโยชน์พื้นที่ทุ่งสัมฤทธิ์ เพื่อการจัดการพืชเศรษฐกิจ

119

นพคล การดี, ณภัทร น้อยน้ำใส และชัยลิทธิ ทองจู

Table of Contents

Research Articles

Effect of Alumina to Catalytic Activity of CuO-CeO₂ for Selective CO Oxidation Reaction	1
<i>Pornpaiboon Phutthakoon, Komgrit Sawangkan, Malai Wongwonakan, and Akkarat Wongkeaw</i>	
Growth Performance, Carbohydrate and Protein Digestibility of <i>Labeo chrysophekadion</i> Fed with Okra Supplemented Feed	17
<i>Julatat Keereelang, Kriangsak Mangumphan, Chanagun Chitmanat, Hien Van Doan, and Sudaporn Tongsiri</i>	
Effects of Non-Symbiotic Nitrogen Fixing Bacteria on Growth of Red Mangrove, <i>Rhizophora mucronata</i> Lam., Seedlings	28
<i>Subuntith Nimrat, Supannee Sonklin, and Verapong Vuthiphandchai</i>	
Predicting Breast Cancer Patient Survival	44
<i>Jaree Thomgkam and Vatinee Sukmak</i>	
A Comparison of Methods for Estimating Fine Particulate Matter Concentrations from Himawari-8 Satellite Over Northern Thailand	55
<i>Kanokwan Putham, Parichat Wetchayont, and Nithiwatthn Choosakul</i>	
Development of Geothermal Potential Resources Map using Land Surface Temperature from MODIS in Northern Thailand	68
<i>Rutaichanok Sainarmtip, Parichat Wetchayont, and Piyaphong Chenrai</i>	
The Guidelines of Area Arrangement within the Early Childhood Classroom Supporting Child-Centered Learning	83
<i>Vitsanee Chaiyarak and Wilaiwan Phanthong</i>	
The Development of Traceability System in Peanut Industry Supply Chain with Thai Agricultural Standard: TAS 4702-2014	103
<i>Thitiwat Ta-Kham, Suraphon Chaiwongsar, and Jakkapong Chumjai</i>	
Evaluation of Thung Sumrit Area utilization for Economic Crops Management	119
<i>Noppadol Kandee, Napat Noinumsai, and Chaisit Thongjoo</i>	

ผลกระทบของอลูมินาต่อการเร่งปฏิกิริยาการเลือกเพาไทด์ก้าชคาร์บอนมอนอกไซด์ของโลหะออกไซด์ผสมคوبเปอร์-ซีเรียม

Effect of Alumina to Catalytic Activity of CuO-CeO₂ for Selective CO Oxidation Reaction

พรพนธุลัย พุทธคุณ¹ คงกฤช สว่างกาญจน์¹ มาลัย วงศ์วรรณกานต์¹ และเอกสารัตน์ วงศ์แก้ว^{1*}
Pornpaiboon Phutthakoon¹ Komgrit Sawangkan¹ Malai Wongwonakan¹ and
Akkarat Wongkeaw^{1*}

Received: September 7, 2020; Revised: March 9, 2021; Accepted: March 16, 2021

บทคัดย่อ

ก้าชคาร์บอนมอนอกไซด์ที่เจือปนอยู่ในเชื้อเพลิงไฮโดรเจนที่ผลิตจากกระบวนการรีฟอร์มมีความเป็นพิษต่อช้าไฟฟ้าในเซลล์เชื้อเพลิงแบบเยื่อเมมเบรนแลกเปลี่ยนโปรดอน ล่งผลให้ประสิทธิภาพการทำงานของเซลล์เชื้อเพลิงลดลง จึงต้องกำจัดก้าชคาร์บอนมอนอกไซด์ออกจากก้าชไฮโดรเจนก่อนที่จะนำไปใช้งาน ดังนั้นงานวิจัยนี้จึงมีวัตถุประสงค์ในการพัฒนาตัวเร่งปฏิกิริยาเพื่อกำจัดก้าชคาร์บอนมอนอกไซด์ที่เจือปนในเชื้อเพลิงไฮโดรเจน โดยศึกษาผลกระทบของปริมาณอลูมินาต่อความว่องไวในการเร่งปฏิกิริยาการเพาไทด์ก้าชคาร์บอนมอนอกไซด์ และการเลือกเกิดปฏิกิริยาการเพาไทด์ก้าชคาร์บอนมอนอกไซด์ในสภาวะที่มีก้าชไฮโดรเจนมากเกินพอกองตัวเร่งปฏิกิริยาโลหะออกไซด์ผสมคوبเปอร์-ซีเรียม ตัวเร่งปฏิกิริยาถูกเตรียมด้วยวิธีโซลเจล กำหนดปริมาณคوبเปอร์ออกไซด์คงที่ที่ร้อยละ 40 และอลูมินาร้อยละ 6 9 12 และ 18 โดยน้ำหนักตามลำดับ ที่เหลือเป็นซีเรียมออกไซด์ จากการวิเคราะห์คุณสมบัติของตัวเร่งปฏิกิริยาด้วยเครื่องอัลตร้าซาวน์ และการคุณชั้บก้าชในโตรเจนเชิงกายภาพ พบว่าปริมาณอลูมินามีผลต่อนาดผลึกของโลหะออกไซด์ โดยนาดผลึกของคوبเปอร์ออกไซด์และซีเรียมออกไซด์ลดลงเพียงเล็กน้อยเมื่อปริมาณอลูมินาเพิ่มขึ้น ในขณะที่ค่าพื้นที่ผิวจำเพาะมีค่าสูงขึ้น โดยที่อัตราส่วนโดยน้ำหนักของคوبเปอร์ออกไซด์:ซีเรียมออกไซด์:อลูมินาเป็น 40:48:12 ให้ค่าพื้นที่ผิวจำเพาะสูงสุดเป็น 170.4 ตารางเมตรต่อกรัม เมื่อทดสอบความสามารถในการเร่งปฏิกิริยาพบว่า ปริมาณอลูมินาที่เหมาะสมลั่งผลิตต่อการเร่งปฏิกิริยา โดยตัวเร่งปฏิกิริยาที่มีปริมาณของอลูมินาร้อยละ 9 โดยน้ำหนัก แสดงความสามารถ

¹ คณะวิศวกรรมศาสตร์, มหาวิทยาลัยบูรพา ชลบุรี

¹ Faculty of Engineering Burapha University, Chonburi

* Corresponding Author E - mail Address: akkarat@eng.buu.ac.th

ในการเร่งปฏิกิริยาการເພາໄທໜັກ້າຊຄົວນອນໂອກໃຫຍ້ ແລະປັບປຸງກິດພາໄທໜັກ້າຊຄົວນອນໂອກໃຫຍ້ໃນສກວະທີ່ມີກຳຊ່າໂຕຣເຈນມາກເກີນພວດີດີທີ່ສຸດ ໂດຍຄ່າຮ້ອຍລະກາບເປົ້າຢ່າງລົງທະບຽນແປ່ງກຳຊຄົວນອນໂອກໃຫຍ້ມີຄ່າເທົ່າກັບ 100 ທີ່ອຸ່ນທຽມ 140 - 180 ອົງຄາເຊລ໌ເຊີຍສ ແລະຄ່າຮ້ອຍລະກາບເລືອກເກີດປັບປຸງກິດພາໄທໜັກ້າຊຄົວນອນໂອກໃຫຍ້ມີຄ່າເທົ່າກັບ 86 ທີ່ 140 ອົງຄາເຊລ໌ເຊີຍສ ແລະຮ້ອຍລະ 60 ທີ່ 180 ອົງຄາເຊລ໌ເຊີຍສ

คำສຳຄັນ : ໂຊລເຈລ; ຄອບເປົປົຣ໌ໂອກໃຫຍ້; ຊື່ເຮັມໂອກໃຫຍ້; ອຸລູມີນາ; ການເລືອກເກີດປັບປຸງກິດພາໄທໜັກ້າຊຄົວນອນໂອກໃຫຍ້

Abstract

Trace amount of CO contaminating in H₂ fuels produced from steam reforming process poisons the anode of PEM fuel cell. It causes the degradation of PEMFC performance. Consequently, CO removal is needed. In this work, mixed oxide of copper and cerium catalysts was promoted with alumina in order to improve the catalytic properties and activities to CO oxidation and selective CO oxidation reactions. The effect of alumina loading in this catalyst was investigated. The amount of copper oxide was fixed at 40%wt. Alumina contents were set at 6, 9, 12 and 18%wt and the rest was cerium oxide. The catalysts were prepared by Sol-Gel method. XRD results showed that an increase in alumina contents slightly decreased an average crystallite size of oxides. On the other hand, N₂ adsorption-desorption method revealed an increase of specific surface area due to the presence of alumina in the sample. The catalyst containing CuO:CeO₂:Al₂O₃ of 40:48:12 has the highest specific surface area of 170.4 m²/g. Further increasing of alumina loading led to a decrease of specific surface area. Catalytic performance of the catalyst containing 9%wt alumina displayed the best activity to CO oxidation reaction. Likewise, in the presence of excess hydrogen, the same catalyst obtained 100 % CO conversion at 140 - 180 °C with the selectivity to CO oxidation reaction of 86 % at 140 °C and of 60 % at 180 °C.

Keywords: Sol-Gel; Copper Oxide; Cerium Oxide; Alumina; Selective CO Oxidation Reaction

บทนำ

ปัจจุบันความต้องการใช้พลังงานเพิ่มขึ้นตามจำนวนประชากรที่เพิ่มขึ้น และปัญหามลพิษที่เกิดจากระบบคมนาคมขนส่งก่อให้เกิดปัญหาที่ส่งผลกระทบต่อสุขภาพของประชาชน ด้วยนั้นพลังงานทางเลือกที่สะอาด จึงได้รับความสนใจเป็นอย่างมาก วิธีการหนึ่งที่ใช้ในการผลิตพลังงานไฟฟ้าที่ถือว่าเป็นพลังงานสะอาด คือ การผลิตไฟฟ้าจากเซลล์เชื้อเพลิง (Fuel Cell) โดยเซลล์เชื้อเพลิงมีหลักการทำงานคือ การเปลี่ยน

พลังงานเคมีให้เป็นพลังงานไฟฟ้าโดยไม่ผ่านการเผาไหม้ ผลิตภัณฑ์ที่ได้ ได้แก่ ไฟฟ้า ความร้อน และน้ำ โดยเซลล์เชือเพลิงที่เหมาะสมในการนำมาใช้กับยานพาหนะ จะเป็นเซลล์เชือเพลิงประเภทเยื่อเมมเบรน และเปลี่ยนprototon เชือเพลิงที่ใช้ คือ ก๊าซไฮโดรเจน (H_2) จากงานวิจัยพบว่าประลิทอิพาร์ทำงานของเซลล์เชือเพลิงชนิดนี้จะลดลงอย่างมาก หากมีก๊าชคาร์บอนมอนอกไซด์ (CO) เพียง 100 ส่วนต่อส่วนล้วน ประเมินในเชือเพลิงไฮโดรเจน [1] โดยก๊าชคาร์บอนมอนอกไซด์มาจากกระบวนการผลิตไฮโดรเจนด้วยวิธีรีฟอร์มมิ่งสารประกอบไฮโดรคาร์บอนด้วยไอน้ำ ซึ่งปริมาณก๊าชคาร์บอนมอนอกไซด์ที่พบประมาณร้อยละ 0.5 - 2 โดยปริมาตร [2] การกำจัดก๊าชคาร์บอนมอนอกไซด์ที่ประเมินมา กับก๊าชไฮโดรเจนก่อนที่จะนำไปใช้กับเซลล์เชือเพลิงแบบเมมเบรนและเปลี่ยนprototon จึงเป็นสิ่งที่จำเป็น เพื่อเพิ่มอายุการใช้งานให้กับเซลล์เชือเพลิง วิธีการกำจัดก๊าชคาร์บอนมอนอกไซด์ในก๊าชไฮโดรเจนมีหลายวิธี วิธีที่มีประลิทอิพาร์และได้รับความนิยมคือ การเติมก๊าชออกซิเจนเพื่อเพาไหม้ก๊าชคาร์บอนมอนอกไซด์ ผ่านปฏิกิริยาการเลือกเกิด คาร์บอนมอนอกไซด์ออกซิเดชัน (Selective CO Oxidation) โดยวิธีการนี้ต้องเลือกใช้ตัวเร่งปฏิกิริยาที่สามารถเร่งปฏิกิริยาการบันมอนอกไซด์ออกซิเดชัน ($CO + 0.5O_2 \rightarrow CO_2$) ได้ดีกว่าปฏิกิริยาไฮโดรเจนออกซิเดชัน ($H_2 + 0.5O_2 \rightarrow H_2O$) ตัวเร่งปฏิกิริยาที่ได้รับการศึกษาอย่างแพร่หลายคือ โลหะออกซิคอลป์บอร์ซีเรียม ($CuO-CeO_2$) [3] โดยกำจัดก๊าชคาร์บอนมอนอกไซด์ได้ดีที่อุณหภูมิต่ำกว่า 150 องศาเซลเซียส และให้ค่าการเลือกเกิดคาร์บอนมอนอกไซด์สูงกว่าร้อยละ 60 และมีรากฐานการที่ตัวเร่งปฏิกิริยาชนิดนี้มีความว่องไวต่อการเร่งปฏิกิริยาออกซิเดชันในช่วงอุณหภูมิต่ำเป็น เพราะ CeO_2 มีความทนทานต่อการเปลี่ยนแปลงอุณหภูมิ ล่งผลให้ลดการสูญเสียพื้นที่ผิวและเป็นการเพิ่มการกระจายตัวของโลหะที่ทำหน้าที่เป็นบริเวณเร่งปฏิกิริยา (Active Sites) และอีกคุณสมบัติที่สำคัญของ CeO_2 คือความสามารถในการกักเก็บออกซิเจนซึ่งเป็นผลิตต่อปฏิกิริยาออกซิเดชัน [4] โดยปฏิกิริยาออกซิเดชันจะเกิดผ่านกลไก Mars and van Krevelen [5] ซึ่งอาศัยคุณสมบัติกักเก็บออกซิเจนของ CeO_2 เมื่อโมเลกุลของก๊าชคาร์บอนมอนอกไซด์คุกคายทางเคมีบน Interface ระหว่างคอลป์บอร์ออกไซด์และซีเรียมออกไซด์ คาร์บอนมอนอกไซด์จะทำปฏิกิริยากับแลตทิซออกซิเจนในซีเรียมออกไซด์ เกิดเป็นก๊าชคาร์บอนไดออกไซด์ ในสภาวะนี้ซีเรียมที่อยู่ในรูป Ce^{4+} จะถูกเปลี่ยนเป็น Ce^{3+} และ Ce^{3+} จะถูกเปลี่ยนกลับเป็น Ce^{4+} โดยก๊าชออกซิเจนในสายป้อนจากกลไกดังกล่าว พบร่วมกับการเพิ่มปริมาณ Interface ระหว่าง CuO และ CeO_2 หรือการเพิ่มการกักเก็บออกซิเจนให้กับ CeO_2 จะล่งผลให้การเร่งปฏิกิริยาของตัวเร่งปฏิกิริยานี้ดีขึ้นได้ ทั้งนี้การลดขนาดผลึก CuO และ CeO_2 ให้มีขนาดเล็กหรือกล่าวอีกนัยหนึ่งคือ ให้โลหะออกไซด์ทึบสองมีกระจายตัวสูง (High Dispersion) เป็นปัจจัยสำคัญที่ใช้ในการพัฒนาความสามารถในการเร่งปฏิกิริยาของตัวเร่งปฏิกิริยานี้

จากข้อมูลดังกล่าวจะเห็นได้ว่าการเพิ่มความสามารถในการเร่งปฏิกิริยาของ $CuO-CeO_2$ สามารถทำได้ดังนี้ 1) การลดขนาดผลึก CuO และ CeO_2 2) การเพิ่มพื้นที่ผิวจำเพาะเพื่อเพิ่มการกระจายตัวของโลหะออกไซด์ทึบสอง และ 3) การใช้สารโปรโนมที่เพิ่มคุณสมบัติกักเก็บออกซิเจน โดยในเรื่องของการลดขนาดผลึกสามารถทำได้โดยปรับสัดส่วนปริมาณ CuO ในตัวเร่งปฏิกิริยาให้เหมาะสม Bae, C. M., Ko, J. B., and Kim, D. H. [6] พบว่า $CuO-CeO_2$ ที่มีปริมาณ CuO ร้อยละ 10 - 20 โดยน้ำหนักให้ความสามารถในการเร่งปฏิกิริยาการเผาไหม้ก๊าชคาร์บอนมอนอกไซด์สูง เนื่องจากที่ปริมาณนี้ CuO และ CeO_2 มีขนาดผลึกเล็ก ส่งผลให้ค่าพื้นที่ผิวจำเพาะของตัวเร่งปฏิกิริยาสูง และทำให้มีคำแทนงกัมมันต์มากนั้นเอง ส่วน Cortés, A. G., Márquez, Y., Alatorre, J. A., and Díaz, G. [7] ได้ศึกษา

ผลกระทบของพื้นที่ผิวจำเพาะของตัวเร่งปฏิกิริยา CuO-CeO_2 ต่อความสามารถในการเร่งปฏิกิริยา การเลือกเกิดคาร์บอนมอนอกไซด์ออกซิเดชัน โดยใช้เทคนิค Templatting ใน การเตรียม CeO_2 พื้นที่ผิวจำเพาะสูงเปรียบเทียบกับ CeO_2 เชิงพาณิชย์ พบว่าตัวเร่งปฏิกิริยาที่มีพื้นที่ผิวจำเพาะสูงจะมีขนาดผลึก CuO และ CeO_2 เล็ก ลับลิ้งให้เร่งปฏิกิริยาได้ดีในช่วงอุณหภูมิต่ำ

ในส่วนของการใช้สารโปรดิโนท พบร่วมกับการใช้อัลูมีนา ที่เตรียมออกไซด์สั่งผลกระทบต่อความสามารถในการกักเก็บออกซิเจนของชีเรียม โดย Wei, Z., Li, H., Zhang, X., Yan, S., Lv, Z., Chen, Y., and Gong, M. [8] ได้ศึกษาผลกระทบของอัลูมีนาต่อคุณสมบัติการกักเก็บออกซิเจนของชีเรียมออกไซด์-เซอร์โคเนียมออกไซด์ ($\text{CeO}_2-\text{ZrO}_2$) พบว่า การเติมอัลูมีนา (Al_2O_3) ไม่เพียงแต่ทำให้พื้นที่ผิวจำเพาะเพิ่มขึ้น ยังส่งผลให้คุณสมบัติการกักเก็บออกซิเจนเกิดได้ดี เพิ่มความแข็งแรงทนทานต่อการเปลี่ยนแปลงอุณหภูมิและเพิ่มความเสถียรให้กับ CeO_2 ซึ่งเป็นตัวรองรับไม้ไผ่มีการสูญเสียพื้นที่ผิวและอัลูมีนัยยังเป็น Diffusion Barrier ทำให้โลหะที่อยู่บนตัวรองรับไม่เกิดการ Sintering [9]

วิธีการเพิ่มการกระจายตัวของ CuO และ CeO_2 นอกจากทำได้โดยการเติมสารออกไซด์ที่เพิ่มความสามารถในการกักเก็บออกซิเจน และเพิ่มความแข็งแรงให้กับตัวเร่งปฏิกิริยาแล้ว ยังสามารถทำได้ด้วยการเลือกใช้วิธีการเตรียมตัวเร่งปฏิกิริยาที่เหมาะสม โดยวิธีการโซลเจล เป็นวิธีเตรียมโลหะออกไซด์ให้มีพื้นที่ผิวจำเพาะสูง [10] สำหรับวิธีโซลเจล จะใช้สารละลายโลหะอัลกอลออกไซด์ทำปฏิกิริยา กันน้ำ เรียกปฏิกิริยาไฮโดรไลซิส จะได้ผลิตภัณฑ์ในรูปสารประกอบไฮดรอกไซด์ และสารประกอบไฮดรอกไซด์ จะเกิดปฏิกิริยาควบแน่น เกิดเป็นโลหะออกไซด์ และแอลกอฮอล์ การเลือกใช้สภาวะกรดในปฏิกิริยา จะส่งผลให้เกิดโครงสร้างตาข่ายของออกไซด์ของแข็งห่อหุ้มน้ำ ได้ผลิตภัณฑ์ที่มีลักษณะคล้ายเจล เมื่อนำไปอบให้ไม่เหลือของน้ำระเหยออกไปจากโครงสร้างตาข่ายสามมิติ จะเหลือเป็นช่องว่างรูพรุนขนาดเมจิ เมื่อนำมาทำเป็นตัวรองรับให้กับโลหะ จึงส่งผลให้โลหะเกิดการกระจายตัวได้ดี วิธีนี้สามารถควบคุมขนาดรูพรุนได้ตามสภาวะการเตรียม [11] - [12] โดย Manasilp, A. and Gulari, E. [13] ศึกษาการเตรียมอัลูมีนา ด้วยตัววิธีโซลเจลเพื่อใช้เป็นตัวรองรับให้กับโลหะแพลทินัม เพื่อใช้เป็นตัวเร่งปฏิกิริยาในการกำจัด ก้าชคาร์บอนมอนอกไซด์ในสภาวะที่มีก้าชไฮโดรเจนในปริมาณมาก พบร่วมพื้นที่ผิวจำเพาะของอัลูมีนา ที่เตรียมด้วยวิธีโซลเจล สูงถึง 200 ตารางเมตรต่อกิโลกรัม เมื่อนำมาใช้เป็นตัวรองรับให้กับแพลทินัม ทำให้แพลทินัมมีกระจายตัวดี (High Dispersion) โดยแพลทินัมมีขนาดผลึกเล็กกว่า 2 นาโนเมตร

จะเห็นได้ว่าการใช้ Al_2O_3 ร่วมกับ CuO-CeO_2 วิธีการโซลเจล น่าจะช่วยทำให้ตัวเร่งปฏิกิริยา มีความสามารถในการเร่งปฏิกิริยาออกซิเดชันได้ดีขึ้น ดังนั้นงานวิจัยนี้จึงศึกษาผลกระทบของปริมาณ อัลูมีนาในตัวเร่งปฏิกิริยา CuO-CeO_2 เพื่อใช้ในการเร่งปฏิกิริยาการเผาใหม้ก้าชคาร์บอนมอนอกไซด์ และปฏิกิริยาการเลือกเผาใหม้ก้าชคาร์บอนมอนอกไซด์ โดยใช้วิธีโซลเจล ในการเตรียม $\text{CeO}_2-\text{Al}_2\text{O}_3$ และ Deposit CuO บน $\text{CeO}_2-\text{Al}_2\text{O}_3$ ด้วยวิธีฟังเคลือบ

วิธีการดำเนินการวิจัย

1. การเตรียมตัวเร่งปฏิกิริยา

สารเคมีที่ใช้เป็นสารตั้งต้นในการเตรียมตัวเร่งปฏิกิริยาด้วยวิธีโซลเจล ได้แก่ อัลูมิเนียม ไอโซพรอพอกไซด์ (Aluminium Isopropoxide, 98%) ชีเรียมไนเตรต (Cerium(III)Nitrate Pornpaiboon Phutthakoon, Komgrit Sawangkan, Malai Wongwonakan, and Akkarat Wongkeaw ISSN 2672-9369 (Online)

hexahydrate, 99%) และคอปเปอร์ในเตรต (Copper(II)Nitrate trihydrate, 99%) โดยสารเคมีทั้งหมดซึ่งมาจากบริษัท Sigma Aldrich การเตรียมตัวเร่งปฏิกิริยาด้วยวิธีโซลเจล [13] เนื่องจากการให้ความร้อนกับน้ำที่อุณหภูมิประมาณ 80 องศาเซลเซียส เติมอลูมิเนียมไอโอดีฟอฟออกไซด์ลงในน้ำร้อน ควบคู่กับการลดอุณหภูมิ 30 นาที เติมกรดในตริก เพื่อให้สารละลายเปลี่ยนจากขุ่นเป็นใส แล้วกวนสารละลายต่อเป็นเวลา 30 นาที หยุดให้ความร้อน เติมซีเรียมในเตรตในปริมาณตามที่กำหนด ควบคุมเป็นเวลา 24 ชั่วโมง ทำสารละลายให้เป็นเจลด้วยความร้อน จากนั้นบ่มเจลเป็นเวลา 24 ชั่วโมง ที่อุณหภูมิท้อง อบเจลที่อุณหภูมิ 110 องศาเซลเซียส เป็นเวลา 10 ชั่วโมง และเผาที่อุณหภูมิ 500 องศาเซลเซียส เป็นเวลา 5 ชั่วโมง จากนั้นบดของแข็งที่ได้ให้ลักษณะเด่นร่องผ่านตะแกรงขนาด 100 เมช ได้เป็นตัวรองรับโลหะออกไซด์ผลซีเรียม-อลูมิเนียม จากนั้นนำออกเปอร์ในเตรตเติมลงในตัวรองรับที่เตรียมได้ด้วยวิธีฝังเคลือบ (Incipient Impregnation) นำของแข็งที่ได้อบที่อุณหภูมิ 110 องศาเซลเซียส เป็นเวลา 10 ชั่วโมง และเผาที่อุณหภูมิ 500 องศาเซลเซียส เป็นเวลา 5 ชั่วโมง นำไปบดผ่านตะแกรงร่องผ่านขนาด 100 เมช ของแข็งที่ได้เป็นโลหะออกไซด์ผลม คอปเปอร์ ซีเรียม และอลูมิเนียม

2. การวิเคราะห์คุณสมบัติของตัวเร่งปฏิกิริยา

นำตัวเร่งปฏิกิริยาที่เรียมได้ไปวิเคราะห์ทางโครงสร้างและขนาดของผลึกโดยใช้เทคนิคการเลี้ยวเบนรังสีเอ็กซ์ (X-Ray Diffraction, XRD) ด้วยเครื่อง XRD ของบริษัท Phillips รุ่น PW 1050 สแกนในช่วงมุม 2θ ตั้งแต่ 20 – 80 องศา ทำการคำนวณขนาดผลึกเฉลี่ยด้วยสมการเชอร์เรอร์ (Scherrer's Equation) วิเคราะห์พื้นที่ผิวจำเพาะของตัวเร่งปฏิกิริยาด้วยวิธีคุณภาพด้วยก้าชีโน่ในโตรเจน (N_2 Adsorption) และใช้สมการ BET (Brunauer-Emmett-Teller) ในการคำนวณพื้นที่ผิวจำเพาะ การวิเคราะห์หนี้จะใช้เครื่อง Autosorption-1 C ของบริษัท Quantachrome ใช้ตัวเร่งปฏิกิริยาประมาณ 100 – 150 มิลลิกรัม บรรจุลงในหลอดได้ตัวอย่าง โดยก่อนทำการวิเคราะห์ตัวเร่งปฏิกิริยาจะถูกไอน้ำชีนด้วยก้าชีโน่ในโตรเจนที่อุณหภูมิ 300 องศาเซลเซียส เป็นเวลา 3 ชั่วโมง ในส่วนของการวิเคราะห์ขนาดรูพรุนเฉลี่ย และปริมาตรรูพรุนจะใช้วิธี BJH (Barrett-Joyner-Halenda)

3. การทดสอบความสามารถในการเร่งปฏิกิริยา

ตัวเร่งปฏิกิริยาที่เตรียมได้ทั้งหมดถูกทดสอบความสามารถในการเร่งปฏิกิริยาในเครื่องปฏิกิริณ์แก้ว โดยอุณหภูมิในการเกิดปฏิกิริยาต่ำกว่า 100 องศาเซลเซียส ไม่คันเปลี่ยนนิดเดียว ปฏิกิริยาที่ทดสอบ ได้แก่ ปฏิกิริยาการเผาไหม้ก้าชาร์บอนมอนอกไซด์ และปฏิกิริยาการเลือกออกเกิดการเผาไหม้ก้าชาร์บอนมอนอกไซด์ ซึ่งในการทดสอบความสามารถในการเร่งปฏิกิริยาการเผาไหม้ก้าชาร์บอนมอนอกไซด์ ก้าชาร์บอนมอนอกไซด์ร้อยละ 1 โดยปริมาตร ก้าชาร์บอนมอนอกไซด์ร้อยละ 1 โดยปริมาตร และก้าชีเฉลี่มร้อยละ 98 โดยปริมาตร อัตราการไหลเข้าปริมาตรรวม 100 ลูกบาศก์เซนติเมตรต่อนาที และใช้ตัวเร่งปฏิกิริยา 80 มิลลิกรัม สำหรับปฏิกิริยาการเลือกออกเกิดการเผาไหม้ก้าชาร์บอนมอนอกไซด์ ก้าชาร์บอนมอนอกไซด์ร้อยละ 1 โดยปริมาตร ก้าชาร์บอนมอนอกไซด์ร้อยละ 1 โดยปริมาตร และก้าชีเฉลี่มร้อยละ 40 โดยปริมาตร และก้าชีเฉลี่มร้อยละ 48 โดยปริมาตร [7] อัตราการไหลเข้าปริมาตรรวม 40 ลูกบาศก์เซนติเมตรต่อนาที ใช้ตัวเร่งปฏิกิริยา 32 มิลลิกรัม คิดเป็นความเร็วสเปช 75,000 ลูกบาศก์เซนติเมตรต่อกรัมต่อชั่วโมง [14] ก้าชาร์บอนมอนอกไซด์ร้อยละ 50 โดยปริมาตร และก้าชีเฉลี่มร้อยละ 50 โดยปริมาตร และก้าชีเฉลี่มร้อยละ 50 โดยปริมาตร ใช้เครื่องแก๊สโครมาโทกราฟี (Gas Chromatography) ยี่ห้อ Varian รุ่น 3800 ดีเทลเตอร์แบบ Thermal Conductivity Detector (TCD) ใช้คอลัมน์ชนิด Molecular Sieve จะวิเคราะห์ปริมาณการ์บอนมอนอกไซด์

ออกซิเจน มีเทน คาร์บอนไดออกไซด์ จากการทดลองพบว่าไม่มีก้าชมีเทนเกิดขึ้นเลย ดังนั้นสามารถคำนวณค่าร้อยละการเปลี่ยนแปลงคาร์บอนมอนอกไซด์ (Conversion of CO, %) และร้อยละการเลือกเกิดคาร์บอนมอนอกไซด์ (CO Selectivity, %) ได้ตามสมการที่ (1) และ (2)

$$\text{Conversion of CO\%} = \frac{[\text{CO}]_{\text{in}} - [\text{CO}]_{\text{out}}}{[\text{CO}]_{\text{in}}} \times 100 \quad (1)$$

$$\text{CO selectivity \%} = \frac{0.5([\text{CO}]_{\text{in}} - [\text{CO}]_{\text{out}})}{[\text{O}_2]_{\text{in}} - [\text{O}_2]_{\text{out}}} \times 100 \quad (2)$$

เมื่อ

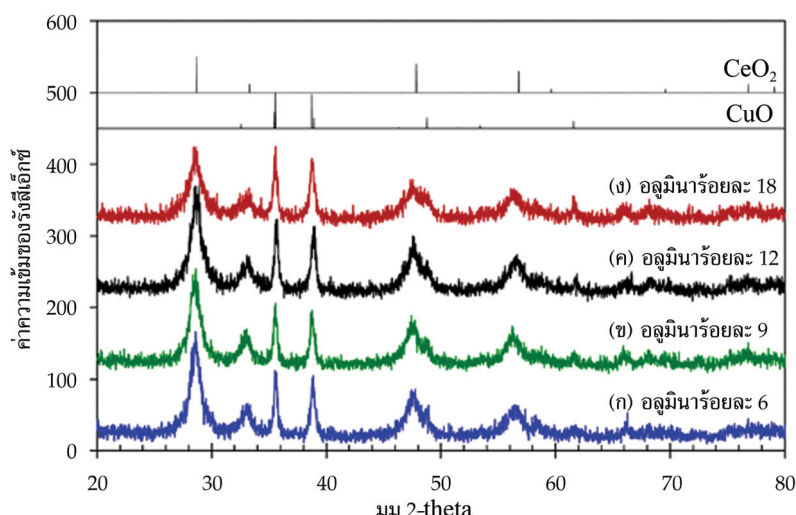
$[\text{CO}]_{\text{in}}$ และ $[\text{CO}]_{\text{out}}$ คือ ความเข้มข้นก้าชคาร์บอนมอนอกไซด์ที่ทางเข้าและทางออก ตามลำดับ

$[\text{O}_2]_{\text{in}}$ และ $[\text{O}_2]_{\text{out}}$ คือ ความเข้มข้นก้าชออกซิเจนที่ทางเข้าและทางออก ตามลำดับ

ผลการทดลองและการอภิปรายผล

1. การวิเคราะห์คุณสมบัติตัวเร่งปฏิกิริยา

1.1 การวิเคราะห์โครงสร้างและขนาดผลึกเฉลี่ย ในส่วนนี้เป็นการวิเคราะห์โครงสร้างและขนาดผลึกเฉลี่ยของตัวเร่งปฏิกิริยาที่ประกอบด้วยออกไซด์ 3 ชนิด ได้แก่ คอเปอร์ออกไซด์ ซีเรียมออกไซด์ และอลูมินาโดยกำหนดปริมาณคงเปอร์เซ็นต์ออกไซด์คงที่ที่ร้อยละ 20 โดยน้ำหนัก ผลการวิเคราะห์แสดงดังรูปที่ 1



รูปที่ 1 รูปแบบ XRD ของตัวเร่งปฏิกิริยาที่มีอัตราส่วนร้อยละของคงเปอร์เซ็นต์ออกไซด์ ซีเรียมออกไซด์ และอลูมินาออกไซด์ต่างๆ

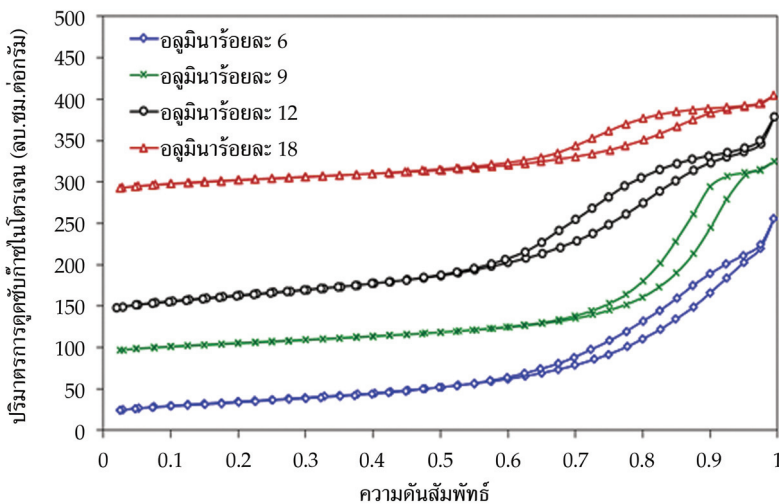
รูปแบบ XRD ของโลหะออกไซด์ผสมคوبเปอร์ออกไซด์ ชีเรียมออกไซด์ อลูมินาที่ลัดส่วนต่าง ๆ พบร่วมกันในทุกตัวเร่งปฏิกิริยาปราภูต์ตำแหน่งพีกตำแหน่งเดียวกัน และตำแหน่งพีกนั้นตรงตามตำแหน่งพีกมาตรฐานของ CuO ที่มีรูปแบบโครงสร้างผลึกเป็นแบบ Monoclinic โดยตำแหน่งพีกเกิดขึ้นที่มุม 2θ เท่ากับ 35.6 38.9 48.8 และ 61.6 และตรงตามตำแหน่งพีกมาตรฐานของ CeO₂ มีรูปแบบโครงสร้างผลึกเป็นแบบ Cubic โดยตำแหน่งพีกเกิดขึ้นที่มุม 2θ เท่ากับ 28.5 33.1 47.5 56.3 59.9 และ 69.4 ตามลำดับ โดยในทุกตัวเร่งปฏิกิริยาไม่ปรากฏพีกของอลูมิเนียมออกไซด์ (Al₂O₃) อาจเนื่องมาจากการลัดส่วนของอลูมิเนียมออกไซด์ในโลหะออกไซด์ผสมมีเพียงเล็กน้อย จากผลการวิเคราะห์ดังกล่าวสามารถนำมาคำนวณขนาดผลึกเฉลี่ยของโลหะออกไซด์ได้จากการ Scherrer [15] ผลการคำนวณแสดงดังตารางที่ 1

ตารางที่ 1 ขนาดผลึกเฉลี่ยของ CuO และ CeO₂ ในตัวเร่งปฏิกิริยาต่าง ๆ

ตัวเร่งปฏิกิริยา	อัตราส่วน	ขนาดผลึก (นาโนเมตร)		
		CuO	CeO ₂	Al ₂ O ₃
CuO:CeO ₂ :Al ₂ O ₃	40:54:6	23.0	6.3	< 2
CuO:CeO ₂ :Al ₂ O ₃	40:51:9	20.1	7.2	< 2
CuO:CeO ₂ :Al ₂ O ₃	40:48:12	20.4	6.4	< 2
CuO:CeO ₂ :Al ₂ O ₃	40:42:18	19.5	5.8	< 2

จากการคำนวณขนาดผลึกของตัวเร่งปฏิกิริยาโลหะออกไซด์ผสมคوبเปอร์ออกไซด์ ชีเรียมออกไซด์ อลูมิเนียมออกไซด์ ที่ปริมาณอลูมิเนียมออกไซด์ต่างกันพบว่า ขนาดผลึกของคوبเปอร์ออกไซด์ในแต่ละตัวเร่งปฏิกิริยามีขนาดใกล้เคียงกันเนื่องจากปริมาณลัดส่วนของคوبเปอร์ออกไซด์ มีปริมาณเท่ากันที่ร้อยละ 40 โดยมวล ในขณะที่ขนาดผลึกของชีเรียมออกไซด์มีขนาดลดลงอาจเนื่องจากปริมาณของอลูมิเนียมออกไซด์เพิ่มมากขึ้น ในขณะที่ปริมาณของชีเรียมออกไซด์มีลดลง โดยขนาดผลึกของอลูมิเนียมออกไซด์มีขนาดเล็กกว่า 2 นาโนเมตรเป็นพราะปริมาณที่น้อยของอลูมิเนียมออกไซด์ในตัวเร่งปฏิกิริยา ทั้งนี้ขนาดผลึกของคوبเปอร์ออกไซด์จะใหญ่กว่าชีเรียมออกไซด์เสมอ เนื่องจากในวิธีการเตรียมสารตั้งต้นชีเรียมถูกเติมลงไปในขณะที่ปฏิกิริยาควบแน่นกำลังดำเนินไป โครงร่างตาข่ายของอลูมินาสารตั้งต้นชีเรียมจึงอยู่ในบริเวณรูพรุนของเจลร่วมกับโมเลกุลของน้ำ ดังนั้นมีการเปลี่ยนแปลงปริมาณอลูมินา รูพรุนจะยังคงมีขนาดเท่าเดิมตามสภาวะของการเตรียมด้วยวิธีโซลเจล [13], [16]

1.2 พื้นที่ผิวจำเพาะ ขนาดรูพรุนเฉลี่ยและปริมาตรรูพรุน ตัวเร่งปฏิกิริยาโลหะออกไซด์ผสมคوبเปอร์ออกไซด์ ชีเรียมออกไซด์ อลูมินาที่ปริมาณอลูมินาต่างกัน ถูกนำมายิ่งใหญ่ที่การคุณชันเชิงกายภาพของก้าช์ในโตรเจน เพื่อวิเคราะห์พื้นที่ผิวจำเพาะ ขนาดรูพรุนเฉลี่ยและปริมาตรรูพรุน ไอโซเทมของการคุณชันแสดงดังรูปที่ 2



รูปที่ 2 ไอโซเทอมการดูดซับเชิงกายภาพของตัวเร่งปฏิกิริยาที่มีอัตราส่วนร้อยละของคوبเปอร์ออกไซด์ชีเรียมออกไซด์ และอัลูมินาต่าง ๆ

จากลักษณะของไอโซเทอมดังรูปที่ 2 แสดงการดูดซับคายาขับของก้าชในไตรเจนลงบนตัวเร่งปฏิกิริยาพบว่า ค่าปริมาตรการดูดซับมีค่าเพิ่มสูงขึ้นเมื่อความดันสัมพัทธ์สูงขึ้นแสดงถึงการมีรูพรุนมากของตัวเร่งปฏิกิริยา ซึ่งลักษณะของไอโซเทอมตรงกับลักษณะของไอโซเทอมในรูปแบบที่ 4 แสดงว่าตัวเร่งปฏิกิริยาหักหมุดเมื่อขนาดรูพรุนในระดับเมโซ (Mesoporous) เป็นรูพรุนที่มีขนาดเล็กผ่านศูนย์กลางอยู่ระหว่าง 2 - 50 นาโนเมตร โดยลักษณะกราฟที่ค่าความดันสัมพัทธ์มากกว่า 0.40 ปริมาตรการดูดซับและปริมาตรการคายาขับจะมีค่าแตกต่างกันเกิดเป็นลักษณะ Hysteresis Loop ซึ่งตัวเร่งปฏิกิริยาโลหะออกไซด์พัฒนาคوبเปอร์ออกไซด์ ชีเรียมออกไซด์ อัลูมินา ที่ปริมาณอัลูมินาร้อยละ 6 12 และ 18 มีลักษณะ Hysteresis Loop รูปแบบที่ H3 และถึงลักษณะรูพรุนแบบ Slit-Shape ในขณะที่ตัวเร่งปฏิกิริยาที่ปริมาณอัลูมินาร้อยละ 9 มีลักษณะ Hysteresis Loop รูปแบบที่ H1 และถึงรูพรุนลักษณะทรงกระบอก (Cylindrical Like Pore) [17] จากผลการวิเคราะห์แสดงให้เห็นว่าการเพิ่มปริมาณอัลูมินาส่งผลให้ลักษณะรูพรุนของโลหะออกไซด์ด้วยสมการ BET [17] วิเคราะห์ขนาดรูพรุนเฉลี่ยด้วยวิธี BJH ดังตารางที่ 2

ตารางที่ 2 ค่าพื้นที่ผิวจำเพาะ ขนาดรูพรุนเฉลี่ย และปริมาตรรูพรุน

ตัวเร่งปฏิกิริยา	อัตราส่วน	พื้นที่ผิวจำเพาะ (ตารางเมตรต่อกรัม)	ขนาดรูพรุนเฉลี่ย (นาโนเมตร)	ปริมาตรรูพรุน (ลบ.ซม.ต่อกรัม)
*CuO:CeO ₂	30:70	116	11.2	-
*CuO:CeO ₂	50:50	91	17.8	-
CuO:CeO ₂ :Al ₂ O ₃	40:54:6	123	8.1	0.0047

ตารางที่ 2 ค่าพื้นที่ผิวจำเพาะ ขนาดรูพรุนเฉลี่ย และปริมาตรรูพรุน (ต่อ)

ตัวเร่งปฏิกิริยา	อัตราส่วน	พื้นที่ผิวจำเพาะ (ตารางเมตรต่อกรัม)	ขนาดรูพรุนเฉลี่ย (นาโนเมตร)	ปริมาตรรูพรุน (ลบ.ซม.ต่อกรัม)
CuO:CeO ₂ :Al ₂ O ₃	40:51:9	153	8.1	0.0030
CuO:CeO ₂ :Al ₂ O ₃	40:48:12	171	8.1	0.0056
CuO:CeO ₂ :Al ₂ O ₃	40:42:18	113	8.2	0.0069

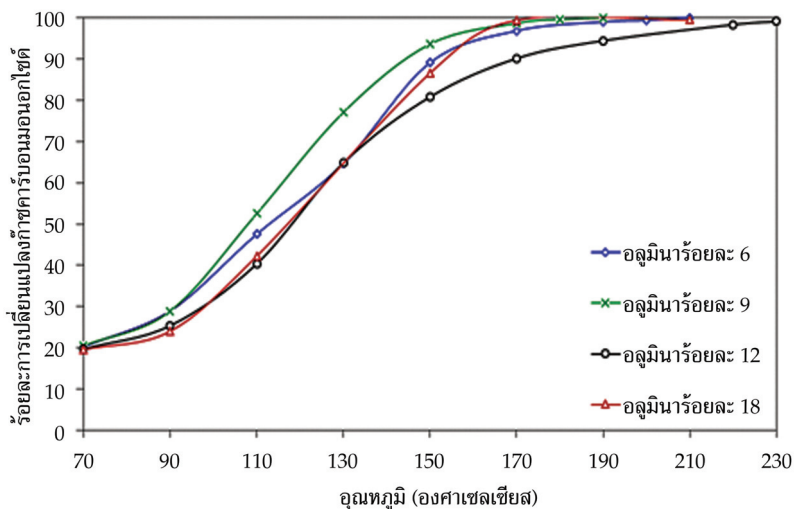
* ข้อมูลจาก Lou, M.-F., Ma, J.-M., Lu, J.-Q., Song, Y.-P., and Wang, Y.-J. [18] เตรียมตัวเร่งปฏิกิริยาด้วยวิธี Surfactant Template

จากตารางที่ 2 แสดงค่าพื้นที่ผิวจำเพาะของตัวเร่งปฏิกิริยาโลหะออกไซด์ผสมคopolyperoxyออกไซด์ ซีเรียมออกไซด์ อลูมินา ที่ปริมาณสัดส่วนของอลูมินาเป็นร้อยละ 6 9 12 และ 18 ตามลำดับเปรียบเทียบกับพื้นที่ผิวจำเพาะของ CuO-CeO₂ ที่อัตราส่วนโดยน้ำหนัก 30:70 และ 50:50 โดยน้ำหนักโดยพบร่วมกับการเติมอลูมินาสู่ผลให้พื้นที่ผิวจำเพาะเพิ่มขึ้น และเมื่อปริมาณอลูมินาเพิ่มขึ้นค่าพื้นที่ผิวจำเพาะจะมีค่าเพิ่มสูงขึ้นจนถึงปริมาณอลูมินาเนี้ยมร้อยละ 18 ค่าพื้นที่ผิวจำเพาะจึงมีค่าลดลง อาจเนื่องมาจากการซีเรียมออกไซด์มีจุดหลอมเหลวสูงกว่าอลูมินาจึงสามารถทนอุณหภูมิได้ดีกว่า ดังนั้นในขณะที่ปริมาณของอลูมินาเพิ่มสูงขึ้นสัดส่วนของซีเรียมออกไซด์มีค่าลดลง ทำให้ความสามารถในการทนต่อความร้อนลดลงสู่ผลทำให้ตัวเร่งปฏิกิริยาไม่พื้นที่ผิวลดลง [19] โดยตัวเร่งปฏิกิริยาโลหะออกไซด์ผสมคopolyperoxyออกไซด์ ซีเรียมออกไซด์ อลูมินา ที่ปริมาณสัดส่วนของอลูมินาเป็นร้อยละ 12 ให้ค่าพื้นที่ผิวจำเพาะสูงสุดที่ 170 ตารางเมตรต่อกรัม

2. การทดสอบความสามารถในการเร่งปฏิกิริยา

2.1 การเร่งปฏิกิริยาการเผาไหม้ก้าชคาร์บอนมอนอกไซด์

ตัวเร่งปฏิกิริยาทั้ง 4 ถูกนำมาทดสอบความสามารถในการเร่งปฏิกิริยาการเผาไหม้ก้าชคาร์บอนมอนอกไซด์ ผลการทดลองแสดงดังรูปที่ 3

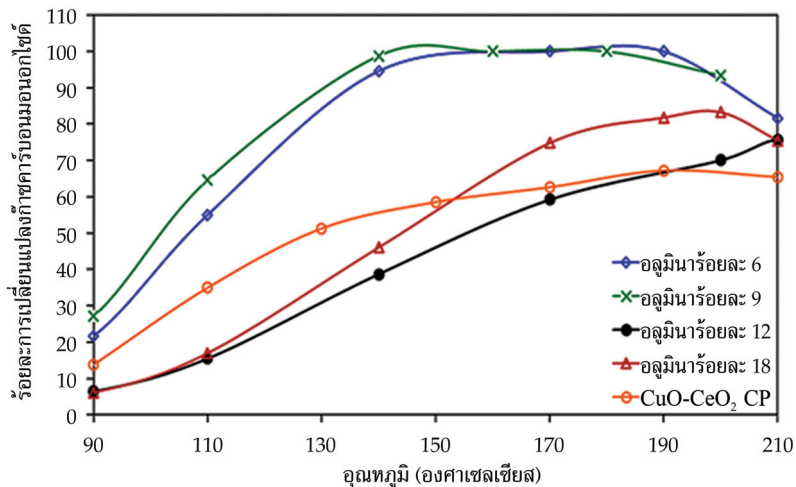


รูปที่ 3 ความสามารถในการเร่งปฏิกิริยาการเผาไหม้ก้าชคาร์บอนมอนอกไซด์ของตัวเร่งปฏิกิริยาที่มีอัตราส่วนร้อยละของคوبเปอร์ออกไซด์ ซีเรียมออกไซด์ และอลูมีนาต่าง ๆ

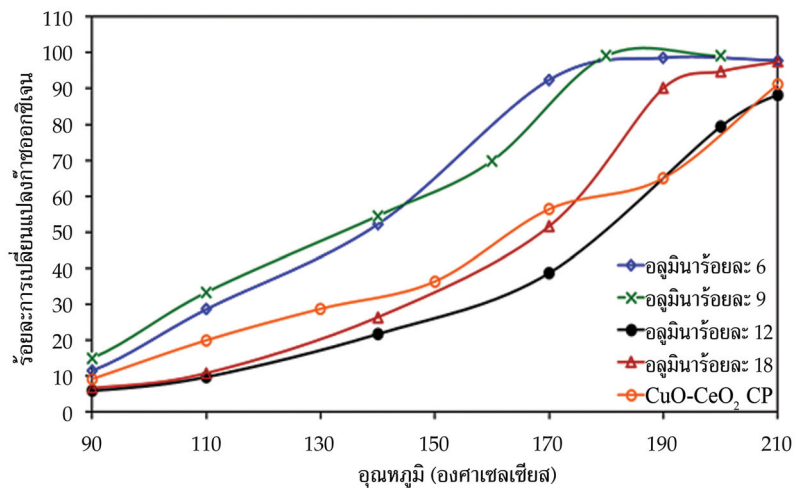
รูปที่ 3 แสดงผลการทดลองความสามารถในการเร่งปฏิกิริยาการเผาไหม้ก้าชคาร์บอนมอนอกไซด์ ออกซิเดชัน แก่นอนแสลงอุณหภูมินในการเกิดปฏิกิริยา และแกนตั้งแสดงค่าร้อยละการเปลี่ยนแปลง ก้าชคาร์บอนมอนอกไซด์พบว่า ตัวเร่งปฏิกิริยาที่มีอัตราส่วน ร้อยละคوبเปอร์ออกไซด์ ซีเรียมออกไซด์ และอลูมีนาเป็น 40:51:9 โดยน้ำหนัก แสดงความสามารถในการเร่งปฏิกิริยาได้ดีที่สุด คือ สามารถเปลี่ยน ก้าชคาร์บอนมอนอกไซด์เป็นคาร์บอนไดออกไซด์ได้ที่อุณหภูมิต่ำกว่าตัวเร่งปฏิกิริยาอื่น รองลงมาคือ ตัวเร่งปฏิกิริยาที่มีอัตราส่วนร้อยละคอบเปอร์ออกไซด์ ซีเรียมออกไซด์ และอลูมีนาเป็น 40:54:6 โดยน้ำหนัก ตัวเร่งปฏิกิริยาที่มีอัตราส่วนร้อยละคอบเปอร์ออกไซด์ ซีเรียมออกไซด์ และอลูมีนาเป็น 40:42:18 โดยน้ำหนัก และตัวเร่งปฏิกิริยาที่มีอัตราส่วนร้อยละคอบเปอร์ออกไซด์ ซีเรียมออกไซด์ และอลูมีนาเป็น 40:48:12 โดยน้ำหนัก โดยมีค่าร้อยละการเปลี่ยนแปลงคาร์บอนมอนอกไซด์เป็นร้อยละ 100 ที่อุณหภูมิ 190 องศาเซลเซียส ที่อุณหภูมิ 210 องศาเซลเซียส ที่อุณหภูมิ 220 องศาเซลเซียส และที่อุณหภูมิ 240 องศาเซลเซียส ตามลำดับ โดยตัวเร่งปฏิกิริยาสองตัวสุดท้ายให้ผลการเร่งปฏิกิริยาใกล้เคียงกัน ซึ่งผลการทดลองที่ได้สอดคล้องกับงานวิจัยของ Chen, Y. Z., Liaw, B. J., Wang, J. M., and Huang, C. T. [20] ที่ได้ศึกษาการลอกเกิดปฏิกิริยาการเผาไหม้ก้าชคาร์บอนมอนอกไซด์ของตัวเร่งปฏิกิริยา $\text{CuO}/\text{Ce}_x\text{Sn}_{1-x}\text{O}_2\text{-Al}_2\text{O}_3$ พบว่าความสามารถในการเร่งปฏิกิริยาการเผาไหม้ก้าชคาร์บอนมอนอกไซด์ ของตัวเร่งปฏิกิริยาลดลง เมื่อปริมาณอลูมิเนียมออกไซด์ในตัวเร่งปฏิกิริยาเพิ่มขึ้น จากการทดลอง อาจกล่าวได้ว่าการเติมอลูมิเนียมออกไซด์ลงไปในตัวเร่งปฏิกิริยาโลหะออกไซด์ผสมคوبเปอร์-ซีเรียม เพื่อเพิ่มความแข็งแรงให้กับโครงสร้างของโลหะออกไซด์ โดยการลดปริมาณซีเรียมออกไซด์ไม่สามารถ ทำให้ตัวเร่งปฏิกิริยาโลหะออกไซด์ผสมคوبเปอร์-ซีเรียมเร่งปฏิกิริยาได้ดีขึ้น แสดงว่าปริมาณซีเรียม ออกไซด์มีผลกระทบต่อความสามารถในการเร่งปฏิกิริยามากกว่าการกระจายตัวของโลหะออกไซด์ภายใน ตัวเร่งปฏิกิริยา [8]

2.2 ปฏิกริยาการเลือกเกิดการเผาไหม้ก้าชคาร์บอนมอนอกไซด์

ตัวเร่งปฏิกริยาโลหะออกไซด์ผสมถูกนำมาทดสอบความสามารถในการเร่งปฏิกริยาการเลือกเกิดคาร์บอนมอนอกไซด์ออกซิเดชันในสภาวะที่มีก๊าซไฮโดรเจนมากเกินพอก ผลการทดลองแสดงดังรูปที่ 4

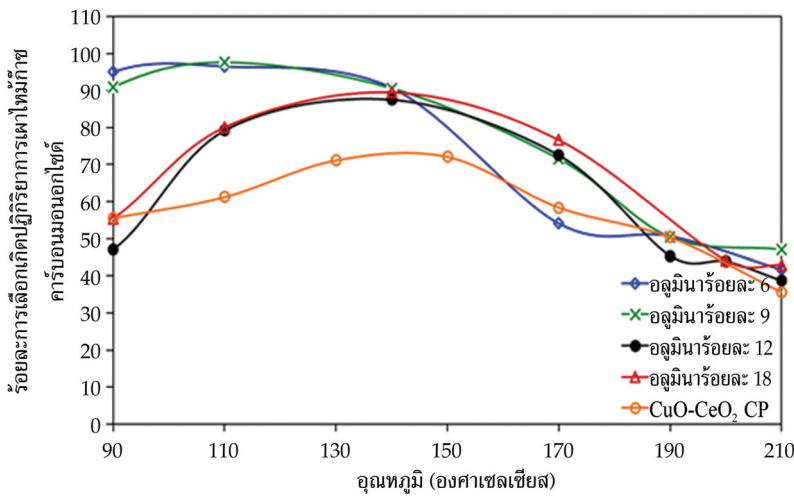


(ก) ร้อยละการเปลี่ยนแปลงก๊าชคาร์บอนมอนอกไซด์



(ข) ร้อยละการเปลี่ยนแปลงก๊าชออกไซเดน

รูปที่ 4 ความสามารถในการเร่งปฏิกริยาการเลือกเกิดการเผาไหม้ก้าชคาร์บอนมอนอกไซด์



(ค) ร้อยละการเลือกເກີດປົກກົງກາງພາໄທໜັກຝາກ

รูปที่ 4 ความสามารถในการเร่งปฏิกิริยาการเลือกເກີດການເພາໄທໜັກຝາກນອນນອກໃຫ້ (ต่อ)

รูปที่ 4 แสดงผลการเร่งปฏิกิริยาการเลือกເກີດປົກກົງກາງພາໄທໜັກຝາກນອນນອກໃຫ້ອອກຊີເຕັ້ນໂດຍຈະແບ່ງອອກເປັນ 3 ສ່ວນ ໄດ້ແກ່ ຮູບທີ 4(ກ) ແສດຄ່າຮ້ອຍລະກາບເປົ້າມາດີເປັນກໍາທຳການນອນນອກໃຫ້ເປັນຟັງກໍ່ສັນກັບອຸນຫຼວມ ຂຶ້ນພວກວ່າຄ່າຮ້ອຍລະກາບເປົ້າມາດີເປັນກໍາທຳການນອນນອກໃຫ້ມີຄ່າເພີ່ມຂຶ້ນເມື່ອອຸນຫຼວມເພີ່ມຂຶ້ນ ເມື່ອຳນົງອຸນຫຼວມທີ່ຈະພວກວ່າເມື່ອເພີ່ມອຸນຫຼວມຕ່ອງໄປກໍາທຳການເປົ້າມາດີເປັນກໍາທຳການນອນນອກໃຫ້ຈະລດລົງ ທັນນີ້ຜົລກວິເຄຣາທີ່ດ້ວຍ GC ພວກວ່າ ໃນມີຜົລິດກັນທີ່ອື່ນເກີດຂັ້ນນອກຈາກກໍາທຳການນອນນອກໃຫ້ ແລະນໍ້ ຂຶ້ນໝາຍຄວາມວ່າໄມ້ເກີດປົກກົງກາງຂ້າງເຄີ່ງ ຄື່ອ ປົກກົງກາງເກີດມືເຖັນ ($\text{CO} + 3\text{H}_2 \rightarrow \text{CH}_4 + \text{H}_2\text{O}$) ດັ່ງນັ້ນປົກກົງກາງທີ່ເກີດຂັ້ນກາຍໃນເຄື່ອງປົກກົງການຈົງມີເພີ່ຍງ 2 ປົກກົງກາງ ອື່ອການນອນນອກໃຫ້ອອກຊີເຕັ້ນ ແລະໄອໂໂໂຣເຈນອອກຊີເຕັ້ນ ຂຶ້ນມີການແຂ່ງຂັ້ນກັນຕົວດູວລູ ການຄຳນວນຄ່າຮ້ອຍລະກາບເລືອກເກີດການນອນນອກໃຫ້ອອກຊີເຕັ້ນນີ້ໄຟການທຳສິນດູລົມວລການນອນໄດ້ຕາມສຸມການທີ່ (2) [21] ພົລກາຣທດລອງແສດງໃຫ້ເຫັນຂັ້ນຈົນວ່າທີ່ອຸນຫຼວມສູງປົກກົງກາຍໄອໂໂຣເຈນອອກຊີເຕັ້ນເກີດໄດ້ຕົກວ່າປົກກົງກາງ ການນອນນອກໃຫ້ອອກຊີເຕັ້ນນັ້ນເອງ ຮູບທີ 4(ຂ) ແສດຄື້ນການທາຍໄປຂອງກໍາຊອກຊີເຈັນຂຶ້ນພວກວ່າ ກໍາຊອກຊີເຈັນຖຸກໃຫ້ໄປໃນປົກກົງກາງຈານໜົດ ໂດຍປົກກົງກາງໃຫ້ຈະເພີ່ມຂຶ້ນຕາມອຸນຫຼວມ ແລະຮູບທີ 4(ຄ) ແສດຄື້ນຄ່າຮ້ອຍລະກາບເລືອກເກີດການນອນນອກໃຫ້ອອກຊີເຕັ້ນເປັນຟັງກໍ່ສັນກັບອຸນຫຼວມ ໂດຍໃນເຮັມຕັ້ນຄ່າຮ້ອຍລະກາບເລືອກເກີດປົກກົງກາງການນອນນອກໃຫ້ອອກຊີເຕັ້ນນີ້ມີຄ່າເພີ່ມຂຶ້ນເມື່ອອຸນຫຼວມເພີ່ມຂຶ້ນ ແສດງວ່າປົກກົງກາງການນອນນອກໃຫ້ອອກຊີເຕັ້ນເກີດໄດ້ຕົກວ່າປົກກົງກາງໄອໂໂຣເຈນອອກຊີເຕັ້ນ (ຄ້າຄ່ານີ້ເຫັນກັບ 100 ແສດງວ່າກໍາຊອກຊີເຈັນທີ່ທາຍໄປທັງໝົດຖຸກນຳໄປໃຫ້ກັບປົກກົງກາງການນອນນອກໃຫ້ອອກຊີເຕັ້ນເທົ່ານັ້ນ ຄ້າຄ່ານີ້ເຫັນກັບ 50 ແສດງວ່າກໍາຊອກຊີເຈັນທີ່ທາຍໄປຖຸກນຳໄປໃຫ້ກັບປົກກົງກາງທັງສອງຢ່າງລະເທົ່າ ၅ ກັນ ແລະ ຄ້າຄ່ານີ້ເຫັນກັບ 0 ແສດງວ່າກໍາຊອກຊີເຈັນທີ່ທາຍໄປ ຖຸກນຳໄປໃຫ້ກັບປົກກົງກາງໄອໂໂຣເຈນອອກຊີເຕັ້ນເທົ່ານັ້ນ ຂຶ້ນກົມນີ້ຈະໄມ້ສາມາດກຳຈັດກໍາທຳການນອນນອກໃຫ້ໄດ້ ແຕ່ກໍລັບເລື່ອກໍາຊີໃຫ້ໂໂຣເຈນທີ່ເປັນເຂົ້ວເພີ່ມທັກ) ດັ່ງນັ້ນຕ້ວເລີ່ມປົກກົງກາງທີ່ດີກວ່າຈະໄຫ້ກໍາທຳການນອນນອກໃຫ້ໄດ້ ແລະຮ້ອຍລະກາບເລືອກເກີດການນອນນອກໃຫ້ ແລະຮ້ອຍລະກາບເລືອກເກີດການນອນນອກໃຫ້

เมื่อพิจารณาผลการทดลองดังรูปที่ 4 พบร่วมตัวเร่งปฏิกิริยา 2 ตัว คือ ที่อลูมินา ร้อยละ 6 และร้อยละ 9 ที่ให้ค่าการเปลี่ยนแปลงก้าชคาร์บอนมอนอกไซด์ และค่าร้อยละการเลือกเกิด คาร์บอนมอนอกไซด์ออกซิเดชันที่สูง โดยตัวเร่งปฏิกิริยาที่มีอลูมินาร้อยละ 6 ให้ค่าร้อยละการเปลี่ยนแปลง ก้าชคาร์บอนมอนอกไซด์ 100 ที่ 150 - 190 องศาเซลเซียส ด้วยค่าร้อยละการเลือกเกิดคาร์บอนมอนอกไซด์ ออกซิเดชัน 78 ที่ 150 องศาเซลเซียส และ 50 ที่ 190 องศาเซลเซียส ในขณะที่ตัวเร่งปฏิกิริยาที่มีอลูมินา ร้อยละ 9 ให้ค่าร้อยละการเปลี่ยนแปลงก้าชคาร์บอนมอนอกไซด์ 100 ที่ 140 - 180 องศาเซลเซียส ด้วยค่าร้อยละการเลือกเกิดคาร์บอนมอนอกไซด์ออกซิเดชัน 86 ที่ 140 องศาเซลเซียส และ 60 ที่ 180 องศาเซลเซียส เมื่อพิจารณาอุณหภูมิค่าร้อยละการเปลี่ยนแปลงก้าชคาร์บอนมอนอกไซด์ และ ค่าร้อยละการเลือกเกิดคาร์บอนมอนอกไซด์ออกซิเดชัน พบร่วมตัวเร่งปฏิกิริยาที่มีอลูมินาร้อยละ 9 มีความเหมาะสมที่สุดในการนำมาใช้ในการจำกัดก้าชคาร์บอนมอนอกไซด์ในสภาวะที่มีก้าชออกซิเจน ในปริมาณมากเกินพอ

นอกจากนี้แล้วผลการทดลองในรูปที่ 4(ช) สามารถนำมาใช้อธิบายความสามารถในการเร่งปฏิกิริยาของตัวเร่งปฏิกิริยาที่มีปริมาณอลูมินาสูงได้ดังนี้ ปริมาณอลูมินาส่วนผลกระทบต่อการเร่งปฏิกิริยาของตัวเร่งปฏิกิริยา โดยพบว่าอัตราการเปลี่ยนแปลงก้าชออกซิเจนหรือการใช้ออกซิเจนเกิดช้าลง เมื่อมีอลูมินาเพิ่มขึ้นในโลหะออกไซด์ผสม คือ ก้าชออกซิเจนถูกใช้ในปฏิกิริยาที่อุณหภูมิสูงขึ้น สาเหตุอาจเกิดได้จากปริมาณเชื้อเริ่มออกไซด์ที่ลดลง ทำให้การกักเก็บออกซิเจนลดลง การใช้ออกซิเจนในสถานก้าช จึงลดน้อยลงไปด้วย ดังนั้นการเติมอลูมินาลงในตัวเร่งปฏิกิริยานี้ ส่งผลให้ตัวเร่งปฏิกิริยาบังคับเร่งปฏิกิริยาได้เพียงแต่การดำเนินไปของปฏิกิริยาจะถูกเลื่อนออกไปที่อุณหภูมิสูงขึ้น และเนื่องจากปฏิกิริยาไฮโดรเจนออกซิเดชันเกิดได้ตั้งแต่อุณหภูมิสูง [22] จึงทำให้ตัวเร่งปฏิกิริยาโลหะออกไซด์ผสมควบคุมเปอร์เซ็นต์เริ่มที่มีการเติมอลูมินาในปริมาณมากกว่าร้อยละ 9 โดยน้ำหนักให้ค่าร้อยละการเลือกเกิดปฏิกิริยาการเผาไหม้ก้าช คาร์บอนมอนอกไซด์ต่ำ (ต่ำกว่าร้อยละ 50)

จากการทดลองนี้จะเห็นได้ว่าตัวเร่งปฏิกิริยา CuO-CeO_2 ที่มี Al_2O_3 ร้อยละ 9 เป็นตัวเร่งปฏิกิริยาที่เหมาะสมกับปฏิกิริยาการเลือกเกิดคาร์บอนมอนอกไซด์ออกซิเดชัน โดยให้ค่าร้อยละการเปลี่ยนแปลงคาร์บอนมอนอกไซด์ 100 ในช่วงอุณหภูมิ 140 - 180 องศาเซลเซียส และมีค่าร้อยละการเลือกเกิดคาร์บอนมอนอกไซด์ออกซิเดชันสูงกว่า 60 ถือว่าเป็นช่วงอุณหภูมิกว้างกว่ากรณีที่ใช้ตัวเร่งปฏิกิริยา CuO-CeO_2 [3], [23] - [24] ทั้งนี้อาจเป็นเพราะ Al_2O_3 เพิ่มความแข็งแรงให้กับตัวเร่งปฏิกิริยา ทำให้ CuO และ CeO_2 กระจายตัวได้ และแรงกระทำระหว่าง CeO_2 กับ Al_2O_3 ยังช่วยเพิ่ม Capacity ในการกักเก็บออกซิเจนของ CeO_2 อีกด้วย [8]

สรุปผล

การเติมอลูมินาในโลหะออกไซด์ผสมควบคุมเปอร์เซ็นต์เริ่ม ส่งผลให้พื้นที่ผิวจำเพาะมีค่ามากขึ้น และขนาดผลึกของโลหะออกไซด์ลดลงเพียงเล็กน้อย โดยโลหะออกไซด์ผสมควบคุมเปอร์เซ็นต์เริ่มและอลูมินา ที่อัตราส่วน 40:48:12 ให้ค่าพื้นที่ผิวจำเพาะสูงสุดเป็น 170.4 ตารางเมตรต่อกรัม เมื่อนำตัวเร่งปฏิกิริยาไปทดลอง ความสามารถในการเร่งปฏิกิริยาคาร์บอนมอนอกไซด์ออกซิเดชัน และปฏิกิริยาการเลือกเกิดคาร์บอนมอนอกไซด์

ออกซิเดชัน พบว่าตัวเร่งปฏิกิริยา ที่อัตราส่วนร้อยละ 40:51:9 โดยน้ำหนัก ให้ผลการเร่งปฏิกิริยาสูงสุด โดยให้ค่าร้อยละการเปลี่ยนแปลงกําชาร์บอนมอนอกไซด์เท่ากับ 100 ที่อุณหภูมิ 140 - 180 องศาเซลเซียส เป็นช่วงอุณหภูมิที่กว้าง และให้ค่าร้อยละการเลือกเกิดการburn-onมอนอกไซด์ออกซิเดชันสูงถึง 86 ที่อุณหภูมิ 140 องศาเซลเซียส และร้อยละ 60 ที่อุณหภูมิ 180 องศาเซลเซียส จะเห็นได้ว่าปริมาณโลหะออกไซด์ ในตัวเร่งปฏิกิริยาเป็นปัจจัยสำคัญที่ลุ่งผลต่อคุณสมบัติทางกายภาพและความสามารถในการเร่งปฏิกิริยา โดยตัวเร่งปฏิกิริยา $\text{CuO-CeO}_2\text{-Al}_2\text{O}_3$ ที่อัตราส่วนร้อยละ 40:51:9 โดยน้ำหนัก เป็นตัวเร่งปฏิกิริยา ที่เหมาะสมที่สุดในการนำมาใช้ในการกำจัดกําชาร์บอนมอนอกไซด์ในสภาวะที่มีกําชีotropic เจรเจนมากเกินพอ

กิตติกรรมประกาศ

งานวิจัยนี้ได้รับทุนสนับสนุนจากคณะกรรมการศาสตร์ มหาวิทยาลัยบูรพา เลขที่สัญญา 11/2553

References

- [1] Nepel, T. C. M., Lopes, P. P., Paganin, V. A., and Ticianelli, E. A. (2013). CO Tolerance of Proton Exchange Membrane Fuel Cells with Pt/C and PtMo/C Anodes Operating at High Temperatures: A Mass Spectrometry Investigation. **Electrochimica Acta**. Vol. 88, pp. 217-224. DOI: 10.1016/j.electacta.2012.10.039
- [2] Ayastuy, J. L., González-Marcos, M. P., Gonza'lez-Velasco, J. R., and Gutiérrez-Ortiz, M. A. (2007). MnO_x/Pt/Al₂O₃ Catalysts for CO Oxidation in H₂-Rich Streams. **Applied Catalysis B: Environmental**. Vol. 70, pp. 532-541
- [3] Liu, Y., Fu, Q., and Stephanopoulos, M. F. (2004). Preferential Oxidation of CO in H₂ Over CuO-CeO₂ Catalysts. **Catalysis Today**. Vol. 93-95, pp. 241-246. DOI: 10.1016/j.cattod.2004.06.049
- [4] Gamarra, D., Belver, C., Fernández-García, M., and Martínez-Arias, A. (2007). Selective CO Oxidation in Excess H₂ Over Copper-Ceria Catalysts: Identification of Active Entities/Species. **Journal of the American Chemical Society**. Vol. 129, pp. 12064-12065. DOI: 10.1021/ja073926g
- [5] Polster, C. S., Nair, H., and Baertsch, C. (2009). Study of Active Sites and Mechanism Responsible for Highly Selective CO Oxidation in H₂ Rich Atmospheres on a Mixed Cu and Ce Oxide Catalyst. **Journal of Catalysis**. Vol. 266, Issue 2, pp. 308-319. DOI: 10.1016/j.jcat.2009.06.021
- [6] Bae, C. M., Ko, J. B., and Kim, D. H. (2005). Selective Catalytic Oxidation of Carbon Monoxide with Carbon Dioxide, Water Vapor and Excess Hydrogen on CuO-CeO₂ Mixed Oxide Catalysts. **Catalysis Communication**. Vol. 6, Issue 8, pp. 507-511. DOI: 10.1016/j.catcom.2005.04.017
- [7] Cortés, A. G., Márquez, Y., Alatorre, J. A., and Díaz, G. (2008). Selective CO Oxidation in Excess of H₂ Over High Surface Area CuO/CeO₂ Catalysts. **Catalysis Today**. Vol. 133-135, pp. 743-749. DOI: 10.1016/j.cattod.2007.12.083

- [8] Wei, Z., Li, H., Zhang, X., Yan, S., Lv, Z., Chen, Y., and Gong, M. (2008). Preparation and Property Investigation of CeO₂-ZrO₂-Al₂O₃ Oxygen Storage Compounds. **Journal of Alloys and Compounds**. Vol. 455, pp. 322-326. DOI: 10.1016/j.jallcom.2007.01.060
- [9] Morikawa, A., Suzuki, T., Kanazawa, T., Kikuta, K., Suda, A., and Shinjo, H. (2008). A New Concept in High Performance Ceria-Zirconia Oxygen Storage Capacity Material with Al₂O₃ as a Diffusion Barrier. **Applied Catalysis B: Environmental**. Vol. 78, No. 3-4, pp. 210-221. DOI: 10.1016/j.apcatb.2007.09.013
- [10] Brinker, C. J. and Scherer, G. W. (1990). **Sol-Gel: the Physic and Chemistry of Sol-Gel Processing**. Elsevier's Science and Technology Rights Department in Oxford UK.
- [11] Cauqui, M. A. and Rodríguez-Izquierdo, J. M. (1992). Application of the Sol-Gel Methods to Catalyst Preparation. **Journal of Non-Crystalline Solids**. Vol. 147–148, pp. 724-738. DOI: DOI:10.1016/S0022-3093(05)80707-0
- [12] Ward, D. A. and Ko, E. L. (1995). Preparing Catalytic Materials by the Sol-Gel Method. **Industrial & Engineering Chemistry Research**. Vol. 34, pp. 421-433. DOI: 10.1021/ie00041a001
- [13] Manasilp, A. and Gulari, E. (2002). Selective Oxidation of Pt/alumina Catalysts for Fuel Cell Applications. **Applied Catalysis B: Environmental**. Vol. 37, Issue 1, pp.17-25. DOI: 10.1016/S0926-3373(01)00319-8
- [14] Sreethawong, T., Suzuki, Y., and Yoshikawa, S. (2009). Platinum-Loaded Mesoporous Titania by Single-Step Sol-Gel Process with Surfactant Template: Photocatalytic Activity for Hydrogen Evolution. **Comptes Rendus Chimie**. Vol. 9, pp. 307-314. DOI: 10.1016/j.crci.2005.05.015
- [15] Hargreaves, J. S. J. (2016). Some Considerations Related to the use of the Scherrer Equation in Powder X-Ray Diffraction as Applied to Heterogeneous Catalysts. **Catalysis, Structure & Reactivity**. Vol. 2, Issue 2-4, pp. 33-37. DOI: 10.1080/2055074X.2016.1252548
- [16] Hernandez, R. P., Cortes, A. G., Alatorre, J. A., Rojas, S., Mariscal, R., Fierro, J. L. G., and Diaz, G. (2005). SCR of NO by CH₄ on Pt/ZrO₂-TiO₂ Sol-Gel Catalysts. **Catalysis Today**. Vol. 107-108, pp. 149-159. DOI: 10.1016/j.cattod.2005.07.080
- [17] Sing, K. S. W. and Williams, R. T. (2004). Physisorption Hysteresis Loops and the Characterization of Nanoporous Materials. **Adsorption Science & Technology**. Vol. 22, Issue 10, pp. 773-782. DOI: 10.1260/0263617053499032
- [18] Lou, M.-F., Ma, J.-M., Lu, J.-Q., Song, Y.-P., and Wang, Y.-J. (2007). High-Surface Area CuO-CeO₂ Catalysts Prepared by a Surfactant-Templated Method for Low-Temperature CO Oxidation. **Journal of Catalysis**. Vol. 246, No. 1, pp. 52-59. DOI: 10.1016/j.jcat.2006.11.021
- [19] Fonseca, R. O., Rabelo-Neto, R. C., Simões, R. C. C., Mattos, L. V., and Noronha, F. B. (2020). Pt supported on doped CeO₂/Al₂O₃ as Catalyst for Dry Reforming of Methane. **International Journal of Hydrogen Energy**. Vol. 45, Issue 8, pp. 5182-5191. DOI: 10.1016/j.ijhydene.2019.09.207
- [20] Chen, Y. Z., Liaw, B. J., Wang, J. M., and Huang, C. T. (2008). Selective Removal of CO from Hydrogen Rich Stream Over CuO/Ce_xSn_{1-x}O₂-Al₂O₃ Catalysts. **International Journal of hydrogen energy**. Vol. 33, No. 9, pp. 2389-2399. DOI: 10.1016/j.ijhydene.2008.02.056

- [21] Lee, H. C. and Kim, D. H. (2008). Kinetics of CO and H₂ Oxidation Over CuO-CeO₂ Catalyst in H₂ Mixtures with CO₂ and H₂O. **Catalysis Today**. Vol. 132, No. 1-4, pp 109-116. DOI: 10.1016/j.cattod.2007.12.028
- [22] Moretti, E., Lenarda, M., Storaro, L., Talon, A., Montanari, T., Busca G., Rodriguez-Castellon, E., Jimenez-Lopez, A., Turco, M., Bagnasco, G., and Frattini, R. (2008). One-Step Synthesis of a Structurally Organized Mesoporous CuO-CeO₂-Al₂O₃ System for the Preferential CO Oxidation. **Applied Catalysis A: General**. Vol. 335, Issue 1, pp. 46-55. DOI: 10.1016/j.apcata.2007.11.009
- [23] Mariño, F., Schönbrod, B., Moreno, M., Jobbágy, M., Baronetti, G., and Laborde, M. (2008). CO Preferential Oxidation Over CuO-CeO₂ Catalysts Synthesized by the Urea Thermal Decomposition Method. **Catalysis Today**. Vol. 133-135, pp. 735-742. DOI: 10.1016/j.cattod.2007.12.019
- [24] Martínez-Arias, A., Hungría, A. B., Munuera, G., and Gamarra, D. (2006). Preferential Oxidation of CO in Rich H₂ Over CuO/CeO₂: Details of Selectivity and Deactivation Under the Reactant Stream. **Applied Catalysis B: Environmental**. Vol. 65, pp. 207-216. DOI: 10.1016/j.apcatb.2012.11.008

การเจริญเติบโต ประสิทธิภาพการย่อยได้ของคาร์โบไฮเดรต และโปรตีนในอาหารเสริมกระเจี๊ยบเขียวของปลาการคำ

Growth Performance, Carbohydrate and Protein Digestibility of *Labeo chrysophekadion* Fed with Okra Supplemented Feed

จุลทรรศน์ คีรีແลง¹ เกรียงศักดิ์ เม่งอ่ำพัน¹ ชนกันต์ จิตมนัส¹ Hien Van Doan² และสุดาพร ตงคิริ^{*}
Julatat Keereelang¹ Kriangsak Mangumphan¹ Chanagun Chitmanat¹
Hien Van Doan² and Sudaporn Tongsiri^{1*}

Received: April 10, 2020; Revised: September 12, 2020; Accepted: September 16, 2020

บทคัดย่อ

การศึกษาในครั้งนี้มีวัตถุประสงค์เพื่อศึกษาประสิทธิภาพในการย่อยคาร์โบไฮเดรต และโปรตีนในวัตถุดินและอาหารปลาการคำ และระดับที่เหมาะสมในการเสริมกระเจี๊ยบเขียวในอาหารปลาการคำ โดยทำการศึกษาในปลาการคำนำ้าหนักเฉลี่ยเริ่มต้นเท่ากับ 3.11 ± 0.61 กรัม/ตัว และความยาวเริ่มต้นเฉลี่ยเท่ากับ 7.05 ± 0.60 เซนติเมตร/ตัว วางแผนการทดลองแบบกลุ่มสมบูรณ์ โดยแบ่งกลุ่มทดลองเป็น 4 กลุ่ม กลุ่มทดลองละ 3 ชิ้น ได้แก่ ปลาที่ได้รับอาหารเสริมกระเจี๊ยบเขียวที่ระดับ 0, 2, 4 และ 6 % ตามลำดับ โดยมีระดับโปรตีนในอาหารเท่ากับ 36.70 % ทำการทดลองเป็นระยะเวลา 16 สัปดาห์ จากการทดลองพบว่าประสิทธิภาพการย่อยคาร์โบไฮเดรตในแป้งสาลี และกระเจี๊ยบเขียว มีค่าสูงที่สุดโดยมีค่าเท่ากับ 62.48 และ $48.67 \mu\text{mol maltose/g feed}/\text{amylase activity}$ ($P < 0.05$) ประสิทธิภาพการย่อยโปรตีน มีค่าสูงในปลาป่น โดยมีค่าเท่ากับ $50.74 \pm 2.47 \mu\text{mol DL-alanine equivalent/g feed}/\text{trypsin activity}$ ($P < 0.05$) สำหรับประสิทธิภาพการย่อยคาร์โบไฮเดรตในอาหารมีค่าสูงในอาหารเสริมกระเจี๊ยบเขียวที่ระดับ 0 % ($P < 0.05$) และประสิทธิภาพการย่อยได้ของโปรตีนมีค่าสูงในอาหารเสริมกระเจี๊ยบเขียวที่ระดับ 2 - 6 % อัตราการเจริญเติบโตของปลาการคำที่ได้รับอาหารเสริมกระเจี๊ยบเขียว

¹ คณะเทคโนโลยีการประมงและทรัพยากรทางน้ำ มหาวิทยาลัยแม่โจ้ เชียงใหม่

² คณะเกษตรศาสตร์ มหาวิทยาลัยเชียงใหม่

¹ Faculty of Fisheries Technology and Aquatic Resources, Maejo University, Chiang Mai

² Faculty of Agriculture, Chiang Mai University

* Corresponding Author E-mail Address: sudap2515@gmail.com

ที่ระดับ 2 % มีค่าสูงที่สุดทั้งน้ำหนักที่เพิ่มขึ้น การเจริญเติบโตจำเพาะและประสิทธิภาพการใช้โปรตีน ($P < 0.05$) สำหรับอัตราการростด้วย และอัตราการเปลี่ยนอาหารเป็นเนื้อมีค่าไม่ต่างกันทางสถิติระหว่างกลุ่มทดลอง ($P > 0.05$) สามารถย่อยกระเจี๊ยบเขียวได้ดีสามารถนำมาใช้เป็นวัตถุคุณค่าเสริมในอาหารปลาการคำได้

คำสำคัญ : ปลาการคำ; กระเจี๊ยบเขียว; ประสิทธิภาพการย่อยได้; การเจริญเติบโต

Abstract

The aim of this study were to investigate on *in vitro* carbohydrate and protein digestibility in feedstuffs and feed of Black shark minnow and detect the optimal level of okra supplementation. Black shark minnow with an initial weight and length were 3.11 ± 0.61 g/fish and 7.05 ± 0.60 cm./fish respectively. The completely randomize design was arrange to 4 treatments with 3 replications. Fish fed okra supplement at 0, 2, 4 and 6 % with isonitrogenous diet at 36.70 % protein for 16 week. The results showed that wheat flour and okra have the highest carbohydrate digestibility as 62.48 and $48.67 \mu\text{mol}$ maltose/g feed/amylase activity ($P < 0.05$). Protein digestibility was the highest in fish meal as $50.74 \pm 2.47 \mu\text{mol}$ *DL*-alanine equivalent/g feed/trypsin activity ($P < 0.05$). Carbohydrate digestibility was significantly in feed supplemented with okra at 0 % compared with other groups ($P < 0.05$). In addition, protein digestibility was significant highest in dietary supplemented with okra at 2 - 6 % compared with control group ($P < 0.05$). Growth performance and protein efficiency ratio of fish fed with supplemented okra at 2 % has higher than other groups ($P < 0.05$). On the other hand, survival rate and feed conversion ratio were not significant different among groups ($P > 0.05$).

Keywords: Greater Black Shark; Okra; Digestibility; Growth Performance

บทนำ

ปลาการคำ (*Labeo chrysophekadion*) เป็นปลาพื้นเมืองของไทยตัวโตมีขนาด 5 - 8 กิโลกรัม พบทั้งในแหล่งน้ำนิ่ง และน้ำไหลทั่วประเทศ [1] มีพฤติกรรมว่ายandreleemingตามทิศ และชอบกัดเกล็คของปลาอื่น กินตะไคร่น้ำ และชาดพืชชาดลัตต์เป็นอาหาร [2] เป็นปลาที่มีรสชาติดีนิยมบริโภคสดและเลี้ยงเป็นปลาสวยงาม ในภาคเหนือประเทศไทยนิยมน้ำมาประกอบอาหาร ราคาขายกิโลกรัมละ 80 - 180 บาท ขึ้นอยู่กับขนาด ปัจจุบันปลาการคำมีการเพาะเลี้ยงเพื่อจำหน่ายเป็นปลาสวยงามทั้งในและต่างประเทศ ปลาที่ผลิตได้จะล่วงออกในลักษณะปลาสวยงามเป็นส่วนใหญ่ โดยจะเป็นปลาที่มีขนาดเล็ก ส่วนปลาขนาดใหญ่ที่มีจำหน่ายในห้องตลาด ส่วนใหญ่เป็นปลาที่จับจากธรรมชาติ ซึ่งไม่เพียงพอต่อการบริโภคได้มีการทดลองเลี้ยงปลาการคำในบ่อคิน

โดยปล่อยที่ความหนาแน่น 2 ตัวต่อตารางเมตร โดยเลี้ยงเป็นระยะเวลา 9 เดือน ได้ปลาขนาดตัวละ 200 กรัม ได้ผลผลิต 290 กิโลกรัมต่อไร่ [3] ซึ่งผลผลิตที่ได้ค่อนข้างดีเนื่องจากปลา มีการเจริญเติบโต ค่อนข้างช้า ระยะเวลาที่ใช้เลี้ยงนาน จึงทำให้ต้นทุนในการเลี้ยงเพิ่มขึ้นตามระยะเวลาในการเลี้ยง สำหรับ การเจริญเติบโตของปลาชนิดอยู่กับปัจจัยหลายด้าน เช่น อาหาร คุณภาพน้ำ พันธุกรรมของปลา และ สุขภาพของปลา ซึ่งอาหารและสุขภาพของปลาถือเป็นปัจจัยหลักที่สำคัญต่อการเจริญเติบโตของปลา อาหารมีความสัมพันธ์โดยตรงกับสุขภาพของปลาที่จะส่งผลให้ปลาโตเร็ว [4] การใช้สมุนไพร หรืออาหารเสริม ช่วยให้ปลาสุขภาพดีขึ้น ส่งผลต่อการทำงานของระบบต่าง ๆ ในร่างกาย รวมถึงระบบย่อยอาหารให้ ทำงานดีขึ้น ส่งผลต่อการใช้ประโยชน์จากอาหารได้มากขึ้น กระเจี๊ยบเขียวเป็นพืชที่มีสรรพคุณทางยา ช่วยด้านอนามูลอิสระ และช่วยในการเจริญเติบโตของแบคทีเรียที่มีประโยชน์ในลำไส้ ซึ่งจะช่วยลดปริมาณพิษ ที่ผลิตจากแบคทีเรียที่ไม่มีประโยชน์ที่อาศัยอยู่ในลำไส้ [5] กระเจี๊ยบเขียวจัดเป็นพืชที่มีประโยชน์ ต่อสุขภาพ เนื่องจากมีเล็กน้อย วิตามินซี และไฟลเลตสูง นอกจากนี้ยังมีสารต้านอนามูลอิสระสูง และ เป็นแหล่งของแคลเซียม และโพแทสเซียม [6] โดยในกระเจี๊ยบเขียวมีสารประกอบพวงโพลีแซคcharide ซึ่งมีความสำคัญต่อระบบย่อยอาหาร และระบบภูมิคุ้มกัน นอกจากนี้ในกระเจี๊ยบเขียวมีเบต้ากลูแคน ซึ่งต้านการทำงานของเซลล์มะเร็ง และเม็ดเลือดขาวชนิดเนื้อครัวล์ กิลเลอร์เซลล์ (Natural Killer Cells) [7] - [8] และมีความสำคัญต่อการควบคุมสารอนามูลอิสระในร่างกาย การสร้างสารซ่อมแซมเซลล์ ทำปฏิริยาขัดสารพิษที่เกิดในร่างกาย ซึ่งคุณสมบัติดังกล่าวจะส่งผลต่อการเสริมสุขภาพของปลาให้ แข็งแรงขึ้น สามารถใช้ประโยชน์จากอาหารได้อย่างเต็มที่ ส่งผลต่อการเจริญเติบโตที่มีประสิทธิภาพ และรวดเร็ว ดังนั้นในการศึกษาครั้นนี้จึงมุ่งเน้นที่ศึกษาถึงระดับที่เหมาะสมของการใช้กระเจี๊ยบเขียว ในอาหาร เพื่อเพิ่มประสิทธิภาพการย่อย และการใช้อาหาร และการเจริญเติบโตของปลา gastric ซึ่งจะช่วยลดระยะเวลาในการเลี้ยงให้น้อยลง และได้อาหารที่มีต้นทุนต่ำในการเลี้ยงปลา gastric ใช้พานิชย์ต่อไป

วิธีดำเนินการวิจัย

1. การศึกษาภาระของเอนไซม์และประสิทธิภาพการย่อยได้ของวัตถุคุณและอาหาร การเตรียมตัวอย่างกระเพาะอาหารและลำไส้ปลา

นำตัวอย่างปลา gastric มาทำการลอกด้วยน้ำมันกานพลู (Clove Oil) จากนั้นทำการผ่าท้องปลา เพื่อเก็บตัวอย่างกระเพาะอาหาร และลำไส้เล็ก นำตัวอย่างกระเพาะอาหาร และลำไส้เล็กมาทำการบดละเอียด ด้วยเครื่องบดละเอียด (Homogenizer) ขณะที่บดจะแช่ในอ่างน้ำแข็งแล้วนำไปบีบเที่ยงที่ความเร็ว 10,000 g นาน 20 นาที ที่อุณหภูมิ 4 องศาเซลเซียส เก็บส่วนใส่ที่อุณหภูมิ -80 องศาเซลเซียส เพื่อใช้สำหรับวิเคราะห์ กิจกรรม และสภาวะที่เหมาะสมต่อการทำงานของเอนไซม์อะไมแลส และโปรดิโอสตามาวิธีของ [9]

2. การศึกษาความสามารถในการย่อยวัตถุคุณ และอาหารทดลองด้วยเอนไซม์ย่อยอาหารที่สกัดจากทางเดินอาหารปลา gastric

2.1 การหาค่า *in vitro digestibility* ในวัตถุคุณอาหาร

ทำการศึกษาความสามารถในการย่อยวัตถุคุณอาหารจำนวน 5 ชนิด ได้แก่ ปลาป่น แป้งสาลี ากาคั่วเหลือง กลูเตน และกระเจี๊ยบเขียว ตามวิธีของ [10] โดยนำวัตถุคุณอาหารไปบดด้วย Homogenizer และนำวัตถุคุณแต่ละชนิดมาชั่งน้ำหนักประมาณ 10 มิลลิกรัม พร้อมทั้งบันทึกน้ำหนัก

ที่แน่นอน จากนั้นเติม 50 mM Phosphate buffer pH 7 ปริมาตร 20 ml แล้วผสมให้เข้ากันด้วย Vortex Mixer เติม 0.5 % Chloramphenical 100 μ l และผสมให้เข้ากันด้วย Vortex Mixer นำไปบ่มในตู้บ่มเชื้อแบบเขย่าควบคุมอุณหภูมิ (Shaker Incubator) ที่ความเร็วรอบ 200 rpm อุณหภูมิ 30 °C เป็นเวลา 24 ชั่วโมง แบ่งตัวอย่างเก็บไว้ 250 μ l เพื่อเป็นกลุ่มควบคุมจากนั้นนำส่วนที่เหลือมาเติมสารลักษณะเฉพาะ 250 μ l ผสมให้เข้ากันด้วยเครื่องผสมสารละลาย (Vortex Mixer) นำไปบ่มในตู้บ่มเชื้อแบบเขย่าควบคุมอุณหภูมิ (Shaker Incubator) ที่ความเร็วรอบ 200 rpm อุณหภูมิ 30 °C เป็นเวลา 24 ชั่วโมง เก็บตัวอย่าง 1,000 μ l และตัวอย่างที่แบ่งไว้ล่าหรับเป็นกลุ่มควบคุม นำไปต้มในน้ำเดือดทันทีเป็นเวลา 10 นาที แล้วแยกขึ้นทันทีที่อุณหภูมิ -80 °C (Digested Solution) เพื่อนำไปวิเคราะห์ทางการย่อยโปรตีน และคาร์โนไนไฮเดรตต่อไป

2.2 การศึกษาการย่อยโปรตีนในอาหาร

การศึกษาการย่อยโปรตีนในอาหารตามวิธีของ [10] โดยนำ Digested Solution ที่ละลายแล้วไปปั่นให้เข้ากันด้วย Vortex Mixer นำ Digested Solution 200 μ l มาเติม 50 mM Phosphate buffer pH 8.2 ปริมาตร 2 ml แล้วผสมให้เข้ากันด้วยเครื่องผสมสารละลาย (Vortex Mixer) เติม 0.1 % TNBS (ใน 50 mM Phosphate buffer pH 8.2) ปริมาตร 1 ml แล้วผสมให้เข้ากันด้วยเครื่องผสมสารละลาย (Vortex Mixer) จากนั้นนำไปบ่มในที่มีต่ออุณหภูมิ 60 °C เป็นเวลา 1 ชั่วโมง หยุดปฏิกริยาโดยการเติม 1 M HCl ปริมาตร 1 ml และผสมให้เข้ากันด้วยเครื่องผสมสารละลาย (Vortex Mixer) ปล่อยให้เย็นที่อุณหภูมิห้องแล้ววัดค่าการดูดแสงที่ 420 nm โดยหาค่าปริมาณ Free Amino Group โดยเปรียบเทียบกับ DL-Alanine Standard Curve

2.3 การศึกษาการย่อยคาร์โนไนไฮเดรตในอาหาร

การศึกษาการย่อยคาร์โนไนไฮเดรตในอาหารตามวิธีของ [10] โดยนำ Digested Solution ที่ละลายแล้วไปปั่นให้เข้ากันด้วย Vortex Mixer ที่ความเร็วรอบ 10,000 g เป็นเวลา 10 นาที จากนั้นคูดตัวอย่างมา 250 μ l นำมาเติม 1 % DNS (ละลาย 2 M NaOH และ 0.6 % Sodium Potassium Tartrate) ปริมาตร 250 μ l แล้วผสมให้เข้ากันด้วยเครื่องผสมสารละลาย (Vortex Mixer) จากนั้นนำไปต้มในน้ำเดือดเป็นเวลา 5 นาที ปล่อยให้เย็นลงที่อุณหภูมิห้อง แล้วเติมน้ำกลั่นปริมาตร 2.5 ml และผสมให้เข้ากันด้วย Vortex Mixer วัดค่าการดูดแสงที่ 540 nm หาค่าปริมาณ Reducing Sugar โดยเปรียบเทียบกับ Maltose Standard Curve

3. การศึกษาการเจริญเติบโตของปลาค้า

3.1 การเตรียมปลาทดลอง

ปลาค้าที่ใช้ในการศึกษาเป็นลูกปลาที่ได้จากการเพาะพันธุ์จากศูนย์วิจัยและพัฒนาประมงน้ำจืด จังหวัดแพร่ มีอายุประมาณ 2 เดือน นำมาเลี้ยงไว้ที่สาขาวิชาประมง มหาวิทยาลัยเทคโนโลยีราชมงคลล้านนา น่าน ในถังไฟเบอร์กลาสขนาด 1 ตัน เพื่อปรับสภาพปลาให้คุ้นเคยกับการทดลอง เป็นระยะเวลา 1 สัปดาห์ และให้อาหารเม็ดสูตรควบคุม วันละ 2 มื้อ คือ มื้อเช้าเวลา 09.00 น. และมื้อเย็นคือ 16.00 น. ในระหว่างการเลี้ยงทำการเปลี่ยนถ่ายน้ำ และคูดตะกอนทุก ๆ 2 วัน จนได้ลูกปลาขนาดหนักเฉลี่ย 3 กรัม

3.2 การเตรียมกระเจียนเขียว

นำผลกระเจียนเขียวมาทำการล้างน้ำให้สะอาด จากนั้นตัดเอาส่วนขี้ทิ้งไปโดยเอว

เฉพาะส่วนที่เป็นผลกระเจี๊ยบเขียวมาหันเป็นขันเด็ก ๆ แล้วนำไปตากแดดให้แห้ง จากนั้นนำกระเจี๊ยบเขียวที่แห้งแล้วมาทำการบดให้ละเอียดด้วยเครื่องปั่น และนำไปใส่ไว้ในถุงชิป โดยปิดให้สนิทแล้วนำไปเก็บไว้ในตู้เย็นที่อุณหภูมิ 4 องศาเซลเซียส โดยกระเจี๊ยบเขียวมีค่าองค์ประกอบทางเคมี ได้แก่ โปรตีน 2 % ความชื้น 90.19 % เยื่อไผ่ 3.2 % ไขมัน 3.9 % และพลังงาน 33 kcal/100 กรัม

3.3 การเตรียมอาหารทดลอง

สูตรอาหารที่ใช้ได้ปรับปรุงมาจากสูตรของ [11] ซึ่งเป็นสูตรอาหารที่ใช้ศึกษาในปลาในมาใช้เป็นสูตรอาหารชุดควบคุม (Control) โดยนำส่วนผสมทั้งหมดมาคลุกเคล้าให้เข้ากัน จากนั้นนำไปอัดเป็นเม็ดโดยใช้เครื่องอัดอาหารเม็ดโดย จากนั้นนำไปเก็บไว้ที่อุณหภูมิ 4 องศาเซลเซียส เพื่อนำไปใช้ทดลองต่อไปดังตารางที่ 1

ตารางที่ 1 สูตรอาหาร และองค์ประกอบทางเคมีของอาหารทดลอง

Feed Stuff	Percentage of Okra (%)			
	0	2	4	6
Fishmeal	40.00	40.00	40.00	40.00
Wheat Flour	21.00	19.00	17.00	15.00
Soybean Meal	13.50	13.50	13.50	13.50
Wheat Gluten	5.50	5.50	5.50	5.50
Soybean Oil	6.00	6.00	6.00	6.00
Fish Oil	6.00	6.00	6.00	6.00
Minerals	3.00	3.00	3.00	3.00
Vitamins	2.00	2.00	2.00	2.00
Alpha - Starch	2.00	2.00	2.00	2.00
BHT	0.50	0.50	0.50	0.50
Antioxidant	0.50	0.50	0.50	0.50
Okra	0.00	2.00	4.00	6.00
Proximate Analysis (% dry weight)				
Moisture	7.78	8.24	8.41	8.99
Protein	36.70	35.71	35.59	34.46
Fat	11.13	2.33	2.85	2.21
Ash	3.48	6.49	6.02	5.59

หมายเหตุ: อาหารสูตรควบคุมปรับปรุงจาก [11]

4. วิธีการทดลอง

วางแผนการทดลองแบบสุ่มตกลอต (Completely Randomized Design; CRD) โดยแบ่งการทดลองออกเป็น 4 ชุดการทดลอง แต่ละชุดการทดลองมี 3 ขั้ดังนี้ ชุดการทดลองที่ 1 (ชุดควบคุม) อาหารที่ไม่มีกระเจี๊ยบเขียวเป็นส่วนผสม และชุดการทดลองที่ 2 - 4 อาหารที่มีกระเจี๊ยบเขียวเป็นส่วนผสม

2.4 และ 6 % ตามลำดับ ทดสอบอาหารโดยใช้ลูกปลาการคำน้ำหนักเฉลี่ยประมาณ 3 กรัม เลี้ยงในตู้กระจกขนาด $36 \times 16 \times 18$ นิ้ว จำนวน 12 ตู้ ใส่ปลาตู้ละ 30 ตัว ในระหว่างการเลี้ยงให้อาหาร 2 มื้อ (09.00 น. และ 16.00 น.) ทำการเปลี่ยนถ่ายน้ำ 50 % ทุกวัน ทำการทดลองเป็นระยะเวลา 16 สัปดาห์ เมื่อสิ้นสุดการทดลองทำการเก็บข้อมูล ทดสอบความแตกต่างทางสถิติของค่าเฉลี่ยประสีทอิพารการย่อยได้ออกอาหาร และอัตราการเจริญเติบโตของปลาในแต่ละชุดการทดลอง โดยใช้การวิเคราะห์ความแปรปรวนทางเดียว (One Way Analysis of Variance; ANOVA) ที่ระดับความเชื่อมั่น 95 % และเปรียบเทียบความแตกต่างของค่าเฉลี่ยโดยใช้วิธีการของ Duncan's Multiple Rang Test โดยใช้โปรแกรมทางสถิติ

ผลการทดลองและวิจารณ์

จากการศึกษาประสีทอิพารการย่อยการ์โนไนไฮเดรต และโปรตีนในวัตถุดินอาหาร ได้แก่ ปลาป่น กากถั่วเหลือง กลูเดน แป้งสาลี และกระเจี๊ยบเขียว ด้วยเอนไซม์ที่ลักษณะเดินอาหารปลาการคำนวณว่า ประสีทอิพารการย่อยการ์โนไนไฮเดรตในแป้งสาลี และกระเจี๊ยบเขียวมีค่าสูงที่สุด ($P < 0.05$) โดยมีค่าอยู่ในช่วง 43.96 - 48.86 $\mu\text{mol maltose/g feed/amylase activity}$ แต่เอนไซม์ในทางเดินอาหารปลาการคำนวณสามารถในการย่อยโปรตีนในปลาป่นได้สูงที่สุดโดยมีค่าเท่ากับ $50.74 \pm 2.47 \mu\text{mol DL-alanine equivalent/g feed/trypsin activity}$ (ตารางที่ 2)

ตารางที่ 2 ประสีทอิพารการย่อยการ์โนไนไฮเดรต และโปรตีนในวัตถุดินอาหารด้วยเอนไซม์ที่ลักษณะเดินอาหารของปลาค้า ได้ “Nd”

Feedstuff	Apparent Digestibility	
	Carbohydrate ($\mu\text{mol maltose/g feed/ amylase activity}$)	Protein ($\mu\text{mol DL-alanine equivalent/g feed/trypsin activity}$)
Fishmeal	$15.05 \pm 2.86^{\text{c}}$	$50.74 \pm 2.47^{\text{a}}$
Wheat flour	$43.96 \pm 2.96^{\text{a}}$	$38.77 \pm 2.28^{\text{b}}$
Soybean meal	$22.47 \pm 1.61^{\text{b}}$	$40.10 \pm 0.38^{\text{b}}$
Wheat gluten	$44.56 \pm 0.47^{\text{b}}$	Nd
Okra	$48.86 \pm 1.30^{\text{a}}$	$36.66 \pm 1.07^{\text{b}}$
P - value	0.0001	0.0001

หมายเหตุ: ค่าเฉลี่ยตามหลังด้วยตัวอักษรต่างกันตามแนวตั้งแตกต่างอย่างมีนัยสำคัญทางสถิติระดับความเชื่อมั่น 95 % Nd = ตรวจวัดไม่พบ (not detected)"

จากการศึกษาค่าประสีทอิพารการย่อยได้ออกอาหารทดลองที่มีการเสริมกระเจี้ยวน้ำที่ระดับต่าง ๆ กัน (ตารางที่ 3) พบร่วมประสีทอิพารการย่อยการ์โนไนไฮเดรตในอาหารกลุ่มควบคุมมีค่าที่สุด โดยมีค่าเท่ากับ $6.33 \mu\text{mol maltose/g feed/amylase activity}$ แต่ในทางตรงกันข้ามประสีทอิพารการย่อยได้ออกโปรตีนมีค่าต่ำที่สุดโดยมีค่าเท่ากับ $19.84 \mu\text{mol DL-alanine equivalent/g feed/trypsin activity}$

**ตารางที่ 3 ประสิทธิภาพการย่อยอาหารโดยใช้เอนไซม์ที่สกัดได้จาก
ทางเดินอาหารของปลาการคำ**

Treatment	Apparent Digestibility	
	Carbohydrate ($\mu\text{mol maltose/g feed}/\text{amylase activity}$)	Protein ($\mu\text{mol DL-alanine equivalent/g feed}/\text{trypsin activity}$)
control	6.33±0.66 ^a	19.84±0.32 ^b
Okra 2 %	2.11±0.58 ^b	27.36±1.77 ^a
Okra 4 %	2.66±0.23 ^b	30.27±0.40 ^a
Okra 6 %	3.50±1.41 ^b	26.51±0.88 ^a
P - value	0.0025	0.0022

หมายเหตุ: ค่าเฉลี่ยตามหลังด้วยตัวอักษรต่างกันตามแนวตั้งแต่กต่างอย่างมีนัยสำคัญทางสถิติระดับความเชื่อมั่นร้อยละ 95

ผลการศึกษาการเจริญเติบโตของปลาการคำที่ได้รับอาหารเสริมกระเจีຍว่าที่ระดับ 0 2 4 และ 6 % ตามลำดับ เป็นระยะเวลา 16 สัปดาห์ พบร่วมกับการเจริญเติบโต และประสิทธิภาพการใช้โปรตีนแตกต่างกันในแต่ละกลุ่มทดลอง ($P < 0.05$) ดังตารางที่ 4

ตารางที่ 4 การเจริญเติบโต ประสิทธิภาพการใช้โปรตีนของปลาการคำที่ได้รับอาหารเสริมกระเจีຍว่าที่ระดับต่าง ๆ เป็นระยะเวลา 16 สัปดาห์

Parameter	Level of Okra Supplemented in Diet (%)				P-Value
	0	2	4	6	
Final weight (g/fish)	6.48±0.09 ^b	7.50±0.21 ^a	6.21±0.22 ^b	6.28±0.09 ^b	0.0014
Final length (cm/fish)	6.70±0.14 ^c	8.33±0.15 ^a	7.50±0.28 ^b	7.25±0.35 ^{bc}	0.0028
Weight gain (g/fish)	3.37±0.09 ^b	4.39±0.21 ^a	3.31±0.40 ^b	3.34±0.30 ^b	0.0081
Length gain (cm/fish)	0.36±0.14 ^c	1.99±0.15 ^a	1.16±0.28 ^b	0.91±0.35 ^{bc}	0.0028
Specific growth rate (%/day)	0.61±0.01 ^b	0.73±0.02 ^a	0.63±0.04 ^b	0.58±0.0 ^b	0.0049
Survival rate (%)	100.00±0.00	100.00±0.00	100.00±0.00	100.00±0.00	.
Feed conversion ratio	4.38±0.08 ^a	4.06±0.28 ^a	4.17±0.12 ^a	4.01±0.19 ^a	0.2999
Protein efficiency ratio	0.00±0.00 ^b	0.01±0.00 ^a	0.00±0.00 ^b	0.00±0.00 ^b	0.0103

หมายเหตุ: ค่าเฉลี่ยตามหลังด้วยตัวอักษรต่างกันตามแนวโน้มแตกต่างอย่างมีนัยสำคัญทางสถิติระดับความเชื่อมั่นร้อยละ 95

การเจริญเติบโตของปลาการคำทั้งน้ำหนัก และความยาวที่เพิ่มขึ้นของปลาการคำกลุ่มที่ได้รับอาหารเสริมกระเจีຍว่าที่ระดับ 2 % มีค่าสูงที่สุดโดยมีค่าเท่ากับ 4.39 ± 0.21 กรัม/ตัว และ

1.99 ± 0.15 เซนติเมตร/ตัว ตามลำดับ รวมถึงการเจริญเติบโตจำเพาะที่มีค่าเท่ากับ 0.73 ± 0.02 %/วัน สำหรับประสีพิธิภาพการใช้อาหารโดยพิจารณาจากค่าอัตราการเปลี่ยนอาหารเป็นเนื้อ และประสีพิธิภาพการใช้โปรตีนพบว่า อัตราการเปลี่ยนอาหารเป็นเนื้อในแต่ละกลุ่มทดลองมีค่าไม่ต่างกันทางสถิติในแต่ละกลุ่มทดลอง ($P > 0.05$) โดยมีค่าอยู่ในช่วง $4.01 - 4.38$ แต่ประสีพิธิภาพการใช้โปรตีนของปลาค้าที่ได้รับอาหารเสริมกระเจียนเขียวที่ระดับ 2 % มีค่าสูงที่สุดโดยมีค่าเท่ากับ 0.01 ± 0.00

สรุปและการอภิปรายผล

จากการศึกษาประสีพิธิภาพการย่อยสาร์โนไอกเรตในวัตถุนิบริษัทพบว่าเนื่องจากสาร์โนไอกเรตได้จากการเดินอาหารของปลาค้าสามารถย่อยสาร์โนไอกเรตในแบบที่เป็นปกติ และกระบวนการเจ็บเขียวได้ดีกว่าวัตถุนิบริษัทอื่น ทั้งนี้เนื่องจากปลาค้าเป็นปลาที่กินทั้งพืชและสัตว์ (Omnivorous) [1] - [2], [12] ซึ่งมีความสามารถในการย่อยสาร์โนไอกเรตได้ดีกว่าปลาชนิดอื่น ทั้งนี้เนื่องจากปลาค้าเป็นปลาที่กินทั้งพืชและสัตว์ (Carnivorous) [13] ซึ่งจากวัตถุนิบริษัทที่ใช้ในการศึกษานั้น แบ่งออกเป็นสองประเภทคือการย่อยสาร์โนไอกเรตได้ดีกว่าวัตถุนิบริษัทอื่น ๆ ส่วนประสีพิธิภาพการย่อยโปรตีนพบว่ามีค่าสูงในปลาป่น เนื่องด้วยปลาค้าเป็นปลาที่กินทั้งพืชและสัตว์ (Omnivorous) ประสีพิธิภาพการย่อยโปรตีนจะมีค่าน้อยกว่าปลาชนิดอื่น (Carnivorous) แต่จะมีค่าสูงกว่าในปลาพืช (Herbivorous) [14] ซึ่งคล้ายกับปลาโนลที่เป็นปลาที่กินทั้งพืชและสัตว์ (Omnivorous) เช่นเดียวกัน ดังนั้นจึงส่งผลให้ปลาค้าสามารถย่อยโปรตีนจากปลาป่นได้ดีกว่าโปรตีนจากแหล่งอื่น เนื่องจากปลาป่นเป็นแหล่งโปรตีนที่มีคุณภาพทั้งปริมาณและคุณภาพที่สูง และโปรตีนในปลาป่นเป็นโปรตีนที่ย่อยง่ายกว่าโปรตีนที่พบในพืช [15] ดังนั้นจึงส่งผลให้ค่าการย่อยโปรตีนในปลาป่นสูงกว่าโปรตีนในพืช เมื่อพิจารณาค่าประสีพิธิภาพการย่อยสาร์โนไอกเรตในสูตรอาหารที่เสริมกระเจียนเขียวที่ระดับต่าง ๆ พบร่วงกลุ่มควบคุมที่ไม่มีการเสริมกระเจียนเขียวมีค่าประสีพิธิภาพการย่อยสาร์โนไอกเรตสูงกว่ากลุ่มทดลองอื่น ทั้งนี้เนื่องจากในการเสริมกระเจียนเขียวในสูตรอาหารจะแทนที่แบ่งสาลีในสูตรอาหาร ทำให้การใช้แบ่งสาลีในสูตรอาหารลดลง ส่งผลต่อค่าประสีพิธิภาพการย่อยได้ออกสาร์โนไอกเรตลดลงด้วย มีองค์ประกอบของสาร์โนไอกเรตกลุ่มเซลล์ลูโลส และไฮมิเซลล์ลูโลสสูง (67.5 และ 15.4 %) ส่วนเปอร์เซ็นต์ลิกนิน และแพคติน มีค่าเท่ากับ 3.4 % และ 7.1 % [16] ถึงแม้ว่ามีศึกษาค่าประสีพิธิภาพการย่อยสาร์โนไอกเรตของกระเจียนเขียวจะมีค่าสูงกว่าวัตถุนิบริษัทอื่น แต่เมื่อนำมาเสริมในอาหารแล้วผลมักน้ำหนักตื้นกว่าวัตถุนิบริษัทอื่น ๆ และมีการใช้แบ่งสาลีลดลง จะส่งผลให้ระดับของสาร์โนไอกเรตส่วนที่ไม่ละลายน้ำซึ่งเป็นส่วนที่ย่อยยาก [17] - [18] ในอาหารสูงขึ้น จึงทำให้ค่าประสีพิธิภาพการย่อยสาร์โนไอกเรตในอาหารที่มีการเสริมกระเจียนเขียว มีค่าต่ำกว่ากลุ่มควบคุมที่ไม่มีการเสริมกระเจียนเขียว สำหรับค่าประสีพิธิภาพการย่อยโปรตีนพบมีค่าสูงในอาหารเสริมกระเจียนเขียวทุกระดับ และมีค่าต่ำที่สุดในอาหารกลุ่มควบคุมที่ไม่มีการเสริมกระเจียนเขียว ถึงแม้ว่าค่าประสีพิธิภาพการย่อยโปรตีนของกระเจียนเขียวจะมีค่าต่ำที่สุดก็ตาม การย่อยโปรตีนเกิดจากการทำงานของเอนไซม์โปรตีนเอลซึ่งผลิตได้จากลักษณะน้ำเงือ และอีกส่วนมาจากกระบวนการผลิตของจุลินทรีย์ที่อยู่ในทางเดินอาหาร ด้วยคุณสมบัติของกระเจียนเขียวที่มีสารเมือกหรือเล็นไนที่ละลายน้ำได้ (พรีไบโอติก) เมื่อเคลื่อนที่ลงสู่ลำไส้จะช่วยในการเจริญเติบโตของแบคทีเรียที่มีประโยชน์ ช่วยทำให้อาหารถูกย่อยในลำไส้ได้สะดวกมากยิ่งขึ้น [17] - [20] ด้วยคุณสมบัติของกระเจียนเขียวที่เป็นสารพรีไบโอติกช่วยในการเจริญเติบโต

ของพรีไบโอติก ทำให้มีปริมาณของพรีไบโอติกมากขึ้น มีการเจริญเติบโตและทำงานได้ดีขึ้นส่งผลต่อการทำงานในการย่อยโปรดีนในอาหารให้ดีขึ้นด้วย เนื่องจากเนื้อไขม์โปรดีโนลในปลาเกินทั้งพืชและสัตว์ จะทำงานในสภาวะเป็นด่าง การทำงานของเอนไซม์จะเกิดที่ลำไส้เล็กร่วมกับการทำงานของโปรดีโนล ที่ผลิตได้จากจุลทรรศน์ในลำไส้ ดังนั้นการที่จำนวนหรือปริมาณของจุลทรรศน์กลุ่มดีที่มีมากขึ้นจากการเสริมกระเจี้ยบเขียวที่มีคุณสมบัติเป็นพรีไบโอติก จึงส่งผลให้การย่อยได้ดีขึ้นโปรดีนในอาหารกลุ่มที่เสริมกระเจี้ยบเขียวมีค่าสูงกว่ากลุ่มควบคุม เมื่อพิจารณาการเจริญเติบโต และประสิทธิภาพการใช้อาหารของปลา gastric สำหรับการย่อยได้ดีที่สุด ทั้งนี้เนื่องจากปลาในกลุ่มนี้มีการใช้ประโยชน์จากโปรดีนได้ดีกว่ากลุ่มทดลองอื่น จึงส่งผลให้โปรดีนที่ได้รับถูกนำไปใช้ในการสร้างกล้ามเนื้อและล่วนต่าง ๆ ของร่างกายได้ดีกว่าปลาในกลุ่มทดลองอื่น เป็นเหตุให้ปลาในกลุ่มนี้มีการเจริญเติบโตที่ดีกว่า นอกจากนี้เมื่อเปรียบเทียบกับค่าประสิทธิภาพการย่อยได้ดีของสารโภค营养ที่ได้รับถูกนำไปใช้ในกระเจี้ยบเขียวที่มีค่าสูงกว่ากลุ่มทดลองอื่น ถึงแม้ว่าค่าประสิทธิภาพการย่อยได้ดีของโปรดีนในกระเจี้ยบเขียวจะต่ำกว่ากลุ่มทดลองอื่น แต่ค่าประสิทธิภาพการย่อยได้ของโปรดีนในอาหารมีค่าสูงกว่ากลุ่มควบคุม และด้วยคุณสมบัติของกระเจี้ยบเขียวที่มีองค์ประกอบของเยื่อยีที่ละลายน้ำสูง รวมถึงแร่ธาตุสำคัญ เช่น แมกนีเซียม แมงกานีส โพแทสเซียม วิตามินแค วิตามินซี โพเลท วิตามินบี 1 และวิตามินบี 6 นอกจากนี้กระเจี้ยบเขียวยังอุดมไปด้วยสารกลุ่มใบโอะแอกทีฟคอมโพเนนท์ (Bioactive Components) เช่น ฟลาโวนอยด์ (Flavonoids) โดยเฉพาะเควอร์เชติน (Quercetin) และไฟโตสเตอโรล (Phytosterols) [21] กระเจี้ยบเขียวเป็นพืชที่มีสารต้านอนุมูลอิสระสูง และเป็นแหล่งของแคลเซียม และโพแทสเซียม [6] นอกจากนี้กระเจี้ยบเขียวมีสารประกอบพวงโพลีแซคcharide ซึ่งมีความสำคัญต่อระบบย่อยอาหารและระบบภูมิคุ้มกัน [7] - [8] และมีความสำคัญต่อการควบคุมสารอนุมูลอิสระในร่างกาย การสร้างสารชื่อแม่เซลล์ และทำปฏิกิริยาขัดสารพิษที่เกิดในร่างกาย นอกจากนี้ในกระเจี้ยบเขียวยังมีสารเมือกหรือเส้นใยที่ละลายน้ำได้ เมื่อลงสู่ลำไส้จะช่วยในการเจริญเติบโตของแบคทีเรียที่มีประโยชน์ (พรีไบโอติก) [19] - [20] ด้วยคุณสมบัติของกระเจี้ยบเขียวที่มีสารอาหารที่เหมาะสมต่อการทำงานของระบบภูมิคุ้มกัน และเป็นสารต้านอนุมูลอิสระ ทำให้ปลาสามารถดูดซึมสารอาหารได้ แข็งแรง ส่งผลต่อการเจริญเติบโตที่ดีกว่า จึงทำให้ปลา gastric สำหรับการย่อยได้ดีกว่ากลุ่มทดลองอื่น แต่การเสริมกระเจี้ยบเขียวที่ระดับสูงกว่านี้ จะมีผลให้การเจริญเติบโต และประสิทธิภาพการใช้โปรดีนลดลงเนื่องจากองค์ประกอบในกระเจี้ยบเขียวส่วนใหญ่เป็นเซลล์ลูโลส 67.5 % เอมิเซลล์ลูโลส 15.4 % ลิกนิน 7.1 % แพคติน 3.4 % และในกระเจี้ยบเขียวยังเต็มไปด้วยเลันไดโออาชานิดไม่ละลายน้ำ ซึ่งเป็นส่วนที่สัตว์น้ำไม่สามารถย่อยได้ นอกจากนี้ระดับเยื่อยีที่สูงจะส่งผลต่อการขัดขวางการดูดซึมสารอาหาร และปริมาณอาหารที่ได้รับ ทำให้สัตว์น้ำอิ่มเร็วแต่ได้รับสารอาหารไม่เพียงพอ กับความต้องการของร่างกาย ดังนั้นการเสริมกระเจี้ยบเขียวที่ระดับไม่เหมาะสมจะส่งผลต่อการลดลงของการใช้ประโยชน์ของอาหาร และการเจริญเติบโตของปลา gastric สำหรับการย่อยได้ดี ในขณะที่การย่อยโปรดีนในอาหารมีประสิทธิภาพดีเมื่อมีการเสริมกระเจี้ยบเขียว และประสิทธิภาพการใช้โปรดีนของปลา gastric สำหรับการย่อยได้ดีของโปรดีนในอาหารที่มีการเสริมกระเจี้ยบเขียว และส่งผลต่อการเจริญเติบโตที่เพิ่มขึ้น และระดับที่เหมาะสมสำหรับการเสริมกระเจี้ยบเขียวในอาหารปลา gastric อยู่ที่ 2 %

References

- [1] Uk-kataewat, S. and Pongchawee, K. (2543). **Taxonomy of Ornamental Fish for Thailand Exports**. Bangkok: Fisheries Department
- [2] Vidthayanon, C. (2547). **Handbook of Freshwater Fishes**. Bangkok: Bangkoksarakadee Press
- [3] Ingram, B. A. and Lasasimma, O. (2008). Production of *Cirrhinus molitorella* and *Labeo chrysophekadion* for Culture Based Fisheries Development in Lao PDR. Part 1. Captive Spawning. **Aquaculture Asia**. Vol. 13, No. 2, pp. 24-31
- [4] Chitmanat, C. (2551). **Fish Disease Handbook**. Chiangmai: Maejo University Press
- [5] Shengjie, L., Renhui, H., Nagendra, P., Shah, X. T., Yonghua, X., and Hua, W. (2014). Antioxidant and antibacterial activities of exopolysaccharides from *Bifidobacterium bifidum* WBIN03 and *Lactobacillus plantarum* R315. **Journal of Dairy Science**. Vol. 97, Issue 12, pp. 7334-7343. DOI: 10.3168/jds.2014-7912
- [6] Kumar, D. S., Tony, D. E., Kumar, A. P., Kumar, K. A., Rao, D. B. S., and Nadendla, R. (2013). A REVIEW ON: *Abelmoschus esculentus* (OKRA). **International Research Journal of Pharmaceutical and Applied Sciences (IRJPAS)**. Vol. 3, No. 4, pp. 129-132
- [7] Mizuno, T., Wang, G., Zhang, J., Kawagishi, H., Nishitoba, T., and Li, J. (1995). *Ganoderma lucidum* and *Ganoderma matsugae*: Bioactive Substances and Medical Effects. **Food Reviews International**. Vol. 11, Issue 1, pp. 151-166. DOI: 10.1080/87559129509541025
- [8] Shyang, C. S. and Mei, H. L. (2012). Composition Analysis and Immuno-Modulatory Effect of Okra (*Abelmoschus esculentus* L.) Extract. **Food Chemistry**. Vol. 134, No. 4, pp. 1906-1911. DOI : 10.1016/j.foodchem.2012.03.110
- [9] Areekijseree, M., Engkagul, A., Kovitvadhi, U., Thongpan, A., Mingmuang, M., Pakkong, P. and Torrisen, K. R. (2004). Temperature and pH Characteristics of Amylase and Proteinase of Adult Freshwater Pearl Mussel, *Hyriopsis (Hyriopsis) bivalvata* Simpson 1900. **Aquaculture**. Vol. 234, No. 1-4, pp. 575-587
- [10] Rungruangsak, T. K., Moss, R., Andresen, L. H., Berg, A., and Waagbø, R. (2006). Different Expressions of Trypsin and Chymotrypsin in Relation to Growth in Atlantic Salmon (*Salmo Salar* L.). **Fish Physiol Biochem**. Vol. 32, No. 1, pp. 7-23. DOI: 10.1007/s10695-005-0630-5
- [11] Roghieh, S., Seyed, H., Hoseinifar, H. V. D., and Maryam, D. (2017). The Effects of Dietary Myrtle (*Myrtus communis*) on Skin Mucus Immune Parameters and mRNA Levels of Growth, Antioxidant and Immune Related Genes in Zebrafish (*Danio rerio*). **Fish Shellfish Immunol**. Vol. 66, pp. 264-269. DOI: 10.1016/j.fsi.2017.05.007
- [12] Rainboth, W. J. (1996). The Taxonomy, Systematics, and Zoogeography of Hypsibarbus, a New Genus of Large Barbs (Pisces, Cyprinidae) from the Rivers of Southeastern Asia. **Zoology**. Vol. 129, No. 1-13, pp. 1-199

- [13] Chuapoeuk, W. (2543). **Aquatic Animal Nutrition and Feeding**. 2nd ed. Bangkok: Kasetsart University Press
- [14] De Silva, S. S. and Anderson, T. A. (1994). **Fish Nutrition in Aquaculture**. London: Chapman & Hall
- [15] Halver, J. E. and Hardy, R. W. (2002). **Fish Nutrition**. 3rd ed. New York: Academic Press
- [16] Kumar, A., Baranwal, D. K., Aparna, J., and Srivastav, K. (2013). Combining Ability and Heterosis for Yield and its Contributing Characters in Okra (*Abelmoschus esculantus* (L.) Moench). **Madras Agricultural Journal**. Vol. 100, No. 1-3, pp. 30-35
- [17] Siriphat, D. (1998). **Red/Green Okra Taste and Value**. Access (7 October 2017). Available (<https://www.doctor.or.th/article/detail/2421>)
- [18] Pamornprawat, S. (2008). **Okra**. Access (7 October 2017). Available (<https://www.doctor.or.th/article/detail/1186>)
- [19] Thammarutwasik, P., Hongpattarakere, T., Chantachum, S., Kijroongrojana, K., Itharat, A., Reanmongkol, W., Tewtrakul, S., and Ooraikul, B. (2009). Prebiotics - A Review. **Songklanakarin Journal of Science and Technology**. Vol. 31, No. 4, pp. 401-408
- [20] Wichenchot, S., Hongpattarakere, P., Jongjareonrak, A., Chansuwan, W., Hmadhlu, P., Hongpattarakere, T., Itharat, A., and Ooraikul, B. (2011). Extraction and Analysis of Prebiotics from Selected Plants from Southern Thailand. **Songklanakarin Journal of Science and Technology (SJST)**. Vol. 33, No. 5, pp. 517-523
- [21] Bawa, S. N. and Badrie, N. (2016). Nutrient Profile, Bioactive Components, and Functional Properties of Okra (*Abelmoschus esculentus* (L.) Moench). **Fruits, Vegetables, and Herbs**. In: (Watson, R, and Preedy, V.). **Bioactive Foods in Health Promotion**. (1st ed). pp. 365-409. London: Academic Press

ผลของแบคทีเรียกลุ่มตรึงกําชในโตรเจนแบบอิสระต่อการเจริญเติบโตของต้นกล้าโกงกาเงในใหญ่

Effects of Non-Symbiotic Nitrogen Fixing Bacteria on Growth of Red Mangrove, *Rhizophora mucronata* Lam., Seedlings

สุบันทิต นิมรัตน์^{1*} สุพรรณี ช่อนกลัน¹ และวีระพงศ์ วุฒิพันธุ์ชัย¹

Subuntith Nimrat^{1*} Supannee Sonklin¹ and Verapong Vuthiphandchai¹

Received: May 26, 2020; Revised: September 17, 2020; Accepted: September 18, 2020

บทคัดย่อ

การศึกษาในครั้งนี้มีวัตถุประสงค์เพื่อศึกษาผลของแบคทีเรียกลุ่มตรึงกําชในโตรเจนที่เจริญแบบอิสระต่อคุณสมบัติของดินและการเจริญเติบโตของต้นกล้าโกงกาเงในใหญ่ (*Rhizophora mucronata*) การทดลองแบ่งออกเป็น 4 ชุดการทดลอง คือ 1) ชุดควบคุม (ไม่เติมแบคทีเรีย) 2) เติม *Bacillus* sp. SN1 3) เติม *Bacillus* sp. SN2 และ 4) เติมแบคทีเรียผสม SN1+SN2+SN3 จากการเพาะต้นกล้านาน 37 วัน พบว่าการเติม *Bacillus* sp. SN1 และ *Bacillus* sp. SN2 และแบคทีเรียผสม *Bacillus* sp. SN1+SN2+SN3 ช่วยเพิ่มความสูงและน้ำหนักต้นกล้าโกงกาเงในใหญ่อย่างมีนัยสำคัญทางสถิติ ($P < 0.05$) นอกจากนี้ปริมาณแอมโมเนียมในดินของชุดการทดลองที่เติม *Bacillus* sp. SN1 มีค่าสูงที่สุด (1.55 ± 0.02 พีพีเอ็ม) รองลงมาคือ *Bacillus* sp. SN2 และ *Bacillus* sp. SN1+SN2+SN3 โดยมีค่าเท่ากับ 0.93 ± 0.008 และ 0.45 ± 0.000 พีพีเอ็ม ตามลำดับ ในขณะที่ดินในชุดควบคุมไม่พบแอมโมเนียมเลย ปริมาณฟอสฟอรัสในดินของชุดที่เติม *Bacillus* sp. SN2 มีค่าสูงที่สุดเท่ากับ 1.04 ± 0.110 พีพีเอ็ม ซึ่งสูงกว่าชุดควบคุม (0.99 ± 0.005 พีพีเอ็ม) อย่างมีนัยสำคัญทางสถิติ ($P < 0.05$) การเติมแบคทีเรียทั้ง 3 รูปแบบ ไม่มีผลต่อค่าความเป็นกรด-ด่างและปริมาณอินทรีย์ตั้งแต่ในดินที่ใช้เพาะต้นกล้าโกงกาเงในใหญ่ การศึกษานี้สรุปได้ว่า *Bacillus* sp. SN1, *Bacillus* sp. SN2 และแบคทีเรียผสม *Bacillus* sp. SN1+SN2+SN3 มีคักษะในการใช้เป็นปุ๋ยชีวภาพเพื่อเพิ่มการเจริญเติบโตของต้นกล้าพืชป่าชายเลน และลดการใช้ปุ๋ยเคมีในโตรเจนและฟอสฟอรัส

คำสำคัญ : โกงกาเงในใหญ่; ในโตรเจน; ฟอสฟอรัส; แบคทีเรีย; นาเชิลลัส

¹ คณะวิทยาศาสตร์ มหาวิทยาลัยบูรพา ชลบุรี

¹ Faculty of Science, Burapha University, Chon Buri

* Corresponding Author E - mail Address: subunti@buu.ac.th

Abstract

The purpose of this study was to investigate the effects of non-symbiotic nitrogen fixing bacteria on soil properties and growth of red mangrove (*Rhizophora mucronata*) seedlings. The experiment was divided into 4 treatments: 1) control (no bacterial inoculation), 2) addition of *Bacillus* sp. SN1, 3) addition of *Bacillus* sp. SN2, and 4) addition of a mixture of *Bacillus* sp. SN1+SN2+SN3. After planting seeds for 37 days, the addition of *Bacillus* sp. SN1, *Bacillus* sp. SN2 or mixed inoculum of *Bacillus* sp. SN1+SN2+SN3 significantly ($P < 0.05$) increased length and weight of seedlings. Additionally, the highest ammonium concentration was observed in *Bacillus* sp. SN1-treated soil (1.55 ± 0.02 ppm), followed by soil treated with *Bacillus* sp. SN2 (0.93 ± 0.008 ppm) and *Bacillus* sp. SN1+SN2+SN3 (0.45 ± 0.000 ppm), respectively while no ammonium was detected in the control. Concentration of available phosphorus in *Bacillus* sp. SN2-treated soil was 1.04 ± 0.110 ppm, which was significantly ($P < 0.05$) higher than that of the control (0.99 ± 0.005 ppm). Addition of the three forms of nitrogen-fixing *Bacillus* had no effects on pH and organic matter in the soil. In conclusion, *Bacillus* sp. SN1, *Bacillus* sp. SN2 and a mixture of *Bacillus* sp. SN1+SN2+SN3 had the potential use as biofertilizer to promote the growth of mangrove-tree seedlings and reduce the use of chemical NP fertilizers.

Keywords: *Rhizophora mucronata*; Nitrogen; Phosphorus; Bacteria; *Bacillus*

บทนำ

ป่าชายเลนเป็นลักษณะพืชที่ประกอบด้วยพันธุ์ไม้หลายชนิดหลายสกุล เป็นพืชที่มีใบเขียวตลอดทั้งปี พบรได้ทั่วไปตามพื้นที่ชายฝั่งทะเล ปากแม่น้ำ อ่าว ทะเลสาบและเกาะ ที่มีลักษณะน้ำทะเลท่วมถึงในช่วงที่น้ำทะเลขึ้นสูงสุด ในประเทศไทยฯ แต่ละชนิดร่อนในทวีปเอเชีย อเมริกาใต้และแอฟริกา เช่น อินโดนีเซีย มาเลเซีย อินเดีย ไทย บรูซิล ในเจเรย เป็นต้น [1] พื้นที่ป่าชายเลนในประเทศไทยอยู่ระหว่างจังหวัดตามชายฝั่งทะเลภาคตะวันออก ภาคกลางและภาคใต้ รวม 23 จังหวัด เมื่อปี พ.ศ. 2539 ประเทศไทยมีพื้นที่ป่าชายเลนทั้งสิ้น $1,047,390$ ไร่ [2] พันธุ์ไม้ป่าชายเลนในประเทศไทยประกอบด้วยพันธุ์ไม้ 168 ชนิด โดยพันธุ์ไม้ป่าชายเลนที่เป็นพันธุ์ไม้หลักส่วนใหญ่อยู่ในวงศ์ไม้โกรกกา (Rhizophoraceae) จำนวน 10 ชนิด ที่อยู่ในสกุลไม้โกรกกา ไม้พังก้าหัวสูม ไม้โปร่งและไม้รังแกท์ และวงศ์เหงือกปลาหม้อ (Acanthaceae) จำนวน 6 ชนิด รวมทั้งวงศ์ไม้ตะแบก (Lythraceae) [3]

โภคภัณฑ์ในที่นี่เป็นไม้ยืนต้นขนาดกลางถึงใหญ่มีความสูงประมาณ 20 - 30 เมตร พบรได้ทั่วไปตามริมคลอง แม่น้ำและชายฝั่งทะเลที่น้ำเค็มท่วมถึง ไม้โภคภัณฑ์ดักน้ำมาใช้ประโยชน์หลายค้าน อาทิเช่น การใช้ทำฟืนและถ่านที่ให้ความร้อนสูง เลาคำยัน เปลือกของไม้โภคภัณฑ์นำมาสักด้าวนนินและฟืนอลหรรษาติที่มีราคาถูก และยังสามารถนำมาใช้ทำเป็นลี่ย้อม สาร防腐หนัง การสำหรับติดไม้ เนื้อไม้โกรกกา

สามารถนำมาประรูปเพื่อใช้ในงานก่อสร้าง เฟอร์นิเจอร์และเครื่องมือเครื่องใช้ต่าง ๆ [4] การบุกรุกป่าชายเลน เพื่อใช้ประโยชน์จากไม้โกကางและการใช้ประโยชน์ในเชิงพาณิชย์อื่น ๆ ไม่ว่าจะเป็นการทำนาเกลือ พาร์เมลี่ยงกุ้งทะเล การประมง การท่องเที่ยวและที่พักอาศัย ทำให้พื้นที่ป่าชายเลนลดลงอย่างมาก ส่งผลกระทบต่อระบบนิเวศในวงกว้าง [5] ในปัจจุบันมีหน่วยงานราชการ กลุ่มนักอนุรักษ์และประชาชนทั่วไป ตั่นตัวกับปัญหานี้มากขึ้น มีการที่นินฟูป่าชายเลนที่ถูกทำลายหลายแห่ง เช่น ศูนย์ศึกษาการพัฒนาอ่าวคุ้งกระเบน อันเนื่องมาจากพระราชดำริ จังหวัดชลบุรี และศูนย์ศึกษาธรรมชาติและอนุรักษ์ป่าชายเลนเพื่อการท่องเที่ยว เชิงนิเวศ และสถานีพัฒนาทรัพยากรป่าชายเลนที่ 5 จังหวัดชลบุรี เป็นต้น โดยการนำพันธุ์ต้นกล้า โภคภัยในใหญ่มาปลูกทดแทนเพื่อฟื้นฟูสภาพป่าชายเลนให้มีสภาพกลับมาสมบูรณ์เป็นพื้นที่แนวป้องกัน ชายฝั่ง เป็นแหล่งอาศัยของสัตว์น้ำนานาชนิด แต่อย่างไรก็ตามการเพาะพันธุ์ต้นโภคภัยในใหญ่ก็ประสบ ปัญหา คือ อัตราการรอตายค่อนข้างดีและอัตราการเจริญเติบโตช้า

ระบบนิเวศป่าชายเลนเป็นระบบที่มีความซับซ้อนประกอบด้วย ลิ่มมีชีวิตและพืชหลากหลายชนิด ทำให้เกิดการหมุนเวียนของแร่ธาตุต่าง ๆ มากมาย โดยเฉพาะอย่างยิ่งธาตุคาร์บอน แต่อย่างไรก็ตาม ป่าชายเลนมักมีปริมาณธาตุอาหารในโตรเจนและฟอสฟอรัสต่ำ ไม่เพียงพอต่อความต้องการของพืชป่าชายเลน ปัจจัยหลักที่ทำให้เกิดการขาดแคลนในโตรเจน คือ การสูญเสียจากการพัดพาของคลื่น การเกิดกระบวนการดีไนตริฟิเคชัน (Denitrification) และลักษณะของดินป่าชายเลน [6] ดังนั้นการประยุกต์ใช้จุลินทรีย์ ที่สามารถตรึงกําชในโตรเจนมาช่วยในการปลูกกล้าพันธุ์พืชป่าชายเลนเพื่อเพิ่มธาตุอาหารชนิดนี้ลงในดิน ให้เพียงพอ กับความต้องการจริงมีความน่าสนใจเป็นอย่างยิ่ง

แบคทีเรียกลุ่มตรึงกําชในโตรเจนที่เจริญอยู่อย่างอิสระในธรรมชาติ (Non-Symbiotic Nitrogen Fixing Bacteria) พบได้ทั่วไปทั้งสภาวะที่มีออกซิเจน (Obligate Aerobe) เช่น *Archromobacter*, *Azotobacter*, *Beijerinckia*, *Bacillus*, *Dexia*, *Mycobacterium* และ *Arthrobacter* สภาวะที่มีออกซิเจนเล็กน้อย (Facultative Anaerobe) เช่น *Aerobacter*, *Klebsiella* และ *Pseudomonas* และ สภาวะไม่มีออกซิเจน เช่น *Clostridium*, *Chlorobium*, *Chromatium*, *Rhodomicrobium*, *Rhodopseudomonas*, *Rhodospirillum*, *Desulfovibrio* และ *Methanobacterium* [7] แบคทีเรียเหล่านี้ มีความสามารถในการเปลี่ยนกําชในโตรเจนในชั้นบรรยากาศที่มีประมาณ 78 % ให้อยู่ในรูปของเอมโมเนีย ด้วยกระบวนการตรึงในโตรเจน (Nitrogen Fixation) โดยอาศัยกิจกรรมเอนไซม์กลุ่ม Nitrogenase Complex [8] - [9] แอมโมเนียที่เกิดขึ้นนี้พืชสามารถนำไปใช้ประโยชน์ได้โดยตรง หรือละลายนำรวมกับ ไฮโตรเจนไอออกนอลายเป็นแอมโมเนียมที่พืชสามารถนำไปล้างเคราะห์กรดอะมิโนและโปรตีนได้ และแบคทีเรียสามารถใช้สารนินเดน์และเปลี่ยนเป็นสารประกอบในโตรเจนชนิดอื่นเพื่อเข้าสู่วัฏจักร ในโตรเจนต่อไป [10] จะเห็นได้ว่าการเพิ่มธาตุในโตรเจนในดินด้วยแบคทีเรียกลุ่มตรึงในโตรเจน เป็นการเพิ่มธาตุอาหารในดินที่มีประสิทธิภาพและยังเป็นการลดค่าใช้จ่ายจากปุ๋ยที่มีราคาแพงในการเพาะพันธุ์ ต้นกล้าพืชป่าชายเลนได้อีกด้วย

การศึกษาในครั้งนี้จึงเป็นการศึกษาถึงความสามารถของแบคทีเรียกลุ่มตรึงกําชในโตรเจน ที่เจริญแบบอิสระ ได้แก่ *Bacillus* sp. SN1, SN2 และ SN3 ต่อการล่งเสริมการเจริญเติบโตของต้นกล้า โภคภัยในใหญ่ (*Rhizophora mucronata*) ซึ่งเป็นพื้นฐานป่าชายเลนที่มีขนาดใหญ่มาปลูกทดแทน เพื่อฟื้นฟูสภาพป่าชายเลนในหลายพื้นที่ของประเทศไทย รวมทั้งสถานีพัฒนาทรัพยากรป่าชายเลนที่ 5 จังหวัดชลบุรี

วิธีดำเนินการวิจัย

การศึกษาเบื้องต้นก่อนหน้านี้ได้ศึกษาถึงความสามารถในการเจริญในน้ำทะเลความเค็ม 30 พีพีที ของแบคทีเรียกลุ่มตริงก้าชในโตรเจนที่เจริญแบบอิสระจำนวน 4 สายพันธุ์ ได้แก่ *Bacillus* sp. SN1, SN2, SN3 และ SN4 ทั้งแบบหัวเชือดีวยและหัวเชือดสมแบบ 2 3 และ 4 สายพันธุ์เข้าด้วยกันพบว่า *Bacillus* sp. SN1, SN2 และแบคทีเรียผสม *Bacillus* sp. SN1+SN2+SN3 มีการเจริญในน้ำทะเลได้ดีที่สุด ดังนั้น คณะผู้วิจัยจึงคัดเลือกแบคทีเรียดังกล่าวมาศึกษาความสามารถในการลุ่งเสริมการเจริญเติบโตของต้นกล้าโกကในไทยที่มีขั้นตอนการวิจัยมีดังนี้

1. การเตรียมหัวเชือดแบคทีเรีย ตัดแปลงจาก [11]

นำแบคทีเรียกลุ่มตริงก้าชในโตรเจนทั้ง 3 สายพันธุ์ ได้แก่ *Bacillus* sp. SN1, SN2 และ SN3 ที่เก็บรักษาในห้องปฏิบัติการจุลชีววิทยาสิ่งแวดล้อม ภาควิชาจุลชีววิทยา คณะวิทยาศาสตร์มหาวิทยาลัยนรูพा มาเลี้ยงบนอาหาร Alkaline Nitrogen-Free Agar ที่ประกอบด้วย (g/L) Glucose 2.0, Dipotassium Hydrogen Phosphate (K_2HPO_4) 1.0, Magnesium Sulphate ($MgSO_4 \cdot 7H_2O$) 0.5, Ferric Chloride ($FeCl_3 \cdot 6H_2O$) 0.1, Calcium Carbonate ($CaCO_3$) 2.0 และ Agar 15.0 อุณหภูมิ 37 องศาเซลเซียส นาน 48 ชั่วโมง แล้วถ่ายเชือลลงใน 0.85 % NaCl Solution ปริมาตร 50 มิลลิลิตร และปรับความซุ่มของหัวเชือดให้มีความหนาแน่นเชลล์ 10^9 CFU/ml เพื่อเตรียมเป็นหัวเชือดแบคทีเรียแบบดีวย ส่วนการเตรียมหัวเชือดแบคทีเรียแบบผสม (SN1, SN2 และ SN3) ให้นำสารแวนโนลอยเชลล์ของแบคทีเรียแต่ละสายพันธุ์มาผสมกันในอัตราส่วน 1:1:1 จากนั้นนำสารแวนโนลอยเชลล์ที่ได้นำไปใช้ในการทดลองต่อไป

2. การปลูกต้นโกคในไทย

คัดเลือกฝักโกคในไทยที่มีคุณภาพดี ได้แก่ ฝักที่ไม่มีรอยแพลงจากแมลงศัตรูพืชหรือรอยโรคจากเชื้อก่อโรคพืช (รูปที่ 1) บันทึกข้อมูลฝักโกคในไทย ได้แก่ ความยาวและน้ำหนักเปียก แล้วนำฝักโกคในไทยไปปักชำต่อไป

นำดินจากป่าชายเลนบริเวณสถานีพัฒนาทรัพยากรป่าชายเลนที่ 5 จังหวัดชลบุรี บรรจุใส่ถุงเพาะชำชนิดเจาะรูขนาด 3×7 นิ้ว ถุงละ 500 กรัม อัดดินให้แน่นนำฝักโกคในไทยในส่วนของรากจมในสารแวนโนลอยเชลล์ทั้ง 4 ชนิด ที่มีปริมาณเชือประМАณ 10^9 CFU/ml นาน 30 นาที [12] ก่อนนำไปปักชำในดินที่เตรียมไว้ (1 ฝักต่อดิน 1 ถุง) โดยแบ่งเป็น 15 ต้นต่อชุดการทดลอง จากนั้นนำต้นกล้าไปไว้ในโรงเพาะชำที่คลุมด้วยตาข่ายพลาสติกและร้อยละ 50 อุณหภูมิและความชื้นสัมพัทธ์ของโรงเพาะชำอยู่ระหว่าง 26 - 32 องศาเซลเซียส และร้อยละ 70 - 75 ตามลำดับ ในวันแรกหลังการปักฝักโกคในไทย 30 นาที ให้รดน้ำด้วยน้ำทะเลความเข้มข้น 30 พีพีที หลังจากนั้นรดด้วยน้ำจีดทุกวันในปริมาณ 25 มิลลิลิตร ต่อ 1 ถุง และเติมสารแวนโนลอยเชลล์ความเข้มข้นประมาณ 10^9 CFU/ml ตามชุดการทดลอง ถุงละ 10 มิลลิลิตร ทุก ๆ 7 วัน สำหรับชุดควบคุมเป็นฝักโกคในไทยที่ไม่ได้จุ่มลงในสารแวนโนลอยเชลล์ แต่จุ่มลงใน 0.85 % NaCl Solution และทุก ๆ 7 วัน เติม 0.85 % NaCl Solution แทนการเติมสารแวนโนลอยเชลล์ เมื่อครบกำหนดระยะเวลา 37 วัน นำต้นกล้าโกคในไทยม้วดการเจริญเติบโต ได้แก่ วัดความสูงและชั้นน้ำหนักเปียก



รูปที่ 1 ผักโภคภัยในใหญ่ที่มีคุณภาพดี สมบูรณ์

3. การวิเคราะห์คุณสมบัติของดิน

นำดินของแต่ละชุดการทดลอง ได้แก่ ดินสำหรับต้นกล้าโภคภัยที่เติมแบนค์ที่เรียกว่าสายพันธุ์ SN1 และ SN2 และแบนค์ที่เรียบสมสายพันธุ์ SN1, SN2 และ SN3 ในช่วงก่อนเพาะต้นกล้า 1 ชั่วโมง หลังเพาะต้นกล้า 30 นาที และดินในวันสุดท้ายของการทดลอง (วันที่ 37) มาวิเคราะห์คุณสมบัติทางกายภาพและเคมี ดังนี้

3.1 แอมโมเนียมไอออนด้วยเทคนิค Colorimetric [13]

นำดิน 10 กรัม ใส่ลงในขวดรูปขมพู่ขนาด 250 มิลลิลิตร เติมโพแทสเซียมคลอไรด์ ความเข้มข้น 2 นาโนมอล ปริมาตร 100 มิลลิลิตร เขย่าเป็นเวลา 1 ชั่วโมง จากนั้นนำไปกรองแล้วนำสารละลายที่ได้จากการกรองปริมาตร 5 มิลลิลิตร ใส่ในขวดปริมาตรขนาด 25 มิลลิลิตร เติมสารละลายไฮเดรียมชาลิไซเลตและโซเดียมไฮโปคลอไรต์ปริมาตร 5 และ 3 มิลลิลิตร ตามลำดับปรับปริมาตรให้เป็น 25 มิลลิลิตร ด้วยน้ำกลั่นตั้งทึบไว้ 30 นาที นำไปวัดค่าการดูดกลืนแสงที่ความยาวคลื่น 650 นาโนเมตร และคำนวณความเข้มข้นของแอมโมเนียมจากกราฟมาตรฐานแอมโมเนียมคลอไรด์

3.2 ค่าความเป็นกรด-ด่าง [13]

ชั่วดิน 10 กรัม ผสมกับน้ำกลั่น 10 มิลลิลิตร เติมลงในบีกเกอร์ขนาด 100 มิลลิลิตร ใช้แท่งแก้วคนให้เข้ากันก่อนวัดประมาณ 30 นาที ในระหว่างนั้นควรคนตัวอย่างดินเป็นระยะ ๆ และนำตัวอย่างไปวัดค่าความเป็นกรด-ด่าง ด้วยเครื่องวัดค่าความเป็นกรด-ด่างที่ทำการสอบเทียบกับค่าสารละลายมาตรฐานที่มีค่าความเป็นกรด-ด่างเท่ากับ 7.0 และ 10.0 เรียบด้วยแล้ว บันทึกผลการทดสอบทั้ง 3 ชั่ว นำค่าที่ได้หากค่าเฉลี่ยและค่าเบี่ยงเบนมาตรฐาน

3.3 ปริมาณอินทรีย์ต่อกล้า (Loss on Ignition) [13]

ชั่วดินที่ผ่านตะแกรงร่อนขนาดเส้นผ่าศูนย์กลาง 2 มิลลิเมตร จำนวน 10 กรัม ใส่ลงในถ้วยกระเบื้องขนาดเล็กที่จดบันทึกน้ำหนักแล้วไปอบที่อุณหภูมิ 105 องศาเซลเซียส นาน 2 ชั่วโมง ปล่อยให้เย็นในโคลดูความชื้น นำดินตัวอย่างไปอบอีกครั้งที่อุณหภูมิ 360 องศาเซลเซียส นาน 2 ชั่วโมง แล้วนำถ้วยกระเบื้องออกมากทึบไว้ให้เย็นที่อุณหภูมิห้องในโคลดูความชื้น นำไปชั่งน้ำหนักหลังเผาแล้วคำนวณหาน้ำหนักที่หายไป และคำนวณค่า Organic Matter (%)

$$\text{Organic Matter (\%)} = (\text{น้ำหนักดินที่หายไป} / \text{น้ำหนักดินก่อนเผา}) \times 100$$

3.4 ปริมาณฟอสฟอรัสในรูปที่ใช้ประโยชน์ (Available Phosphorus) ด้วยวิธีของ Olsen [13]

ขั้นตอนอย่างดิน 5 กรัม ที่ผ่านตะแกรงร่อนขนาด 0.5 มิลลิเมตร ใส่ลงในขวดรูปทรงพู่ขนาด 125 มิลลิลิตร เติมน้ำยา 0.05 M NaHCO₃ (pH 8.5) ในอัตราส่วนดินต่อน้ำยาเท่ากัน 1:20 เขย่าให้เข้ากันเป็นระยะเวลา 30 นาที แล้วกรองด้วยกระดาษกรองเบอร์ 42 ดูดสารละลายที่กรองได้ปริมาตร 5 มิลลิลิตร ใส่ลงในขวดวัดปริมาตรขนาด 25 มิลลิลิตร เติมสารละลายผสม (Ammonium Molybdate-Antimony Potassium Tartrate Solution, Ascorbic Acid Solution และ Sulfuric Acid) ปริมาตร 4 มิลลิลิตร และปรับปริมาตรเป็น 25 มิลลิลิตร ด้วยน้ำกลั่น เขย่าให้เข้ากันทึบไว้ 10 นาที นำไปวัดค่าการดูดกลืนแสงที่ความยาวคลื่น 882 นาโนเมตร และคำนวณความเข้มข้นของฟอสฟอรัส โดยเปรียบเทียบกับกราฟสารละลายมาตรฐานฟอสฟอรัส (Potassium Dihydrogen Phosphate)

4. การวิเคราะห์ข้อมูล

นำข้อมูลมาคำนวณเป็นค่าเฉลี่ย±ส.e. แล้ววิเคราะห์ความแตกต่างของค่าพารามิเตอร์ต่าง ๆ โดยวางแผนการทดลองแบบสุ่มอย่างสมบูรณ์ (Completely Randomized Design) โดยใช้ Analysis of Variance (ANOVA) แบบ One-Way ANOVA และเปรียบเทียบเชิงชั้นด้วย Duncan's Multiple Range Test

ผลการทดลอง

1. การเจริญเติบโตของต้นกล้าโภคการใบใหญ่

จากการเพาะกล้าโภคการใบใหญ่ที่มีคุณภาพดีจากสถานีพัฒนาทรัพยากร�าชยาленที่ 5 (ชลบุรี) ด้วยการเติมแบคทีเรียกลุ่มตรึงกําชในการเพาะปลูกในไตรเจนแบบหัวเชื้อเดียวและหัวเชื้อผสม พบร่วมกับการเติม *Bacillus* sp. SN1 SN2 และ SN3 ทั้งแบบเดียวและแบบผสมช่วยให้ต้นกล้าโภคการใบใหญ่เจริญเติบโตได้ดีเมื่อต้นกล้าอายุได้ 7 วัน ฝึกโภคการใบใหญ่เริ่มมีการแตกหموกวนใน เมื่อเวลาผ่านไป 21 วัน ต้นกล้ามีการแตกใบคู่แรก และเมื่ออายุ 37 วัน ต้นกล้ามีความสูงเพิ่มขึ้น มีใบและยอดที่สมบูรณ์ (รูปที่ 2(ก)) จากการสังเกตราชของต้นกล้าโภคการที่เติม *Bacillus* sp. SN1, SN2 และแบคทีเรียผสม *Bacillus* sp. SN1+SN2+SN3 มีการแตกแขนงและเจริญได้ดีกว่าต้นกล้าในชุดควบคุม (รูปที่ 2(ข))

ต้นกล้าโภคการใบใหญ่ที่ได้รับ *Bacillus* sp. SN2 มีความสูงเพิ่มขึ้นสูงที่สุดเท่ากับ 8.70 ± 0.89 เซนติเมตร ซึ่งแตกต่างอย่างมีนัยสำคัญทางสถิติ ($P < 0.05$) กับต้นกล้าในชุดควบคุม (8.30 ± 1.01 เซนติเมตร) และ *Bacillus* sp. SN1 (8.24 ± 0.59 เซนติเมตร) ดังตารางที่ 1

ส่วนน้ำหนักของต้นกล้าโภคการใบใหญ่เพิ่มขึ้นสูงที่สุดอย่างมีนัยสำคัญทางสถิติ ($P < 0.05$) ในชุดการทดลองที่เติม *Bacillus* sp. SN1 ที่มีค่าเท่ากับ 12.73 ± 1.93 กรัม รองลงมาคือ ต้นกล้าที่เติม *Bacillus* sp. SN1+SN2+SN3 และ *Bacillus* sp. SN2 ที่เพิ่มขึ้น 8.64 ± 2.67 และ 8.42 ± 2.54 กรัม ตามลำดับ ซึ่งน้ำหนักที่เพิ่มขึ้นล้วนมากกว่าชุดควบคุม (7.80 ± 1.48 กรัม) อย่างมีนัยสำคัญทางสถิติ ($P < 0.05$) ดังตารางที่ 1



(ก) ลำต้น ใบและยอดของต้นกล้าโภคการใบใหญ่



(ข) รากของต้นกล้าโภคการใบใหญ่

รูปที่ 2 ลักษณะต้นกล้าโภคการใบใหญ่ใน (1) ชุดควบคุม (2) เดtim *Bacillus* sp. SN1+SN2+SN3 (3) เดtim *Bacillus* sp. SN2 และ (4) เดtim *Bacillus* sp. SN1 ที่มีอายุ 37 วัน

ตารางที่ 1 ความสูงและน้ำหนักเปียกที่เพิ่มขึ้นของต้นกล้าโภคการใบใหญ่ที่เดtimหรือไม่เดtimแบคทีเรียในโตรเจนแบบเขื้อด้วยแลบแบบเขื้อผสมที่มีอายุ 37 วัน

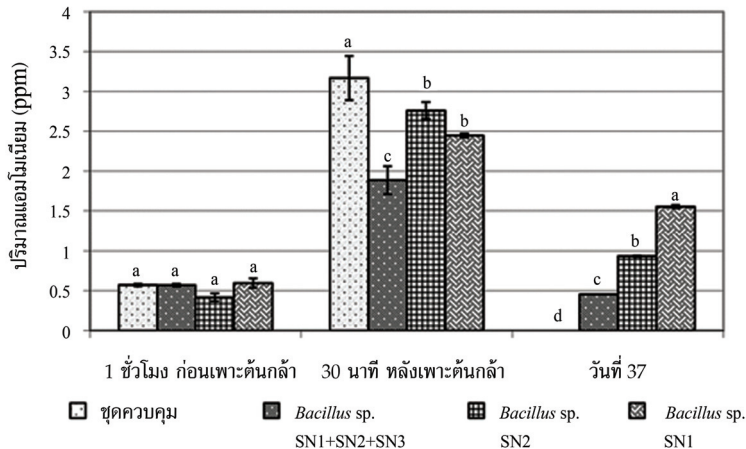
ชุดการทดลอง	ความสูงของต้นที่เพิ่มขึ้น (เซนติเมตร)	น้ำหนักเปียกของต้น ที่เพิ่มขึ้น (กรัม)
ชุดควบคุม	8.30 ± 1.01^a	7.80 ± 1.48^a
<i>Bacillus</i> sp. SN1+SN2+SN3	8.47 ± 0.17^{ab}	8.64 ± 2.67^b
<i>Bacillus</i> sp. SN2	8.70 ± 0.89^b	8.42 ± 2.54^b
<i>Bacillus</i> sp. SN1	8.24 ± 0.59^a	12.73 ± 1.93^c

หมายเหตุ: ตัวอักษรภาษาอังกฤษที่ต่างกันในแนวตั้งแสดงความแตกต่างอย่างมีนัยสำคัญทางสถิติ ($P < 0.05$)

2. ปริมาณแอมโมเนียมในดิน

ปริมาณแอมโมเนียมในดินของทุกชุดการทดลองก่อนเพาะต้นกล้า 1 ชั่วโมง มีค่าอยู่ในช่วง $0.42 \pm 0.049 - 0.59 \pm 0.059$ พีพีเอ็ม ซึ่งไม่แตกต่างอย่างมีนัยสำคัญทางสถิติ ($P > 0.05$) หลังการเพาะต้นกล้า และลดลงอย่างต่อเนื่อง 30 นาที ปริมาณแอมโมเนียมในดินของชุดควบคุมมีค่าสูงที่สุด (3.16 ± 0.277 พีพีเอ็ม) แตกต่างอย่างมีนัยสำคัญทางสถิติ ($P < 0.05$) กับชุดที่เดtimแบคทีเรียในโตรเจนทั้ง 3 ชุดการทดลอง แต่ต่างอย่างไรก็ตามในวันสุดท้ายของการทดลอง (วันที่ 37) ปริมาณแอมโมเนียมในดินของชุดการทดลองที่เดtim *Bacillus* sp. SN1 มีค่าสูงที่สุด (1.55 ± 0.02 พีพีเอ็ม) รองลงมาคือ *Bacillus* sp. SN2 และ *Bacillus* sp.

SN1+SN2+SN3 ที่มีค่าเท่ากับ 0.93 ± 0.008 และ 0.45 ± 0.000 พีพีเอ็ม ตามลำดับ ในขณะที่ตินในชุดควบคุมไม่พบแอมโมเนียมในวันเดียวกัน (รูปที่ 3)



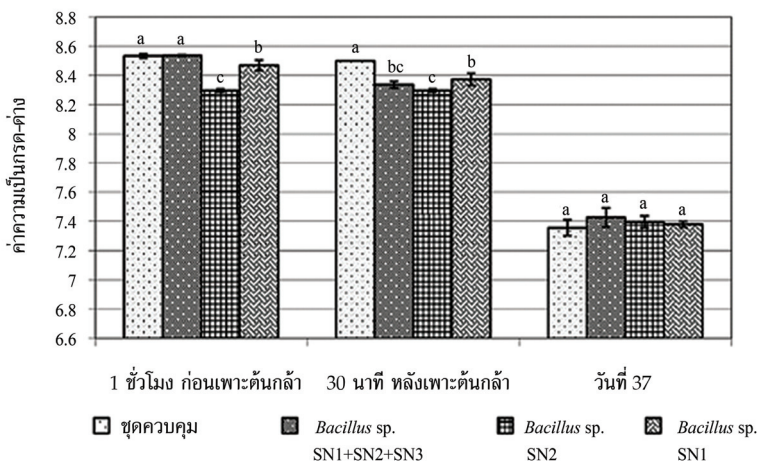
รูปที่ 3 ปริมาณแอมโมเนียมในวันที่ใช้เพาะชำต้นกล้าโคงการใบใหญ่ที่เติมหรือไม่เติมแบบคทีเรียตรีงในโตรเจนแบบเชือเดี่ยวและแบบเชือพสมลดอกรยะเวลา 37 วัน
ตัวอักษรภาษาอังกฤษแสดงความแตกต่างอย่างมีนัยสำคัญทางสถิติ ($P < 0.05$) ระหว่างชุดการทดลอง

3. ค่าความเป็นกรด-ด่างในวัน

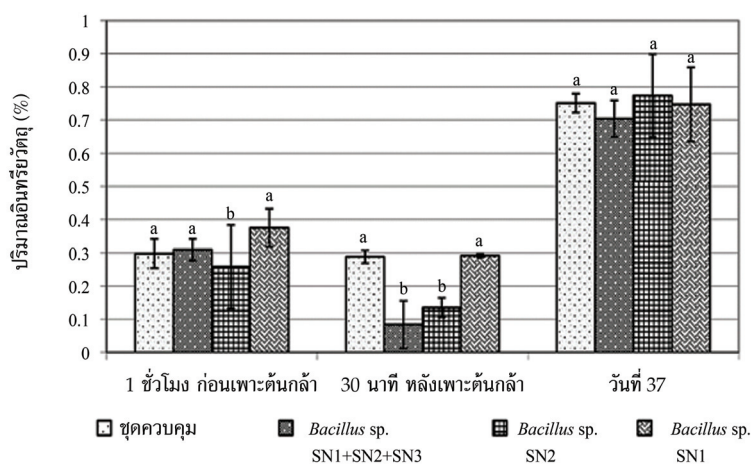
ค่าความเป็นกรด-ด่างของวันก่อนเพาะต้นกล้า 1 ชั่วโมง มีความเป็นด่าง โดยดินในชุดควบคุม และชุดที่เติม *Bacillus* sp. SN1+SN2+SN3 มีค่าความเป็นกรด-ด่างเท่ากับ 8.53 ± 0.015 และ 8.54 ± 0.006 ตามลำดับ ซึ่งสูงกว่าชุดการทดลองอื่นอย่างมีนัยสำคัญทางสถิติ ($P < 0.05$) หลังการเพาะต้นกล้า 30 นาที ค่าความเป็นกรด-ด่างในวันของทุกชุดการทดลองลดลงเล็กน้อยอยู่ในช่วง 8.30 ± 0.012 – 8.50 ± 0.000 และในวันที่ 37 ของการเพาะกล้า ตัวอย่างคิดในทุกชุดการทดลองมีค่าความเป็นกรด-ด่างที่เป็นกลางมากขึ้นอยู่ในช่วง 7.36 ± 0.055 – 7.43 ± 0.065 และไม่มีความแตกต่างอย่างมีนัยสำคัญทางสถิติ ($P > 0.05$) ดังรูปที่ 4

4. ปริมาณอินทรีย์ตาก

ก่อนการเพาะต้นกล้าโคงการใบใหญ่ ปริมาณอินทรีย์ตากในวันของชุดควบคุม ชุดที่เติม *Bacillus* sp. SN1+SN2+SN3 และ *Bacillus* sp. SN1 มีค่าใกล้เคียงกันในช่วง 0.298 ± 0.044 – 0.375 ± 0.050 % ซึ่งไม่แตกต่างอย่างมีนัยสำคัญทางสถิติ ($P > 0.05$) และมีค่าลดลงเล็กน้อยหลังการเพาะและวน้ำทราย 30 นาที ส่วนในวันที่ 37 ของการทดลอง ปริมาณอินทรีย์ตากในวันของทุกชุดการทดลองมีค่าเพิ่มขึ้นอย่างชัดเจน โดยมีค่าเท่ากับ 0.704 ± 0.055 – 0.774 ± 0.125 % และไม่แตกต่างอย่างมีนัยสำคัญทางสถิติ ($P > 0.05$) ระหว่างกันดังรูปที่ 5



รูปที่ 4 ค่าความเป็นกรด-ด่างของдинที่ใช้เพาะชำต้นกล้าโกคากาใบใหญ่ที่เติมหรือไม่เติมแบคทีเรียตึงในโตรเจน แบบเชือเดี่ยวและแบบเชือผสมตลอดระยะเวลา 37 วัน
ตัวอักษรภาษาอังกฤษแสดงความแตกต่างอย่างมีนัยสำคัญทางสถิติ ($P < 0.05$) ระหว่างชุดการทดลอง

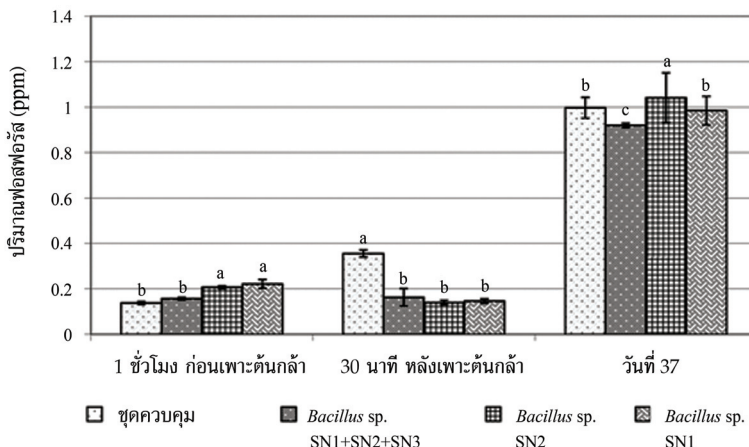


รูปที่ 5 ปริมาณอินทรีย์ต่ำในдинที่ใช้เพาะชำต้นกล้าโกคากาใบใหญ่ที่เติมหรือไม่เติมแบคทีเรียตึงในโตรเจนแบบเชือเดี่ยวและแบบเชือผสมตลอดระยะเวลา 37 วัน
ตัวอักษรภาษาอังกฤษแสดงความแตกต่างอย่างมีนัยสำคัญทางสถิติ ($P < 0.05$) ระหว่างชุดการทดลอง

5. ปริมาณฟอสฟอรัสในдин

ก่อนการเพาะต้นกล้าโกคากาใบใหญ่ ปริมาณฟอสฟอรัสในдинของชุดที่เติม *Bacillus* sp. SN2 และ *Bacillus* sp. SN1 มีค่าใกล้เคียงกันเท่ากับ 0.21 ± 0.006 และ 0.22 ± 0.019 พีพีเอ็ม ตามลำดับ ซึ่งสูงกว่า din ในชุดควบคุมและชุดที่เติมแบคทีเรียตึงในโตรเจนที่ $P < 0.05$ หลังการเพาะกล้า 30 นาที ปริมาณฟอสฟอรัสในдинของชุดควบคุมเพิ่มขึ้นเป็น 0.36 ± 0.016 พีพีเอ็ม และแตกต่างอย่างมีนัยสำคัญทางสถิติ ($P < 0.05$) กับชุดที่เติมแบคทีเรียตึงในโตรเจนทั้ง 3 กลุ่ม และในวันที่ 37 ของการทดลอง

ปริมาณฟอสฟอรัสในดินของชุดที่เติม *Bacillus* sp. SN2 มีค่าสูงที่สุดเท่ากับ 1.04 ± 0.110 พีพีเอ็ม ซึ่งสูงกว่า ชุดควบคุม (0.99 ± 0.005 พีพีเอ็ม) อย่างมีนัยสำคัญทางสถิติ ($P < 0.05$) ดังรูปที่ 6



รูปที่ 6 ปริมาณฟอสฟอรัสในดินที่ใช้เพาะชำต้นกล้าโภคการใบใหญ่ที่เติมหรือไม่เติมแบคทีเรียตรึงในโตรเจนแบบเชือเดี่ยวและแบบเชือผสมตลอดระยะเวลา 37 วัน
ตัวอักษรภาษาอังกฤษแสดงความแตกต่างอย่างมีนัยสำคัญทางสถิติ ($P < 0.05$) ระหว่างชุดการทดลอง

อภิปรายผลการทดลอง

1. การเจริญเติบโตของต้นกล้าโภคการใบใหญ่

จากการศึกษาครั้มนี้แสดงให้เห็นว่าการเพาะต้นกล้าโภคการใบใหญ่ด้วยเทคนิค Root Dipping คือจุ่มปลายฝักโภคการใบใหญ่ในสารเแขวนโลยเซลล์ และเติมเซลล์แขวนโลยของแบคทีเรียตรึงก้าชในโตรเจนชนิดต่าง ๆ ทุก 7 วัน สามารถเพิ่มความสูงและน้ำหนักของต้นกล้าโภคการใบใหญ่ได้ โดยการเติม *Bacillus* sp. SN2 ทำให้ความสูงของต้นกล้าเพิ่มขึ้นอย่างมีนัยสำคัญทางสถิติ ($P < 0.05$) และการเติม *Bacillus* sp. SN1+SN2+SN3, *Bacillus* sp. SN1 และ *Bacillus* sp. SN2 ทำให้น้ำหนักต้นกล้าเพิ่มขึ้น อย่างมีนัยสำคัญทางสถิติ ($P < 0.05$) การส่งเสริมการเจริญเติบโตด้วยการใช้แบคทีเรียประสบผลสำเร็จ ในพืชหลายชนิด ยกตัวอย่าง เช่น การเติมแบคทีเรียตรึงในโตรเจน 3 ชนิด คือ *Azotobacter chroococcum*, *A. virelandii* และ *A. beijerinckii* แบบหัวเชือเดี่ยวช่วยเพิ่มการเจริญเติบโต ได้แก่ น้ำหนักราก ความยาวราก น้ำหนักต้นกล้า พื้นที่ใบและการผลิตสารรงค์คัตถุ (คลอโรฟิลล์และแครโธนอยด์) ของต้นกล้าโภคการใบเล็ก (*R. apiculata*) และโภคการใบใหญ่ได้อย่างมากเมื่อเปรียบเทียบกับต้นกล้าที่ไม่ได้รับแบคทีเรีย [14] ผลการทดลองคล้ายกันนี้รายงานโดย Rahman, M. M., Sabir, A. A., Mukta, J. A., Khan, M. M. A., Mohi-Ud-Din, M., Miah, M. G., Rahman, M. M., and Islam, M. T. [11] ที่พบว่าการเติม *Bacillus amylolequifaciens* BCh1 และ *Paraburkholderia fungorum* BRRh-4 สามารถเพิ่มการเจริญเติบโตและผลผลิตของสตอร์อ์เบอร์ต์ได้เข้มเดี่ยวกัน นอกจากนี้ยังมีรายงานความสำเร็จในการเพิ่มน้ำหนักรากและการคงของเมล็ดด้วยการเติมหัวเชือผสมระหว่าง *Rhizobium*, *B. subtilis* OSU-142 และ *B. megaterium* M-3 ในการเพาะถั่วลูกไก่ (Chickpea) [15]

ผลการศึกษาในครั้งนี้ยังแสดงให้เห็นว่าแบคทีเรียสกุล *Bacillus* ที่มีความสามารถในการตรึงกําชีนในโตรเจน สายพันธุ์ที่ใช้ในการศึกษาครั้งนี้อาจมีบทบาททางตรงและทางอ้อมในการเพิ่มความยาวและน้ำหนักของต้นกล้าโกงกางใบใหญ่ โดยปกติแล้วแบคทีเรียที่เติมลงไปนั้นสามารถเพิ่มปริมาณธาตุอาหารในโตรเจนและฟอสฟอรัสให้อยู่ในรูปที่พืชสามารถนำไปใช้ประโยชน์ได้ [16] สอดคล้องกับผลการศึกษาในครั้งนี้ที่พบว่าคินไนชุดควบคุมไม่หลงเหลือแอมโมเนียมในดินเลย ในขณะที่ชุดการทดลองที่เติมหัวเชื้อเดี่ยวคือ *Bacillus* sp. SN1 และ *Bacillus* sp. SN2 และหัวเชื้อผสม *Bacillus* sp. SN1+SN2+SN3 ดินมีปริมาณแอมโมเนียมเพิ่มขึ้นอย่างมีนัยสำคัญในวันสุดท้ายของการทดลอง และการเติม *Bacillus* sp. SN2 สามารถเพิ่มปริมาณฟอสฟอรัสในดินอย่างมีนัยสำคัญเมื่อเปรียบเทียบกับชุดควบคุม การเพิ่มขึ้นของธาตุอาหารทั้งสองกลุ่มอาจเป็นปัจจัยโดยตรงที่ทำให้ความสูงและน้ำหนักของต้นกล้าโกงกางใบใหญ่เพิ่มขึ้น

นอกเหนือจากการเพิ่มในโตรเจนและฟอสฟอรัสในรูปที่พืชนำไปใช้ประโยชน์ได้แล้ว แบคทีเรียที่เติมลงในดินอาจเพิ่มการเจริญเติบโตของต้นกล้าโกงกางใบใหญ่ด้วยการล้างเคราะห์สารที่มีประโยชน์ต่าง ๆ ได้แก่ Indole Acetic Acid และซีเดอร์โรฟอร์ เป็นต้น [9] โดย Indole Acetic Acid เป็นฮอร์โมนพีชกลุ่มออกซินที่มีบทบาทเร่งการเจริญเติบโตของพืช เช่น การเพิ่มความสูง การเพิ่มพื้นที่ผิวและความยาวของราก และบทบาทต่อกระบวนการหลังสารเคมีที่เกี่ยวข้องกับการยึดเกาะของจุลินทรีย์และโครงสร้างกลุ่มจุลินทรีย์บริเวณรากพืช [17] ส่วนซีเดอร์โรฟอร์จัดเป็นสารชีวโมเลกุลที่ผลิตจากแบคทีเรีย สารชนิดนี้สามารถจับกับเหล็กในรูปเฟอร์ริคไอออน (Fe^{3+}) ได้ดีและถูกเปลี่ยนให้อยู่ในรูปเฟอร์รัส (Fe^{2+}) ที่พืชสามารถนำไปใช้ประโยชน์ต่อไปได้ [18] แบคทีเรียสกุล *Bacillus* หลายชนิด มีความสามารถในการผลิต Indole Acetic Acid และซีเดอร์โรฟอร์ เช่น *Bacillus* sp., *B. subtilis* และ *B. amyloliquefaciens* เป็นต้น [19] - [21] การเติมแบคทีเรียยังมีบทบาทในการป้องกันทางลัษณฐานวิทยาของรากพืช เพิ่มการคุ้มครองรากจากสารเคมีที่เกี่ยวข้องกับการเจริญเติบโต [16], [22] จากกลไกเหล่านี้จึงทำให้พืชได้รับสารอาหารได้่ายั้งและครบถ้วนตามความต้องการและล่อลวงให้การเจริญเติบโตเพิ่มสูงขึ้นนั่นเอง แต่อย่างไรก็ตาม ความสามารถในการผลิตสารที่มีประโยชน์และความสัมพันธ์ระหว่าง *Bacillus* sp. SN1, *Bacillus* sp. SN2 และแบคทีเรียผสม *Bacillus* sp. SN1+SN2+SN3 กับรากต้นกล้าโกงกางใบใหญ่ที่ล่อลวงต่อการเจริญเติบโต รวมถึงการศึกษาต่อไปในอนาคต

การศึกษาในครั้งนี้ยังแสดงให้เห็นว่าการเติมหัวเชื้อผสม *Bacillus* sp. SN1+SN2+SN3 มีประสิทธิภาพต่ำกว่าการเติมหาหัวเชื้อเดี่ยว คือ *Bacillus* sp. SN1 และ *Bacillus* sp. SN2 ลักษณะเดียวกันน้ำหนักและความสูงต้นกล้าโกงกาง รวมถึงปริมาณแอมโมเนียมในดิน ซึ่งจากการศึกษาของ Yu, X., Liu, X., Zhu, T. H., Liu, G. H., and Mao, C. [23] ได้พบว่าการเติมแบคทีเรียผสมสองกลุ่มนี้ผลต่อความสูงของลำต้น ความยาวและน้ำหนักราก และปริมาณฟอสฟอรัสและในโตรเจนในดินที่ใช้เพาะกล้าวอลนัท (*Juglans regia L.*) แตกต่างกัน โดยพบว่าแบคทีเรียผสมระหว่าง *Pseudomonas chlororaphis* และ *Arthrobacter pascens* มีประสิทธิภาพในการล่อลวงการเจริญเติบโตและเพิ่มธาตุอาหาร แต่ในขณะที่แบคทีเรียผสมระหว่าง *B. megaterium* และ *A. pascens* ไม่มีผลการเจริญเติบโตและธาตุอาหาร ผลการศึกษาดังกล่าวซึ่งให้เห็นว่าการใช้แบคทีเรียผสมในการล่อลวงการเจริญเติบโตของพืชอาจจะมีความสัมพันธ์แบบเกื้อกูลกัน (Synergistic Activity) หรือความสัมพันธ์แบบปฏิปักษ์ (Antagonistic Activity) ก็ได้ [23]

ดังนั้นคาดว่าปฏิสัมพันธ์ของแบคทีเรียผสม *Bacillus* sp. SN1+SN2+SN3 จะจะเกือบถูกกันในระดับหนึ่ง แต่ยังมีประลิทธิภาพต่างกว่าเชื้อเดี่ยว คือ *Bacillus* sp. SN1 และ SN2

2. คุณสมบัติของดิน

ค่าความเป็นกรด-ด่างของดินในทุกชุดการทดลองก่อนเพาะต้นกล้าและหลังเพาะต้นกล้า ในวันแรกของการทดลองมีความเป็นด่างใกล้เคียงกันอยู่ในช่วง 8.30 ± 0.012 - 8.54 ± 0.006 และ เมื่อเพาะต้นกล้าโคงกากในไทยฯ นาน 37 วัน ดินมีความเป็นกลางเพิ่มมากขึ้น โดยมีค่าระหว่าง 7.36 ± 0.055 - 7.43 ± 0.065 ทั้งนี้อาจเป็น เพราะดินที่ใช้เพาะกล้าเป็นดินป่าชายเลนและมีการรดด้วยน้ำทะเล หลังปักผักโคงกากในไทยฯ ตามปกติแล้วน้ำทะเลส่วนมากมีค่าความเป็นกรด-ด่างเท่ากัน 8 [24] แต่หลังจากนั้น รดต้นกล้าด้วยน้ำจืดทุกวันตลอดระยะเวลาการทดลอง โดยน้ำจืดที่ใช้รดต้นกล้าในครั้งนี้มีค่าความเป็นกรด-ด่างประมาณ 7.4 ค่าความเป็นกรด-ด่างของดินเพาะต้นกล้าโคงกากในไทยฯ ที่มีความเป็นกลางมากขึ้นน่าจะส่งผลทำให้กิจกรรมของจุลินทรีย์ในดินเพิ่มสูงขึ้น เช่น การตรึงกําชีวินโดยเจนเพื่อเปลี่ยนมาเป็นแอมโมเนียมและการละลายฟอลฟอรัสให้อยู่ในรูปที่พืชใช้ประโยชน์ได้ ดังที่ลังเกตได้จากการทดลองในครั้งนี้ จนส่งผลให้ปริมาณอินทรีย์ตัตุในดินที่เพิ่มสูงขึ้นในวันที่ 37 ของการเพาะต้นกล้าโคงกากในไทยฯ นอกจากนี้ผลการศึกษาในครั้งนี้ลังเกตได้ว่าปริมาณแอมโมเนียมในดินหลังการปักชำของทุกชุดการทดลอง มีค่าเพิ่มขึ้นอย่างชัดเจน ทั้งนี้อาจเกิดจากการรดต้นกล้าหลังการปักชำด้วยน้ำทะเล ซึ่งเป็นการรดด้วยน้ำทะเลเพียงครั้งเดียว หลังจากนั้นรดด้วยน้ำจืดทุกวันตลอดระยะเวลาการทดลอง จึงอาจทำให้ปริมาณแอมโมเนียมสะสมในดินค่อนข้างสูงเมื่อเปรียบเทียบกับช่วงเวลาอื่นของการทดลอง สอดคล้องกับคุณภาพน้ำทะเลพื้นที่ชายฝั่งบริเวณอ่าวชลบุรีถึงบางแสนที่สำรวจโดยกรมควบคุมมลพิษ ในปี พ.ศ. 2562 พบว่า ปริมาณแอมโมเนียมในรูปมีค่าอยู่ระหว่าง 8.6 - 332 ไมโครกรัม-ในโดยรูป/ลิตร [25]

ความล้มพันธ์ระหว่างพืชกับจุลินทรีย์มีการศึกษามาอย่างแพร่หลายและยาวนาน แต่การนำจุลินทรีย์มาใช้เป็นปัจจัยชีวภาพเพื่อปรับปรุงคุณภาพดินสำหรับการเพาะต้นกล้า โดยเฉพาะอย่างยิ่งพืชป่าชายเลนยังมีการศึกษาน้อยมาก การใช้จุลินทรีย์ปรับปรุงคุณภาพดินถือเป็นวิธีที่มีความเหมาะสมเนื่องจากการใช้ปุ๋ยเคมีบางชนิดไม่มีประลิทธิภาพ พืชไม่สามารถนำไปใช้ประโยชน์ได้อย่างเต็มที่ เช่น ปุ๋ยฟอลฟอรัส ประมาณ 75 - 90 % ของปริมาณที่เติมลงในดินมักจับตัวเป็นสารประกอบเชิงช้อนกับธาตุโลหะในดินและถูกตรึงอยู่กับอนุภาคดิน [26] การศึกษาในครั้งนี้แสดงให้เห็นว่า *Bacillus* sp. SN1, *Bacillus* sp. SN2 และแบคทีเรียผสม *Bacillus* sp. SN1+SN2+SN3 มีศักยภาพในการเพิ่มธาตุในโดยรูป ให้กับต้นกล้าโคงกากในไทยฯ สอดคล้องกับการศึกษาของ Sharma, S. B., Sayyed, R. Z., Trivedi, M. H., and Gobi, T. A. [27] ที่รายงานว่า *B. polymyxa* สายพันธุ์ BcP26 ช่วยปรับปรุงคุณภาพดินที่ขาดธาตุอาหารให้มีธาตุอาหารในโดยรูปเพิ่มสูงขึ้น จึงลั่งผลให้ข้าวโพดเจริญเติบโตได้ดีและคุณคีมีธาตุอาหารในโดยรูปมากขึ้น Elkoca, E., Kantar, F., and Sahin, F. [15] พบว่าการเติมแบคทีเรียตรึงกําชีวินโดยรูป คือ *Rhizobium* และ *B. subtilis* OSU-142 ร่วมกับแบคทีเรียลักษณะฟอสเฟต คือ *B. megaterium* M-3 แบบทัวเชื้อเดี่ยว แบคทีเรียผสมสองชนิดและแบคทีเรียผสมทั้งสามชนิดสามารถเพิ่มธาตุอาหารในโดยรูปในดิน ลั่งผลให้ความสูง ความยาวราก ปริมาณคลอโรฟิลล์ น้ำหนักปมราก และผลผลิตของถั่วลูกไก่เพิ่มสูงขึ้นอย่างมีนัยสำคัญ

ฟอสฟอรัสเป็นธาตุอาหารหลักลำดับที่สองต่อจากไนโตรเจนที่มักมีในปริมาณจำกัดในดินทั้ง ๆ ที่ธาตุอาหารชนิดนี้พบได้ทั่วไปทั้งในรูปสารอินทรีย์และสารอนินทรีย์ [28] การที่ธาตุอาหารชนิดนี้มีปริมาณอย่างจำกัดสำหรับพืช เนื่องจากฟอสฟอรัสมักอยู่ในรูปที่ไม่ละลายน้ำ ในขณะที่พืชสามารถใช้ฟอสฟอรัสในรูปละลายน้ำเพียงสองชนิดเท่านั้น ได้แก่ รูปโมโนเบเล็กไอโอน ($H_2PO_4^-$) และไดเบเล็กไอโอน (HPO_4^{2-}) ขึ้นอยู่กับค่าความเป็นกรด-ด่างของดิน กล่าวคือ พืชจะใช้ฟอสเฟตในรูปไดเบเล็กไอโอน เมื่อดินมีค่าความเป็นกรด-ด่างสูง [29] - [30] นอกจากนี้หากดินมีสภาพเป็นกรดต่ำกว่า 6.5 จะทำให้ฟอสฟอรัสเกะติดกับอะลูมิเนียมและแร่เหล็ก แต่ถ้าดินมีความเป็นด่างสูงจะทำให้ฟอสฟอรัสเกะติดกับแคลเซียม ทำให้พืชดูดซึมฟอสฟอรัสไปใช้ไม่ได้ แม้ว่าปริมาณฟอสฟอรัสที่วัดได้จะมีค่าสูงก็ตาม [10] ดังนั้นการเติมจุลินทรีย์จึงเป็นการเพิ่มฟอสฟอรัสในรูปที่พืชสามารถนำไปใช้ประโยชน์ได้โดยอาศัยกิจกรรมการละลายฟอสเฟตของจุลินทรีย์และยังช่วยลดการใช้ปุ๋ยเคมีได้อีกด้วย จากการศึกษาในครั้งนี้พบว่า *Bacillus* sp. SN2 สามารถเพิ่มฟอสเฟตในดินในระหว่างการเพาะกล้าโภคภายนอกในไทย ส่งผลให้ความยาวและน้ำหนักเพิ่มขึ้นอย่างมีนัยสำคัญ สอดคล้องกับการศึกษาของ Sharma, S. B., Sayyed, R. Z., Trivedi, M. H., and Gobi, T. A. [27] ที่พบว่า *B. polymyxa* สายพันธุ์ BcP26 ช่วยเพิ่มฟอสฟอรัสในดินที่ขาดธาตุอาหารสิ่งผลให้ข้าวโพดดูดซึมธาตุอาหารฟอสฟอรัสได้มากขึ้นและเจริญเติบโตดีตามปกติแล้วแบคทีเรียหลายกลุ่มมีความสามารถในการละลายฟอสฟอรัสให้อยู่ในรูปที่พืชสามารถนำไปใช้ประโยชน์ได้ เช่น *Bacillus*, *Azotobacter*, *Beijerinckia*, *Burkholderia*, *Enterobacter*, *Erwinia*, *Flavobacterium*, *Microbacterium*, *Pseudomonas*, *Rhizobium* และ *Serratia* เป็นต้น [30] การศึกษาความสามารถในการละลายฟอสฟอรัสของ *Bacillus* sp. SN1 และ *Bacillus* sp. SN2 และทัวเข็อผสม *Bacillus* sp. SN1+SN2+SN3 จึงควรมีการศึกษาต่อไป

สรุปผลการทดลอง

การเติมแบคทีเรียแบบหัวเข็อเดี่ยว คือ *Bacillus* sp. SN1 และ *Bacillus* sp. SN2 และหัวเข็อผสม *Bacillus* sp. SN1+SN2+SN3 ช่วยเพิ่มความสูงและน้ำหนักของต้นกล้าโภคภายนอกในไทย นอกจากนี้ การเติมแบคทีเรียทั้ง 3 รูปแบบยังช่วยเพิ่มแอมโมเนียมในดินได้อย่างมีนัยสำคัญทางสถิติ ($P < 0.05$) รวมทั้งการเติม *Bacillus* sp. SN2 สามารถเพิ่มฟอสฟอรัสในรูปที่พืชใช้ประโยชน์ได้ในดินอย่างมีนัยสำคัญทางสถิติ ($P < 0.05$) ดังนั้นการศึกษาในครั้งนี้สรุปได้ว่า *Bacillus* sp. SN1, *Bacillus* sp. SN2 และแบคทีเรียผสม *Bacillus* sp. SN1+SN2+SN3 มีศักยภาพในการใช้เป็นปุ๋ยชีวภาพเพื่อเพิ่มการเจริญเติบโตของต้นกล้าพืชป่าชายเลนและลดการใช้ปุ๋ยเคมีในโตรเจนและฟอสฟอรัส ทำให้มีต้นกล้าโภคภายนอกในไทยที่แข็งแรงล้ำ抗拒การลุกรากและบรรเทาความแห้งแล้งในช่วงฤดูแล้ง ที่มีความสูงและน้ำหนักที่สูงกว่าต้นกล้าที่ไม่ได้รับการเพิ่มฟอสฟอรัส ทั้งนี้ต้องคำนึงถึงความต้องการฟอสฟอรัสของพืชป่าชายเลนที่สูงกว่าพืชอื่นๆ อย่างมาก ดังนั้นการใช้ฟอสฟอรัสในรูปที่พืชสามารถนำไปใช้ได้โดยสะดวกจะช่วยลดการใช้ปุ๋ยเคมีและลดผลกระทบต่อสิ่งแวดล้อมในระยะยาว

กิตติกรรมประกาศ

คณะผู้วิจัยขอขอบคุณภาควิชาจุลชีววิทยา คณะวิทยาศาสตร์ มหาวิทยาลัยบูรพา ที่ให้ความอนุเคราะห์ อุปกรณ์ในการวิจัย ภาควิชาจุลชีววิทยา คณะวิทยาศาสตร์ มหาวิทยาลัยบูรพา ที่อนุเคราะห์เรื่องเพาะชำ Subunith Nimrat, Supannee Sonklin, and Verapong Vuthiphandchai
ISSN 2672-9369 (Online)

สำหรับการเพาะต้นกล้า รวมทั้งขอบคุณ คุณเกزم รัตนศิริ และเจ้าหน้าที่สถานีพัฒนาทรัพยากรป่าชายเลนที่ 5 จังหวัดชลบุรี ที่ให้ความเอื้อเฟื้อคืนป่าชายเลน และฝึกโภกกรรมในการใบใหญ่สำหรับการทดลอง

References

- [1] Aksornkoae, S. (1998). **Ecology of Mangrove Forest**. 2nd ed. Bangkok: Kasetsart University
- [2] Charuppat, T. and Charuppat, J. (1997). Application of Geographical Information from Landsat-5 TM for Monitoring the Change in Mangrove Forest Areas in Thailand. In **Proceeding of the 10th National Conference of Mangrove Forest Ecosystem**. pp. 1-8. National Research Council of Thailand: Bangkok
- [3] Bunyavejvchewin, S. and Buasalee, R. (2011). **Mangrove Forest: Ecosystem and Plant Species**. Bangkok: Department of National Park, Wildlife and Plant Conservation
- [4] Yeesun, S. and Tateh, S. (2018). Effect of During Different Immersing in Sea Water on First Cople Sprout of Pod (*Rhizophora apicudata*). In **Proceeding of the 10th Rajamangala University of Technology National Conference**. pp. 756-763. Trang: Research and Development Institute, Rajamangala University of Technology Srivijaya
- [5] Reis, C. R. G., Nardoto, G. B., and Oliveira, R. S. (2017). Global Overview on Nitrogen Dynamics in Mangroves and Consequences of Increasing Nitrogen Availability for These Systems. **Plant and Soil**. Vol. 410, No. 1-2, pp. 1-19. DOI: 10.1007/s11104-016-3123-7
- [6] Reef, R., Feller, I. C., and Lovelock, C. E. (2010). Nutrition of Mangroves. **Tree Physiology**. Vol. 30, Issue 9, pp. 1148-1160. DOI: 10.1093/treephys/tpq048
- [7] Rao, N. S. S. (1995). **Soil Microorganisms and Plant Growth**. 3rd ed. New Delhi: Oxford & IBH Publishing
- [8] Kim, J. and Ress, D. C. (1994). Nitrogenase and Biological Nitrogen Fixation. **Biochemistry**. Vol. 33, No. 2, pp. 389-397. DOI: 10.1021/bi00168a001
- [9] Ahemad, M. and Kibret, M. (2014). Mechanisms and Applications of Plant Growth Promoting Rhizobacteria: Current Perspective. **Journal of King Saud University - Science**. Vol. 26, Issue 1, pp. 1-20. DOI: 10.1016/j.jksus.2013.05.001
- [10] Nimrat, S. (2006). **Soil Microbiology**. Bangkok: Odeon Store
- [11] Rahman, M. M., Sabir, A. A., Mukta, J. A., Khan, M. M. A., Mohi-Ud-Din, M., Miah, M. G., Rahman, M. M., and Islam, M. T. (2018). Plant Probiotic Bacteria *Bacillus* and *Paraburkholderia* Improve Growth, Yield and Content of Antioxidants in Strawberry Fruit. **Scientific Reports**. Vol. 8, No. 1, pp. 1-11. DOI: 10.1038/s41598-018-20235-1
- [12] Khan, S. and Pariari, A. (2012). Effect of N-Fixing Biofertilizers on Growth, Yield and Quality of Chilli (*Capsicum annuum* L.). **The Bioscan**. Vol. 7, No. 3, pp. 481-482
- [13] Attanandana, T. and Chanchareonsook, J. (1999). **Soil and Plant Analysis**. 7th ed. Bangkok: Department of Soil Science, Faculty of Agriculture, Kasetsart University

- [14] Ravikumar, S., Kathiresan, K., Maria Ignatiammal, S. T., Selvam, M. B., and Shantha, S. (2004). Nitrogen-Fixing Azotobacters from Mangrove Habitat and Their Utility as Marine Biofertilizers. **Journal of Experimental Marine Biology and Ecology**. Vol. 312, Issue 1, pp. 5-17. DOI: 10.1016/j.jembe.2004.05.020
- [15] Elkoca, E., Kantar, F., and Sahin, F. (2008). Influence of Nitrogen Fixing and Phosphorus Solubilizing Bacteria on the Nodulation, Plant Growth, and Yield of Chickpea. **Journal of Plant Nutrition**. Vol. 31, Issue 1, pp. 157-171. DOI: 10.1080/01904160701742097
- [16] Glick, B. R. (2012). Plant Growth-Promoting Bacteria: Mechanisms and Applications. **Hindawi Publishing Corporation Scientifica**. Vol. 2012, pp. 1-15. Article ID 963401, DOI: 10.6064/2012/963401
- [17] Spaepen, S., Das, F., Luyten, E., Michiels, J., and Vanderleyden, J. (2009). Indole-3-Acetic Acid-Regulated Genes in *Rhizobium etli* CNPAF512. **FEMS Microbiology Letters**. Vol. 291, Issue 2, pp. 195-200. DOI: 10.1111/j.1574-6968.2008.01453.x
- [18] Gopalakrishnan, S., Sathya, A., Vijayabharathi, R., Varshney, R. K., Gowda, C. L. L., and Krishnamurthy, L. (2015). Plant Growth Promoting Rhizobia: Challenges and Opportunities. **3 Biotech**. Vol. 5, pp. 355-377. DOI: 10.1007/978-3-319-64982-5_7
- [19] Zaidi, A., Khan, M. S., Saif, S., Rizvi, A., Ahmed, B., and Shahid, M. (2017). Role of Nitrogen-Fixing Plant Growth-Promoting Rhizobacteria in Sustainable Production of Vegetables: Current Perspective. In: **Zaidi A., Khan M. (eds) Microbial Strategies for Vegetable Production**. Springer, Cham. DOI: 10.1007/978-3-319-54401-4_3
- [20] Sharma, S. K., Ramesh, A., and Johri, B. N. (2013). Isolation and Characterization of Plant Growth Promoting *Bacillus amyloliquefaciens* Strain sks_bnj_1 and Its Influence on Rhizosphere Soil Properties and Nutrition of Soybean (*Glycine max* L. Merrill). **Journal of Virology and Microbiology**. Vol. 2013, Article ID 446006, DOI: 10.5171/2013.446006
- [21] Szilagyi-Zecchin, V. J., Ikeda, A. C., Hungria, M., Adamoski, D., KavaCordeiro, V., Glienke, C., and Galli-Terasawa, L. V. (2014). Identification and Characterization of Endophytic Bacteria from Corn (*Zea mays* L.) Roots with Biotechnological Potential in Agriculture. **AMB Express**. Vol. 4, pp. 2-9. DOI: doi: 10.1186/s13568-014-0026-y
- [22] Costa, J. M. and Loper, J. E. (1994). Characterization of Siderophore Production by the Biological Control Agent *Enterobacter cloacae*. **Molecular Plant-Microbe Interactions: MPMI (USA)**. Vol. 7, Issue 4, pp. 440-448
- [23] Yu, X., Liu, X., Zhu, T. H., Liu, G. H., and Mao, C. (2012). Co-Inoculation with Phosphate-Solubilizing and Nitrogen-Fixing Bacteria on Solubilization of Rock Phosphate and Their Effect on Growth Promotion and Nutrient Uptake by Walnut. **European Journal of Soil Biology**. Vol. 50, pp. 112-117. DOI: 10.1016/j.ejsobi.2012.01.004
- [24] Department of Marine and Coastal Resources. (2018). **pH Value of Seawater**. Access (3 April 2020). Available (<https://www.dmcr.go.th/detailAll/23961/nws/141>)

- [25] Pollution Control Department, Ministry of Natural Resources and Environment. (2019). **Marine Water Quality along the Coastline of Thailand in 2019**. Access (31 August 2020). Available (http://www.pcd.go.th/info_serv/water.html)
- [26] Egamberdiyeva, D. (2007). The Effect of Plant Growth Promoting Bacteria on Growth and Nutrient Uptake of Maize in Two Different Soils. **Applied Soil Ecology**. Vol. 36, pp. 184-189. DOI: DOI: 10.1016/j.apsoil.2007.02.005
- [27] Sharma, S. B., Sayyed, R. Z., Trivedi, M. H., and Gobi, T. A. (2013). Phosphate Solubilizing Microbes: Sustainable Approach for Managing Phosphorus Deficiency in Agricultural Soils. **SpringerPlus**. Vol. 2, DOI: 10.1186/2193-1801-2-587
- [28] Khan, M. S., Zaidi, A., Wani, P. A., and Oves, M. (2009). Role of Plant Growth Promoting Rhizobacteria in the Remediation of Metal Contaminated Soils. **Environmental Chemistry Letters**. Vol. 7, Issue 1, pp. 319-350
- [29] Mala, T. (2003). **Organic Fertilizer and Bio-Fertilizer**. Bangkok: Kasetsart University
- [30] Bhattacharyya, P. N. and Jha, D. K. (2012). Plant Growth-Promoting Rhizobacteria (PGPR): Emergence in Agriculture. **World Journal of Microbiology and Biotechnology**. Vol. 28, pp. 1327-1350. DOI: 10.1007/s11274-011-0979-9

การพยากรณ์การรอดชีวิตของผู้ป่วยมะเร็งเต้านม

Predicting Breast Cancer Patient Survival

จาเร่ ทองคำ^{1*} และวาทินี สุขมาก²

Jaree Thomgkam^{1*} and Vatinee Sukmak²

Received: June 30, 2020; Revised: December 4, 2020; Accepted: December 4, 2020

บทคัดย่อ

งานวิจัยฉบับนี้มีวัตถุประสงค์เพื่อพัฒนาแบบจำลองที่มีประสิทธิภาพในการพยากรณ์การรอดชีวิตของผู้ป่วยมะเร็งเต้านมซึ่งเป็นมะเร็งที่พบมากในเพศหญิงเป็นอันดับที่สองรองจากมะเร็งรังไข่ ข้อมูลเก็บรวบรวมจากฐานข้อมูล SEER ในปี ค.ศ. 2004 ถึง 2014 จำนวน 115,184 รายเบียน การวิจัยนี้ใช้เทคนิคเหมืองข้อมูลพื้นฐาน คือ เทคนิค naïve Bayes เทคนิคล่วงของรายการตัดสินใจ เทคนิคเพอร์เซปตรอนทั่วไป และเทคนิคชั้พพอร์ตเวกเตอร์แมชีน ในการสร้างแบบจำลองเปรียบเทียบกับแบบจำลองตั้งกล่าวร่วมกับเทคนิคการห่อเพื่อเพิ่มประสิทธิภาพการพยากรณ์ คณานวณวิจัยใช้หลักการ 10-โฟดรรஸวัลเดชันในการแบ่งชุดข้อมูลเป็นชุดข้อมูลฝึกสอนและชุดข้อมูลทดสอบ โดยใช้ค่าความไว ความจำเพาะ และความถูกต้องวัดประสิทธิภาพของแบบจำลอง ผลทดลองพบว่า เทคนิคล่วงของรายการตัดสินใจร่วมกับเทคนิคการห่อสามารถสร้างแบบจำลองการพยากรณ์การรอดชีวิตของผู้ป่วยมะเร็งเต้านมที่มีความถูกต้องสูงสุดที่ร้อยละ 98.89

คำสำคัญ : มะเร็งเต้านม; การรอดชีวิต; เทคนิคแบบรวม; เหมืองข้อมูล

¹ คณะวิทยาการสารสนเทศ มหาวิทยาลัยมหาสารคาม

² คณะพยาบาลศาสตร์ มหาวิทยาลัยมหาสารคาม

¹ Faculty of Informatics, Mahasarakham University

² Faculty of Nursing Mahasarakham University

* Corresponding Author E - mail Address: jaree.thongkam@gmail.com

Abstract

The objective of this research is to develop the effective model for predicting the survival of patients with breast cancer. Breast cancer is the second most common cancer in women. Data were collected from the SEER database in 2004 to 2014. It has up to 115,184 records. The prediction models were modeled with the basic techniques including Naive Bayes, PART decision list, MultiLayer Perceptron and Support Vector Machine. Moreover, the research team adopted Bagging technique to combine with these basic techniques in order to increase performance of the built prediction models. 10-fold cross-validation has been used to divide the dataset into training and testing sets. Sensitivity, specificity and accuracy values were used to compare the performance of models. The experiment result shows that that PART combine with bagging technique can construct breast cancer survival models with the highest accuracy of 98.89 %.

Keywords: Breast Cancer; Survival; Ensemble Technique; Data Mining

บทนำ

มะเร็งเต้านมเป็นมะเร็งที่พบบ่อยที่สุด และเป็นสาเหตุอันดับสองของการเสียชีวิตด้วยโรคมะเร็งลำไหส์พบ เพศหญิง [1] การรอดชีวิตของผู้ป่วยมะเร็งเต้านมมีมากขึ้นเมื่อมีการตรวจพบแต่เนิ่น ๆ รวมถึงการรักษา ยังเป็นปัจจัยหนึ่งที่ทำให้โอกาสการรอดชีวิตสูงขึ้นอีกด้วย มะเร็งเต้านมสามารถแบ่งออกเป็น 4 ระยะ ได้แก่ ระยะที่ 1 เป็นระยะที่เซลล์มะเร็งมีขนาดค่อนข้างเล็กและมีอยู่ภายในอวัยวะที่มะเร็งเริ่มก่อตัว ระยะนี้เป็นระยะที่มะเร็งมีความรุนแรงน้อยที่สุด ระยะที่ 2 เป็นระยะที่มะเร็งเต้านมมีขนาดใหญ่กว่า ในระยะที่ 1 แต่เซลล์มะเร็งเต้านมยังไม่เริ่มแพร่กระจายไปยังเนื้อเยื่อรอบ ๆ ระยะที่ 3 เป็นระยะที่มะเร็งเต้านม มีขนาดใหญ่ขึ้นอาจเริ่มแพร่กระจายไปยังเนื้อเยื่อรอบ ๆ และมีเซลล์มะเร็งเต้านมในต่อมน้ำเหลืองในบริเวณนั้น ระยะที่ 4 เป็นระยะที่เซลล์มะเร็งแพร่กระจายไปจากตำแหน่งที่เริ่มเป็นอวัยวะอื่น ๆ ซึ่งเรียกว่า มะเร็ง ระยะแพร่กระจายหรือมะเร็งระยะลุกลาม [2] อัตราการรอดชีวิตของผู้ป่วยมะเร็งเต้านมโดยทั่วไปใช้ การพิจารณาจากการรอดชีวิตในระยะ 5 ปี โดยเฉพาะผู้ป่วยในระยะที่ 3 จะมีการเสียชีวิตในระยะก่อน 5 ปี ทั้งอย่าง 72 ดันน์อายุรแพทย์เต้านมมะเร็งวิทยาได้อธิบายเกี่ยวกับอัตราการรอดชีวิตของมะเร็งเต้านม โดยใช้คำว่าอัตราการรอดชีวิตระยะ 5 ปี [3] ในทศวรรษที่ผ่านมาการรอดชีวิตระยะ 5 ปี ของผู้ป่วย มะเร็งเต้านมมีมากขึ้น เนื่องจากผู้ป่วยมาพบแพทย์เร็วขึ้นและการรักษาที่มีประสิทธิภาพมากขึ้น [1] ในอดีตการวิเคราะห์การรอดชีวิตของผู้ป่วยมะเร็งโดยส่วนใหญ่ใช้การวิเคราะห์ถดถอย (Regression Analysis) [4] ปัจจุบันการวิเคราะห์ข้อมูลด้วยเทคนิคเหมือนข้อมูลเข้ามามีบทบาทในการพยากรณ์และ ใช้กันอย่างแพร่หลาย ซึ่งเทคนิคเหมือนข้อมูลสามารถนำไปใช้ในการสร้างแบบจำลองเพื่อการพยากรณ์ กีดโรค [5] และการพยากรณ์การรอดชีวิตของผู้ป่วยมะเร็ง [6] ซึ่งแบบจำลองนี้สามารถนำไปใช้ในการพยากรณ์ ทางการแพทย์และการเฝ้าระวังโรค

เทคนิคการทำเหมืองข้อมูล (Data Mining Techniques) นิยมนำมาใช้ในการสร้างแบบจำลองเพื่อการพยากรณ์ เช่น เทคนิค naïve Bayes (Naive Bayes: NB) เทคนิคล่วงของรายการตัดสินใจ (PART Decision List: PART) เทคนิคเพอร์เซปตรอนหลายชั้น (MultiLayer Perceptron: MLP) และเทคนิคชั้พพอร์ตเวกเตอร์แมชีน (Support Vector Machine: SVM) เป็นต้น โดยเทคนิค NB เป็นเทคนิคที่มีประสิทธิภาพในการสร้างแบบจำลองเพื่อการพยากรณ์เมื่อข้อมูลมีลักษณะเป็น 2 ตัวเลือก (Binary) [7] และการทำเหมืองข้อความ (Text Mining) [8] - [9] เทคนิค PART เป็นเทคนิคที่ใช้ในการสร้างแบบจำลองแบบกฎ (Rule-Based) ซึ่งง่ายต่อการแปลความหมายและมีประสิทธิภาพในการพยากรณ์ [10] - [11] ส่วนเทคนิค MLP เป็นเทคนิคที่นิยมนำมาใช้ในการแก้ปัญหาเกี่ยวกับการรู้จำ หรือการพยากรณ์ข้อมูลรูปภาพที่มีจำนวนข้อมูลไม่มากนักแต่มีตัวแปรจำนวนมาก [12] และเทคนิค SVM เป็นเทคนิคที่มีประสิทธิภาพในการสร้างแบบจำลองเพื่อการพยากรณ์ที่ใช้กับข้อมูลที่มีขนาดเล็กและข้อมูลขนาดกลาง [13] [14]

เทคนิค Bagging เป็นเทคนิคแบบรวม (Ensemble) ที่ใช้ในการแก้ปัญหาแบบจำลองที่มีประสิทธิภาพค่าจากแบบจำลองที่ใช้เทคนิคพื้นฐาน หรือเรียกอีกอย่างหนึ่งว่า Weak Classifier [15] โดยใช้หลักการ Bootstrap ในการสุ่มข้อมูลแบบกลับมาใช้ใหม่ให้แก่แบบจำลองที่ใช้เทคนิคพื้นฐาน [16]

ดังนั้นวัตถุประสงค์ของงานวิจัยนี้เพื่อพัฒนาแบบจำลองการพยากรณ์การรอดชีวิตของผู้ป่วยมะเร็งเต้านม โดยใช้เทคนิคพื้นฐานในการทำเหมืองข้อมูล 4 เทคนิค คือ NB, PART, MLP และ SVM ร่วมกับเทคนิค Bagging นอกจากนั้นคณิตผู้วิจัยยังใช้หลักการ 10-Fold Cross-Validation ในการแบ่งข้อมูลออกเป็นชุดข้อมูลฝึกสอนใช้ในการสร้างแบบจำลองด้วยเทคนิคพื้นฐาน และชุดข้อมูลทดสอบเพื่อใช้ในการทดสอบประสิทธิภาพการพยากรณ์ของแบบจำลองด้วยค่าความไว (Sensitivity) ค่าความจำเพาะ (Specificity) และค่าความถูกต้อง (Accuracy)

วิธีดำเนินการวิจัย

วิธีดำเนินการวิจัยในงานวิจัยนี้แบ่งออกเป็น 4 ขั้นตอนตามวิธีการทำเหมืองข้อมูลของ Han, J. W. and Kamber, M. [17] ดังนี้คือ ขั้นตอนการเตรียมข้อมูล ขั้นตอนก่อนการสร้างแบบจำลอง ขั้นตอนการสร้างแบบจำลอง และการวัดประสิทธิภาพของแบบจำลอง

1. ขั้นตอนการเตรียมข้อมูล เป็นขั้นตอนในการทำความเข้าใจข้อมูล คณิตผู้วิจัยทำการรวบรวมข้อมูลผู้ป่วยในกลุ่มการวินิจฉัยโรคมะเร็งเต้านมจากฐานข้อมูล SEER ซึ่งข้อมูลอยู่ในรูปแบบแฟ้มข้อความ (Text File) โดยมีตัวแปรทั้งหมด 74 ตัวแปร จำนวน 547,920 ระเบียน เมื่อทำการตรวจสอบความสมบูรณ์ของข้อมูลพบว่า ข้อมูลมีปัญหาเกี่ยวกับข้อมูลชำช้อนและข้อมูลไม่สมบูรณ์ในอัตรามากกว่าร้อยละ 50 ของข้อมูลทั้งหมด โดยข้อมูลจากเดือนกรกฎาคม ค.ศ. 2004 ถึงเดือนธันวาคม ค.ศ. 2014 เป็นข้อมูลที่มีความสมบูรณ์มากที่สุดจำนวน 193,053 ระเบียน

2. ขั้นตอนก่อนการสร้างแบบจำลอง เป็นขั้นตอนที่มีความสำคัญต่อการวัดประสิทธิภาพของแบบจำลอง ซึ่งประกอบด้วย 4 ขั้นตอนดังนี้

- 2.1 กำจัดข้อมูลที่ซ้ำกันออกจากชุดข้อมูล
- 2.2 กำจัดข้อมูลที่ไม่สมบูรณ์ออก และคำนึงถึงตัวแปรที่ใช้ในการสร้างแบบจำลอง

2.3 กำหนดระยะเวลาการเลี้ยงชีวิต แบ่งข้อมูลออกเป็น 2 กลุ่มหรือคลาส คลาส 0 คือ ข้อมูลของผู้ป่วยที่เลี้ยงชีวิต ก่อนระยะ 5 ปี และคลาส 1 คือ ข้อมูลของผู้ป่วยที่รอดชีวิตมากกว่าระยะ 5 ปี หลังจากวันที่ได้รับการวินิจฉัยโรค

2.4 ทำการตรวจสอบข้อมูลที่ผิดปกติ (Outliers) ออกจากชุดข้อมูล ด้วยเทคนิค C4.5

หลังจากคัด除ผู้ป่วยได้ดำเนินการตามทั้ง 4 ขั้นตอนข้างต้นแล้วมีข้อมูลคงเหลือ 115,184 รายเนื่อง โดยประกอบด้วยคลาส 0 จำนวน 92,720 และคลาส 1 จำนวน 22,464 มีตัวแปรทั้งสิ้น จำนวน 10 ตัวแปร แบ่งออกเป็นตัวแปรต้นจำนวน 9 ตัวแปร และตัวแปรตามจำนวน 1 ตัวแปร ดังตารางที่ 1

ตารางที่ 1 ตัวแปรในงานวิจัย

ลำดับ	รายละเอียด	รหัสตัวแปร	ชนิดของข้อมูล
1	Marital Status	MAR_STAT	Nominal
2	Race	RAC_RECY	Nominal
3	Age at Diagnosis	AGE	Number
4	Primary Site	PRIMSITE	Nominal
5	Lateral	LATERAL	Nominal
6	Cancer Grade	GRADE	Nominal
7	Tumor Size	CSTUMSIZ	Nominal
8	Stage	DSS2000S	Nominal
9	Surgery of Primary Site	SURGPRIF	Nominal
10	Survival Class	Class	Nominal

3. ขั้นตอนการสร้างแบบจำลอง การสร้างแบบจำลองเพื่อการพยากรณ์การรอดชีวิตของผู้ป่วย มะเร็งเต้านม ด้วยเทคนิคเหมือนข้อมูลที่มีประสิทธิภาพในการพยากรณ์ที่เป็นที่ยอมรับกันอย่างแพร่หลาย ประกอบด้วยเทคนิคเหมือนข้อมูลพื้นฐาน คือ เทคนิค Naive Bayes, PART, MLP และ SVM รวมกับ เทคนิค Bagging

3.1 เทคนิค naïve Bayes' (Naive Bayes) [18] เป็นเทคนิคที่ใช้หลักการของความน่าจะเป็น มาแก้ปัญหา โดยการสร้างแบบจำลองจาก Bayes' Theorem และสมมติฐานที่ถูกกำหนดขึ้นจากการเกิด ของเหตุการณ์ต่าง ๆ ที่ใช้ในการพยากรณ์

3.2 เทคนิคส่วนของรายการตัดสินใจ (PART) [11] เป็นเทคนิคที่ใช้ในการสร้างกฎ การตัดสินใจ โดยการนำเอาหลักการของต้นไม้การตัดสินใจ และการสร้างกฎการตัดสินใจจากใบที่ดีที่สุด (Best Leave) ในการพยากรณ์ ถึงแม้ว่าเทคนิคนี้จะคล้ายกับต้นไม้ตัดสินใจ แต่เทคนิค PART ได้หลีกเดี่ยง การสร้างต้นไม้เต็มรูปแบบทำให้ลดเวลาในการสร้างกฎการตัดสินใจ (Decision Rule)

3.3 เทคนิคเพอร์เซปตรอนหลายชั้น (MLP) เป็นเทคนิคที่ใช้แนวคิดที่ได้มาจากการจำลอง การทำงานของเซลล์สมองของมนุษย์ ซึ่งมีโครงสร้างประกอบด้วย ชั้นข้อมูลนำเข้า (Input Layer) ชั้นข้อมูลแฝง (Hidden Layer) และชั้นข้อมูลออก (Output Layer) โดยมีหน่วยย่อยเรียกว่า Perceptron ซึ่งทำงานเท่ากับเซลล์สมองของมนุษย์หนึ่ง Neuron โดยหลักการทำงานของ Neural Network จะมีการกำหนด

ค่าน้ำหนักและเกณฑ์ที่แก่ข้อมูลนำเข้าแต่ละตัวโดยใช้ Back-propagation Algorithm ในการคำนวณในการสร้างแบบจำลอง และให้ผลการพยากรณ์ได้อย่างแม่นยำ [19]

3.4 เทคนิคชัฟฟอร์ดเวกเตอร์เมทริกซ์ (SVM) [20] เป็นเทคนิคที่ได้จากทฤษฎีการเรียนรู้จากสถิติ เป็นการใช้หลักการลดค่าความเลี้ยงเชิงโครงสร้างให้ต่ำที่สุด (Structural Risk Minimized) เพื่อลดค่าความผิดพลาดของการทำนาย (Minimization Error) พร้อมกับเพิ่มระดับการแบ่งให้มากที่สุด (Maximized Margin) ในการพยากรณ์

3.5 เทคนิคการห่อ (Bagging) [21] เป็นเทคนิคแบบรวมที่ใช้หลักการของ Bootstrap ในการสุ่มข้อมูลแบบกลับไปใช้ใหม่ ซึ่งเป็นเทคนิคที่เพิ่มประสิทธิภาพให้กับเทคนิคพื้นฐาน ในงานวิจัยนี้ ได้นำเอาเทคนิค Bagging รวมกับเทคนิค Naive Bayes เทคนิค PART เทคนิค MLP และเทคนิค SVM ตามลำดับ

4. การวัดประสิทธิภาพของแบบจำลอง ในงานวิจัยนี้เทคนิค 10-Fold Cross-Validation ได้ถูกนำมาใช้ในการแยกข้อมูลออกเป็นชุดข้อมูลฝึกสอน และชุดข้อมูลทดสอบ จำนวน 10 รอบ ซึ่งหลักการนี้ จะช่วยลดความแตกต่าง และเพิ่มความน่าเชื่อถือของผลการทดลอง ในการวัดประสิทธิภาพของแบบจำลอง คำนวณผู้วัดใช้ค่าความไว (Sensitivity) ค่าจำเพาะ (Specificity) และค่าความถูกต้อง (Accuracy) ซึ่งคำนวณได้จากการที่ (1) - (3)

$$\text{Sensitivity} = \frac{\text{TP}}{\text{TP} + \text{FN}} \times 100 \quad (1)$$

$$\text{Specificity} = \frac{\text{TN}}{\text{TN} + \text{FP}} \times 100 \quad (2)$$

$$\text{Accuracy} = \frac{\text{TP} + \text{TN}}{\text{TP} + \text{FP} + \text{TN} + \text{FN}} \times 100 \quad (3)$$

เมื่อ

TP (True Positive) หมายถึง จำนวนข้อมูลที่แบบจำลองสามารถพยากรณ์ได้อย่างถูกต้องในกลุ่มผู้ป่วยที่เลี้ยงชีวิตก่อนระยะเวลา 5 ปี นับจากวันที่ได้ตรวจพบมะเร็งเต้านมถึงวันที่เลี้ยงชีวิต

FP (False Positive) หมายถึง จำนวนข้อมูลที่แบบจำลองที่ไม่สามารถพยากรณ์ได้อย่างถูกต้องในกลุ่มผู้ป่วยที่เลี้ยงชีวิตก่อนระยะเวลา 5 ปี นับจากวันที่ได้ตรวจพบมะเร็งเต้านมถึงวันที่เลี้ยงชีวิต

TN (True Negative) หมายถึง จำนวนข้อมูลที่แบบจำลองสามารถพยากรณ์ได้อย่างถูกต้องในกลุ่มผู้ป่วยที่เลี้ยงชีวิตหลังระยะเวลา 5 ปี นับจากวันที่ได้ตรวจพบมะเร็งเต้านมถึงวันที่เลี้ยงชีวิต

FN (False Negative) หมายถึง จำนวนข้อมูลที่แบบจำลองที่ไม่สามารถพยากรณ์ได้อย่างถูกต้องในกลุ่มผู้ป่วยที่เลี้ยงชีวิตหลังระยะเวลา 5 ปี นับจากวันที่ได้ตรวจพบมะเร็งเต้านมถึงวันที่เลี้ยงชีวิต

ผลการทดลอง

จากการสร้างแบบจำลองด้วยเทคนิคเหมือนข้อมูลพื้นฐาน ผลการวัดประสิทธิภาพของแบบจำลอง ดังนี้

1. ค่าความไว (Sensitivity) ของแบบจำลองการพยากรณ์การรอดชีวิตของผู้ป่วยมะเร็งเต้านม ระยะ 5 ปี จากการทดลอง 10 รอบ ด้วยเทคนิคเหมือนข้อมูลพื้นฐาน และเทคนิค Bagging ร่วมกับเทคนิคเหมือนข้อมูลพื้นฐาน แสดงดังตารางที่ 2

ตารางที่ 2 ค่าความไวของแบบจำลอง

Counts	Basic (%)				Bagging (%)			
	NB	PART	MLP	SVM	NB	PART	MLP	SVM
1	97.37	99.26	95.25	96.24	97.30	99.33	95.49	96.37
2	97.55	99.10	95.05	96.10	97.40	99.29	95.77	96.24
3	97.22	99.25	95.70	96.62	97.16	99.42	95.97	96.75
4	97.82	99.10	96.07	96.31	97.50	99.23	95.86	96.47
5	97.04	99.35	95.65	96.52	97.27	99.36	95.72	96.69
6	97.39	99.10	95.98	96.53	97.48	99.42	96.01	96.78
7	97.72	99.19	95.46	96.17	97.58	99.36	95.79	96.40
8	97.55	99.26	95.61	96.34	97.63	99.61	95.85	96.47
9	97.56	99.37	96.35	96.58	97.62	99.49	95.80	96.74
10	97.88	99.08	96.04	96.04	97.69	99.37	96.10	96.14
Average	97.51	99.21	95.72	96.34	97.46	99.39	95.84	96.50
SD.	0.25	0.10	0.38	0.20	0.17	0.10	0.16	0.22

จากตารางที่ 2 แสดงค่าความไวของแบบจำลองเพื่อการพยากรณ์การรอดชีวิตของผู้ป่วยมะเร็งเต้านม ที่สร้างจากเทคนิคพื้นฐาน NB PART MLP และ SVM พบร่วมกัน ทุกเทคนิคสามารถสร้างแบบจำลองที่มีประสิทธิภาพได้ในระดับที่ดีมากกล่าวคือ มากกว่าร้อยละ 90.00 โดยเทคนิค PART จะให้ค่าความไวสูงสุดถึงร้อยละ 99.21 รองลงมาคือเทคนิค NB SVM และ MLP ตามลำดับ เมื่อนำเทคนิค Bagging ร่วมกับเทคนิคพื้นฐานพบว่า ค่าความไวของแบบจำลอง Bagging ร่วมกับ PART MLP และ SVM มีค่าความไวเพิ่มขึ้นเล็กน้อย (น้อยกว่า 1 %) แต่ค่าความไวของแบบจำลอง Bagging ร่วมกับ NB มีค่าลดลงเล็กน้อย

2. ค่าจำเพาะ (Specificity) ของแบบจำลองการพยากรณ์การรอดชีวิตของผู้ป่วยมะเร็งเต้านม ระยะ 5 ปี พบร่วมกับค่าจำเพาะของแบบจำลอง ดังตารางที่ 3

ตารางที่ 3 ค่าจำเพาะของแบบจำลอง

Counts	Basic (%)				Bagging (%)			
	NB	PART	MLP	SVM	NB	PART	MLP	SVM
1	28.39	96.88	87.18	71.78	29.02	97.33	89.59	71.65
2	29.19	95.91	89.85	71.07	30.13	96.57	89.36	70.72
3	32.53	97.20	88.16	71.38	32.80	97.15	89.54	71.25
4	29.82	97.20	87.54	72.41	32.27	97.37	90.25	71.74
5	32.55	96.71	88.56	71.86	31.30	97.02	89.76	71.59
6	30.63	96.88	89.31	72.71	29.16	96.71	90.74	72.04
7	29.74	96.17	87.31	71.42	31.70	95.99	88.56	70.44
8	31.61	96.30	88.60	72.17	30.99	96.57	89.18	71.64
9	30.37	97.02	85.26	71.59	30.81	96.35	90.69	71.06
10	27.29	96.75	85.57	74.00	28.54	97.46	89.54	73.86
Average	30.21	96.70	87.74	72.04	30.67	96.85	89.72	71.60
SD.	1.62	0.42	1.41	0.81	1.36	0.46	0.64	0.89

จากตารางที่ 3 แสดงค่าจำเพาะของแบบจำลองสร้างจากเทคนิคพื้นฐาน คือ NB PART MLP และ SVM และแบบจำลองที่สร้างจากเทคนิคพื้นฐานร่วมกับเทคนิค Bagging พบว่าเทคนิค PART ร่วมกับเทคนิค Bagging ให้ค่าจำเพาะสูงสุดถึงร้อยละ 96.85 อย่างไรก็ตามเมื่อตรวจสอบรายละเอียดพบว่า เทคนิค Bagging สามารถเพิ่มค่าจำเพาะของแบบจำลองที่ใช้เทคนิค NB และ PART ขึ้นเพียงเล็กน้อย และสามารถเพิ่มประสิทธิภาพของแบบจำลองที่ใช้เทคนิค MLP และ SVM มากกว่า 1 % นอกจากนั้น เทคนิค Bagging ยังลดค่า SD. ให้แก่เทคนิค NB และ MLP ซึ่งหมายถึงมีความเสถียรของแบบจำลอง ในการพยากรณ์เพิ่มขึ้น

3. ค่าความถูกต้อง (Accuracy) ของแบบจำลองการพยากรณ์การรอดชีวิตของผู้ป่วยมะเร็งเต้านม ระยะ 5 ปี ซึ่งสามารถแสดงค่าความถูกต้องได้ดังตารางที่ 4

ตารางที่ 4 ค่าความถูกต้องของแบบจำลอง

Counts	Basic				Bagging			
	NB	PART	MLP	SVM	NB	PART	MLP	SVM
1	83.91	98.79	93.68	91.47	83.98	98.94	94.34	91.54
2	84.22	98.48	94.04	91.21	84.28	98.76	94.52	91.26
3	84.60	98.85	94.23	91.70	84.61	98.98	94.71	91.78
4	84.56	98.73	94.41	91.65	84.77	98.87	94.77	91.65
5	84.47	98.84	94.27	91.71	84.41	98.91	94.56	91.80
6	84.37	98.67	94.68	91.88	84.16	98.89	94.98	91.95

ตารางที่ 4 ค่าความถูกต้องของแบบจำลอง (ต่อ)

Counts	Basic				Bagging			
	NB	PART	MLP	SVM	NB	PART	MLP	SVM
7	84.47	98.60	93.87	91.34	84.74	98.71	94.38	91.34
8	84.69	98.68	94.24	91.63	84.63	99.02	94.55	91.63
9	84.46	98.91	94.19	91.71	84.59	98.88	94.81	91.73
10	84.11	98.63	94.00	91.74	84.21	99.00	94.82	91.80
Average	84.39	98.72	94.16	91.60	84.44	98.89	94.64	91.65
SD.	0.23	0.12	0.27	0.19	0.26	0.10	0.20	0.21

จากรายงานที่ 4 แสดงค่าความถูกต้องของแบบจำลองสร้างจากเทคนิคพื้นฐาน NB PART MLP และ SVM และแบบจำลองที่สร้างจากเทคนิคพื้นฐานร่วมกับเทคนิค Bagging พบว่า เทคนิค PART ให้ค่าความถูกต้องสูงสุดถึงร้อยละ 98.72 รองลงมาคือ เทคนิค MLP ให้ค่าความถูกต้องสูงสุดร้อยละ 94.16 เทคนิคที่ให้ค่าความถูกต้องค่าสุด คือ เทคนิค NB เมื่อนำเทคนิค Bagging มาร่วมกับเทคนิคพื้นฐาน สามารถเพิ่มค่าความถูกต้องของแบบจำลองพื้นฐานขึ้นเพียงเล็กน้อย ยิ่งไปกว่านั้น เทคนิค Bagging สามารถเพิ่มความเสถียรให้แก่การพยากรณ์ด้วยเทคนิค PART และเทคนิค MLP หากขึ้นด้วย

จากการทดลองข้างต้น เทคนิค PART เป็นเทคนิคที่พยากรณ์การรอตชีวิตของผู้ป่วยมะเร็งเต้านมที่มีประลิทิภิภาพมากที่สุด สามารถนำมาสร้างกฎการตัดสินใจได้ถึง 810 กฎ ซึ่งคงจะมีความแม่นยำและคงตัวอย่างของกฎการตัดสินใจการพยากรณ์การรอตชีวิตของผู้ป่วยมะเร็งเต้านมในรูปของกฎการตัดสินใจ 6 กฎ ดังตารางที่ 5

ตารางที่ 5 ตัวอย่างกฎการตัดสินใจจากการพยากรณ์การรอตชีวิตของผู้ป่วยมะเร็งเต้านมด้วยเทคนิค PART

Rule Number	PART Models	Prediction Result
Rule 1	AGE > 62 AND GRADE = 3 AND CSTUMSIZ <= 989: 0	0
Rule 2	AGE > 62 AND GRADE = 2 AND CSTUMSIZ <= 820: 0	0
Rule 3	AGE > 62 AND GRADE = 1 AND CSTUMSIZ <= 23: 0	0
Rule 4	GRADE = 4 AND AGE <= 85 AND CSTUMSIZ <= 20 AND SURGPRIF = 2 AND MAR_STAT = 2	1
Rule 5	RAC_RECY = 2 AND GRADE = 4 AND SURGPRIF = 2 AND AGE <= 64 AND MAR_STAT = 1	1
Rule 6	RAC_RECY = 2 AND GRADE = 4 AND SURGPRIF = 2 AND AGE <= 64 AND MAR_STAT = 1	1

จากตัวอย่างกูภการตัดสินใจการพยากรณ์การรอดชีวิตของผู้ป่วยมะเร็งเต้านม ในกูข้อที่ 1 ถ้าผู้ป่วยมีอายุมากกว่า 62 ปี มีเซลล์มะเร็งอยู่ใน GRADE = 3 ชั้นหมายถึง ระยะที่เซลล์มะเร็งมีการกระจายเร็วมากแต่ไม่สามารถแยกความแตกต่างของเซลล์มะเร็งได้ และไม่ทราบขอบเขตของขนาดก้อนมะเร็งแบบจำลองกูภการตัดสินใจพยากรณ์ว่าผู้ป่วยจะเสียชีวิตก่อนระยะ 5 ปี หลังจากวินิจฉัยว่าเป็นมะเร็งเต้านม ร้อยละ 100 ชั้นหมายความว่าถ้าผู้ป่วยเข้าเกณฑ์กูข้อที่ 1 ผู้ป่วยจะเสียชีวิตทั้งหมดในก่อนระยะ 5 ปี กูข้อที่ 4 สามารถนำไปพยากรณ์ได้คือ ถ้าผู้ป่วยเป็นมะเร็งใน GRADE = 4 ชั้นหมายถึงเซลล์มะเร็ง มีการเปลี่ยนรูปร่างแตกต่างจากเซลล์ต้นกำเนิด ผู้ป่วยมีอายุน้อยกว่า 85 ปี ขนาดของมะเร็งน้อยกว่า 20 มิลลิเมตร ได้รับการรักษาด้วยการผ่าตัดเอาเฉพาะเซลล์มะเร็งออกไปแล้ว และสถานภาพสมรส กูภการตัดสินใจพยากรณ์ว่าผู้ป่วยสามารถรอดชีวิตต่อไปได้ 5 ปี ดังนั้นจากแบบจำลองและ กูภการตัดสินใจพยากรณ์การรอดชีวิตของผู้ป่วยมะเร็งเต้านม สามารถนำไปพัฒนาเป็นระบบเฝ้าระวังโรค ให้แก่ผู้ป่วยและแพทย์ได้นำการพยากรณ์มาใช้ในการคัดกรองความเสี่ยงต่อการเสียชีวิตของผู้ป่วย ในเบื้องต้นต่อไป

สรุปผลและการอภิปราย

งานวิจัยฉบับนี้ได้นำข้อมูลผู้ป่วยที่ได้รับการวินิจฉัยด้วยโรคมะเร็งเต้านมและเสียชีวิตด้วยโรคมะเร็งเต้านม จากฐานข้อมูล SEER ระหว่างปี ค.ศ. 2004 - 2014 จำนวน 115,184 ราย มาทำการสร้างแบบจำลอง ด้วยเทคนิคพื้นฐาน NB PART MLP และ SVM และแบบจำลองที่สร้างร่วมกับเทคนิค Bagging

จากการทดลองพบว่า เทคนิค PART มีประสิทธิภาพในการพยากรณ์สูงสุดโดยให้ค่าความไวเฉลี่ยร้อยละ 99.21 ค่าจำเพาะเฉลี่ยร้อยละ 96.70 และค่าความถูกเฉลี่ยร้อยละ 96.72 เมื่อนำมาใช้เทคนิค Bagging มาเพิ่มประสิทธิภาพให้แก่เทคนิคพื้นฐานพบว่า เทคนิค Bagging สามารถเพิ่มค่าความไวให้กับ เทคนิค PART MLP และ SVM โดยเพิ่มค่าจำเพาะให้กับเทคนิค NB PART และ MLP และสามารถ เพิ่มค่าความถูกต้องให้กับแบบจำลอง NB PART MLP และ SVM นอกจากนั้นเทคนิค Bagging ยังสามารถเพิ่มความเสี่ยงให้แก่แบบจำลองโดยให้ค่าความถูกต้องในการพยากรณ์การรอดชีวิตของ ผู้ป่วยมะเร็งเต้านมด้วยเทคนิค PART และเทคนิค MLP เพิ่มขึ้นอีกด้วย

ผลการวิเคราะห์ข้างต้นแสดงให้เห็นว่าเทคนิค PART ร่วมกับ Bagging มีความเหมาะสม ในการนำไปใช้ในการสร้างแบบจำลองเนื่องจากมีประสิทธิภาพสูงที่สุดโดยมีค่าความไว ค่าจำเพาะ และ ค่าความถูกต้องสูงถึงร้อยละ 99.39 ร้อยละ 96.85 และร้อยละ 98.89 ตามลำดับ และจากกฎที่สร้าง จากเทคนิค PART สามารถที่นำนำไปพัฒนาเป็นระบบเฝ้าระวังโรคให้แก่ผู้ป่วย และแพทย์ได้นำการพยากรณ์ ในการคัดกรองโรคเบื้องต้น

กิตติกรรมประกาศ

คณะผู้วิจัยขอขอบคุณเว็บไซต์ SEER ที่ให้ข้อมูลมาใช้ในการวิเคราะห์แบบจำลอง เพื่อการพยากรณ์ การรอดชีวิตของผู้ป่วยมะเร็งเต้านม และขอขอบคุณคณะวิทยาการสารสนเทศ มหาวิทยาลัยมหาสารคาม ที่ให้ทุนในการศึกษางานวิจัยในครั้งนี้

References

- [1] Siegel, R., Miller, K., and Jemal, A. (2018). Cancer Statistics, 2018. **CA: A Cancer Journal Clinic.** Vol. 68, Issue 1, pp. 7-30. DOI: 10.3322/caac.21442
- [2] Cancer Research UK. **Stages of Cancer.** Access (12 April 2020). Available (<http://www.cancerresearchuk.org/about-cancer/what-is-cancer/stages-of-cancer#types>)
- [3] HD Editorial Department. **Breast Cancer, Stage 3, Treatment and Survival Rate.** Access (13 January 2020). Available (<https://www.honestdocs.co/stage-3-breast-cancer>)
- [4] Delen, D. and Patil, N. (2006). Knowledge Extraction from Prostate Cancer Data. In **Proceeding of the 39th Annual Hawaii International Conference on System Sciences.** pp. 92b-92b. USA: IEEE Publisher
- [5] Umezu, T., Shibata, K., Kajiyama, H., Yamamoto, E., Mizuno, M., and Kikkawa, F. (2012). Prognostic Factors in Stage IA-IIA Cervical Cancer Patients Treated Surgically: Does the Waiting Time to the Operation Affect Survival?. **Archives of Gynecology and Obstetrics.** Vol. 285, No. 2, pp. 493-497. DOI: 10.1007/s00404-011-1966-y
- [6] Poum, A., Kamsa-ard, S., and Promthet, S. (2012). Survival Rates of Breast Cancer: a Hospital-Based Study from Northeast of Thailand. **Asian Pacific Journal of Cancer Prevention.** Vol. 13, Issue 3, pp. 791-794. DOI: 10.7314/APJCP.2012.13.3.791
- [7] Zhang, Y.-C. and Sakhanenko, L. (2019). The Naive Bayes Classifier for Functional Data. **Statistics & Probability Letters.** Vol. 152, pp. 137-146. DOI: 10.1016/j.spl.2019.04.017
- [8] Liu, B., Blasch, E., Chen, Y., Shen, D., and Chen, G. (2013). Scalable Sentiment Classification for Big Data Analysis using Naïve Bayes Classifier. In **Proceeding of the International Conference on Big Data.** pp. 99-104. USA: IEEE Publisher
- [9] Khunsuk, T. and Thongkam, J. (2020). Feature Selection Method for Improving Customer Reviews Classification. **RMUTI JOURNAL Science and Technology.** Vol. 13, No. 1, pp. 132-145
- [10] Mazid, M. M., Ali, A. B. M. S., and Tickle, K. S. (2009). A Comparison Between Rule Based and Association Rule Mining Algorithms. In **Proceeding of the Third International Conference on Network and System Security.** pp. 452-455. Australia: IEEE Publisher
- [11] Frank, E. and Witten, I. H. (1998). Generating Accurate Rule Sets Without Global Optimization. In **Proceeding of the 15th International Conference on Machine Learning.** pp. 144-151. USA: DBLP Publisher
- [12] Mendes Souza, G. C. and Moreno, R. L. (2018). Netlab MLP - Performance Evaluation for Pattern Recognition in Myoletric Signal. **Procedia Computer Science.** Vol. 130, pp. 932-938. DOI: 10.1016/j.procs.2018.04.092
- [13] Sun, N., Sun, B., Lin, J., and Wu, M. Y. -C. (2018). Lossless Pruned Naive Bayes for Big Data Classifications. **Big Data Research.** Vol. 14, pp. 27-36. DOI: DOI: 10.1016/j.bdr.2018.05.007

- [14] Tapak, L., Shirmohammadi-Khorram, N., Amini, P., Alafchi, B., Hamidi, O., and Poorolajal, J. (2019). Prediction of Survival and Metastasis in Breast Cancer Patients using Machine Learning Classifiers. **Clinical Epidemiology and Global Health**. Vol. 7, Issue 3, pp. 293-299. DOI: 10.1016/j.cegh.2018.10.003
- [15] Traganitis, P. A., Pagès-Zamora, A., and Giannakis, G. B. (2017). Learning from Unequally Reliable Blind Ensembles of Classifiers. In **2017 IEEE Global Conference on Signal and Information Processing (GlobalSIP)**. Montreal, QC, Canada. pp. 106-110. DOI: 10.1109/GlobalSIP.2017.8308613
- [16] Zhang, D., Jiao, L., Bai, X., Wang, S., and Hou, B. (2018). A Robust Semi-Supervised SVM via Ensemble Learning. **Applied Soft Computing**. Vol. 65, No. C, pp. 632-643. DOI: 10.1016/j.asoc.2018.01.038
- [17] Han, J. W. and Kamber, M. (2006). **Data Mining Concepts and Techniques**. New York: Morgan Kaufmann
- [18] John, G. H. and Langley, P. (1995). Estimating Continuous Distributions in Bayesian Classifiers. In **Proceeding of the 7th Conference on Uncertainty in Artificial Intelligence**. San Mateo: ACM Publisher. pp. 338-345
- [19] Zhan, Q., Motlicek, P., Du, S., Shan, Y., Ma, S., and Xie, X. (2019). Cross-lingual Automatic Speech Recognition Exploiting Articulatory Features. In **Proceedings of APSIPA Annual Summit and Conference 2019**. pp. 1912-1916
- [20] Chang, C.-C. and Lin, C.-J. (2001). **LIBSVM - A Library for Support Vector Machines**. Access (20 August 2019) Available (<http://www.csie.ntu.edu.tw/~cjlin/libsvm/>)
- [21] Breiman, L. (1996). Bagging Predictors. **Machine Learning**. Vol. 24, pp. 123-140

การเปรียบเทียบวิธีการประมาณค่าฝุ่นละอองขนาดเล็กด้วยดาวเทียมhimawari 8 ในภาคเหนือของประเทศไทย

A Comparison of Methods for Estimating Fine Particulate Matter Concentrations from Himawari-8 Satellite Over Northern Thailand

กนกวรรณ ภูธรรม^{1*} ปริชาติ เวชยันต์¹ และนิธิวัฒน์ ชูสกุล²

Kanokwan Putham^{1*} Parichat Wetchayont¹ and Nithiwatthn Choosakul²

Received: August 6, 2020; Revised: October 14, 2020; Accepted: November 2, 2020

บทคัดย่อ

ฝุ่นละอองขนาดเล็กไม่เกิน 2.5 ไมโครเมตร (PM2.5) สามารถตรวจจับด้วยเครื่องมือที่ติดตั้งในสถานีวัดภาคพื้นดิน แต่เนื่องจากสถานีวัดภาคพื้นดินมีจำนวนไม่มากพอที่จะให้ข้อมูลครอบคลุมในทุกพื้นที่ได้ ปัจจุบันจึงมีการประยุกต์เทคโนโลยีการรับรู้ระยะไกลใช้ในการตรวจจับ PM2.5 ดังนั้น ในการศึกษาจึงเปรียบเทียบวิธีการประมาณค่า PM2.5 ด้วยการวิเคราะห์การถดถอยพหุคุณ (Multiple Linear Regression: MLR) และวิธีการวิเคราะห์ห้องค์ประกอบหลักร่วมกับโครงข่ายประสาทเทียม (Principal Component Analysis - General Regression Neural Network: PCA-GRNN) เพื่อหาวิธีที่เหมาะสมในการประเมินค่า PM2.5 โดยใช้ข้อมูลความลึกเชิงแสงของฝุ่นละอองในอากาศ (Aerosol Optical Depth: AOD) จากดาวเทียมhimawari 8 และข้อมูลภายภาค ได้แก่ แบบจำลองระดับความสูงเชิงเลข ดัชนีพืชพรรณ และข้อมูลอุตุนิยมวิทยาในเดือนมกราคม – ธันวาคม ปี พ.ศ. 2561 และทำการสอบเทียบความถูกต้องด้วยข้อมูล PM2.5 จากสถานีวัดภาคพื้น การศึกษาพบว่า วิธี PCA-GRNN มีค่า RMSE เท่ากับ 17.76 และ R^2 เท่ากับ 0.566 และวิธี MLR มีค่า RMSE เท่ากับ 33.90 และ R^2 เท่ากับ 0.012 ดังนั้น วิธี PCA-GRNN สามารถประเมินค่า PM2.5 ได้ใกล้เคียงกับค่าที่ตรวจจากสถานีวัดภาคพื้นมากกว่าวิธี MLR จึงเหมาะสมนำมาใช้ในการประมาณค่า PM2.5 ในพื้นที่ภาคเหนือได้อย่างมีประสิทธิภาพ

คำสำคัญ : PM2.5; การสำรวจระยะไกล; ดาวเทียมhimawari 8; PCA-GRNN; การวิเคราะห์การถดถอยพหุคุณ

¹ คณะสังคมศาสตร์ มหาวิทยาลัยครินทร์วิโรฒ กรุงเทพมหานคร

² คณะวิทยาศาสตร์และเทคโนโลยี มหาวิทยาลัยเทคโนโลยีราชมงคลธัญบุรี ปทุมธานี

¹ Faculty of Social Sciences, Srinakharinwirot University, Bangkok

² Faculty of Science and Technology, Rajamangala University of Technology Thanyaburi, Pathum Thani

* Corresponding Author E - mail Address: kanokwan.putham@g.swu.ac.th

Abstract

Particulate Matter 2.5 micrometres and smaller (PM2.5) could be measured by an instrument at ground-based observatory. But the ground-based observatory cannot provide the data covering wide area. Currently, remote sensing is used to be an application to estimate PM2.5. To address capability of PM2.5 estimation method, the study carried out comparing two methods for estimating PM2.5 concentrations between Multiple Linear Regression (MLR) and Principal Component Analysis - General Regression Neural Network: PCA-GRNN. By using Aerosol Optical Depth (AOD) from Himawari-8 satellite and physical data such as the Digital Elevation Model (DEM), Normalized Difference Vegetation Index (NDVI) and meteorological data during January to December 2018. The estimation results from those two methods were evaluated by PM2.5 concentration from ground-bases measuring. The evaluated results show that the PCA-GRNN obtained the root mean square error (RMSE) of 17.76 and R^2 of 0.566, while the MLR obtained RMSE of 33.90 and R^2 of 0.012. Therefore, it is indicated that PCA-GRNN is an appropriate method to estimate PM2.5 concentration over Northern Thailand more than the MLR.

Keywords: PM2.5; Remote Sensing; Himawari-8 Satellite; PCA-GRNN; Multi Linear Regression

บทนำ

มลพิษทางอากาศ เป็นปัญหาลึกล้อมสำคัญที่ลั่งผลกระทบโดยตรงต่อสุขภาพของชาวไทยมาอย่างต่อเนื่อง ก่อให้เกิดการเสียชีวิตก่อนวัยอันควรประมาณ 50,000 คนต่อปี [1] จากสถิติการร้องเรียนด้านมลพิษ ในหลายปีที่ผ่านมาพบว่า มลพิษทางอากาศได้รับการร้องเรียนมากที่สุด โดยเฉพาะฝุ่นละอองในอากาศ [2] สารมลพิษหลักที่เป็นภัยคุกคามร้ายแรงที่สุดต่อสุขภาพ คือ ฝุ่นละอองขนาดเล็กไม่เกิน 2.5 ไมโครเมตร (Particulate Matter 2.5 micrometres and smaller: PM2.5) ซึ่งเป็นฝุ่นละอองที่สามารถผ่านขนจมูกเข้าสู่ร่างกายได้ง่าย ทำให้เกิดความเสี่ยงที่จะลั่งผลกระทบต่อสุขภาพมากกว่าฝุ่นละอองที่มีขนาดใหญ่จากการตรวจดู PM2.5 ปี พ.ศ. 2559 ในพื้นที่ 12 จังหวัดในประเทศไทยพบว่า หลายจังหวัดในภาคเหนือ มีค่า PM2.5 สูงเกินมาตรฐาน และจากการจัดอันดับดัชนีคุณภาพอากาศ หรือ Air Quality Index (AQI) เมื่อวันที่ 1 เมษายน พ.ศ. 2562 จะพบว่าจังหวัดเชียงใหม่มีอุณหภูมิค่า AQI สูงถึง 232 ซึ่งเป็นอันตรายต่อสุขภาพมาก [3] โดยสาเหตุหลักของการเกิด PM2.5 มาจากไฟฟ้าและการเผาพื้นที่การเกษตร ทำให้พื้นที่ภาคเหนือเป็นพื้นที่วิกฤตด้านปัญหาฝุ่นละออง

ปัจจัยที่มีผลต่อการแพร่กระจายของ PM2.5 ในอากาศ ได้แก่ ปริมาณและชนิดของสารมลพิษที่ถูกกระบวนการออกอากาศแล่งกวนิด สภาพทางอุตุนิยมวิทยา (Meteorology) และสภาพภูมิประเทศ (Topography) จะเป็นตัวกำหนดความเข้มข้นของสารมลพิษที่เจือปนอยู่ในอากาศสำหรับพื้นที่ที่อยู่ใกล้ออกไปจากแหล่งกำเนิด [4] จากการศึกษาจัยที่ผ่านมา Guo, J., Xia, F., Zhang, Y., Liu, H., Li, J., Kanokwan Putham, Parichat Wetchayont, and Nithiwatthn Choosakul
ISSN 2672-9369 (Online)

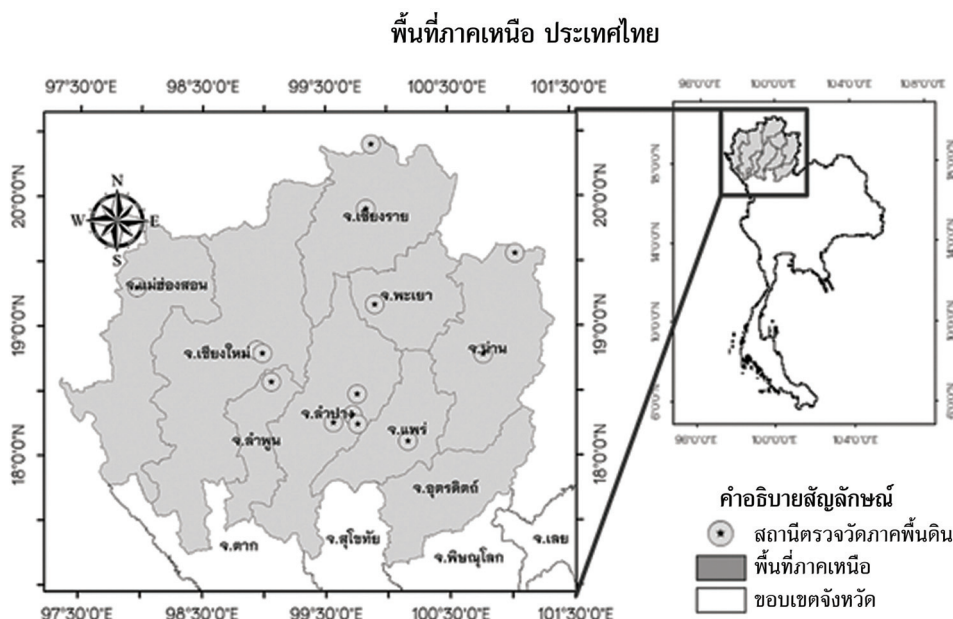
Lou, M., He, J., Yan, Y., Wang, F., Min, M., and Zhai, P. [5] มีการศึกษาผลกระทบจากความแปรปรวนของปัจจัยด้านอุตุนิยมวิทยาต่อความล้มพันธ์ระหว่าง PM2.5 กับ AOD ในประเทศไทย ผลการศึกษาพบว่า PM2.5 มีค่าสูงสุดในช่วงเช้าและลดลงในช่วงบ่าย เนื่องจากการเพิ่มขึ้นของพลังงานแสงอาทิตย์ทำให้ PM2.5 มีการแพร่กระจายอย่างรวดเร็ว ความล้มพันธ์ระหว่าง PM2.5 และ AOD จะแตกต่างกันขึ้นอยู่กับพื้นที่และฤดูกาล อีกทั้งพบว่าเมฆและความชื้นล้มพัทธ์มีผลทำให้ความล้มพันธ์ระหว่าง PM2.5 และ AOD มีค่าลดลง และ Zhang, W., Xu, H., and Zheng, F. [6] การประมาณค่าฝุ่นละอองขนาดเล็กกว่า 1 ไมโครเมตร (Particulate Matter 1 micrometres and smaller: PM1) ซึ่งขนาดอนุภาคเล็กกว่า PM2.5 ในประเทศไทย โดยใช้ข้อมูลดาวเทียมและปัจจัยทางอุตุนิยมวิทยา ได้แก่ ความชื้นล้มพัทธ์ (Surface Relative Humidity: RH) อุณหภูมิอากาศ (Air Temperature: TEMP) ความเร็วลม (Wind Speed: WS) ความกดอากาศ (Surface Pressure: SP) และความสูงของชั้นบรรยายอากาศ (Boundary Layer Height: BLH) ผลการศึกษาพบว่าข้อมูล AOD และปัจจัยทางอุตุนิยมวิทยามีความล้มพันธ์กับ PM1 ดังนั้นจะเห็นว่า ปัจจัยด้านอุตุนิยมวิทยาและลักษณะภูมิประเทศ เป็นปัจจัยที่สำคัญในการอธิบายการแพร่กระจายของ PM2.5 ในอากาศ และนำมาใช้ในการศึกษารั้งนี้

การตรวจวัดคุณภาพอากาศและ PM2.5 ในพื้นที่ภาคเหนือ มีการตรวจวัดเป็นรายสถานีวัด ที่มีความถูกต้องและความละเอียดเชิงเวลารายชั่วโมง แต่เนื่องจากการตรวจวัดเป็นแบบจุดทำให้ความละเอียด เชิงพื้นที่ยังไม่เพียงพอต่อการติดตามและเฝ้าระวัง PM2.5 ได้ ปัจจุบันมีการประยุกต์ใช้เทคโนโลยีการรับรู้ระยะไกลในการตรวจวัด PM2.5 มากขึ้น เพราะสามารถให้ข้อมูลที่มีความละเอียดทั้งเชิงพื้นที่และเชิงเวลา เช่น ข้อมูลความลึกเชิงแสงของฝุ่นละอองในอากาศ (Aerosol Optical Depth: AOD) เป็นต้น แต่ข้อเสีย ของการตรวจวัดระยะไกล คือ ข้อมูลที่ได้มีความคลาดเคลื่อน ดังนั้น การศึกษานี้จึงทำการเปรียบเทียบ การประมาณค่า PM2.5 ด้วย 2 วิธี คือ วิธีการวิเคราะห์การถดถอยพหุคุณ (Multiple Linear Regression: MLR) และการวิเคราะห์องค์ประกอบหลักร่วมกับโครงข่ายประสาทเทียม (Principal Component Analysis - General Regression Neural Network: PCA-GRNN) โดยใช้ข้อมูล AOD จากดาวเทียม อิมาราวิ 8 และลักษณะทางกายภาพของพื้นที่ภาคเหนือ เพื่อหาวิธีการให้ผลลัพธ์ที่มีความถูกต้อง และ ใกล้เคียงกับค่า PM2.5 ที่ตรวจวัดจากสถานีวัดภาคพื้นดิน สามารถนำไปใช้ประโยชน์ในการติดตาม PM2.5 ได้อย่างมีประสิทธิภาพต่อไป

วิธีการดำเนินการวิจัย

1. พื้นที่ศึกษา

การศึกษาในครั้งนี้ได้เลือกศึกษาในพื้นที่ภาคเหนือ ประเทศไทย โดยมี 9 จังหวัด ได้แก่ เชียงราย เชียงใหม่ น่าน พะเยา แพร่ แม่ฮ่องสอน ลำปาง ลำพูน และอุตรดิตถ์ (รูปที่ 1) ซึ่งภาคเหนือ มีลักษณะภูมิประเทศเป็นทิวเขียวจากเนื้อล嫚มาได้ มีลักษณะภูมิอากาศอยู่ในเขตหนาว โดยมีปริมาณ น้ำฝนเฉลี่ย 1,200 มิลลิเมตรต่อปี และอุณหภูมิเฉลี่ยประมาณ 25 องศาเซลเซียส



รูปที่ 1 พื้นที่ศึกษาและที่ตั้งสถานีตรวจวัดค่าความเข้มข้น PM2.5 ในภาคเหนือของประเทศไทย

2. ข้อมูลที่ใช้ในการศึกษา

การศึกษานี้ใช้ข้อมูลในเดือนมกราคม - ฉันวาคม ปี พ.ศ. 2561 (ตารางที่ 1) ตั้งนี้

2.1 ข้อมูลดาวเทียม

ข้อมูลดาวเทียมที่ใช้ในการศึกษาระบบนี้ มี 3 ข้อมูล ดังนี้

1) ข้อมูล AOD จากดาวเทียมอิมิวาริ 8

ข้อมูล AOD เป็นผลิตภัณฑ์ระดับที่ 3 มีความละเอียดเชิงพื้นที่ 5×5 กิโลเมตร และความละเอียดเชิงเวลารายชั่วโมง พัฒนาขึ้นโดยกรมอุตุนิยมวิทยาของประเทศญี่ปุ่น (Japan Meteorological Agency: JMA) ถูกปล่อยขึ้นสู่空 โครงการเมื่อปี พ.ศ. 2557 (จากเว็บไซต์ <http://www.eorc.jaxa.jp/ptree/index.html>) ซึ่งมีการตอบสนองทางสเปกตรัมในช่วงคลื่น 0.455 0.645 1.61 และ 2.26 ไมโครเมตร เป็นช่วงคลื่นที่ใช้ในการคำนวณค่า AOD

2) ดัชนีพืชพرون (Normalized Difference Vegetation Index: NDVI) ข้อมูลมีความละเอียดเชิงพื้นที่ 500×500 เมตร และความละเอียดเชิงเวลารายวัน เป็นค่าที่บ่งบอกถึงความอุดมสมบูรณ์ของพืช โดยคำนวณจากข้อมูลการสะท้อนพื้นผิว (Surface Reflectance) หรือ MOD09GA ซึ่งเป็นข้อมูลผลิตภัณฑ์ระดับที่ 2 ของเซ็นเซอร์ MODIS ดาวเทียม Terra จาก National Aeronautics and Space Administration (NASA) (จากเว็บไซต์ <https://modis.gsfc.nasa.gov/>) ดังสมการที่ (1)

$$\text{NDVI} = \frac{\text{NIR} - \text{RED}}{\text{NIR} + \text{RED}} \quad (1)$$

เมื่อ

- NIR คือ ข้อมูลการสะท้อนพื้นผิวในช่วงคลื่นอินฟราเรดใกล้
 RED คือ ข้อมูลการสะท้อนพื้นผิวในช่วงคลื่นสีแดง

3) แบบจำลองระดับความสูงเชิงเส้น (Digital Elevation Model: DEM) ที่ความละเอียด เชิงพื้นที่ 30×30 เมตร เป็นข้อมูลที่บ่งบอกถึงความสูงต่างของแต่ละพื้นที่ ซึ่งได้ข้อมูลจากเซ็นเซอร์ ASTER ดาวเทียม Terra จาก NASA (จากเว็บไซต์ <https://lpdaac.usgs.gov/>)

2.2 ข้อมูลอุตุนิยมวิทยา

ข้อมูลอุตุนิยมวิทยาที่ใช้ในการศึกษานี้ ได้แก่ อุณหภูมิอากาศ ความชื้นสัมพัทธ์ ความเร็วลม และความกดอากาศ จาก European Centre for Medium - Range Weather Forecasts (ECMWF) โดยข้อมูลความละเอียดเชิงพื้นที่ 0.125×0.125 องศา และความละเอียดเชิงเวลาเป็นราย 6 ชั่วโมง (จากเว็บไซต์ <https://apps.ecmwf.int/datasets/ERA-Interim>) ผลของข้อมูลที่ได้มาจากการนำข้อมูลจากการสำรวจทางอุตุนิยมวิทยาทั้งในอดีตและปัจจุบัน ผนวกเข้ากับโมเดลพยากรณ์ โดยใช้เทคนิคกลอมกัลลีนข้อมูล (Data Assimilation) ซึ่งในปัจจุบันได้รับการยอมรับและใช้งานอย่างแพร่หลาย โดยเฉพาะการศึกษาปรากฏการณ์ทางอากาศและการเปลี่ยนแปลงสภาพภูมิอากาศ

2.3 ข้อมูล PM2.5

ข้อมูล PM2.5 จากเครื่องตรวจสถานีวัดภาคพื้นดินของกรมควบคุมมลพิษ ซึ่งในพื้นที่ภาคเหนือ มีจำนวนทั้งหมด 14 สถานี ได้แก่ โรงเรียนยุพารักษ์วิทยาลัยจังหวัดเชียงใหม่ ศูนย์ราชการ จังหวัดเชียงใหม่ การประปาส่วนภูมิภาคแม่เมภาฯ จังหวัดลำปาง สถานีอุตุนิยมวิทยาจังหวัดลำปาง โรงพยาบาลล่งสิ่งสุขภาพตำบลท่าลี่จังหวัดลำปาง โรงพยาบาลเฉลิมพระเกียรติจังหวัดน่าน สำนักงานเทศบาลเมืองน่าน สถานีอุตุนิยมวิทยาจังหวัดแพร่ สถานีอุตุนิยมวิทยาจังหวัดแพร่ สำนักงานทรัพยากรธรรมชาติและสิ่งแวดล้อมจังหวัดเชียงราย สำนักงานสาธารณสุขแม่สายจังหวัดเชียงราย สำนักงานทรัพยากรธรรมชาติและสิ่งแวดล้อมจังหวัดเชียงราย สำนักงานสาธารณสุขแม่สายจังหวัดเชียงราย สำนักงานทรัพยากรธรรมชาติและสิ่งแวดล้อมจังหวัดแม่ฮ่องสอน สถานีอุตุนิยมวิทยาจังหวัดลำพูน และอุทยานการเรียนรู้ องค์การบริหารส่วนจังหวัดพะเยา โดยมีการติดตามและตรวจสอบความถูกต้องของระบบและข้อมูลอย่างสม่ำเสมอ เพื่อจัดทำเป็นรายงานด้านคุณภาพอากาศของประเทศไทย พร้อมทั้งมีการเผยแพร่ข้อมูลสถานการณ์และคุณภาพอากาศรายชั่วโมงและรายวัน

ตารางที่ 1 ข้อมูลที่ใช้ในการศึกษา

ชุดข้อมูล	ตัวแปร	แหล่งข้อมูล	หน่วย	ความละเอียด เชิงเวลา	ความละเอียด เชิงพื้นที่
ข้อมูลดาวเทียม	AOD	Himawari-8	ไม่มีหน่วย	รายชั่วโมง	5×5 กิโลเมตร
	NDVI	MODIS	ไม่มีหน่วย	รายวัน	500×500 เมตร
	DEM	ASTER	เมตร	-	30×30 เมตร

ตารางที่ 1 ข้อมูลที่ใช้ในการศึกษา (ต่อ)

ชุดข้อมูล	ตัวแปร	แหล่งข้อมูล	หน่วย	ความละเอียด เชิงเวลา	ความละเอียด เชิงพื้นที่
ข้อมูลอุตุนิยมวิทยา	อุณหภูมิอากาศ	ECMWF	องศาเซลเซียส	ราย 6 ชั่วโมง	0.125 x 0.125°
	ความชื้นลับพัทธ์	ECMWF	เปอร์เซ็นต์	ราย 6 ชั่วโมง	0.125 x 0.125°
	ความเร็วลม	ECMWF	เมตรต่อวินาที	ราย 6 ชั่วโมง	0.125 x 0.125°
	ความกดอากาศ	ECMWF	ปascal	ราย 6 ชั่วโมง	0.125 x 0.125°
ข้อมูล PM2.5	ผู้ผลิต	กรมควบคุม	ไมโครกรัมต่อ	รายชั่วโมง	-
	ขนาดเล็กกว่า	มลพิษ	ลูกบาศก์เมตร		
	2.5 ไมโครเมตร		(มคก./ลบ.ม.)		
			(PM2.5)		

3. การจับคู่ข้อมูลด้วยวิธี Spatio-Temporal Collocation Method

จากการที่ 1 เนื่องจากข้อมูลแต่ละชุดมีความละเอียดเชิงพื้นที่และเชิงเวลาที่แตกต่างกัน ดังนั้นจึงจำเป็นต้องจับคู่ข้อมูลทั้งหมดเพื่อเตรียมข้อมูลสำหรับขั้นตอนการวิเคราะห์ต่อไป ด้วยวิธี Spatio-Temporal Collocation Method [7] โดยทำการจับคู่ข้อมูลทุกชุด ณ ตำแหน่งสถานีวัดภาคพื้นดิน ที่และเวลาเดียวกันเป็นรายชั่วโมง

4. การประมาณค่า PM2.5

การศึกษานี้ทำการประมาณค่า PM2.5 ด้วย 2 วิธี ดังนี้

4.1 การวิเคราะห์การถดถอยพหุคุณ (Multiple Linear Regression: MLR)

เป็นการวิเคราะห์ถดถอยเพื่อหาความสัมพันธ์แบบเส้นตรงระหว่างตัวแปรตามกับตัวแปรต้น ดังสมการที่ (2) [8]

$$Y = b_0 + b_1 x_1 + b_2 x_2 + \dots + e \quad (2)$$

เมื่อ

- Y คือ ตัวแปรตาม
- b_0 คือ ค่าคงที่ หรือจุดตัดแกน Y
- b_i คือ ค่าสัมประสิทธิ์การถดถอยของตัวแปรต้น x_i
- x_i คือ ค่าตัวแปรต้นแต่ละตัว
- e คือ ค่าความคลาดเคลื่อน

4.2 การวิเคราะห์องค์ประกอบหลักร่วมกับโครงข่ายประสาทเทียม (Principal Component Analysis - General Regression Neural Network: PCA-GRNN)

การวิเคราะห์องค์ประกอบหลักร่วมกับโครงข่ายประสาทเทียมแบ่งเป็น 2 ขั้นตอน ดังนี้

1) การวิเคราะห์องค์ประกอบหลัก (Principal Component Analysis: PCA)

การวิเคราะห์องค์ประกอบหลัก โดยใช้เทคนิคทางคณิตศาสตร์ที่เรียกว่าเทคนิคชี้ส่วนของข้อมูลน้ำหนัก การวิเคราะห์องค์ประกอบหลักนี้ ให้ได้รูปแบบของข้อมูล อีกทั้งยังช่วยลดความซับซ้อน และมิติของข้อมูล ผลการวิเคราะห์ทำให้ได้มิติของข้อมูลที่มีความลับพันธ์กันสูง ซึ่งในการศึกษาแล้วได้ใช้องค์ประกอบหลักของข้อมูลที่มีค่าความแปรปรวนมากกว่า 0.9 [9] โดยปัจจุบัน PCA มีการนำมาประยุกต์ใช้ร่วมกับ GRNN เพื่อลดจำนวนมิติของข้อมูลนำเข้า และทำให้ GRNN สามารถวิเคราะห์ผลลัพธ์ได้อย่างรวดเร็วและมีประสิทธิภาพมากขึ้น

2) โครงข่ายประสาทเทียมแบบ General Regression Neural Network (GRNN)

เป็นโครงข่ายประสาทเทียมประเภทหนึ่งที่มีการประมาณค่าตัวแปรแบบต่อเนื่องทั้งแบบเส้นตรง (Linear) และไม่ใช่เส้นตรง (Nonlinear) และใช้ฟังก์ชันความน่าจะเป็นที่มีการกระจายตัวแบบปกติ (Normal Distribution) ดังสมการที่ (3) [10]

$$Y(X) = \frac{\sum_{i=1}^n Y_i e^{\left(\frac{-D_i^2}{2\sigma^2}\right)}}{\sum_{i=1}^n e^{\left(\frac{-D_i^2}{2\sigma^2}\right)}} \quad (3)$$

เมื่อ

$Y(X)$ คือ ผลลัพธ์ที่ได้

Y_i คือ ผลลัพธ์ของตัวอย่าง i

$-D_i^2$ คือ ระยะห่างระหว่าง Training Data กับข้อมูลนำเข้าของตัวอย่าง i
สามารถคำนวณได้ จากสมการที่ (4)

$$-D_i^2 = (x - x_i)^T (x - x_i) \quad (4)$$

σ คือ ค่าเบี่ยงเบนมาตรฐานเป็นตัวแปรอิสระที่ต้องกำหนด โดยค่าเบี่ยงเบนมาตรฐานที่เหมาะสมสามารถตรวจสอบได้จากผลลัพธ์ที่มีความถูกต้องมากที่สุด

n คือ จำนวนตัวอย่างทั้งหมด

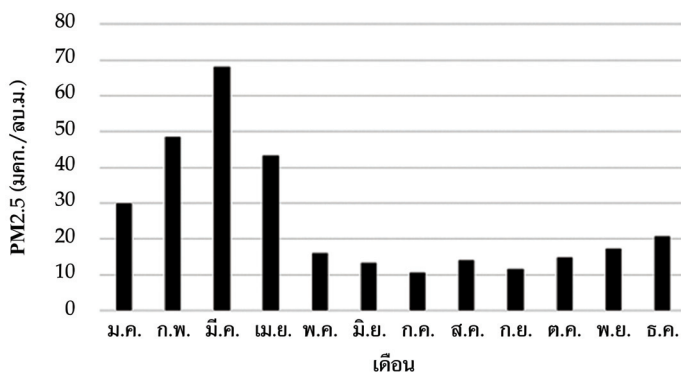
5. การประเมินผลทางสถิติ

การประเมินผลการประมาณค่า PM2.5 จะใช้ 2 วิธี คือ 1) สัมประสิทธิ์การกำหนด (The Coefficient of Determination: R²) บ่งบอกความลับพันธ์ของผลลัพธ์การประมาณค่า PM2.5 กับ PM2.5 จากสถานีวัดภาคพื้นดิน และ 2) รากที่สองของค่าความคลาดเคลื่อนกำลังสองเฉลี่ย (Root Mean Squared Error: RMSE) ใช้ประเมินความแม่นยำของผลลัพธ์จากการคำนวณผลลัพธ์

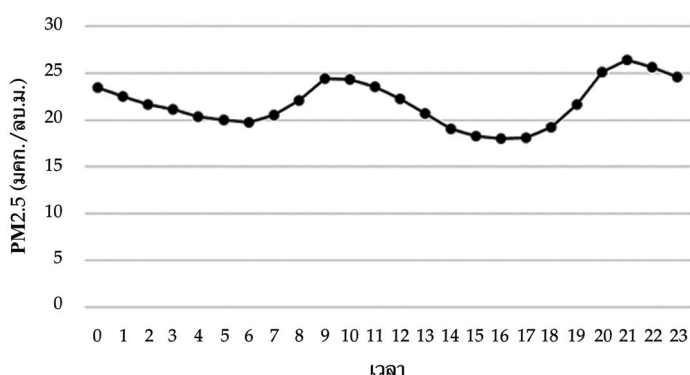
ผลการวิจัย

1. ความผันแปรของค่า PM2.5 ในเชิงเวลา

จากการวิเคราะห์ความผันแปรของค่า PM2.5 จากสถานีวัดภาคพื้นดิน บริเวณภาคเหนือ โดยใช้ข้อมูลในช่วงเดือนมกราคม - ธันวาคม ปี พ.ศ. 2561 พบว่า ค่าเฉลี่ย PM2.5 รายเดือนสูงสุด ในเดือนมีนาคมเท่ากับ 68.111 มคก./ลบ.ม. รองลงมาคือ เดือนกุมภาพันธ์ เมษายน และเดือนมกราคม มีค่าเท่ากับ 48.541 43.156 และ 29.875 มคก./ลบ.ม. ตามลำดับ โดยช่วงเดือนพฤษภาคม - ธันวาคม จะมีค่า PM2.5 น้อยกว่า 20 มคก./ลบ.ม. ดังรูปที่ 2(ก) ส่วนค่าเฉลี่ย PM2.5 รายชั่วโมง จะมีค่าเพิ่มขึ้น ในช่วงเช้า เวลา 07.00 - 10.00 น. และค่อย ๆ ลดลงเมื่อเวลา 11.00 - 16.00 น. และเพิ่มขึ้นในช่วงเย็น เวลา 17.00 น. และมีค่าสูงสุดในเวลา 21.00 น. จากนั้นลดลงในเวลากลางคืนตั้งแต่เวลา 22.00 น. ถึงช่วงเช้า 06.00 น. ดังรูปที่ 2(ข)



(ก) ค่าเฉลี่ย PM2.5 รายเดือน บริเวณพื้นที่ภาคเหนือ



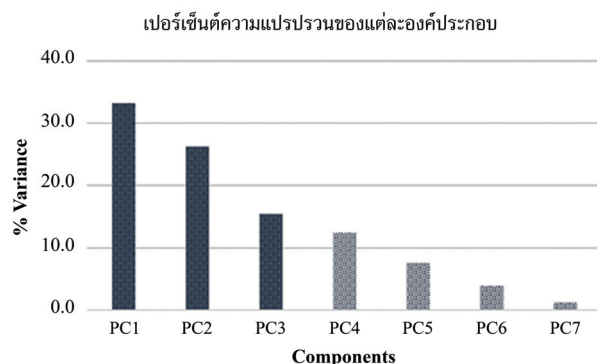
(ข) ค่าเฉลี่ย PM2.5 รายชั่วโมง บริเวณพื้นที่ภาคเหนือ

รูปที่ 2 ค่าเฉลี่ย PM2.5 รายเดือนและรายชั่วโมง จากสถานีวัดภาคพื้นดิน ในปี พ.ศ. 2561 บริเวณภาคเหนือ

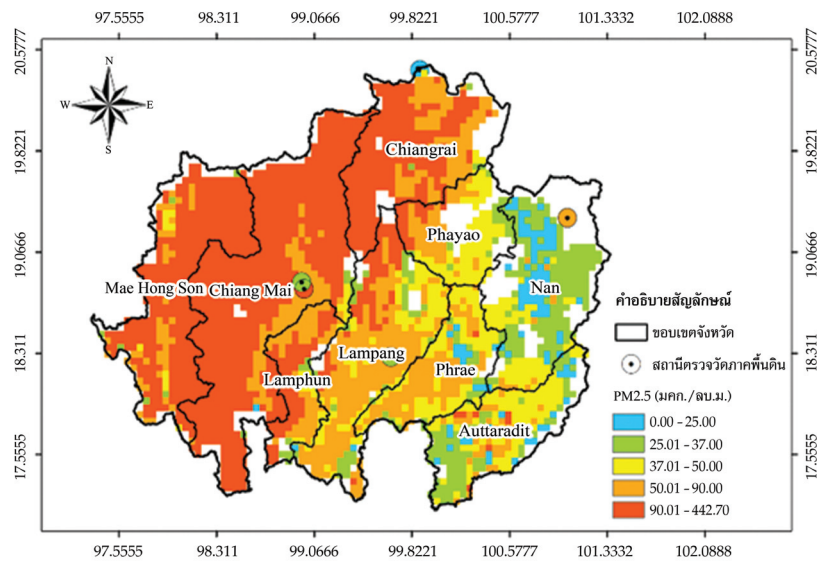
2. ผลการประมาณค่า PM2.5 ในเขิงพื้นที่

จากการประมาณค่า PM2.5 โดยใช้ข้อมูล PM2.5 จากสถานีวัดภาคพื้นดิน และข้อมูลดาวเทียม ได้แก่ ข้อมูล AOD NDVI และ DEM ข้อมูลอุตุนิยมวิทยา ประกอบด้วย อุณหภูมิอากาศ (TEMP) ความชื้นสัมพัทธ์ (RH) ความกดอากาศ (SP) และความเร็วลม (WS) ด้วย 2 วิธี คือ 1) วิธี MLR ซึ่งคำนวณได้จากสมการที่ (5) และ 2) วิธี PCA-GRNN ซึ่งใช้ PCA ในกรณีลดมิติและความชี้ช่องของข้อมูลทั้งหมดที่นำมาใช้ในการศึกษาผ่านการวิเคราะห์องค์ประกอบของแต่ละข้อมูล (Component: PCs) ในรูปแบบสหลักษณะ ทำให้ได้องค์ประกอบทั้งหมด 7 องค์ประกอบ โดยการวิเคราะห์จะพิจารณาองค์ประกอบหลักที่สำคัญที่มีค่าความแปรปรวนมากกว่า 0.9 ผลลัพธ์พบว่ามีจำนวน 3 องค์ประกอบได้แก่ PC1 PC2 และ PC3 ซึ่งองค์ประกอบหลักที่ 1 (PC1) จะสามารถอธิบายข้อมูลได้มากที่สุด รองลงมาคือ องค์ประกอบที่ 2 (PC2) และองค์ประกอบที่ 3 (PC3) คิดเป็นเปอร์เซ็นต์ความแปรปรวนคือ PC1 เท่ากับ 33.23 % PC2 เท่ากับ 26.20 % และ PC3 เท่ากับ 15.44 % (ดังรูปที่ 3) จากการวิเคราะห์ความลัมพันธ์ข้อมูลทั้ง 2 วิธี ทำให้พบว่าค่า PM2.5 และ AOD มีความลัมพันธ์ในเขิงบาง กล่าวคือ ค่า PM2.5 เพิ่มขึ้น จะทำให้ค่า AOD เพิ่มขึ้น ซึ่งการเพิ่มขึ้นดังกล่าวจะมีความลัมพันธ์กับปัจจัยทางกายภาพของพื้นที่ โดยเมื่อ PM2.5 และ AOD มีค่าเพิ่มขึ้น ในพื้นที่มีความสูงลดลง ความหนาแน่นของพืชพรรณน้อยลง มีอุณหภูมิและความเร็วลมลดลง แต่มีความชื้นสัมพัทธ์และความกดอากาศเพิ่มขึ้น โดยผลลัพธ์จากการประมาณค่า PM2.5 ในเขิงพื้นที่ดังตัวอย่างรูปที่ 4 ซึ่งเป็นข้อมูลในวันที่ 8 มีนาคม พ.ศ. 2561 เวลา 13.00 น. จะเห็นได้ว่าผลลัพธ์ที่ได้จากวิธี PCA-GRNN มีความสอดคล้องกับตำแหน่งสถานีวัดภาคพื้นดินที่แสดงงวดคุณภาพอากาศของกรมควบคุมมลพิษมากกว่าวิธี MLR

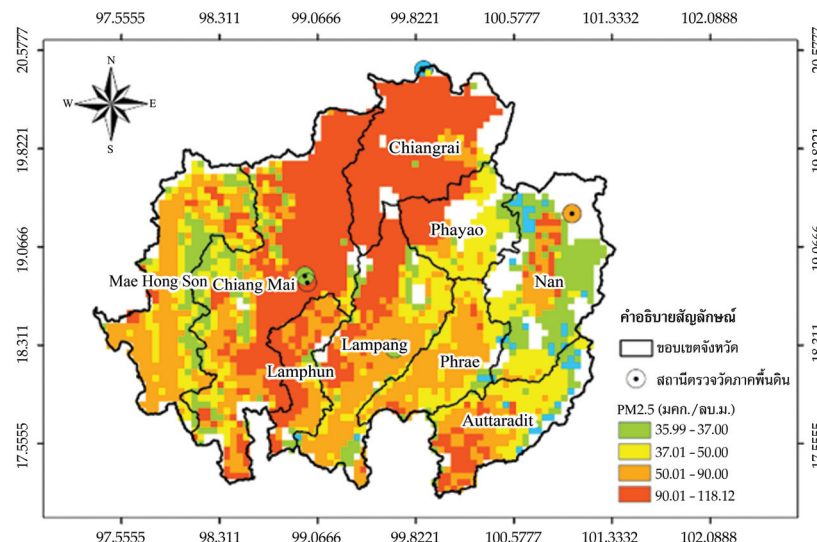
$$\text{PM2.5(MLR)} = -794.33 + 27.58\text{AOD} + 0.23\text{DEM} - 33.58\text{NDVI} - 1.04\text{RH} + 0.01\text{SP} + 1.80\text{TEMP} - 2.24\text{WS} \quad (5)$$



รูปที่ 3 ความแปรปรวนของแต่ละองค์ประกอบ

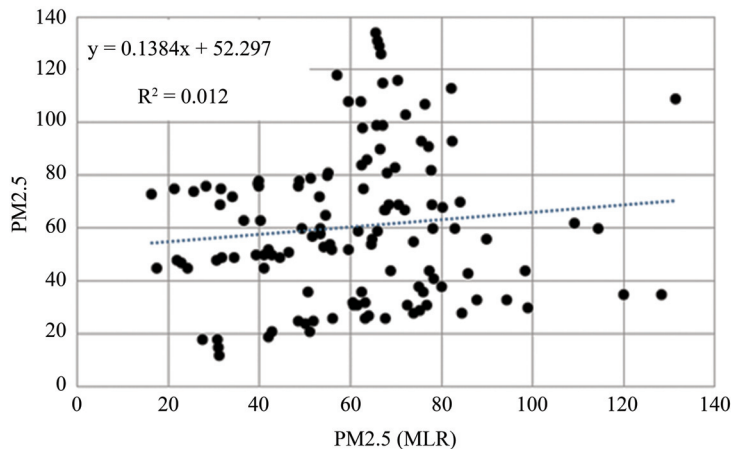


(ก) ผลลัพธ์การประมาณค่า PM2.5 ด้วยวิธี MLR

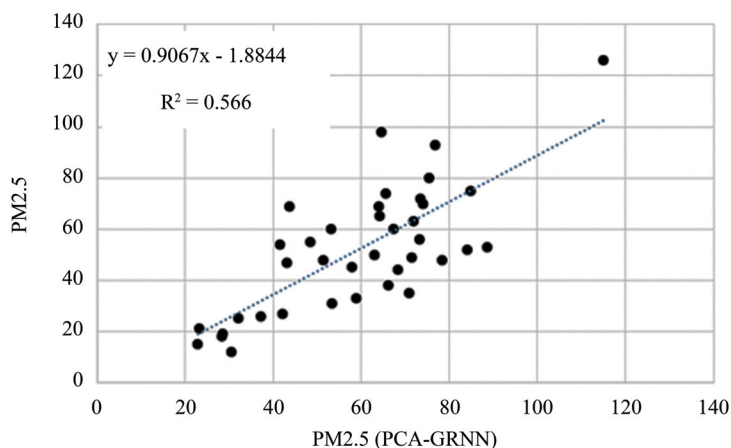


(ข) ผลลัพธ์การประมาณค่า PM2.5 ด้วยวิธี PCA-GRNN

รูปที่ 4 ผลลัพธ์การประมาณค่า PM2.5 แบบ MLR และ PCA-GRNN โดยเปรียบเทียบกับข้อมูล PM2.5 จากสถานีวัดภาคพื้นดิน วันที่ 8 มีนาคม พ.ศ. 2561 เวลา 13.00 น. บริเวณพื้นที่ภาคเหนือ



(ก) ความสัมพันธ์ระหว่างผลลัพธ์การประมาณค่า PM2.5 กับ PM2.5 จากสถานีตรวจวัดภาคพื้นดิน (MLR)



(ข) ความสัมพันธ์ระหว่างผลลัพธ์การประมาณค่า PM2.5 กับ PM2.5 จากสถานีตรวจวัดภาคพื้นดิน (PCA-GRNN)

รูปที่ 5 ความสัมพันธ์ของผลลัพธ์การประมาณค่า PM2.5 แบบ MLR และ PCA-GRNN กับข้อมูล PM2.5 จากสถานีวัดภาคพื้นดิน

ตารางที่ 2 ผลลัพธ์การสอบเทียบความแม่นยำของผลลัพธ์

วิธีการ	จำนวนคู่ที่ใช้สร้างสมการ	จำนวนคู่ที่ทดสอบสมการ	R^2	RMSE (มคก./ลบ.ม.)	ค่าความแตกต่าง (มคก./ลบ.ม.)
MLR	87	37	0.01	33.90	22.22
PCA-GRNN	87	37	0.57	17.76	0.58

3. การสอบเทียบความแม่นยำของผลลัพธ์

ผลลัพธ์การสอบเทียบผลลัพธ์การประมาณค่า PM2.5 ด้วยการจับคู่ข้อมูลผลลัพธ์การประมาณค่า PM2.5 กับค่า PM2.5 จากสถานีวัดภาคพื้นดิน ณ ตำแหน่งและเวลาเดียวกัน จำนวนทั้งหมด 37 คู่ โดยการประเมินความแม่นยำของผลลัพธ์ด้วยค่า RMSE พบว่าวิธี MLR มีค่า RMSE เท่ากับ 33.90 มคก./ลบ.ม. ส่วนวิธี PCA-GRNN มีค่า RMSE เท่ากับ 17.76 มคก./ลบ.ม. และการทดสอบความสัมพันธ์ของผลลัพธ์ การประมาณค่า PM2.5 กับ PM2.5 จากสถานีวัดภาคพื้นดิน ด้วย R^2 พบว่าวิธี MLR มีค่า R^2 เท่ากับ 0.01 และวิธี PCA-GRNN มีค่า R^2 เท่ากับ 0.57 ดังรูปที่ 5 ซึ่งผลการคำนวณความแตกต่างของค่า PM2.5 จากสถานีวัดภาคพื้นดินกับผลลัพธ์จากวิธีทั้งสอง พบว่าผลลัพธ์จากวิธี MLR มีค่าเฉลี่ยความแตกต่างระหว่างผลลัพธ์การประมาณค่า PM2.5 กับ PM2.5 จากสถานีวัดภาคพื้นดินเท่ากับ 22.22 มคก./ลบ.ม. และ PCA-GRNN มีค่าเฉลี่ยความแตกต่างระหว่างผลลัพธ์การประมาณค่า PM2.5 กับ PM2.5 จากสถานีวัดภาคพื้นดินเท่ากับ 0.58 มคก./ลบ.ม. ดังนั้นสามารถสรุปได้ว่าวิธี PCA-GRNN มีความแม่นยำมากกว่าวิธี MLR (ดังตารางที่ 2)

อภิปรายและสรุปผลการศึกษา

ปัจจุบันมีการประยุกต์ใช้เทคโนโลยีการรับรู้จากระยะไกลในการประมาณค่า PM2.5 หลายวิธีโดยการศึกษาวิจัย ส่วนใหญ่จะใช้ข้อมูล AOD จากดาวเทียม และข้อมูลที่ทำให้ทราบถึงลักษณะการเกิดและแพร่กระจายของ PM2.5 ได้แก่ แหล่งกำเนิด PM2.5 และปัจจัยทางกายภาพของพื้นที่ ซึ่งข้อมูลดังกล่าวมีความแตกต่างกันทั้งรูปแบบและช่วงค่าของข้อมูล จึงจำเป็นต้องมีการทดสอบหาวิธีการที่มีเหมาะสมสำหรับการประมาณค่า PM2.5 สำหรับการศึกษานี้มีการใช้ข้อมูล AOD จากดาวเทียมชีมาร์ท 8 และข้อมูลทางกายภาพ ประกอบด้วย DEM NDVI และข้อมูลอุตุนิยมวิทยา และเปรียบเทียบผลลัพธ์จาก 2 วิธี คือ การวิเคราะห์การ�回归多项式 (Multiple Linear Regression: MLR) และวิธีการวิเคราะห์องค์ประกอบหลักร่วมกับโครงข่ายประสาทเทียม (Principal Component Analysis - General Regression Neural Network: PCA-GRNN) ผลการศึกษาทำให้พบว่าวิธี PCA-GRNN เป็นวิธีการที่เหมาะสมในการประมาณค่า PM2.5 ในพื้นที่ภาคเหนือมากกว่าวิธี MLR โดยมีความสอดคล้องกับรูปแบบการเกิด PM2.5 ในเชิงเวลา และมีผลลัพธ์จากการสอบเทียบความแม่นยำด้วยค่า RMSE เท่ากับ 17.76 และผลการวิเคราะห์ความสัมพันธ์ของผลลัพธ์ การประมาณค่า PM2.5 กับข้อมูล PM2.5 จากสถานีวัดภาคพื้นดินด้วยค่า R^2 เท่ากับ 0.57 แต่ทั้งนี้ผลลัพธ์ การประมาณค่า PM2.5 บางส่วนยังมีความคลาดเคลื่อน สำหรับแนวทางการศึกษาต่อไปควรมีการศึกษาข้อมูลเกี่ยวกับแหล่งกำเนิด PM2.5 ด้วยข้อมูลการใช้ประโยชน์ที่ดินและ Hotspot รวมถึงเพิ่มช่วงเวลาของข้อมูลที่ใช้ในการศึกษา เพื่อให้เข้าใจรูปแบบการแพร่กระจายของ PM2.5 มากยิ่งขึ้น

References

- [1] Greenpeace. (2016). **Right to Clean Air**. Access (5 March 2019). Available (<http://www.greenpeace.org/seasia/th/>)
- [2] Pollution Control Department. (2005). **Situation and Management of Air and Noise Pollution Problems in 2004**. He's Company Limited Publishers. (in Thai)

- [3] Air Visual. (2018). **World AQI Ranking**. Access (6 March 2019). Available (<https://www.airvisual.com>)
- [4] Pollution Control Department. (2011). **Know About Air Pollution, Pessons Concepts and Management**. Kochakorn Publishing Publishers. (in Thai)
- [5] Guo, J., Xia, F., Zhang, Y., Liu, H., Li, J., Lou, M., He, J., Yan, Y., Wang, F., Min, M., and Zhai, P. (2016). Impact of Diurnal Variability and Meteorological Factors on the PM_{2.5} - AOD Relationship: Implications for PM_{2.5} Remote Sensing. **Environmental Pollution**. Vol. 221, pp. 94-104. DOI: 10.1016/j.envpol.2016.11.043
- [6] Zhang, W., Xu, H., and Zheng, F. (2018). Aerosol Optical Depth Retrieval Over East Asia Using Himawari-8/AHI Data. **Remote Sensing**. Vol. 10, Issue 137, pp. 1-19. DOI: 10.3390/rs10010137
- [7] Hirtl, M., Mantovani, S., Kruger, B. C., Triebnig, G., Flandorfer, C., Bottoni, M., and Cavicchi, M. (2014). Improvement of Air Quality Forecasts with Satellite and Ground Gased. **Atmospheric Environment**. Vol. 84, pp. 20-27. DOI: 10.1016/j.atmosenv.2013.11.027
- [8] Wiratchai, N. (2010). **Multiple Linear Regression**. Sukhothai Thammathirat Open University Publishers. (in Thai)
- [9] Zang, L., Mao, F., Guo, J., Wang, W., and Pan, X. (2018). Estimating Hourly PM₁ Concentrations from Himawari-8 Aerosol Optical Depth in China. **Environmental Pollution**. Vol. 241, pp. 654-663. DOI: 10.1016/j.envpol.2018.05.100
- [10] Al-Mahasneh, A. J., Anavatti, S., Garratt, M., and Pratama, M. (2018). Applications of General Regression Neural Networks in Dynamic Systems. **Digital Systems**. pp. 133-154. DOI: 10.5772/intechopen.80258

การพัฒนาแผนที่ศักยภาพพลังงานความร้อนใต้พิภพ โดยข้อมูลอุณหภูมิพื้นผิว
จากการเที่ยมระบบ MODIS ในพื้นที่ภาคเหนือของประเทศไทย

Development of Geothermal Potential Resources Map using Land Surface Temperature from MODIS in Northern Thailand

ฤทธิชนก สายนาทพิญ^{1*} ปริชาติ เวชยนต์¹ และปิยพงษ์ เชนราย²

Rutaichanok Sainarmitip^{1*} Parichat Wetchayont¹ and Piyaphong Chenrai²

Received: August 6, 2020; Revised: October 30, 2020; Accepted: November 2, 2020

บทคัดย่อ

พลังงานความร้อนใต้พิภพเป็นพลังงานความร้อนภายใต้โลกที่สามารถพัฒนาขึ้นมาใช้ผลิตกระแสไฟฟ้าได้อย่างต่อเนื่อง ซึ่งในหลายประเทศได้นำเทคโนโลยีการรับรู้จากระยะไกลมาประยุกต์ใช้ในการสำรวจแหล่งพลังงานความร้อนใต้พิภพ โดยใช้ข้อมูลจากการเที่ยมในช่วงคลื่นอินฟราเรดความร้อนมาประมาณค่าอุณหภูมิพื้นผิว และวิเคราะห์ร่วมกับข้อมูลอื่น ๆ เพื่อประเมินพื้นที่ศักยภาพพลังงานความร้อนใต้พิภพเบื้องต้น ในการศึกษาครั้งนี้จึงนำข้อมูลอุณหภูมิพื้นผิว (Land Surface Temperature; LST) จากการเที่ยมระบบ MODIS มาวิเคราะห์ร่วมกับข้อมูลชนิดทิน และรอยเลื่อน เพื่อวิเคราะห์ศักยภาพพลังงานความร้อนใต้พิภพในพื้นที่ภาคเหนือของประเทศไทย ด้วยเทคนิคการวิเคราะห์การซ้อนทับข้อมูลแบบกำหนดค่าหน้างาน จากการวิเคราะห์ทางสถิติหากค่าสหลักษณ์แบบเพียร์สันระหว่างตัวแปร พบว่า ชนิดทินมีความลักษณ์กับอุณหภูมน้ำร้อนที่ผิวนอกมากที่สุด (0.587) รองลงมาคือ ระยะห่างจากการอยู่เลื่อน (-0.410) และความผิดปกติอุณหภูมิพื้นผิว (-0.376) ตามลำดับ แผนที่ศักยภาพพลังงานความร้อนใต้พิภพแบ่งออกเป็น 3 ระดับ คือ ศักยภาพสูง ศักยภาพปานกลาง และศักยภาพต่ำ คิดเป็นร้อยละ 12.29 36.32 และ 51.39 ตามลำดับ เมื่อส่วนเทียบความถูกต้องระหว่างตัวแปรนั้นและระดับอุณหภูมิของแหล่งน้ำพุร้อนที่ปรากฏในพื้นที่กับระดับศักยภาพพลังงานความร้อนใต้พิภพที่ได้จากการศึกษาพบว่า มีค่าความถูกต้องร้อยละ 53.3 อยู่ในระดับปานกลาง

คำสำคัญ : พลังงานความร้อนใต้พิภพ; อุณหภูมิพื้นผิว; การรับรู้จากระยะไกล; การเที่ยมระบบ MODIS

¹ คณะลังค(gcaศาสตร์ มหาวิทยาลัยศรีนครินทร์วิโรฒ กรุงเทพมหานคร

² คณะวิทยาศาสตร์ จุฬาลงกรณ์มหาวิทยาลัย กรุงเทพมหานคร

¹ Faculty of Social Sciences, Srinakharinwirot University, Bangkok

² Faculty of Science, Chulalongkorn University, Bangkok

* Corresponding Author E - mail Address: rutaichanok.sainarmitip@g.swu.ac.th

Abstract

Geothermal energy is heat energy within the earth's interior that can be developed to produce electricity continuously. In many countries, remote sensing technology is applied to explore geothermal energy sources. Using the thermal infrared satellite data and associated with other data estimated and analyzed the land surface temperature for assessing the area of initial geothermal potential. In this study, Land Surface Temperature (LST) data from MODIS satellite is analyzed with rock and fault data, which are analyzed geothermal potential using the weighted overlay analysis technique in Northern Thailand. The results of the statistical analysis, the Pearson correlation between variables shown that the rock types was most closely related to the hot water temperature at the surface (0.587), distance from faults (-0.410), and land surface temperature anomaly (-0.376), respectively. The geothermal potential map was classified into 3 levels as follows high, moderate and low were 12.29, 36.32 and 51.39 %, respectively. The accuracy between the position and temperature level of the hot springs that appear in the area and the geothermal potential level obtained from the study found that 53.3 % accuracy, which classified as a moderate level.

Keywords: Geothermal Energy; Land Surface Temperature; Remote Sensing; MODIS

บทนำ

พลังงานความร้อนใต้พิภพ (Geothermal Energy) เป็นพลังงานความร้อนตามธรรมชาติที่เกิด กักเก็บ และสะสมตัวอยู่ใต้ผิวโลก ซึ่งถูกนำพา และถ่ายเทเข้ามาน้ำสู่ผิวโลกผ่านรอยแตกหรือช่องว่างภายในหิน [1] และเป็นพลังงานหมุนเวียนชนิดหนึ่งที่สามารถพัฒนานำมาใช้ประโยชน์ในการผลิตกระแสไฟฟ้าได้อย่างต่อเนื่อง ช่วยลดปัญหามลพิษ หรือการปล่อยก๊าซเรือนกระจก แต่ด้วยขั้นตอนการสำรวจแหล่งพลังงานความร้อนใต้พิภพ ประกอบไปด้วย หลายขั้นตอนที่ต้องใช้เวลาและจำนวนบุคลากรในการเข้าสำรวจค่อนข้างมาก และมีค่าใช้จ่ายค่อนข้างสูง โดยเฉพาะอย่างยิ่งค่าใช้จ่ายในการเจาะสำรวจภาคสนาม ซึ่งถือว่าเป็นขั้นตอนที่สำคัญเพื่อประเมินศักยภาพของแหล่งพลังงานความร้อนใต้พิภพ การรับรู้จากระยะไกล (Remote Sensing) จึงถูกนำมาประยุกต์ใช้ในการสำรวจแหล่งพลังงานความร้อนใต้พิภพ ข้อดีของการรับรู้จากระยะไกลคือ ช่วยลดระยะเวลา จำนวนบุคลากรในการทำงาน ค่าใช้จ่าย อีกทั้งสามารถสำรวจในพื้นที่เป็นบริเวณกว้าง และบริเวณที่เข้าถึงยาก ซึ่งในช่วงหลายล้านปีที่ผ่านมาเมืองวิจัยในหลายประเทศ [2] - [6] ได้นำการรับรู้จากระยะไกล โดยใช้ข้อมูลจากดาวเทียมในช่วงคลื่นอินฟราเรดความร้อนมาประมาณค่าอุณหภูมิพื้นผิว (Land Surface Temperature; LST) และวิเคราะห์ร่วมกับข้อมูลอื่น ๆ เพื่อประเมินพื้นที่แหล่งศักยภาพ พลังงานความร้อนใต้พิภพเบื้องต้น เป็นแนวทางในการตัดสินใจและวางแผนการเจาะสำรวจต่อไป

ดาวเทียมที่ถูกนำมาศึกษาอุณหภูมิพื้นผิวนั้น ได้แก่ ดาวเทียม Landsat 7 ETM+ ดาวเทียม Landsat 8 และดาวเทียม Terra ระบบ MODIS (MODerate Resolution Imaging Spectroradiometer) เป็นต้น

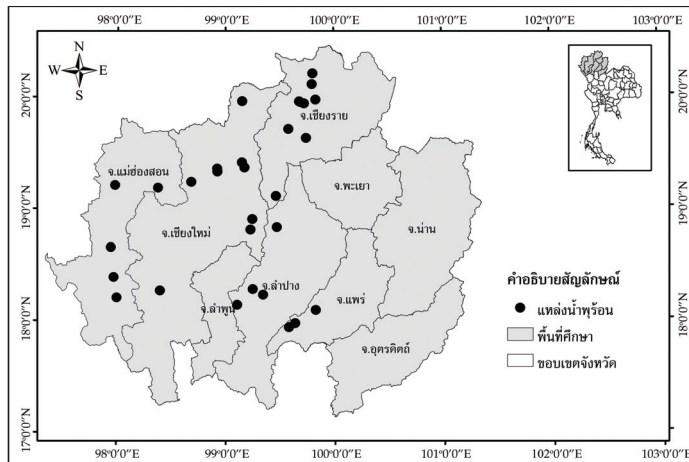
โดยดาวเทียมระบบ MODIS ได้รับความนิยมและยอมรับว่ามีความแม่นยำสูงในปัจจุบัน [2], [4] - [6] เนื่องจากมีความละเอียดเชิงพื้นที่สูง คือ 1×1 กิโลเมตร แต่เนื่องจากการรับรู้จากระยะไกล เป็นการตรวจวัดจากการสะท้อนแสงที่พื้นผิวโลก ซึ่งมีลักษณะพื้นที่หลากหลาย บางพื้นที่ความร้อนจากได้พิภพอาจไม่สามารถล่องมาถึงพื้นผิวได้โดยตรง อีกทั้งข้อจำกัดทางสภาพภูมิประเทศของพื้นที่ เช่น สภาพภูมิประเทศที่เป็นเทือกเขาสันเขี้ยว หรือมีชั้นทินหรือตะกอนปิดทับอยู่ด้านบน เป็นต้น ทำให้การใช้ช้อมูลเพียงชนิดเดียวไม่สามารถระบุช่วงเวลาของพลังงานความร้อนได้พิภพได้ดีเจน จึงจำเป็นต้องใช้ช้อมูลอื่นที่ล้มพื้นอีกบันพลังงานความร้อนได้พิภพ เช่น [5] ศึกษาอุณหภูมิพื้นผิวจากดาวเทียม Landsat 7 ETM+ ในภาคตะวันออกเฉียงเหนือของประเทศไทยได้วัน พบร่องรอยพิเศษที่มีลักษณะเป็นร่องรอยเส้นทางหลุมเจาะสำรวจความร้อนได้พิภพ พบร่องรอยที่มีลักษณะเป็นร่องรอยเส้นทางหลุมเจาะสำรวจความร้อนได้พิภพ เช่น เดียวกับ [6] ได้ศึกษาความผิดปกติ อุณหภูมิพื้นผิวจากดาวเทียม Landsat 8 ในประเทศไทยอีกโดยเป็น พบร่องรอยพิเศษที่มีลักษณะเป็นร่องรอยเส้นทางหลุมเจาะสำรวจความร้อนได้พิภพ ในพื้นที่ภาคเหนือของประเทศไทย และเมื่อนำผลลัพธ์มาพิจารณาร่วมกับแผนที่ธรณีวิทยาแล้วพบว่ามีความสัมพันธ์กันในระดับสูงกับแนวรอยเลื่อน

การวิเคราะห์และพัฒนาแผนที่ศักยภาพพลังงานความร้อนได้พิภพจากช้อมูลอุณหภูมิพื้นผิวรวมกับช้อมูลภูมิศาสตร์ที่เก็บรวบรวม พบว่ามีการเปลี่ยนแปลงที่สำคัญในภาคเหนือของประเทศไทย ดังนั้น การศึกษาครั้งนี้จึงนำช้อมูลอุณหภูมิพื้นผิวจากดาวเทียม MODIS มาวิเคราะห์ร่วมกับช้อมูลชนิดใหม่ และรอยเลื่อน เพื่อกำหนดเกณฑ์ที่บ่งชี้ศักยภาพพลังงานความร้อนได้พิภพ ในพื้นที่ภาคเหนือของประเทศไทย และพัฒนาแผนที่ศักยภาพพลังงานความร้อนได้พิภพในพื้นที่ภาคเหนือของประเทศไทย เพื่อเป็นแนวทางการวางแผนการสำรวจภาคสนามต่อไป พร้อมทั้งสอบถามความคุ้นเคยกับแนวรอยเลื่อน

วิธีดำเนินการวิจัย

1. พื้นที่ศึกษา

พื้นที่ศึกษาในงานวิจัยครั้งนี้คือ พื้นที่ภาคเหนือของประเทศไทย โดยการแบ่งเขตการปกครองตามราชบัณฑิตยสถาน ประกอบไปด้วย 9 จังหวัด ได้แก่ จังหวัดเชียงราย เชียงใหม่ น่าน พะเยา แพร่ แม่ฮ่องสอน ลำปาง ลำพูน และอุตรดิตถ์ (รูปที่ 1) จากช้อมูลการสำรวจแหล่งพลังงานความร้อนได้พิภพ ในประเทศไทยโดยกรมทรัพยากรธรณ์ [7] พบว่า ประเทศไทยมีแหล่งน้ำพุร้อนกระจายอยู่ทั่วไปตามภูมิภาคต่าง ๆ ของประเทศไทย ซึ่งเป็นลักษณะประภูมิที่บ่งชี้การมีพลังงานความร้อนอยู่ลึกลงไปได้ผิดดินกระจายอยู่ทั่วประเทศ โดยพบในบริเวณภาคเหนือมากที่สุด อีกทั้งยังเป็นที่ตั้งของโรงไฟฟ้าที่ใช้พลังงานความร้อนได้พิภพเพียงแห่งเดียวคือ โรงไฟฟ้าพลังงานความร้อนได้พิภพแห่งเดียว จึงมีความเหมาะสมที่จะเป็นพื้นที่ศึกษาในครั้งนี้



รูปที่ 1 พื้นที่ศึกษาและแหล่งน้ำพุร้อน ในพื้นที่ภาคเหนือของประเทศไทย

2. ข้อมูลที่ใช้ในการศึกษา

การศึกษาครั้งนี้ใช้ข้อมูล 4 ประเภท ประกอบด้วย

2.1 ข้อมูลอุณหภูมิพื้นผิว (Land Surface Temperature; LST) เป็นผลิตภัณฑ์ระดับ 3 เวอร์ชัน 6 รหัสผลิตภัณฑ์ MOD11A1 ของดาวเทียม Terra ระบบ MODIS ซึ่งถูกคำนวณจากวิธีการที่ชื่อว่า Generalized-Split Window Algorithm (GSW) มีความละเอียดเชิงพื้นที่ 1×1 กิโลเมตร และความละเอียดเชิงเวลารายวัน ซึ่งผ่านพื้นที่ศึกษาช่วงเวลา 10.00 – 11.00 น. (จากเว็บไซต์ <https://lpdaacsvc.cr.usgs.gov/appeears/>) ทำการดาวน์โหลดข้อมูลในช่วงเดือนมกราคมถึงธันวาคม ปี พ.ศ. 2561 โดยจะนำข้อมูลที่ทำการดาวน์โหลดทั้งหมดมาหาค่าเฉลี่ยได้เป็นข้อมูล LST เฉลี่ยรายปี (LST_{mean}) จากนั้นนำข้อมูลที่ได้มาคำนวณหาค่าความผิดปกติอุณหภูมิพื้นผิว ($LST_{anomaly}$) ดังสมการที่ (1) [4]

$$LST_{anomaly} = LST - LST_{mean} \quad (1)$$

เมื่อ

LST คือ ค่าอุณหภูมิพื้นผิวที่ปรากฏตำแหน่งที่ $i = 1$ ถึง n

LST_{mean} คือ ค่าเฉลี่ยอุณหภูมิพื้นผิวในช่วงเดือนมกราคมถึงธันวาคม ปี พ.ศ. 2561

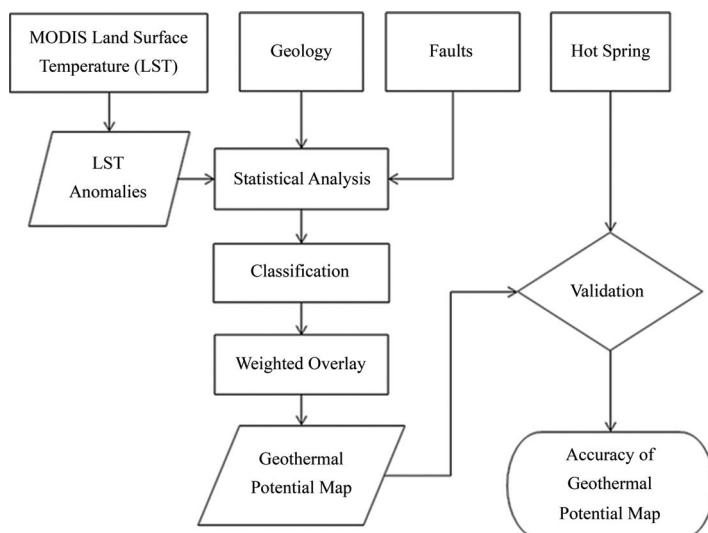
2.2 ข้อมูลธรณีวิทยาและธรณีวิทยาโครงสร้าง มาตราส่วน 1:250,000 ได้รับความอนุเคราะห์จากการทรัพยากรธรณี ซึ่งเป็นการประมาณผลข้อมูลจากการสำรวจข้อมูลที่มีอยู่ การแปลความหมายภาพถ่ายทางอากาศและภาพดาวเทียม และการตรวจสอบในภาคสนามเมื่อปี พ.ศ. 2546

2.3 ข้อมูลกลุ่มรอยเลื่อนมีพลังในประเทศไทย เป็นข้อมูลการสำรวจโดยกรมทรัพยากรธรณี ตั้งแต่ปี พ.ศ. 2548 – 2555 กระจายตัวบริเวณภาคเหนือ ภาคตะวันออก และภาคใต้ จำนวน 14 กลุ่ม รอยเลื่อน [8] ซึ่งมีรอยเลื่อนกระจายตัวบริเวณภาคเหนือจำนวน 11 กลุ่มรอยเลื่อน

2.4 ข้อมูลเหล่าน้ำพุร้อนเป็นข้อมูลที่บ่งชี้การมีพลังงานความร้อนใต้พิภพอยู่แล้วไปได้ผิดติด ซึ่งได้รับความอนุเคราะห์จากการธรณี ใช้สำหรับสอนเที่ยบความถูกต้องกับผลการวิจัย โดยทำการคัดเลือกแหล่งน้ำพุร้อนบริเวณภาคเหนือที่มีค่าอุณหภูมน้ำร้อนบริเวณที่ผิดติด 40 - 100 องศาเซลเซียส ได้จำนวนทั้งสิ้น 30 แหล่ง

3. การวิเคราะห์ศักยภาพพลังงานความร้อนใต้พิภพ

การวิเคราะห์ศักยภาพพลังงานความร้อนใต้พิภพ แบ่งเป็น 3 ขั้นตอน ดังต่อไปนี้ โดยมีแผนภาพสรุปขั้นตอนการศึกษาในรูปที่ 2



รูปที่ 2 แผนภาพสรุปขั้นตอนการวิเคราะห์ศักยภาพพลังงานความร้อนใต้พิภพในพื้นที่ภาคเหนือของประเทศไทยโดยใช้ข้อมูลอุณหภูมิพื้นผิวจากดาวเทียมระบบ MODIS ร่วมกับชนิดพิน แล้วรอยเลื่อน

3.1 การวิเคราะห์ความล้มพันธ์ทางสถิติระหว่างตัวแปร (Statistical Analysis)

การวิเคราะห์ความล้มพันธ์ทางสถิติระหว่างตัวแปร เป็นการวิเคราะห์เพื่อต้องการทราบว่า ตัวแปรที่จะนำมารวบรวมศักยภาพพลังงานความร้อนใต้พิภพ ได้แก่ ความผิดปกติอุณหภูมิพื้นผิวชนิดพิน และระยะห่างจากการรอยเลื่อน มีความล้มพันธ์กับอุณหภูมน้ำร้อนที่ผิดติดของแหล่งน้ำพุร้อนหรือไม่ โดยค่าของชุดตัวแปรทั้งหมดเป็นค่า ณ ตำแหน่งพิกัดเดียวกับค่าอุณหภูมน้ำร้อนที่ผิดติดจากแหล่งน้ำพุร้อน ในพื้นที่ศึกษา ดังนั้น ข้อมูลที่นำมาวิเคราะห์จะประกอบไปด้วย (1) ค่าความผิดปกติอุณหภูมิพื้นผิวจำนวน 30 ค่าตัวแปร (2) ชนิดพินจำนวน 30 ค่าตัวแปร (3) ระยะห่างจากการรอยเลื่อนจำนวน 30 ค่าตัวแปร และ (4) ค่าอุณหภูมน้ำร้อนที่ผิดติดจากแหล่งน้ำพุร้อนจำนวน 30 ค่าตัวแปร นำข้อมูลทั้งหมดไปคำนวณทางสถิติ หาค่าสหลัมพันธ์แบบเพียร์สัน (Pearson Correlation) เพื่อดูความล้มพันธ์ระหว่างตัวแปร หลังจากนั้น จะนำค่าสหลัมพันธ์ที่ได้มาใช้เป็นค่าล่วงน้ำหนัก

3.2 การกำหนดเกณฑ์ของตัวแปร (Classification)

นอกจากการหาความล้มพันธ์เพื่อใช้บ่งชี้ศักยภาพพลังงานความร้อนใต้พิภพ ในการศึกษาครั้งนี้ได้กำหนดเกณฑ์ของแต่ละตัวแปร และแบ่งระดับคะแนนเป็น 5 ระดับ มีรายละเอียดดังนี้

1) ความพิดปกติอุณหภูมิพื้นผิว ค่าความพิดปกติอุณหภูมิพื้นผิวนี้ค่าที่บ่งชี้อุณหภูมิพื้นผิวที่สูงหรือต่ำกว่าอุณหภูมิพื้นผิบาริเวณรอบข้าง จากงานวิจัยที่ศึกษาในต่างประเทศได้ผลลัพธ์ที่แตกต่างกันในการศึกษาครั้งนี้ใช้ค่าความพิดปกติอุณหภูมิพื้นผิว 4 - 10 องศาเซลเซียส [2] มาเป็นเกณฑ์ในการแบ่งกลุ่มตัวแปร ซึ่งหมายความได้ว่าหากบริเวณใดมีอุณหภูมิพื้นผิวสูงพิดปกติระหว่าง 4 - 10 องศาเซลเซียส บริเวณนั้นบ่งชี้ถูกภาพพลังงานความร้อนได้พิกพ จึงแบ่งระดับคะแนนดังนี้ อุณหภูมิพื้นผิวสูงพิดปกติน้อยกว่า 2 องศาเซลเซียส ให้ค่าคะแนนเท่ากับ 1 อุณหภูมิพื้นผิวสูงพิดปกติ 2 - 4 องศาเซลเซียส ให้ค่าคะแนนเท่ากับ 2 อุณหภูมิพื้นผิวสูงพิดปกติ 4 - 6 องศาเซลเซียส ให้ค่าคะแนนเท่ากับ 3 อุณหภูมิพื้นผิวสูงพิดปกติ 6 - 8 องศาเซลเซียส ให้ค่าคะแนนเท่ากับ 4 และอุณหภูมิพื้นผิวสูงพิดปกติมากกว่า 8 องศาเซลเซียส ให้ค่าคะแนนเท่ากับ 5

2) ชนิดพืชน เนื่องจากลักษณะหน่วยที่นิทางธรณีวิทยาริเวณภาคเหนือค่อนข้างซับซ้อน และประกอบด้วยพืชนยุคต่าง ๆ [9] ผู้ศึกษาจึงทำการแบ่งกลุ่มตามประเภทของชนิดพืชนได้เป็น 6 ประเภท และให้ค่าคะแนนตามความสัมพันธ์อุณหภูมน้ำร้อนของเหล่าน้ำพุร้อนที่พบบริเวณพืชนแต่ละประเภทดังนี้
(1) ตะกอนที่ยังไม่แข็งตัวค่าคะแนนเท่ากับ 1 (2) พินแทร์ และพินตะกอนที่มีพินแทร์ปะบnopยู่ค่าคะแนนเท่ากับ 2
(3) พินตะกอนค่าคะแนนเท่ากับ 3 (4) พินอัคนีค่าคะแนนเท่ากับ 4 และ (5) พินเกรนิตค่าคะแนนเท่ากับ 5

3) ระยะห่างจากการอยู่เลื่อน โครงสร้างร้อยเลื่อนเป็นช่องทางให้น้ำร้อนไหลเข้ามาปราบภู บนพื้นผิวโลก ซึ่งหมายความว่าบริเวณที่อยู่ใกล้แนวร้อยเลื่อนนั้นมีโอกาสเป็นพื้นที่ถูกภาพพลังงานความร้อนได้พิกพ ใน การศึกษาครั้งนี้ผู้ศึกษาได้ใช้เกณฑ์การแบ่งระยะห่างจากการอยู่เลื่อนตาม [10] โดยทำการสร้างแนวกันชน (Buffer) จากแนวร้อยเลื่อนเป็นระยะทางทุก ๆ 400 เมตร และให้ค่าระดับคะแนนดังนี้ ระยะห่างจากการอยู่เลื่อนมากกว่า 1,600 เมตร ให้ค่าคะแนนเท่ากับ 1 ระยะห่างจากการอยู่เลื่อน 1,200 - 1,600 เมตร ให้ค่าคะแนนเท่ากับ 2 ระยะห่างจากการอยู่เลื่อน 800 - 1,200 เมตร ให้ค่าคะแนนเท่ากับ 3 ระยะห่างจากการอยู่เลื่อน 400 - 800 เมตร ให้ค่าคะแนนเท่ากับ 4 และระยะห่างจากการอยู่เลื่อน 0 - 400 เมตร ให้ค่าคะแนนเท่ากับ 5

3.3 การวิเคราะห์และสร้างแผนที่ถูกภาพพลังงานความร้อนได้พิกพ

ใช้เทคนิคการวิเคราะห์ด้วยการซ้อนทับข้อมูลแบบกำหนดค่าน้ำหนัก (Weighted Overlay) โดยนำ AHP Method [11] มาประยุกต์ใช้ ซึ่งในการวิเคราะห์ครั้งนี้จะใช้ค่าร่วงน้ำหนัก (Weighting) ที่ได้จากค่าสหสัมพันธ์แบบเพียร์สันคุณกับระดับคะแนน (Rating) ของตัวแปรแต่ละประเภท ทำการแปลงข้อมูลให้อยู่ในรูปแบบ Raster จัดแบ่งชั้นข้อมูลใหม่ (Reclassify) ให้เป็นไปตามเกณฑ์และระดับคะแนนที่ได้กำหนดไว้ จากนั้นจึงนำตัวแปรที่ได้มาวิเคราะห์ผ่านฟังก์ชัน Map Algebra ด้วยเครื่องมือ Raster Calculator โดยใช้สมการที่ (2)

$$S = \sum_{i=1}^n (W_i \times R_i) \quad (2)$$

เมื่อ

S คือ ผลรวมของคะแนนทั้งหมด

W_i คือ ค่าร่วงน้ำหนักของตัวแปรที่ $i = 1$ ถึง n

R_i คือ ค่าระดับคะแนนของตัวแปรที่ $i = 1$ ถึง n

นำผลลัพธ์ที่ได้มาแบ่งระดับศักยภาพพลังงานความร้อนใต้พิภพออกเป็น 3 ระดับ คือ ศักยภาพสูง ศักยภาพปานกลาง และศักยภาพต่ำ ด้วยการแบ่งช่วงขั้นแบบอันตรภาคชั้น (Class Interval) ดังสมการที่ (3)

$$\text{อันตรภาคชั้น} = \frac{\text{ค่าคะแนนสูงสุด} - \text{ค่าคะแนนต่ำสุด}}{\text{จำนวนหรือระดับช่วงขั้น}} \quad (3)$$

4. การสอนเที่ยบความถูกต้อง

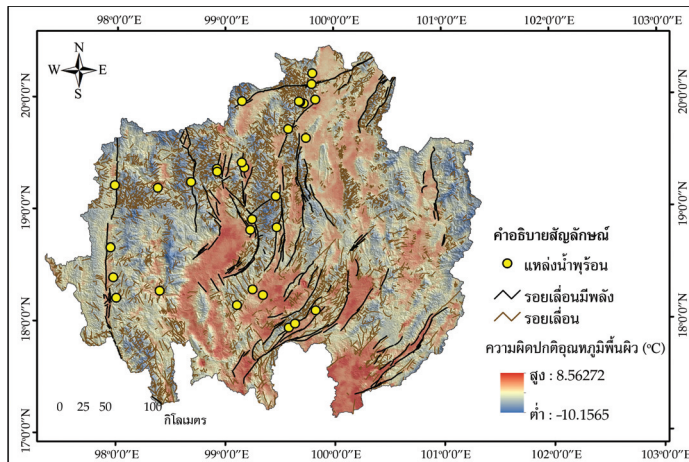
การสอนเที่ยบความถูกต้องใช้วิธีการซ่อนทับระหว่างข้อมูลแหล่งน้ำพุร้อนที่ปรากฏในพื้นที่กับแผนที่ศักยภาพพลังงานความร้อนใต้พิภพที่ได้จากการศึกษา โดยพิจารณาจากอุณหภูมน้ำร้อนที่ผิวดินแหล่งน้ำพุร้อน แบ่งออกเป็น (1) แหล่งน้ำพุร้อนที่มีอุณหภูมน้ำร้อนที่ผิวดินมากกว่า 80 องศาเซลเซียส บ่งบอกเป็นแหล่งน้ำพุร้อนศักยภาพสูง (2) แหล่งน้ำพุร้อนที่มีอุณหภูมน้ำร้อนที่ผิวดิน 60 - 80 องศาเซลเซียส บ่งบอกเป็นแหล่งน้ำพุร้อนศักยภาพปานกลาง และ (3) แหล่งน้ำพุร้อนที่มีอุณหภูมน้ำร้อนที่ผิวดิน 40 - 60 องศาเซลเซียส บ่งบอกเป็นแหล่งน้ำพุร้อนศักยภาพต่ำ [12] ร้อยละความถูกต้องของแผนที่หาได้จากสมการที่ (4)

$$\text{ร้อยละความถูกต้อง} = \frac{\text{ผลรวมจำนวนแหล่งน้ำพุร้อนที่ถูกต้องแต่ละระดับ} \times 100}{\text{จำนวนแหล่งน้ำพุร้อนทั้งหมด}} \quad (4)$$

ผลการวิจัย

1. ความผิดปกติอุณหภูมิพื้นผิว

ค่าความผิดปกติอุณหภูมิพื้นผิวเป็นค่าที่บ่งชี้อุณหภูมิพื้นผิวที่สูงหรือต่ำกว่าอุณหภูมิพื้นผิวบริเวณรอบข้าง เมื่อหาค่าความผิดปกติอุณหภูมิพื้นผิวนี่ในพื้นที่ภาคเหนือพบว่า มีค่าตั้งแต่ -10.16 ถึง 8.56 องศาเซลเซียส ดังแสดงในรูปที่ 3 จะเห็นว่าค่าความผิดปกติอุณหภูมิพื้นผิวที่สูงจะกระจายตัวอยู่บริเวณที่เป็นแอ่งที่ราบลุ่ม ซึ่งเป็นพื้นที่เกษตรกรรม พื้นที่ลุ่ม รวมถึงพื้นที่ชุมชนและลิ่งป่ากลางร้าง ในทางกลับกันค่าความผิดปกติอุณหภูมิพื้นผิวที่ต่ำจะพบบริเวณที่เป็นภูเขาที่มีป่าไม้ปกคลุม เมื่อเปรียบเที่ยบค่าความผิดปกติอุณหภูมิพื้นผิวกับตำแหน่งน้ำพุร้อนที่ปรากฏพบว่า ค่าความผิดปกติอุณหภูมิพื้นผิวแสดงทิศค่าที่สูงและต่ำกว่าอุณหภูมิพื้นผิวบริเวณรอบข้าง คือ อยู่ระหว่าง -2.42 ถึง 4.64 องศาเซลเซียส สาเหตุที่มีการแสดงค่าความผิดปกติอุณหภูมิพื้นผิวต่ำเนื่องมาจากแหล่งน้ำพุร้อนในพื้นที่ภาคเหนือส่วนใหญ่จะพบบริเวณที่เป็นภูเขาที่มีต้นไม้เขียวปักคลุมมากกว่าบริเวณที่ราบ ทำให้ค่าอุณหภูมิพื้นผิวที่วัดได้นั้นไม่ใช่ค่าจากพื้นผิวดินโดยตรง และเห็นว่าแนวรอยเลื่อนโดยเฉพาะแนวรอยเลื่อนมีพิลัง ซึ่งเป็นโครงสร้างทางธรณีวิทยาที่สำคัญที่ให้น้ำร้อนไหลซึมเข้ามาสู่ผิวดิน มีความล้มพังรักบกความผิดปกติอุณหภูมิพื้นผิวบริเวณใกล้ภูเขาและขอบแอ่งที่ราบลุ่ม ดังนั้น การวิเคราะห์ศักยภาพพลังงานความร้อนใต้พิภพในพื้นที่ภาคเหนือด้วยการใช้ข้อมูลอุณหภูมิพื้นผิวเพียงอย่างเดียวอาจไม่ได้ผลลัพธ์ที่ถูกต้อง



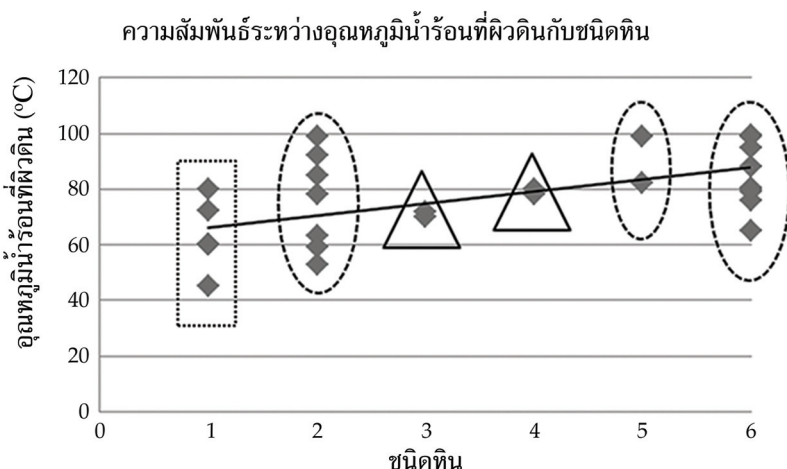
รูปที่ 3 แผนที่ความผิดปกติอุณหภูมิพื้นผิวในพื้นที่ภาคเหนือของประเทศไทย

2. ความสัมพันธ์ทางสถิติระหว่างตัวแปร

เป็นการหาความสัมพันธ์ระหว่างตัวแปรที่จะนำไว้เคราะห์ ได้แก่ ความผิดปกติอุณหภูมิพื้นผิว ชนิดทิน และระยะห่างจากการอยู่เลื่อนกับอุณหภูมน้ำร้อนที่ผิวดินของแหล่งน้ำพุร้อน ด้วยวิธีการคำนวณทางสถิติหาค่าสหสัมพันธ์แบบเพียร์สัน (Pearson Correlation) จากผลการวิเคราะห์ดังแสดงไว้ในตารางที่ 1 พบร่วมกับค่าสหสัมพันธ์ที่ต่อกัน 0.587 ซึ่งมีค่าสูงที่สุด แสดงให้เห็นว่ามีความสัมพันธ์กับอุณหภูมน้ำร้อนที่ผิวดินมากที่สุด (รูปที่ 4) และเมื่อพิจารณาแต่ละกลุ่มจะพบว่ามีความสัมพันธ์ที่ต่างกันคือ (กลุ่มที่ 1) ชนิดทินที่อยู่ในกรอบลี่เหลี่ยม คือ ตะกอนที่ยังไม่แข็งตัว น้ำพุร้อนมีอุณหภูมน้ำร้อนที่ผิวดิน 45 - 80 องศาเซลเซียส ซึ่งส่วนใหญ่มีอุณหภูมน้ำร้อนที่ผิวดินต่ำกว่า 60 องศาเซลเซียส (กลุ่มที่ 2) ชนิดทินที่อยู่ในกรอบสามเหลี่ยม คือ หินแปร และหินตะกอนที่มีหินแปรปะปนอยู่ น้ำพุร้อนมีอุณหภูมน้ำร้อนที่ผิวดิน 70 - 80 องศาเซลเซียส และ (กลุ่มที่ 3) ชนิดทินที่อยู่ในกรอบวงรี คือ หินตะกอน หินอัคนี และหินแกรนิต น้ำพุร้อนมีอุณหภูมน้ำร้อนที่ผิวดิน 53 - 99 องศาเซลเซียส ส่วนใหญ่มีอุณหภูมน้ำร้อนที่ผิวดินสูงกว่า 80 องศาเซลเซียส ในขณะที่ความผิดปกติอุณหภูมิพื้นผิว และระยะห่างจากการอยู่เลื่อนมีค่าสหสัมพันธ์ที่ต่อกัน -0.376 และ -0.410 แสดงว่า ตัวแปรทั้งสองมีความสัมพันธ์กับอุณหภูมน้ำร้อนที่ผิวดินระดับต่ำ และเป็นความสัมพันธ์แบบผกผัน หมายความว่า ถ้าอุณหภูมน้ำร้อนผิวดินเพิ่มสูงขึ้น ค่าความผิดปกติอุณหภูมิพื้นผิวจะลดต่ำลง และถ้าอุณหภูมน้ำร้อนผิวดินเพิ่มสูงขึ้น ระยะห่างจากการอยู่เลื่อนจะลดลง หรือกล่าวอีกนัยคือ อุณหภูมน้ำร้อนผิวดินจะเพิ่มสูงขึ้นเมื่อบริเวณนั้นอยู่ใกล้แนวรอยเลื่อนนั้นเอง ในการศึกษาเรื่องค่าสหสัมพันธ์แบบเพียร์สันที่แสดงในตารางที่ 1 จะนำมาใช้เป็นค่าถ่วงน้ำหนัก (Weighting) ในการวิเคราะห์คัดแยกพลังงานความร้อนได้พิเศษต่อไป

ตารางที่ 1 ผลการวิเคราะห์ความสัมพันธ์ทางสถิติระหว่างตัวแปร

อุณหภูมิ น้ำร้อนที่ผิวดิน	ค่าสหสัมพันธ์ แบบเพียร์สัน	อุณหภูมิร้อน ที่ผิวดิน ($^{\circ}\text{C}$)	ชนิดทิน	ความผิดปกติ อุณหภูมิพื้นผิว ($^{\circ}\text{C}$)	ระยะห่าง จากรอยเลื่อน (เมตร)
		จำนวนค่าตัวแปร	30	30	30



รูปที่ 4 ความสัมพันธ์ระหว่างอุณหภูมิน้ำร้อนที่ผิวดินกับชนิดทิน

3. ศักยภาพพลังงานความร้อนใต้พิภพ

การวิเคราะห์ศักยภาพพลังงานความร้อนใต้พิภพ ในการศึกษาครั้งนี้ดำเนินการศึกษาด้วย 3 ตัวแปร ได้แก่ ความผิดปกติอุณหภูมิพื้นผิว ชนิดทิน และระยะห่างจากรอยเลื่อน โดยนำตัวแปรเหล่านี้ มาหาค่าความสัมพันธ์หรือค่าถ่วงน้ำหนักตัวแปร กำหนดเกณฑ์และระดับคะแนนของตัวแปร ผลลัพธ์ที่ได้มีรายละเอียดดังแสดงไว้ในตารางที่ 2 จัดแบ่งขั้นชั้นมูลตัวแปรใหม่ให้เป็นไปตามเกณฑ์และระดับคะแนนที่ได้กำหนดไว้ และคงดังรูปที่ 5 จำนวนนับจึงทำการวิเคราะห์ศักยภาพพลังงานความร้อนใต้พิภพด้วยการซ่อนทบทับช้อมูลผ่านระบบสารสนเทศภูมิศาสตร์ แบ่งระดับศักยภาพเป็น 3 ระดับ คือ ศักยภาพสูง ศักยภาพปานกลาง และศักยภาพต่ำ แผนที่จากการวิเคราะห์ดังปรากฏในรูปที่ 6 พบว่า ภาคเหนือของประเทศไทย ส่วนใหญ่มีพื้นที่ศักยภาพต่ำ และคงว่าในพื้นที่ภาคเหนือมีความเป็นไปได้ที่จะมีแหล่งศักยภาพพลังงานความร้อนใต้พิภพต่ำซึ่งคิดเป็นร้อยละ 51.39 ของพื้นที่ทั้งหมด รองลงมาคือ พื้นที่ศักยภาพปานกลาง คิดเป็นร้อยละ 36.32 และพื้นที่ศักยภาพสูง คิดเป็นร้อยละ 12.29 รายละเอียดดังแสดงในตารางที่ 3 จากการพิจารณาผลการวิเคราะห์ของแผนที่กับแต่ละตัวแปรที่นำมาใช้วิเคราะห์พบว่า ที่ระดับศักยภาพสูง มีพื้นที่เป็นพื้นที่ราบ บางส่วนเป็นพื้นที่ภูเขาและทิวทัศน์ แม่น้ำและแม่น้ำสายหลัก ซึ่งสอดคล้องกับเกณฑ์และระดับคะแนนที่กำหนด แต่ในทางตรงกันข้ามพบว่า ที่ระดับศักยภาพปานกลางมีค่าความผิดปกติ

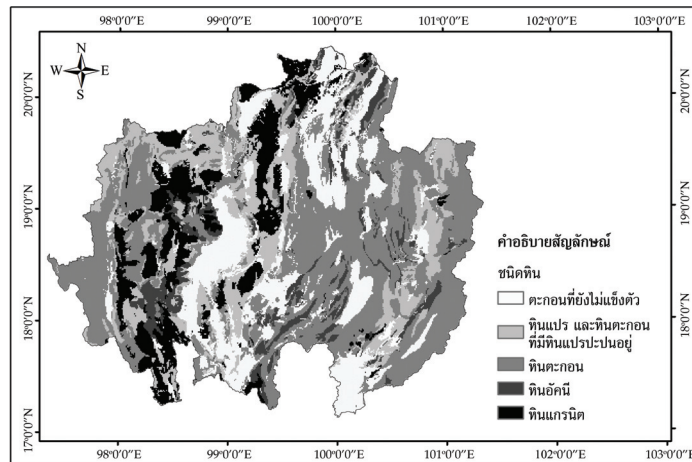
อุณหภูมิพื้นผิวต่ำ ซึ่งไม่เป็นไปตามเกณฑ์และระดับคะแนนที่กำหนด แสดงว่าแผนที่คักยภาพพลังงานความร้อนได้พิภพในภาคเหนือของประเทศไทยนั้นล้มพันธ์กับชนิดทินและรอยเลื่อนมากกว่าความผิดปกติอุณหภูมิพื้นผิว

ตารางที่ 2 เกณฑ์และระดับคะแนนของตัวแปรที่ใช้วิเคราะห์คักยภาพพลังงานความร้อนได้พิภพ

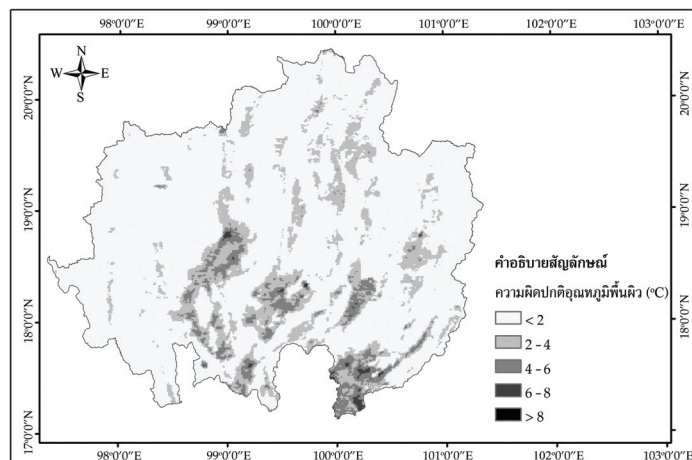
ตัวแปร	ประเภทตัวแปร	ค่าถ่วงน้ำหนัก	ระดับคะแนน
ชนิดทิน	ตะกอนที่ยังไม่แข็งตัว		1
	ทินแปร และทินตะกอนที่มีทินแปรปะปนอยู่		2
	ทินตะกอน	0.587	3
	ทินอัคนี		4
อุณหภูมิพื้นผิว	ทินแกรนิต		5
	< 2 องศาเซลเซียส		1
	2 - 4 องศาเซลเซียส		2
	4 - 6 องศาเซลเซียส	0.376	3
ความผิดปกติ	6 - 8 องศาเซลเซียส		4
	> 8 องศาเซลเซียส		5
	> 1,600 เมตร		1
	1,200 - 1,600 เมตร		2
ระยะห่างจากรอยเลื่อน	800 - 1,200 เมตร	0.410	3
	400 - 800 เมตร		4
	0 - 400 เมตร		5

ตารางที่ 3 จำนวนพื้นที่แสดงคักยภาพพลังงานความร้อนได้พิภพ ในพื้นที่ภาคเหนือของประเทศไทย

ระดับคักยภาพ	พื้นที่ (ตารางกิโลเมตร)	ร้อยละ
คักยภาพสูง	11,783	12.29
คักยภาพปานกลาง	34,824	36.32
คักยภาพต่ำ	49,281	51.39
รวม	95,888	100.00

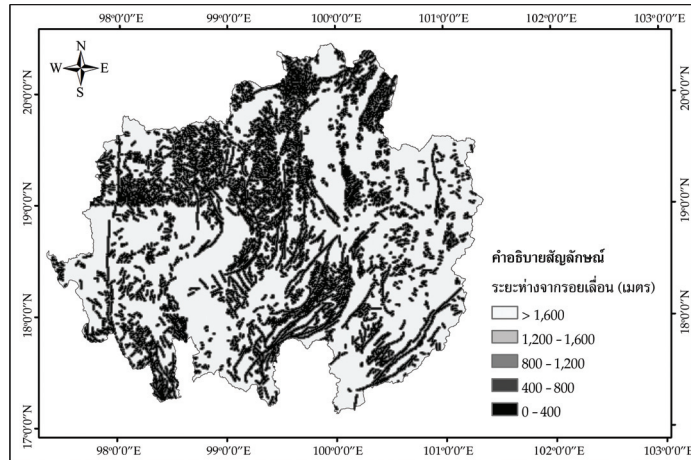


(ก) แผนที่ชนิดทิน



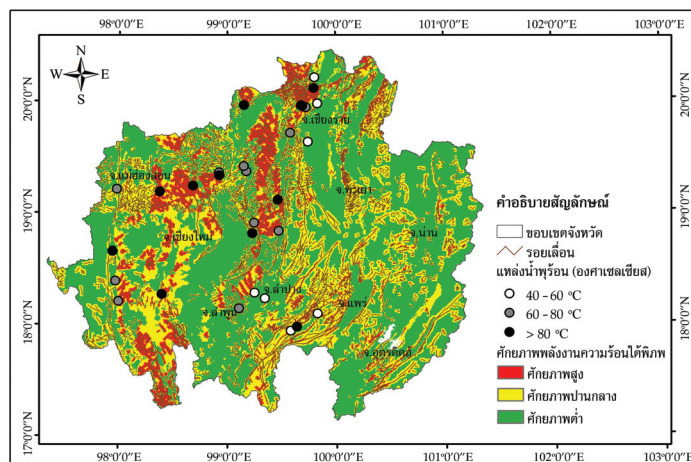
(ข) แผนที่ความผิดปกติอุณหภูมิพื้นผิว

รูปที่ 5 แผนที่ตัวแปรที่ได้กำหนดเกณฑ์ที่ใช้เคราะห์ศักยภาพพลังงานความร้อนใต้พิภพ



(ค) แผนที่ระยะห่างจากการอยู่เลื่อน

รูปที่ 5 แผนที่ตัวแปรที่ได้กำหนดเกณฑ์ที่ใช้เคราะห์ศักยภาพพลังงานความร้อนได้พิภพ (ต่อ)



รูปที่ 6 แผนที่ศักยภาพพลังงานความร้อนได้พิภพ ในพื้นที่ภาคเหนือของประเทศไทย

4. ผลการสอบเทียบความถูกต้อง

การสอบเทียบความถูกต้องแผนที่ศักยภาพพลังงานความร้อนได้พิภพ ด้วยการจับคู่ข้อมูล ตำแหน่งและระดับอุณหภูมิของแหล่งน้ำพุร้อนกับระดับศักยภาพพลังงานความร้อนได้พิภพที่ได้จากการศึกษา ณ ตำแหน่งเดียวกัน ทั้งหมดจำนวน 30 คู่ ด้วยวิธีข้อนับข้อบกพร่อง จากราhangที่ 4 แสดงผลการศึกษา โดยแหล่งน้ำพุร้อนที่มีอุณหภูมิน้ำร้อนที่ผิวน้ำมากกว่า 80 องศาเซลเซียส เทียบเท่ากับระดับศักยภาพสูงจำนวน 11 แหล่ง พบร่วมตำแหน่งประภาภูในแผนที่ศักยภาพพลังงานความร้อนได้พิภพ ในพื้นที่ที่มีระดับศักยภาพสูง 6 แหล่ง คิดเป็นความถูกต้องร้อยละ 54.5 ซึ่งอีก 5 แหล่งประภาภูอยู่บริเวณที่มีศักยภาพปานกลางแหล่งน้ำพุร้อนที่มีอุณหภูมน้ำร้อนที่ผิวน้ำ 60 - 80 องศาเซลเซียส เทียบเท่ากับระดับศักยภาพปานกลาง จำนวนทั้งหมด 12 แหล่ง พบร่วมตำแหน่งประภาภูในแผนที่บริเวณที่มีระดับศักยภาพ

ปานกลางครึ่งกัน 4 แหล่ง อีก 8 แหล่ง ประกอบในบริเวณที่มีศักยภาพสูง 3 แหล่ง และบริเวณที่มีศักยภาพต่ำ 5 แหล่ง คิดเป็นความถูกต้องร้อยละ 33.3 และแหล่งน้ำพุร้อนที่มีอุณหภูมน้ำร้อนที่ผิวน้ำ 40 - 60 องศาเซลเซียส เทียบเท่ากับระดับศักยภาพต่ำ จำนวนห้องหมอด 7 แหล่ง ประกอบบนแผนที่ในบริเวณที่มีระดับศักยภาพต่ำครึ่งกันจำนวน 6 แหล่ง อีก 1 แหล่ง ประกอบในบริเวณที่มีศักยภาพปานกลาง คิดเป็นความถูกต้องร้อยละ 85.7 โดยรวมจากจำนวนแหล่งน้ำพุร้อนทั้งหมด 30 แหล่ง ประกอบตำแหน่งบนแผนที่ที่มีระดับศักยภาพต่ำครึ่งกันจำนวนห้องสินจำนวน 16 แหล่ง โดยมีค่าความผิดปกติอุณหภูมิพื้นผิวอยู่ระหว่าง -2.42 ถึง 4.64 องศาเซลเซียส ซึ่งต่างจากค่าความผิดปกติอุณหภูมิพื้นผิวที่นำมาเป็นเกณฑ์คือ 4 - 10 องศาเซลเซียส [2] แต่เมื่อพิจารณาความถูกต้องระหว่างแนวรอยเลื่อนกับแผนที่ที่ได้จากการศึกษา (รูปที่ 6) พบว่า แนวรอยเลื่อนวางตัวอยู่บนพื้นที่ศักยภาพสูงและพื้นที่ศักยภาพปานกลาง แสดงว่าบริเวณที่มีศักยภาพสูงและปานกลางจะมีความล้มพังร่องแนวรอยเลื่อนด้วย การคำนวณร้อยละความถูกต้องของแผนที่ตามสมการที่ (4) พบว่า แผนที่ศักยภาพพลังงานความร้อนได้พิภพบริเวณภาคเหนือของประเทศไทยที่ได้จากการศึกษาครั้งนี้ มีค่าความถูกต้องร้อยละ 53.3 แสดงว่าการวิเคราะห์ศักยภาพพลังงานความร้อนได้พิภพด้วยตัวแปร 3 ตัวแปร ได้แก่ ความผิดปกติอุณหภูมิพื้นผิว ชนิดหิน และระยะห่างจากการรอยเลื่อน ให้ค่าความถูกต้องอยู่ในระดับปานกลาง

ตารางที่ 4 ผลลัพธ์การสอบเที่ยบความถูกต้องของแผนที่ศักยภาพพลังงานความร้อนได้พิภพ

ระดับศักยภาพ พลังงานความร้อนได้พิภพ	อุณหภูมน้ำร้อน ที่ผิวน้ำ ($^{\circ}\text{C}$)	จำนวนแหล่ง น้ำพุร้อน	จำนวนแหล่งน้ำพุร้อน ที่มีตำแหน่งตรงกับแผนที่ศักยภาพ
ศักยภาพสูง	> 80 $^{\circ}\text{C}$	11	6
ศักยภาพปานกลาง	60 - 80 $^{\circ}\text{C}$	12	4
ศักยภาพต่ำ	40 - 60 $^{\circ}\text{C}$	7	6
รวมทั้งสิ้น		30	16
คิดเป็น %		100 %	53.3 %

อภิปรายและสรุปผลการวิจัย

เทคโนโลยีการรับรู้จากระยะไกลถูกนำมาประยุกต์ใช้กับงานด้านต่าง ๆ รวมถึงการวิเคราะห์เพื่อหาพื้นที่ศักยภาพพลังงานความร้อนได้พิภพ ซึ่งในงานศึกษาส่วนใหญ่จะใช้ข้อมูลจากการเที่ยมในช่วงคลื่นอินฟราเรด ความร้อนมาประมาณค่าอุณหภูมิพื้นผิวหรือใช้ข้อมูลอุณหภูมิพื้นผิวที่ได้จากการเที่ยม เพื่อบ่งชี้แหล่งพลังงานความร้อนได้พิภพ แต่เนื่องจากอุณหภูมิพื้นผิวเป็นค่าการสะท้อนแสงที่พื้นผิวโลก ซึ่งมีลักษณะคลุมพื้นที่หลากหลาย หรือในบางพื้นที่ความร้อนจากได้พิภพอาจอยู่ลึกจนไม่สามารถส่งผ่านความร้อนมายังพื้นผิวได้โดยตรง การศึกษาแหล่งพลังงานความร้อนได้พิภพด้วย อุณหภูมิพื้นผิวเพียงอย่างเดียว อาจลั่งผลให้ผลการศึกษาเกิดความผิดพลาดได้ สำหรับการศึกษานี้มีการใช้ข้อมูลอุณหภูมิพื้นผิวจากดาวเทียมระบบ MODIS หาค่าความผิดปกติอุณหภูมิพื้นผิว เพื่อนำมาวิเคราะห์ศักยภาพพลังงานความร้อนได้พิภพ เมื่อเปรียบเที่ยบความผิดปกติอุณหภูมิพื้นผิวกับแนวรอยเลื่อน ผลที่ได้จากการศึกษาครั้งนี้พบว่า

ความพิดปกติอุณหภูมิพื้นผิว มีความล้มพันธ์กับแนวรออยเลื่อนบริเวณไกลักษณะและขอบแอ่งที่ร้าบลุ่มมากกว่าบริเวณแอ่งที่ร้าบลุ่มซึ่งแสดงค่าความพิดปกติที่สูง และเมื่อพิจารณาความพิดปกติอุณหภูมิพื้นผิว กับตำแหน่งน้ำพุร้อนพบว่า มีความล้มพันธ์กันค่อนข้างต่ำ กล่าวคือ ค่าความพิดปกติอุณหภูมิพื้นผิว บริเวณแหล่งน้ำพุร้อนมีทั้งค่าที่ต่ำและสูงกว่าบริเวณรอบข้าง ซึ่งไม่มีความล้มพันธ์ไปในทิศทางเดียวกัน ต่างจากการศึกษาของ Chan, H.-P., Chang, C.-P., and Dao, P. D. [5] และ Darge, Y. M., Hailu, B. T., Muluneh, A. A., and Kidane, T. [6] ที่พบว่าค่าความพิดปกติอุณหภูมิพื้นผิว มีความล้มพันธ์กับ แนวรออยเลื่อนและตำแหน่งน้ำพุร้อนในพื้นที่ แผนที่ศักยภาพพลังงานความร้อนใต้พิภพในพื้นที่ภาคเหนือ ของประเทศไทยในครั้งนี้ใช้ค่าความพิดปกติอุณหภูมิพื้นผิวและข้อมูลทางกายภาพ ได้แก่ ชนิดพิน และรอยเลื่อน ดาวเคราะห์ผ่านระบบสารสนเทศภูมิศาสตร์ (GIS) โดยใช้เทคนิคการวิเคราะห์ด้วยการซ้อนทับข้อมูล มีการกำหนดค่าถ่วงน้ำหนัก และระดับคะแนน ให้กับตัวแปรทั้งสาม การให้ค่าถ่วงน้ำหนักทำได้หลายวิธี ใน การศึกษาครั้งนี้ได้เลือกใช้ค่าความล้มพันธ์ทางสถิติระหว่างตัวแปรมากำหนดค่าถ่วงน้ำหนัก เนื่องจาก ข้อมูลที่ใช้ในการวิเคราะห์เป็นข้อเท็จจริงของข้อมูลที่ล้มพันธ์กัน ณ ตำแหน่งพิกัดเดียวกัน จากการศึกษา พบว่าตัวแปรที่มีความสำคัญมากที่สุดคือศักยภาพพลังงานความร้อนใต้พิภพในพื้นที่ภาคเหนือคือ ชนิดพิน รองลงมาคือ ระยะห่างจากรอยเลื่อน และความพิดปกติอุณหภูมิพื้นผิว ซึ่งเป็นข้อยืนยันได้ว่าหากใช้ ข้อมูลอุณหภูมิพื้นผิวเพียงอย่างเดียวอาจได้ผลลัพธ์ที่ไม่ถูกต้อง สำหรับการกำหนดเกณฑ์และระดับคะแนน ของตัวแปรนั้น เนื่องจากยังไม่เคยมีงานวิจัยในประเทศไทย การศึกษานี้จึงอ้างอิงจากงานวิจัยต่างประเทศ เป็นหลัก เมื่อทำการวิเคราะห์และสอนเทียบความถูกต้องของแผนที่ศักยภาพพลังงานความร้อนใต้พิภพในพื้นที่ ภาคเหนือของประเทศไทย พบว่ามีค่าความถูกต้องร้อยละ 53.3 อยู่ในระดับปานกลาง ซึ่งเมื่อพิจารณา ตำแหน่งน้ำพุร้อนที่ปรากฏในแผนที่ระดับศักยภาพสูงทั้ง 6 แหล่ง พบว่ามีความใกล้เคียงกับ แหล่งน้ำพุร้อนที่กรมทรัพยากรน้ำดาด睐อเลือก [13] ที่มีแนวโน้มว่าจะเป็นแหล่งพลังงานความร้อนใต้พิภพ ที่เหมาะสมจำนวน 3 แหล่ง ได้แก่ น้ำพุร้อนเมืองแปง จังหวัดแม่ฮ่องสอน น้ำพุร้อนฝาง จังหวัดเชียงใหม่ และน้ำพุร้อนแม่จัน จังหวัดเชียงราย และสอดคล้องกับงานศึกษาจากมหาวิทยาลัยเชียงใหม่ [12] จำนวน 5 แหล่ง ได้แก่ น้ำพุร้อนยางพาเดียว น้ำพุร้อนแม่จัน จังหวัดเชียงราย น้ำพุร้อนสันกำแพง น้ำพุร้อนฝาง จังหวัดเชียงใหม่ และน้ำพุร้อนเมืองแปง จังหวัดแม่ฮ่องสอน สำหรับแนวทางการศึกษาต่อไปควรนำ ข้อมูลอื่น ๆ ที่เกี่ยวข้อง เช่น ความร่วมในการวิเคราะห์ รวมไปถึงข้อมูลการสำรวจทางด้านธรณีฟิสิกส์ ซึ่งเป็นการสำรวจโครงสร้างภายในโลก และควรมีการสำรวจภาคสนามเพื่อนำมาปรับปรุงเกณฑ์และ ระดับคะแนนของตัวแปรให้ล้มพันธ์กับพื้นที่เพื่อให้ได้ผลลัพธ์ที่ถูกต้องและมีประสิทธิภาพมากยิ่งขึ้น

References

- [1] Department of Mineral Resources. (1986). **Exploration of Geothermal Resources in Northern Thailand.** Complete Report. (in Thai)
- [2] Qin, Q., Zhang, N., Nan, P., and Chai, L. (2011). Geothermal Area Detection Using Landsat ETM+ Thermal Infrared Data and its Mechanistic Analysis - A Case Study in Tengchong, China. **International Journal of Applied Earth Observation and Geoinformation.** Vol. 13, Issue 4, pp. 552-559. DOI: 10.1016/j.jag.2011.02.005

- [3] Zhang, N., Qin, Q., He, L., and Jiang, H. (2012). Remote Sensing and GIS based Geothermal Exploration in Southwest Tengchong, China. In **Geoscience and Remote Sensing Symposium (IGARSS), 2012 IEEE International**. Munich, Germany. pp. 5364-5367. DOI: 10.1109/IGARSS.2012.6352395
- [4] Tian, B., Wang, L., Kashiwaya, K., and Koike, K. (2015). Combination of Well- Logging Temperature and Thermal Remote Sensing for Characterization of Geothermal Resources in Hokkaido, Northern Japan. **Remote Sensing**. Vol. 7, Issue 3, pp. 2647-2667. DOI: 10.3390/rs70302647
- [5] Chan, H.-P., Chang, C.-P., and Dao, P. D. (2017). Geothermal Anomaly Mapping Using Landsat ETM+ Data in Ilan Plain, Northeastern Taiwan. **Pure and Applied Geophysics**. Vol. 175, Issue 1, pp. 303-323. DOI: 10.1007/s00024-017-1690-z
- [6] Darge, Y. M., Hailu, B. T., Muluneh, A. A., and Kidane, T. (2019). Detection of Geothermal Anomalies Using Landsat 8 TIRS Data in Tulu Moye Geothermal Prospect, Main Ethiopian Rift. **International Journal of Applied Earth Observation and Geoinformation**. Vol. 74, pp. 16-26. DOI: 10.1016/j.jag.2018.08.027
- [7] Raksaskulwong, M. (2013). **Geothermal in Thailand: Alternative Energy**. Technical Report. Bangkok: Department of Mineral Resources. (in Thai)
- [8] Department of Mineral Resources. (2012). **Earthquakes Thailand**. Prachinburi: Thurakan Charoen Kit Co., Ltd. (in Thai)
- [9] Department of Mineral Resources. (2007). **Geology of Thailand (Second Edition)**. Bangkok: Dokbia Publishers. (in Thai)
- [10] Mwaura, D. and Kada, M. (2017). Developing a Web-Based Spatial Decision Support System for Geothermal Exploration at the Olkaria Geothermal Field. **International Journal of Digital Earth**. Vol. 10, Issue 11, pp. 1118-1145. DOI: 10.1080/17538947.2017.1284909
- [11] He, H., Hu, D., Sum, Q., Zhu, L., and Liu, Y. (2019). A Landslide Susceptibility Assessment Method Based on GIS Technology and AHP-Weighted Information Content Method: A Case Study of Southern Anhui, China. **International Journal of Geo-Information**. Vol. 8, Issue 6, pp. 1-23. DOI: 10.3390/ijgi8060266
- [12] Chiang Mai University. (2006). **Potential Assessment of Hot Springs in Thailand**. Final Report. Access (4 October 2018). Available (<http://webkc.dede.go.th/testmax/sites/default/files/Content.pdf>)
- [13] Department of Groundwater Resources. (2020). **Groundwater and Geothermal Energy**. Access (9 October 2020). Available (<http://www.dgr.go.th/th/download/23?page=31>)

แนวทางการจัดพื้นที่ภายในห้องเรียนเด็กปฐมวัยที่ส่งเสริมกิจกรรมการเรียนรู้ที่เน้นผู้เรียนเป็นสำคัญ

The Guidelines of Area Arrangement within the Early Childhood Classroom Supporting Child-Centered Learning

วิศณี ไชยรักษ์^{*} และวิไลวรรณ พานทอง¹

Vitsanee Chaiyarak^{1*} and Wilaiwan Phanthong¹

Received: October 14, 2020; Revised: March 1, 2021; Accepted: March 5, 2021

บทคัดย่อ

บทความวิจัยมีวัตถุประสงค์เพื่อศึกษาปัจจัยที่มีผลต่อการจัดพื้นที่ภายในห้องเรียนและแนวทางการจัดพื้นที่ภายในห้องเรียนเด็กปฐมวัยที่ส่งเสริมกิจกรรมการเรียนรู้ที่เน้นผู้เรียนเป็นสำคัญ กลุ่มเป้าหมายโรงเรียนสังกัดสำนักงานคณะกรรมการการศึกษาขั้นพื้นฐาน จังหวัดนครราชสีมา จำนวน 3 แห่ง ได้แก่ โรงเรียนบ้านกระทุ่มราย โรงเรียนบ้านหนองเดิน และโรงเรียนหนองตะคลอง เครื่องมือที่ใช้ในการวิจัย ได้แก่ แบบสอบถาม แบบประเมิน แบบลงเกต และแบบล้มภาษณ์ สถิติที่ใช้ได้แก่ ค่าเฉลี่ย (\bar{X}) ส่วนเบี่ยงเบนมาตรฐาน (S.D.) ค่าร้อยละ ผลการวิจัยพบว่า 1) ปัจจัยที่มีผลต่อการจัดพื้นที่ภายในห้องเรียนเด็กปฐมวัยที่ส่งเสริมกิจกรรมการเรียนรู้ที่เน้นผู้เรียนเป็นสำคัญประกอบด้วย กิจกรรมเคลื่อนไหว และจังหวะ กิจกรรมเสริมประสบการณ์ กิจกรรมคิดประสร้างสรรค์ กิจกรรมเลี้เรหรือเล่นตามมุม และกิจกรรมเกมการศึกษา การจัดวางผังภายในห้องเรียนแบ่งพื้นที่ 4 ส่วนคือ ส่วนที่ 1 พื้นที่ครุ ส่วนที่ 2 พื้นที่เก็บของส่วนตัวเด็ก ส่วนที่ 3 พื้นที่สำหรับกิจกรรมเลี้เรหรือเล่นตามมุมที่จัดวางมุมประสบการณ์และส่วนที่ 4 ที่ว่างกลางห้อง เป็นพื้นที่นั่งเรียน นอน รับประทานอาหาร กิจกรรมเคลื่อนไหวและจังหวะ และลักษณะเครื่องเรือนความมีน้ำหนักเบา เลือกใช้วัสดุที่ปลอดภัยต่อเด็กทำจากวัสดุไม้อัดปิดผิวلامิเนตหลักสิ้น ไม้ธรรมชาติ และวัสดุที่มีในห้องถันใช้ประกอบกิจกรรมการเรียนรู้ ใต้เรียนขนาดและรูปแบบที่เหมาะสม เคลื่อนย้ายได้สะดวก และ 2) แนวทางการจัดพื้นที่ภายในห้องเรียนเด็กปฐมวัยที่ส่งเสริมกิจกรรมการเรียนรู้ที่เน้นผู้เรียนเป็นสำคัญ

¹ คณะศิลปกรรมและออกแบบอุตสาหกรรม มหาวิทยาลัยเทคโนโลยีราชมงคลอีสาน นครราชสีมา

¹ Faculty of Fine Art and Industrial Design, Rajamangala University of Technology Isan, Nakhon Ratchasima

* Corresponding Author E - mail Address: cvitsanee19@yahoo.com

ออกแบบให้มีผนังกั้นแบ่งพื้นที่กลางห้องลักษณะปรับเลื่อนเปิดและปิดได้เพื่อรองรับกิจกรรมการเรียนของขั้นเรียน 2 ระดับ คือ อนุบาล 2 และอนุบาล 3 การกั้นห้องไม่นิ่นปิดกันเสียงแต่เป็นการปิดมุมมองในบางกิจกรรม พื้นที่ภายในห้องทั้ง 2 ระดับขึ้น การจัดวางคล้ายกันคือมีพื้นที่โล่งตอนกลางห้องโดยพื้นที่ มีพื้นที่มุมประслับการณ์ของกิจกรรมเสรีหรือเล่นตามมุม เป็นพื้นที่สำคัญที่สุดกับการเรียนล่วงเลเวิร์ม กิจกรรมการเรียนรู้ที่เน้นผู้เรียนเป็นสำคัญ

คำสำคัญ : การจัดพื้นที่ภายในห้องเรียน; เด็กปฐมวัย; การเรียนรู้ที่เน้นผู้เรียนเป็นสำคัญ

Abstract

This research aimed to study the factors affecting area arrangement and the guidelines of area arrangement within the early childhood classroom supporting child-centered learning. There were three schools under the Office of the Basic Education Commission, Nakhon Ratchasima Province, involved in this study, i.e. Ban Krathum Rai School, Ban Nong Doen School and Ban Nong Taklong School. Research tools include questionnaires, evaluation, observation and interview form. Statistical analysis were means (\bar{X}), standard deviations (S.D.) and percentage. The research found that 1) Factors affecting area arrangement within the early childhood classroom consisted of movement and rhythm activities, experience enhancing activities, creative arts activities, free activities or play corners and educational game activities. The space in the classroom was divided into four parts. The first part was provided for the teachers while the second part was for students' personal storage. The third part was the area for play corner activities. The fourth part was the space at the center of the room as the area for learning, sleeping, eating, movement and rhythm activities. The furniture in the classroom should be lightweight, natural and safe for children made of colorful laminate plywood, natural wood and local materials for learning activities. The desks should be in appropriate size and structure and easy to move. 2) The guidelines of area arrangement within the early childhood classroom supporting child-centered learning were that the center of classroom was separated by movable partitions to support the activities for Kindergarten 2 and 3. The partitions did not block the sound, but the vision for some activities. The area for both classrooms was organized in the same arrangement, the empty space at the center of the classroom as the area for free activity experiences or play corner activities. This was considered as the significant area to support child-centered learning.

Keywords: Area Arrangement within Classroom; Early Childhood; Child-Centered Learning

บทนำ

การจัดการศึกษาสำหรับเด็กปฐมวัยนับเป็นพื้นฐานการพัฒนาทรัพยากรมนุษย์เด็กปฐมวัยเป็นช่วงอายุสามารถพัฒนาความพร้อมทั้งทางร่างกาย อารมณ์จิตใจ สังคม และสติปัญญาได้อย่างเต็มที่ ถ้าได้รับการส่งเสริมพัฒนาการที่ถูกต้องจะเป็นผู้ที่มีคุณภาพที่ดีในอนาคต จึงต้องมุ่งที่จะพัฒนาให้มีการเรียนรู้เด็กโดยทุกด้านมีความพร้อม มีจิตใจที่เข้มแข็ง รับผิดชอบช่วยเหลือคนได้อย่างเหมาะสมกับวัย มีความสามารถในการคิดแก้ปัญหา จินตนาการและความคิดสร้างสรรค์ตามพระราชบัญญัติการศึกษาแห่งชาติ พ.ศ. 2542 [1] การจัดการศึกษาต้องยึดหลักเด็กทุกคนมีความสามารถเรียนรู้และพัฒนาด้วยตนเองได้ ซึ่งถือว่าเด็กมีความสำคัญที่สุดกระบวนการจัดการศึกษาต้องส่งเสริมให้เด็กสามารถพัฒนาตามธรรมชาติและเต็มตามศักยภาพ [2] การจัดสภาพแวดล้อมที่ดีในสถานศึกษาปฐมวัยเพื่อพัฒนาให้เกิดการเรียนรู้ภายในโรงเรียนโดยใช้ลิ้งแวดล้อมที่เหมาะสมจะช่วยให้เด็กมีโอกาสพัฒนาความสามารถในการปรับตัวพัฒนาตนเอง เด็มตามศักยภาพเด็กปฐมวัยโดยการจัดลิ้งแวดล้อมทั้งภายในและภายนอกห้องเรียน ความปลอดภัย การจัดมุ่งประสบการณ์ภายในบริเวณพื้นที่ต่างๆ ในห้องเรียน [3] แนวทางการจัดพื้นที่ภายในห้องเรียนเด็กปฐมวัยที่ส่งเสริมกิจกรรมการเรียนรู้ที่เน้นผู้เรียนเป็นสำคัญ จึงนับว่ามีความสำคัญอย่างยิ่งต่อกระบวนการจัดการเรียนการสอนพัฒนาการเด็กปฐมวัยมีคุณภาพ ศักยภาพและมาตรฐานตามวัยของเด็กปฐมวัยที่สอดคล้องกับความต้องการของห้องถันคำนึงถึงศิลปะ ภูมิปัญญาห้องถัน และวัฒนธรรมอันดีงาม

วัตถุประสงค์การวิจัย

- ปัจจัยที่มีผลต่อการจัดพื้นที่ภายในห้องเรียนเด็กปฐมวัยที่ส่งเสริมกิจกรรมการเรียนรู้ที่เน้นผู้เรียนเป็นสำคัญ
- แนวทางการจัดพื้นที่ภายในห้องเรียนเด็กปฐมวัยที่ส่งเสริมกิจกรรมการเรียนรู้ที่เน้นผู้เรียนเป็นสำคัญ

แนวคิดและทฤษฎีที่เกี่ยวข้อง

1. ทฤษฎีจิตวิทยาพัฒนาการเด็กปฐมวัย

ลักษณะทั่วไปของเด็กวัยต่อนดันเป็นวัยที่ต้องการอิสระ อยากเป็นตัวของตัวเอง อยากช่วยเหลือตัวเอง ชอบปฏิเสธและหัวดือ ไม่ชอบตามใคร จึงได้สมญาว่า “วัยช่างปฏิเสธ” โดยพฤติกรรมของเด็กจะชอบเล่นของเล่น ชอบสำรวจ อยากรู้อยากเห็น ชอบเลียนแบบผู้ที่โถกโวและแสดงความคิดสร้างสรรค์ในขณะที่เล่น

1.1 ความต้องการวัยเด็กตอนต้น [4] ดังนี้

- เด็กต้องการความรัก ต้องการให้คนอื่นรักและรักคนอื่น เด็กที่ได้รับความรักจะทำให้เด็กอบอุ่นใจ อารมณ์แจ่มใส่เมื่อค่ำ ไม่มีความรู้สึกเจ้ารัดเจ้าเบรี่ยงหรืออิจฉาริษยาเด็กอื่น

1.1.2 เด็กต้องการความปลอดภัย

- เด็กต้องการตัวแทนในลังคอม ให้เพื่อนรับรู้ว่าตนเป็นล่วงหนึ่งของลังคอม

- เด็กต้องการความอิสระ เล่นอย่างมีอิสระตามความสามารถ ความสามารถ ความสนับของตน

- ต้องการเรียนรู้โดยรอบตัว จะช่างซักถามเลียนแบบผู้ใหญ่ที่โถกโว

1.1.6 ต้องการเวลาพักผ่อนที่เพียงพอ

1.1.7 ต้องการให้ผู้ใหญ่ยอมรับและล่วงเหลิมให้ทำกิจกรรมต่าง ๆ ด้วยตนเอง

1.1.8 ต้องการความอ่อนโยนในลักษณะที่ได้รับจากแม่และจากโรงเรียนอนุบาล

1.2 ลักษณะเฉพาะของเด็กปฐมวัยที่มีช่วงอายุประมาณ 2 - 6 ปี [5] ดังนี้

1.2.1 วัยของการสำรวจค้นคว้า คือ ช่วงเวลาของการค้นคว้าสภาพแวดล้อมต่าง ๆ เพื่อเมื่อเด็กอายุ 2 ขวบขึ้นไปแล้ว เด็กเริ่มมีความสามารถควบคุมการทำงานของร่างกายได้ จึงทำให้เด็กพ้อใจที่จะสำรวจลิ่งเปลกลใหม่ ๆ ที่เห็นคืออะไร มีชื่อว่าอะไร มีความรู้สึกเป็นอย่างไร

1.2.2 วัยของการเกิดปัญหา คือเป็นพฤติกรรมที่แตกต่างไปจากวัยทารก เช่น เด็กมีลักษณะไม่ยอมเชือฟังขอบปฏิเสธมีความหวาดกลัวและริษยา

1.2.3 วัยที่ชอบเล่นของเล่น คือเด็กมีความชอบในการเล่นของเล่นมากและความสนใจลดลงหลังจากเข้าโรงเรียน

1.2.4 วัยของการเตรียมตัวเข้ากลุ่มเพื่อน นักจิตวิทยาพบว่าวัยของการเตรียมตัวเข้ากลุ่มเพื่อนจัดเป็นช่วงเวลาที่สำคัญ เพราะถ้าเด็กมีการเรียนรู้พื้นฐานต่าง ๆ ตามพฤติกรรมทางลังค์ การเตรียมตัวจะช่วยให้เด็กสามารถจัดระบบในชีวิตของคนตามลังค์เพื่อให้สามารถปรับตัวในลังค์ได้ต่อไป

1.2.5 วัยของการเตรียมตัวเข้าสู่โรงเรียน คือเด็กในวัยนี้เป็นวัยที่ต้องเตรียมตัวเข้าสู่โรงเรียน แต่ในความเป็นจริงเด็กบางคนเข้าโรงเรียนลำบากนั่นเด็กเล็ก เด็กบางคนอยู่บ้านและมีการเตรียมตัวที่จะไปโรงเรียน จึงทำให้เด็กได้รับความกดดันและคาดหวังให้มีการเรียนรู้ในลิ่งต่าง ๆ ที่มีความแตกต่างไปจากโรงเรียนซึ่งเด็กต้องเข้ารับการศึกษาต่อไป

1.2.6 วัยที่ไม่น่ารัก คือพ่อแม่มักให้ความช่วยเหลือเด็กปฐมวัยน้อยลง เด็กมีความรู้สึกต่อต้านความช่วยเหลือจากพ่อแม่และบุคคลอื่นที่มีอายุมากกว่าเด็กไม่ยอมรับการแสดงออกในเรื่องความรักทำให้เด็กลดความน่ารักลงไป

1.2.7 วัยแห่งการสร้างสรรค์ คือเด็กจะมีความคิดสร้างสรรค์ในการเล่นซึ่งสามารถพบรูปได้โดยการลังเกต

1.2.7 วัยแห่งการเลียนแบบ คือเด็กวัยนี้ชอบเลียนแบบผู้ที่ตอกว่า เช่น คำพูด กิริยา ท่าทาง นิสัยของผู้ใหญ่

2. การเรียนรู้ที่เน้นผู้เรียนเป็นศูนย์กลาง

การเรียนการสอนโดยยึดผู้เรียนเป็นสำคัญ [6] คือการเรียนที่ผู้เรียนมีบทบาทสำคัญที่สุด ผู้เรียนเป็นผู้มีส่วนร่วมในกิจกรรมการเรียนรู้ ทั้งทางร่างกายสติปัญญา ลังค์และอารมณ์ ได้มีโอกาสแล้วหำความรู้ ข้อมูล คิดวิเคราะห์และสร้างความหมาย ความเข้าใจในสาระและกระบวนการเรียนรู้ ด้วยตนเอง รวมทั้งลงมือปฏิบัติจัดกระทำและนำความรู้ไปประยุกต์ในชีวิตประจำวัน

หลักการจัดประสบการณ์การเรียนรู้ที่เน้นผู้เรียนเป็นสำคัญ เพื่อให้การเรียนรู้เป็นไปอย่างได้ผล การจัดประสบการณ์การเรียนควรยึดหลัก [7] ดังนี้

2.1 การเรียนรู้เป็นกระบวนการที่ควรเป็นไปอย่างมีชีวิตชีวาผู้เรียนจึงควรมีบทบาท ความรับผิดชอบต่อการเรียนรู้ของตนเองและมีส่วนร่วมในกิจกรรมการเรียนการสอน

2.2 การเรียนรู้เกิดขึ้นได้จากแหล่งต่าง ๆ มิใช่มาจากการแท็ล์ฟันนิ่งเพียงแหล่งเดียว ประสบการณ์ความรู้ลึกนึกคิดของแต่ละบุคคลถือว่าเป็นแหล่งการเรียนรู้ที่สำคัญ

2.3 การเรียนรู้ที่จะต้องเป็นการเรียนรู้ที่เกิดจากการสร้างความรู้ และความเข้าใจด้วยตนเอง จึงจะช่วยให้ผู้เรียนจะสามารถใช้การเรียนรู้นั้นให้เป็นประโยชน์ได้ เป็นการค้นพบด้วยตนเอง เกิดความเข้าใจลึกซึ้งจะจำได้ดี

2.4 การเรียนรู้กระบวนการที่มีความสำคัญ ผู้เรียนเข้าใจและมีทักษะเรื่องกระบวนการเรียนรู้ แล้วจะสามารถใช้เป็นเครื่องมือในการสำรวจหาความรู้และคำตอบต่าง ๆ ที่ตนต้องการได้

2.5 การเรียนรู้ที่มีความหมายแก่ผู้เรียนคือ การเรียนรู้ที่ผู้เรียนสามารถนำไปใช้ในชีวิตประจำวันได้

3. การจัดสภาพแวดล้อมห้องเรียน

การจัดสภาพแวดล้อมห้องเรียน [8] ที่เหมาะสมเด็กปฐมวัยเป็นลิสต์สำคัญเพื่อสำหรับเด็กกลุ่มต่อไปนี้ การพัฒนาการด้านต่าง ๆ ของเด็กการจัดสภาพแวดล้อมสำหรับเด็กคือ การส่งเสริมให้เด็กได้เจริญเติบโตในบรรยาการที่เหมาะสมมีความมั่นคงทางอารมณ์และจิตใจ

3.1 หลักการออกแบบสภาพแวดล้อมสำหรับเด็ก [9] ดังนี้

3.1.1 หลักการออกแบบและจัดสภาพแวดล้อมของห้องเรียนเด็กมีผลต่อการเรียนของเด็กมาก เด็กอยู่ในสภาพแวดล้อมที่ไม่สบายนี้ การจัดสภาพแวดล้อมภายในห้องเรียนเด็ก ต้องทำให้เด็กเคลื่อนไหวได้อย่างอิสระ มีเครื่องเรือนที่ได้สัดส่วนกับร่างกายของเด็กความยืดหยุ่นในการจัดห้อง และพื้นที่ตอบสนองประโยชน์ใช้สอยอย่างเต็มที่จะส่งผลให้เด็กมีพัฒนาการสร้างสรรค์ทุกด้าน

3.1.2 การจัดพื้นที่ห้องเรียน หรือห้องกิจกรรมหากแบ่งเป็นพื้นที่แต่ละกิจกรรมเป็นมุมนั้น ส่งเสริมให้เด็กได้ค้นหาศึกษาและตั้งใจทำงานของเขามากขึ้น และทำให้เด็กได้เคลื่อนย้ายจากกิจกรรมหนึ่งไปยังกิจกรรมหนึ่งได้คล่องตัวมากยิ่งขึ้นเด็กสามารถเดินผ่านไปได้รอบ ๆ ห้อง โดยไม่รบกวนกลุ่มกิจกรรมอื่นทำให้ลดความขัดแย้งของการใช้พื้นที่อุปกรณ์ของแต่ละกิจกรรม ควรวางไว้ในที่เทินได้ชัดและแยกประเภทไว้ไม่ให้ปะปนกัน เด็กได้เดินไปมาเพื่อเลือกกิจกรรมที่เข้าชองได้อย่างคล่องตัว เครื่องเรือนภายในห้องกิจกรรมไม่ควรมีความสูงมาก ผู้ดูแลสามารถดูแลเด็กอย่างทั่วถึงโดยขั้นหนังสือหรือชั้นวางของต่าง ๆ ความมีความสูงไม่เกิน 1.20 เมตร

3.1.3 ขนาดพื้นที่ห้องเรียน หรือห้องกิจกรรม ควรมีความกว้างพอที่เด็กจะเล่นได้อย่างสบายและปลอดภัยโดยเด็ก 1 คน จะใช้พื้นที่ในการเล่นหรือการทำกิจกรรมประมาณ 40 - 60 ตารางฟุต หรือ 3.72 - 5.57 ตารางเมตร ขนาดห้องเรียนตามกำหนดที่เหมาะสมคือ 5×7 เมตร มีค่าเท่ากับ 35 ตารางเมตร หรือ 6×6 เมตร หรือ 7×9 เมตร ต้องคำนึงถึงจำนวนเด็กอย่างมากหรือน้อยเกินไป หากมากเกินไปเกิดปัญหาการแย่งพื้นที่ ถ้า้อยเกินไปทำให้เด็กพื้นที่ใช้สอยที่น่าสนใจได้ยากเด็กเกิดความลับสันในการใช้พื้นที่

3.1.4 วัสดุห้องเรียนหรือห้องกิจกรรม พื้นที่ภายในห้องเรียนของเด็กวัยก่อนเรียน มักจะมีอุบัติเหตุการพื้นเปียกเกิดขึ้นเสมอ การเลือกวัสดุพื้นควรมีคุณสมบัติที่แห้งเร็ว ถูกสุขลักษณะ ทำความสะอาดง่ายทนทานและดูดเลี้ยง โดยปกติเด็กนิยมเล่นและทำกิจกรรมบนพื้น พื้นควรสะอาดและมีความยืดหยุ่นในตัววัสดุ

3.1.5 การใช้สีของห้องเรียน

- คำนึงถึงความต้องการของร่างกายและจิตใจของผู้เรียน ไม่ควรให้สีตัดกัน หรือสว่างเกินไปจนระคายเคืองตาหรืออีดอัด รุ่มร้อน เด็กเล็กควรใช้สีอ่อนๆ ไม่

- ขนาดและลักษณะของห้อง ถ้าเป็นห้องสีเหลี่ยมจัตุรัสควรทำให้ห้องคۇياۋىنىڭ ด้วยการทาสีด้านหน้าและด้านหลัง เป็นโทนสีเย็นเพื่อให้ผนังด้านหน้าและด้านหลังดูห่างกันออกไป ห้องที่ยาวเกินไปควรทาด้วยสีโทนอุ่นที่ผนังด้านหน้าและด้านหลังเพื่อดึงให้ผนังดูใกล้เข้ามา

- ทิศทางของห้อง ห้องที่อยู่ทิศใต้และทิศตะวันตกมักถูกรับแสงแดดส่อง และความร้อนในช่วงบ่ายอยู่เสมอควรใช้โทนสีเย็น

- สภาพดินฟ้าอากาศ ประเทศเมืองร้อนนิยมใช้สีโทนเย็น ประเทศเมืองหนาวนิยมใช้สีโทนอุ่น ประเทศที่แห้งแล้งจัดนิยมใช้สี เย็นสดใสให้ชีวิตชีวา เช่น พ้าคราม เชียว ม่วงคราม

- ทัศนียภาพโดยรอบมีสีโทนอุ่นมาก เช่น ตัวอาคาร ผนัง หลังคาสีโทนอุ่น ควรใช้สีโทนเย็นมาช่วยลดความรู้สึก

- อุปกรณ์ ครุภัณฑ์ ควรเลือกสีที่มีความเข้มและระดับกลาง ๆ เพื่อไม่ให้สีตัด กันพื้นผนังจันชัคตาก้าห้องเล็กแคบมีนักเรียนค่อนข้างแน่น ของใช้ควรเป็นสีอ่อน ๆ ค่อนข้างเย็นถ้าเป็นไปได้ อาจใช้สีธรรมชาติของไม้หรือทำให้ลือ่อนลงจะช่วยให้ห้องสว่างขึ้น

3.2 การจัดพื้นที่ภายในเพื่อพัฒนาเด็กปฐมวัย พื้นที่สำหรับการทำกิจกรรมภายในห้องเรียน เพื่อพัฒนาเด็กปฐมวัย หลักการจัดสภาพแวดล้อมภายในห้องเรียน [10] ดังนี้

3.2.1 ห้องเรียนระดับก่อนประถมศึกษาจะต้องสะตวาก มีแสงสว่างเพียงพอ ปลอดภัย และกว้างได้สัดส่วนกับจำนวนเด็ก มีพื้นที่กว้างเฉลี่ยไม่น้อยกว่า 1 ตารางเมตร ต่อเด็ก 1 คน

3.2.2 ครุภัณฑ์ภายในห้องเรียน เช่น โต๊ะ เก้าอี้ ตู้เก็บเครื่องใช้ส่วนตัว ชั้นวางของ มีขนาดเหมาะสมและเพียงพอ กับจำนวนเด็ก เลือกใช้สีอ่อนหรือสีธรรมชาติ

3.2.3 สื่อและเครื่องเล่นออกแบบกำลังกิจกรรมที่จำนวนเพียงพอ ปลอดภัยอยู่ในสภาพที่ใช้ได้ สอดคล้องกับหลักการจัดการศึกษา

3.2.4 การจัดแบ่งพื้นที่ในห้องเรียน ควรดำเนินการจัดมุมประสบการณ์ต่าง ๆ อย่างน้อย 4 มุม เช่น มุมบล็อก มุมหันหลัง มุมวิทยาศาสตร์ มุมดนตรี เด็กสามารถเคลื่อนที่จากมุมประสบการณ์ต่าง ๆ อย่างอิสระโดยไม่รบกวนเด็กคนอื่น

3.2.5 การกำหนดพื้นที่สำหรับจัดกิจกรรมให้เหมาะสมกับการจัดกิจกรรมรายบุคคล กิจกรรมกลุ่มย่อยและกลุ่มใหญ่ให้ชัดเจนช่วยล่งเสริมพัฒนาการเด็กให้เกิดพฤติกรรมที่พึงประสงค์ตามหลักสูตร

3.2.6 การจัดสภาพแวดล้อมทั่วไปในห้องเรียน ควรจัดให้มีสภาพและบรรยากาศอบอุ่น เหมือนบ้านเพื่อเร้าความสนใจให้เด็กอย่างมารถเรียนและสามารถใช้ประโยชน์จากห้องเรียนได้ทั้งหมด เช่น ห้องรับประทานอาหาร พักผ่อน เป็นต้น

3.2.7 การจัดป้ายนิเทศ ควรดำเนินถึงความเหมาะสมของกิจกรรมในห้องเรียนและ ล่งเสริมให้เกิดประโยชน์กับเด็กโดยตรงความสูงและขนาดควรอยู่ในระดับสายตาเด็ก

วิธีดำเนินการวิจัย

การดำเนินการวิจัยแนวทางการจัดพื้นที่ภายในห้องเรียนเด็กปฐมวัยที่ส่งเสริมกิจกรรมการเรียนรู้ที่เน้นผู้เรียนเป็นสำคัญ วิธีดำเนินการวิจัยดังนี้

1. ศึกษาทฤษฎีและงานวิจัยที่เกี่ยวข้องกับการเรียนรู้ และทฤษฎีแนวทางการจัดพื้นที่ภายในห้องเรียนเด็กปฐมวัยที่ล่ำเสียงกิจกรรมการเรียนรู้ที่เน้นผู้เรียนเป็นสำคัญ โรงเรียนสังกัดสำนักงานคณะกรรมการการศึกษาขั้นพื้นฐาน จังหวัดนครราชสีมา เครื่องมือที่ใช้ ได้แก่ แบบสอบถาม แบบประเมิน แบบล็อกเกต และแบบสัมภาษณ์ ดังตารางที่ 1

2. สำรวจและเก็บรวบรวมข้อมูลโดยการสัมภาษณ์ แบบสอบถาม แบบล็อกเกต แบบประเมิน โรงเรียนจัดการเรียนการสอนระดับปฐมวัย สังกัดสำนักงานคณะกรรมการการศึกษาขั้นพื้นฐาน จังหวัดนครราชสีมา จำนวน 3 แห่ง ได้แก่ โรงเรียน หนองตะคลอง โรงเรียนบ้านกระทุ่มราย และโรงเรียนบ้านหนองเด่น ตามลำดับ ดังรูปที่ 1 บรรยายค่าในห้องเรียนเป็นช่วงของการทำกิจกรรมประจำวัน เช่น กิจกรรมเสริมประสบการณ์ และกิจกรรมเสริม โรงเรียนหนองตะคลอง และโรงเรียนกระทุ่มราย จะมีโต๊ะเรียนให้เด็กได้นั่งทำกิจกรรมตามที่ครูจัดไว้ ในด้านกิจกรรมเคลื่อนไหวและจังหวะเด็กจะใช้พื้นที่ว่างของห้องในการเล่นชุมชน และกิจกรรมการนอนพักผ่อนใช้พื้นที่ว่างกลางห้องเป็นที่นอนโดยเด็ก ๆ หยิบเบะที่เก็บในชั้นวางในตำแหน่งประจำที่ครูทำเครื่องหมายไว้

ตารางที่ 1 เครื่องมือที่ใช้ในการวิจัย

แบบสอบถาม	<ol style="list-style-type: none"> ข้อมูลทั่วไปผู้ตอบแบบสอบถาม ได้แก่ เพศ ตำแหน่งหน้าที่ อายุ ภูมิการศึกษา การจัดพื้นที่กิจกรรมภายในห้องเรียนการจัดพื้นที่ภายในห้องเรียนระดับปฐมวัย ความคิดเห็นครูต่อสิ่งแวดล้อมภายในห้องเรียน ได้แก่ ลักษณะความเหมาะสม การจัดโต๊ะเรียน คำแนะนำเพิ่มเติม
แบบประเมิน	<ol style="list-style-type: none"> ผังพื้นที่ภายในห้องเรียนแสดงความล้มพันธ์ของตำแหน่งการจัดวางเครื่องเรือน อุปกรณ์การจัดกิจกรรมที่สอดคล้องกับการเน้นผู้เรียนเป็นสำคัญ จำนวนเครื่องเรือนและอุปกรณ์ ผังตำแหน่งดวงไฟและฝ้าเพดาน
แบบล็อกเกต	<ol style="list-style-type: none"> ข้อมูลทั่วไปของโรงเรียน ได้แก่ ชื่อโรงเรียน ตำแหน่งที่ตั้ง จำนวนนักเรียน ผังพื้นที่ภายในห้องเรียน แสดงความล้มพันธ์ การจัดวางเครื่องมือ อุปกรณ์ การจัดกิจกรรม จำนวนเครื่องเรือนและอุปกรณ์ที่ใช้ในห้องเรียน ผังตำแหน่งดวงไฟและฝ้าเพดานภายในห้องเรียน
แบบสัมภาษณ์	<ol style="list-style-type: none"> สัมภาษณ์แบบไม่เป็นทางการกับผู้บริหาร ครู ที่เกี่ยวข้องการจัดการเรียนการสอน ที่เน้นผู้เรียนเป็นสำคัญ



(ก) ห้องเรียนโรงเรียนบ้านหนองตะคลอง



(ข) ห้องเรียนโรงเรียนบ้านกระทุมราย



(ค) ห้องเรียนโรงเรียนบ้านหนองเดิน

รูปที่ 1 สำรวจและเก็บรวบรวมข้อมูล

3. วิเคราะห์องค์ประกอบแนวทางการจัดการเรียนการสอนของเด็กปฐมวัย พฤติกรรม กิจกรรม การเรียนการสอนครูและเด็กปฐมวัยความคิดเห็นและทัศนคติผู้บริหาร ครูที่เกี่ยวข้องกับการจัดการเรียน การสอน และการวิเคราะห์เปรียบเทียบการใช้พื้นที่ของกิจกรรมในห้องเรียนเด็กปฐมวัย ดังตารางที่ 2 ขนาดพื้นที่ใช้สอยภายในห้องเรียนความล้มเหลวการวิเคราะห์ สภาพแวดล้อมภายในห้องเรียนเด็กปฐมวัย ดังตารางที่ 3

ตารางที่ 2 การวิเคราะห์เปรียบเทียบการใช้พื้นที่ของกิจกรรมในห้องเรียนเด็กปฐมวัย

โรงเรียน	หนองตะคลอง	บ้านกระทุ่มราย	บ้านหนองเดิน
เคลื่อนไหวและจังหวะ			
ขนาดพื้นที่	30 ตรม.	26 ตรม.	47 ตรม.
กิจกรรมคิลปะ และสร้างสรรค์			
ขนาดพื้นที่ กิจกรรมสร้างสรรค์ กิจกรรมเสรี	37 ตรม. 6 ตรม.	24.50 ตรม. 12.50 ตรม.	พื้นที่เดียวกัน 51 ตรม.
กิจกรรม เสริมประสบการณ์			
ขนาดพื้นที่	63 ตรม.	24.50 ตรม.	25 ตรม.
กิจกรรมกลางแจ้ง	นอกห้องเรียน	นอกห้องเรียน	นอกห้องเรียน
กิจกรรมเกมการศึกษา			
ขนาดพื้นที่	24 ตรม.	24.50 ตรม.	47 ตรม.

ตารางที่ 2 การวิเคราะห์เปรียบเทียบการใช้พื้นที่ของกิจกรรมในห้องเรียนเด็กปฐมวัย (ต่อ)

โรงเรียน	หนองตะคลอง	บ้านกระทุ่มราย	บ้านหนองเดิน
กิจกรรมการอนุบาลวัน			
ขนาดพื้นที่	20 ตรม.	19 ตรม.	87 ตรม.

ตารางที่ 3 การเปรียบเทียบการวิเคราะห์สภาพแวดล้อมภายในห้องเรียนเด็กปฐมวัย

ผ้าห่มห้องเรียน	บ้านหนองตะคลอง	บ้านกระทุ่มราย	บ้านหนองเดิน
สภาพแวดล้อมห้องเรียน			
ห้องเรียน			
ลักษณะอาคาร	อาคารโรงฟิกาน ห้องเรียน ลักษณะก่ออิฐฉาบปูนชั้นเดียว	ก่ออิฐฉาบปูนชั้นเดียว	ก่ออิฐฉาบปูนชั้นเดียว
พื้นที่	$10.50 \times 12.00 = 126$ ตรม.	$7.00 \times 12.00 = 96.00$ ตรม.	$10.50 \times 12.00 = 126$ ตรม.
ความสูงห้อง	3 ม.	3 ม.	3 ม.
พื้น	กระเบื้องขนาด 0.30×0.30 ม. ลิ้น้ำตาลลายไม้	กระเบื้องขนาด 0.30×0.30 ม. ลิ้นไวนิลลายไม้	กระเบื้องขนาด 0.30×0.30 ม. ลิ้นไวนิลลายไม้
ผนัง	ก่ออิฐฉาบปูนทาสีขาว	ก่ออิฐทาสีขาว	ก่ออิฐทาสีเขียวและผนัง ด้านทึบ 1ด้าน มีวดกาว ระบายลิววิทวัคัน
เพดาน	ไม้มีเพดานหลังคากระเบื้อง	ฝ้าทึบวาร มีลายแปดเหลี่ยม	ไม้มีเพดานหันโครงหลังคาเหล็ก
ประตู	กระจกบานเลื่อนและ แบบบานพักเหล็กแนวตั้ง	ไม้ตัดทาสีขาว 2 บาน และประตูกระจกใสบานเปิดคู่	บานเหล็กม้วนเก็บด้านบน
หน้าต่าง	บานเปิดเหล็กทาสีฟ้า/ ไม่มีม่าน	ไม้ทาสีออกเข้ม/ไม่มีม่าน	บานเหล็กทาสีขาว/ไม่มีม่าน

ตารางที่ 3 การเปรียบเทียบการวิเคราะห์สภาพแวดล้อมภายในห้องเรียนเด็กปฐมวัย (ต่อ)

	บ้านหนองตะคลอง	บ้านกระถุ่มราย	บ้านหนองเดื่น
ช่องแสง	กระจกและตะแกรงลวดไปร์ง	ช่องแสงอิฐบล็อก	กระจกใส่สลับตะแกรงลวด
ระบบล่อสั่งสว่าง	ฟลูออเรสเซนต์ 2 จุด	ฟลูออเรสเซนต์ 4 จุด	ฟลูออเรสเซนต์ 1 จุด
เครื่องเรือน	เครื่องเรือนแบบติดริมผนัง ลักษณะลอยตัว วัสดุทำจากไม้และ ไม้อัด ไม้จริง และชุดล่าเริ่ง ^{แบบตู้ชั้นเตี้ยที่มีช่อง ใส่ของลึกลึ้นขึ้น}	เครื่องเรือนทำจากไม้อัด พลาสติกเป็นลักษณะ ตู้เตี้ยแบบมีช่องใส่ของ มีแบบตู้สูงขนาดเบ็ดrage ไม้ วางชิดผนัง	เครื่องเรือนทำจากไม้อัด ไม้จริงทำลี ชุดตู้ล่าเริ่งรูป ลักษณะตู้เตี้ยแบบมีช่องใส่ของ แบบเป็นบานเปิดตั้งอยู่ บริเวณริมผนังรอบห้อง

ผลการวิเคราะห์ข้อมูลมิติของการประเมินสภาพห้องเรียนที่ล่งเสริมการเรียนรู้ที่เน้นผู้เรียนเป็นสำคัญ มีดังนี้ ด้านการจัดพื้นที่กิจกรรมพบว่า พื้นที่ที่ทำการจัดประสบการณ์ภายในห้องเรียนที่มีความสอดคล้องกับหลักสูตรที่เน้นผู้เรียนเป็นสำคัญ คือ มุมประสบการณ์คิดเป็นร้อยละ 94.40 ลักษณะการจัดพื้นที่ที่ส่วน กิจกรรมเสริมหรือการเล่นตามมุมพบว่า การจัดแบบกลุ่มย่อยตามมุมห้องที่ครูจัดให้มีระเบียบคิดเป็นร้อยละ 66.7 การจัดพื้นที่ส่วนกิจกรรมบล็อก/มุมประสบการณ์และทางสัญจร การจัดพื้นที่ส่วนกลางเป็นส่วนอนกประสงค์ สามารถปรับเปลี่ยนกิจกรรมได้ เช่น ใช้วัวโตะเรียน นอนและบริเวณรอบห้องมีหินเก็บอุปกรณ์คิดเป็นร้อยละ 52.80 การจัดพื้นที่ส่วนกิจกรรมเสริมประสบการณ์ แบบเป็นนั่งพื้นครึ่งวงกลมคิดเป็นร้อยละ 47.20 ภายในห้องเรียนที่สามารถปรับเปลี่ยนสร้างสภาพแวดล้อมภายในห้องเรียนเพื่อช่วยบรรยายกาศของห้องเรียนสอดคล้องกับการเรียนแบบเน้นผู้เรียนเป็นสำคัญพบว่า มุมประสบการณ์ เช่น มุมหนังสือ มุมบล็อก คิดเป็นร้อยละ 94.40 โดยสิ่งแวดล้อมภายในห้องเรียนที่จะระดับให้ครูและเด็กนักเรียนรู้สึก มีชีวิตชีวาพบว่า ที่มุมประสบการณ์และเรื่องความสะอาดมากที่สุดคิดเป็นร้อยละ 83.30 รองลงมาคือ ความมีระเบียบร้อยคิดเป็นร้อยละ 58.30 ส่วนจัดนิทรรศการที่ปรับเปลี่ยนตามคุณภาพคิดเป็นร้อยละ 58.30 การจัดการเรียนการสอนคิดเป็นร้อยละ 55.00

4. ออกแบบการจัดพื้นที่ภายในห้องเรียนเด็กปฐมวัยที่สอดคล้องกับธรรมชาติและชุมชน ในห้องถันพัฒนาเด็กปฐมวัยเด็กตามคักยกภาพด้านร่างกาย อารมณ์ ลักษณะจิตใจ และสติปัญญา

5. นำผลการวิเคราะห์ห้องค์ประกอบแนวทางการจัดการเรียนการสอนของเด็กปฐมวัยนำข้อมูลไปใช้ แนวทางการจัดพื้นที่ภายในห้องเรียนเด็กปฐมวัยที่ล่งเสริมกิจกรรมการเรียนรู้ที่เน้นผู้เรียนเป็นสำคัญ

ผลการวิจัยและอภิปรายผล

ผลการวิจัย

1. ปัจจัยที่มีผลต่อการจัดพื้นที่ภายในห้องเรียนเด็กปฐมวัยที่ล่งเสริมกิจกรรมการเรียนรู้ที่เน้นผู้เรียนเป็นสำคัญ

1.1 กิจกรรมประจำวันที่ครูผู้สอนต้องจัดประสบการณ์เรียนรู้ที่เน้นผู้เรียนเป็นสำคัญ เด็กนักเรียนมีส่วนร่วมในการวางแผนกิจกรรมสามารถปฏิบัติด้วยตนเองและมีส่วนร่วมในการประเมินผล ครูต้องลงบทบาทในห้องเรียนลงแต่อำนวยความสะดวก ในการเข้าถึงการเรียนรู้ที่กับ

เด็กนักเรียน และกิจกรรมเด็กใช้ประสานผัสพัทท์ 5 ได้แก่ การล้มพัสดุ มองเห็น ขีมรส การฟังและคอมพลิน เด็กได้เคลื่อนไหวอย่างมีความสุข ซึ่งทุกกิจกรรมหลักตามหลักสูตรปฐมวัย ประกอบด้วย กิจกรรม เคลื่อนไหวและจังหวะ กิจกรรมเสริมประสบการณ์ กิจกรรมคิลปะสร้างสรรค์ กิจกรรมเลือหรือเล่นตามมุม และกิจกรรมเกมการศึกษา สามารถจัดประสบการณ์เรียนรู้ตามลักษณะการเน้นผู้เรียนเป็นสำคัญได้ทุกกิจกรรม โดยมีกิจกรรมเลือหรือเล่นตามมุมเป็นกิจกรรมที่เด็กได้แสดงตัวตนและเน้นผู้เรียนเป็นสำคัญมากที่สุด

1.2 การจัดวางพื้นที่ภายในห้องเรียนต้องมีความสอดคล้องและสัมพันธ์กับกิจกรรมการเรียน

โดยสามารถรองรับมุมประสบการณ์ของกิจกรรมเลือหรือเล่นตามมุม และกิจกรรม การเรียนตามหลักสูตรปฐมวัยแบ่งพื้นที่ได้เป็น 4 ส่วนคือ

ส่วนที่ 1 พื้นที่ครุประกอบด้วย โต๊ะทำงานครุ 2 ท่า� พร้อมที่ชั้นวางอุปกรณ์เอกสาร การสอน อยู่บริเวณใกล้ทางเข้าห้องเรียน ชั้นเก็บงานเด็ก รวมประมาณ 4 ชั้น บอร์ดเคลื่อนที่ รวมใช้พื้นที่ ประมาณ 6.50 ตารางเมตร (คิดจากพื้นที่ทำงานครุต่อคน 0.36 ตารางเมตร รวมพื้นที่ลัญจร 0.10 ตารางเมตร $\times 2$ คน = 0.46 ตารางเมตร และรวมพื้นที่ชั้นเก็บของประมาณ 1.80 ตารางเมตร รวมเป็น 6.50 ตารางเมตร)

ส่วนที่ 2 พื้นที่เก็บของส่วนตัวเด็ก (คิดจากชั้นเก็บกระเปาเครื่องเรือน 0.40 ตารางเมตร $\times 3$ ชั้น = 1.20 ตารางเมตร) รวมทางลัญจร และพื้นที่ดื่มน้ำรวมเป็น 3 ตารางเมตร

ส่วนที่ 3 พื้นที่สำหรับกิจกรรมเลือหรือเล่นตามมุมที่จัดวางมุมประสบการณ์ต่าง ๆ มีความสัมพันธ์มากที่สุดกับการจัดกิจกรรมการเรียนรู้เพื่อตอบสนองพัฒนาการตามวัยที่เน้นผู้เรียนเป็นสำคัญ มุมประสบการณ์ที่ควรมีภายในห้องเรียนอย่างน้อย 5 มุม คือ 1) มุมหนังสือเป็นมุมสำหรับการอ่านหนังสือ ที่เหมาะสมกับวัยหรือหนังสือนิทานห้องถิน โดยชั้นวางหนังสือมีลักษณะวางแบบโชว์หน้าปากและความสูงระดับเด็กเลือกหยิบอ่านได้ ภายในมุมประกอบด้วย ส่วนนี้อ่านอิสระ 2) มุมบล็อกสำหรับการเล่นของเล่นไม้บล็อก และอุปกรณ์ประกอบการเล่น ซึ่งวัสดุอาจประยุกต์ทำได้จากห้องถินการจัดวางบนชั้นวางให้เด็กเลือกเล่น ตามความสนใจ 3) มุมบ้านสมมติ/บทบาทสมมติสำหรับการเล่นของเด็ก ลักษณะเหมือนเล่นอยู่ในบ้าน โดยสมมติว่าตนเองเป็นบุคคลในครอบครัวมีอุปกรณ์ของเล่นให้เลือกเล่น เช่น บ้านเล่นสมมติ ตุ๊กตา เครื่องครัวจำลอง เลือกผ้า 4) มุมดนตรีสำหรับที่จัดวางเครื่องดนตรี ประเภทเคาะ ดีด ลี ตี เป่า เด็กเลือก หยิบเล่นอย่างอิสระโดยต้องจดมุ่นให้อยู่ใกล้จากมุ่นที่ไม่ใช้เลียงเพราเวลาเล่นจะเกิดเสียงรบกวน 5) มุมเกม การศึกษา/เครื่องเล่นล้มพัสดุ โดยพื้นที่สำหรับการจัดกิจกรรมการเรียนรู้ของเด็กมีอัตราส่วน 2 ตารางเมตร ต่อเด็ก 1 คน เป็นอย่างน้อยโดยในแต่ละมุมจะใช้พื้นที่ประมาณ 1 ตารางเมตร (คิดจากชั้นจำนวน 2 ชั้น $0.40 \times 0.90 \times 2 = 0.72$ บวกทางลัญจร $0.36 = 1.08$ ตารางเมตร) ดังนั้น 5 มุมจะใช้พื้นที่ประมาณ 8 ตารางเมตร การจัดวางมุมเครื่องเรือนประสบการณ์สามารถวางแบบช่วงเพื่อให้เกิดมุมพื้นที่

ส่วนที่ 4 คือที่ว่างกลางห้อง ซึ่งเป็นพื้นที่นั่งเรียน นอน รับประทานอาหาร และ จัดกิจกรรมการเรียน คือ กิจกรรมเคลื่อนไหวและจังหวะ กิจกรรมเสริมประสบการณ์ กิจกรรมคิลปะสร้างสรรค์ และกิจกรรมเกมการศึกษา ใช้พื้นที่ประมาณ 72 ตารางเมตร (คิดจากจำนวนเด็ก 36 คน ใช้คนละ 2 ตารางเมตร รวมพื้นที่ลัญจร)

1.3 ลักษณะเครื่องเรือน ควรเป็นเครื่องเรือนลักษณะลอยตัวทั้งหมดมีขนาดเหมาะสมกับเด็ก น้ำหนักเบาและปลอดภัยเลือกใช้วัสดุที่ปลอดภัยต่อเด็ก ส่วนใหญ่ทำจากวัสดุไม้อัดปิดผิว Laminate แหลมไม่คมชาติทำลิ้นสอดใส่ เช่น ฟ้า ชมพู เขียว และวัสดุที่ไม่ในห้องถินมาใช้ประกอบกิจกรรมการเรียนรู้ เครื่องเรือนหลักมีดังนี้

1) โต๊ะเรียนเด็กต้องมีขนาดและรูปแบบที่เหมาะสมกับเด็ก โดยมีน้ำหนักเบาเคลื่อนย้ายได้สะดวกสามารถจัดเป็นกลุ่มตามความเหมาะสมของกิจกรรม สรุปเป็นลักษณะโต๊ะเรียนสำเร็จรูป สีเหลี่ยมผืนผ้าแบบกลุ่ม 6 ที่นั่ง กว้าง 60 เซนติเมตร ยาว 120 - 150 เซนติเมตร สูง 50 เซนติเมตร เก้าอี้มีขนาดกว้าง 25 เซนติเมตร ยาว 28 เซนติเมตร ความสูงระหว่างนั่ง 26 - 30 เซนติเมตร และพนังพิง 64 เซนติเมตร กระดานสามารถเคลื่อนที่อิสระตามกิจกรรมการเรียนได้

2) เครื่องเรือนประเภทชั้นวางที่นอนและอุปกรณ์ ไม่ควรมีเหลี่ยมและมุม น้ำหนักเบาสามารถเคลื่อนย้ายปรับเปลี่ยนตำแหน่งได้สะดวก สอดคล้องกับกิจกรรมการเรียนรู้พัฒนาการเด็กปฐมวัย ลักษณะชั้นเป็นช่องเปิดโล่งไม่มีบานปิดทึบ เด็กหยอดเก็บมองเห็นอุปกรณ์ที่ใช้ในชั้นได้ ความกว้างประมาณ 30-50 เซนติเมตร ความยาวประมาณ 120 - 150 เซนติเมตร ความสูงประมาณ 90 เซนติเมตร หรือไม่เกิน ความสูงระดับขอบล่างของหน้าต่าง ชั้นเก็บกระเบื้องลักษณะช่องเก็บ 16 ช่อง ขนาดความกว้างประมาณ 40 เซนติเมตร ความยาวประมาณ 180 เซนติเมตร ความสูงประมาณ 80 - 120 เซนติเมตร

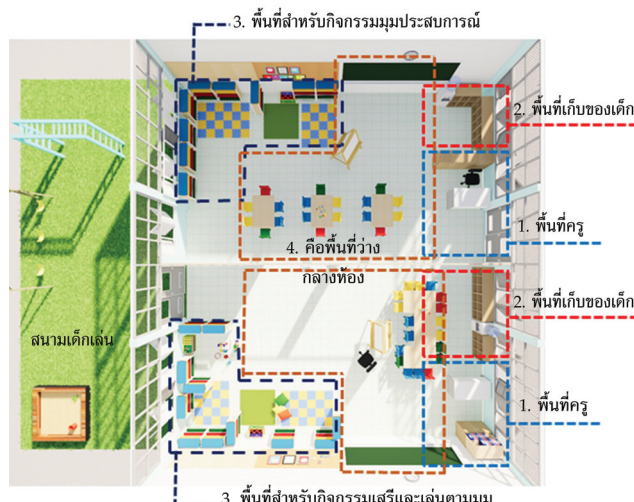
3) ตู้เก็บเอกสารสำหรับจัดเก็บเอกสารและจัดเรียงเอกสาร ตู้เก็บเอกสารแบบบานทึบ ความสูงตั้งแต่ 80 - 180 เซนติเมตร และโต๊ะ เก้าอี้ ทำงานครุภาระที่ต้องใช้แรงบันดาลใจ

2. แนวทางการจัดพื้นที่ภายในห้องเรียนเด็กปฐมวัยที่ส่งเสริมกิจกรรมการเรียนรู้ที่เน้นผู้เรียน เป็นสำคัญ

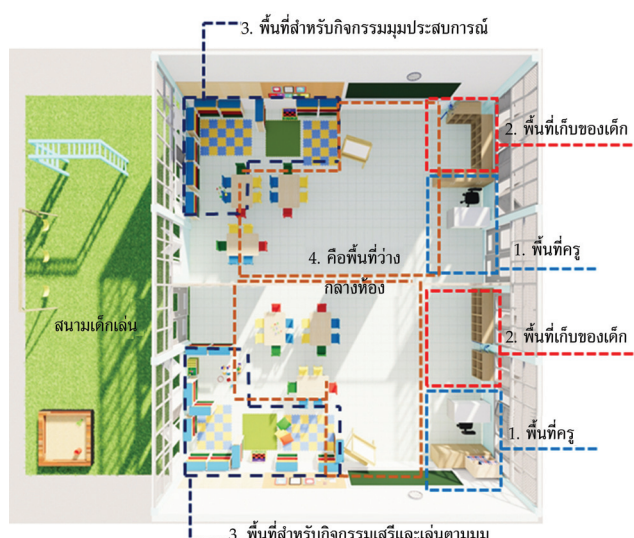
2.1 การจัดพื้นที่ภายในห้องเรียนเด็กปฐมวัยที่ส่งเสริมกิจกรรมการเรียนรู้ที่เน้นผู้เรียน ลักษณะห้องเรียนเด็กปฐมวัยเพื่อใช้ในการออกแบบสถาปัตยกรรมภายใน จากการศึกษา กรณีศึกษาขนาดห้องเรียนจริงของโรงเรียนจำนวน 3 แห่ง พบร่วมกัน 3 โรงเรียนมีห้องเรียนขนาดความกว้าง 7.00 - 10.50 เมตร ความยาว 12 เมตร ลักษณะเป็นอาคารโถงประลังค์ ซึ่งใช้การเรียนรวม 2 ชั้นปี ระดับอนุบาล 2 จำนวนนักเรียน 18 คน และระดับอนุบาล 3 จำนวนนักเรียน 18 คน รวมจำนวน 36 คน จากการศึกษาพบว่า นักเรียนแต่ละชั้นปีไม่เกิน 20 คน ดังนั้นจะจัดทำห้องเรียนรูปแบบ อาคารที่ตัดแปลงจากอาคารโถงประลังค์ของโรงเรียน ขนาดกว้าง 10.50 เมตร ยาว 12 เมตร ห้องมีทางเข้าออก 2 ทาง โดยเป็นทางเข้าหลักและทางออกสู่สนามเด็กเล่นและห้องน้ำอยู่ตรงข้ามกันมีหน้าต่างอยู่ 2 ด้านของผนังข้าง ประตู และมีพนังทึบ 2 ด้าน ห้องมีความสูง 3 เมตร ตามลำดับ

เสนอแนวทางการจัดพื้นที่ภายในห้องเรียนเด็กปฐมวัยไว้ 1 แนวทางที่สามารถปรับ การใช้พื้นที่ให้สอดคล้องกับกิจกรรมประจำวันได้ โดยการออกแบบให้มีพนังกั้นแบ่งพื้นที่กลางห้อง ลักษณะปรับเลื่อนเปิดและปิดได้เพื่อรองรับกิจกรรมการเรียนของชั้นเรียน 2 ระดับ คือ อนุบาล 2 และ อนุบาล 3 การกั้นห้องไมเน็นปิดกันเสียงแต่เป็นการปิดมุมมองในบางกิจกรรม พื้นที่ภายในห้องทั้ง 2 มีการจัดวางคล้ายกัน คือ มีพื้นที่โล่งตอนกลางห้องและตำแหน่งโต๊ะครุภาระ 2 และ 3 อยู่ใกล้ประตู ทางเข้ามีส่วนอุปกรณ์ครุภาระตั้งคิ้วเป็นส่วนเก็บกระเบื้องและเครื่องนอนของเด็ก โดยตรงข้ามพื้นที่ดังกล่าว จัดเป็นมุมประสบการณ์ของกิจกรรมเสรีหรือเล่นตามมุมที่ออกแบบให้สามารถปรับสร้างพื้นที่มุมจำลอง ประสบการณ์ได้และชั้นวางล้ออุปกรณ์ความมีน้ำหนักเบาเคลื่อนย้ายปรับเปลี่ยนตำแหน่งที่ตั้งให้เกิด มุมกิจกรรมสอดคล้องกับการเรียนรู้ที่หลากหลายรูปแบบ ซึ่งข้อดีของแนวทางที่เสนอเป็นการจัดผังที่ สอดคล้องกับลำดับของพฤติกรรมการเรียนประจำวันของเด็กและทำให้มีความต่อเนื่องกับการใช้งานของครุภาระ ต่อการปรับเปลี่ยนบรรยากาศและทำให้ง่ายต่อการจัดมุมประสบการณ์ โดยแสดงตัวอย่างดังรูปที่ 2

เป็นผังห้องเดียวกันที่นำเสนองการจัดพื้นที่ภายใน เน้นให้ปรับเปลี่ยนตำแหน่งเครื่องเรือนโดยตัวประเภท โต๊ะเรียน และบอร์ดเคลื่อนที่ได้สะดวกเพื่อรองรับกิจกรรมการเรียนการสอนและเกิดความเหมาะสมสมกับ การจัดกิจกรรมรายบุคคลกิจกรรมกลุ่มบอยและกลุ่มใหญ่



(ก) ตัวอย่างการจัดผังห้องเรียนแบบที่ 1



(ข) ตัวอย่างการจัดผังห้องเรียนแบบที่ 2

รูปที่ 2 ผังห้องเรียนที่สามารถจัดพื้นที่ให้สอดคล้องต่อกิจกรรมหลากหลายรูปแบบ

ตารางที่ 4 การเปรียบเทียบลักษณะกิจกรรมต่อการใช้พื้นที่ของห้องเรียนและแนวทางการจัดพื้นที่ภายในห้องเรียนเด็กปฐมวัยที่ล่ำเสิงกิจกรรมการเรียนรู้ที่เน้นผู้เรียนเป็นสำคัญ

กิจกรรม	ลักษณะกิจกรรมและการใช้พื้นที่ของห้องเรียนปัจจุบัน	ลักษณะห้องเรียนปฐมวัยที่เน้นผู้เรียนเป็นสำคัญ ภาพเสนอแนะแนวทางการออกแบบ
1. กิจกรรมตามค่าอุ่นที่ทางเด็กจัด	  <p>ห้องเรียนมีการจัดด้วยเครื่องเรือนเกิดขวางกิจกรรมเคลื่อนไหวและจำกัดทำให้บางครั้งเกิดความไม่คล่องตัว</p>	 <p>ออกแบบมีพื้นที่ว่างกลางห้องเพื่อรองรับกิจกรรมการเคลื่อนไหวของเด็ก นำเครื่องเรือนมาจัดด้วยคำแนะนำไว้ ริมผนังทั้งหมดเด็กนักเรียนนั่งเต้นตามจังหวะหรือบทเพลง และอาจมีอุปกรณ์อื่น ๆ เสริมกับกิจกรรม เช่น เครื่องดนตรีประกอบ</p>
2. กิจกรรมสื่อสารและแสดงออก	 <p>ลักษณะห้องเรียนร่วม 2 ระดับขึ้นทำให้ครูผู้สอนจัดกิจกรรมการเรียนแบบนั่งเรียนรวมกัน ซึ่งอาจเกิดปัญหาในเรื่องความสนใจต่อผู้สอน</p>	 <p>ใช้พื้นที่ว่างกลางห้อง หรือมุมในห้อง โดยส่วนใหญ่เด็กนั่งพื้นเป็นครึ่งวงกลม ครูใช้กระดานเคลื่อนที่ประกอบการเล่าหรือกรณีครูสนทนาร่วมสาธิตโดยใช้โต๊ะเตี้ยประกอบ ปรับการนั่งให้สอดคล้องกับพื้นที่กิจกรรม เช่น เล่านิทาน ท่องกลอน ทดลองหรือลงนาประลับการณ์</p>

ตารางที่ 4 การเปรียบเทียบลักษณะกิจกรรมต่อการใช้พื้นที่ของห้องเรียนและแนวทางการจัดพื้นที่ภายในห้องเรียนเด็กปฐมวัยที่ส่งเสริมกิจกรรมการเรียนรู้ที่เน้นผู้เรียนเป็นสำคัญ (ต่อ)

กิจกรรม	ลักษณะกิจกรรมและการใช้พื้นที่ของห้องเรียนปัจจุบัน	ลักษณะห้องเรียนปฐมวัยที่เน้นผู้เรียนเป็นสำคัญ ภาพเสนอแนะแนวทางการออกแบบ
3. กิจกรรมศิลปะสร้างสรรค์	 <p>เด็กทำกิจกรรมศิลปะที่พื้น และบนโต๊ะ ในบริเวณกลางและนั่งริมห้อง ลักษณะแยกเดี่ยวและนั่งเป็นกลุ่มตามใจที่ครูให้ลักษณะงานมีทั้งวดภพ ระบายลีบันดินน้ำมัน และประดิษฐ์ เป็นต้น</p>	 <p>ออกแบบห้องเน้นให้เหมาะสมกับกิจกรรมสร้างสรรค์ คือเด็กสามารถนั่งทำงานด้วยตนเองบนพื้น หรือบนโต๊ะที่มีน้ำหนักเบาเหมาะสมกับการปรับตำแหน่งจัดวางเป็นกลุ่มเด็ก ๆ ร่วมกันตามตอบ สัมผัสของจริงโดยใช้ประสานสัมผัสทั้ง 5 ติดผลงานการสอนที่บอร์ดหรือผ้าพื้นแขวนงานศิลปะของเด็กได้ทุกชิ้น</p>
4. กิจกรรมสร้างสรรค์เรื่องความงาม	 <p>ภายในห้องเรียนไม่มีการจัดวางเครื่องเรือนให้เกิดมุมประสานการณ์ มีชั้นวางริมผนังที่เคลื่อนย้ายไม่สะดวกทำให้ไม่เกิดมุมล่วนตัวและสอดคล้องกับการเล่นตามมุม</p>	 <p>ช่วงกิจกรรมเกมการศึกษาที่มีกิตกา่าย ๆ เช่น เกมจับคู่ เกมแยกประเภท เรียงลำดับโดมิโน ล็อตโต้ ภาพพัสดุที่อเป็นต้น เด็กสามารถนั่งเล่นเกม บนโต๊ะหรือนั่งบนพื้นได้โดยล่นคนเดียวหรือเป็นกลุ่ม</p>

ตารางที่ 4 การเปรียบเทียบลักษณะกิจกรรมต่อการใช้พื้นที่ของห้องเรียนและแนวทางการจัดพื้นที่ภายในห้องเรียนเด็กปฐมวัยที่ล่ำเสิงกิจกรรมการเรียนรู้ที่เน้นผู้เรียนเป็นสำคัญ (ต่อ)

กิจกรรม	ลักษณะกิจกรรมและการใช้พื้นที่ของห้องเรียนปัจจุบัน	ลักษณะห้องเรียนปฐมวัยที่เน้นผู้เรียนเป็นสำคัญ ภาพเสนอแนะแนวทางการออกแบบ
5. กิจกรรมเกมการศึกษา	 <p>เด็กนั่งทำกิจกรรมการเล่นเกม ทั้งบนพื้น และบนโต๊ะ แต่ขนาดและลักษณะโต๊ะอาจไม่เหมาะสมรองรับกับกิจกรรมเพื่อเป็นทางเลือกในการนั่ง เนื่องจากเกมสามารถนั่งเล่นทั้งบนโต๊ะและบนพื้นได้</p>	 <p>ออกแบบให้มีมุมสำหรับจัดวางชั้นวางประสบการณ์ให้เกิดพื้นที่เล่น โดยเป็นกิจกรรมที่เปิดโอกาสให้เด็กสามารถเลือกเล่นอย่างอิสระเสรีตามความสนใจ ลักษณะเล่นบนบทบาทสมมติแบบรายบุคคลและเป็นกลุ่ม โดยมุ่งที่จัดวางจะอยู่บริเวณริมผนังสามารถนำชั้นวางจัดวางกันให้เกิดพื้นที่ส่วนตัวของมุมประสบการณ์ ความมีป้ายระบุชื่อมุมและประดับตกแต่งด้วยวัสดุที่สอดคล้องกับสภาพห้องถูก</p>

จากการที่ 4 พนักงานกิจกรรมประจำวันของครูผู้สอนที่มีความสามารถในการใช้พื้นที่สอนตามสภาพแวดล้อมในห้อง แต่เนื่องจากการจัดวางเครื่องเรือนยังมีความไม่สอดคล้องกับการใช้พื้นที่ และเกิดความทับซ้อนในการเรียนร่วมของนักเรียน ส่องระดับชั้น จึงเสนอแนะแนวทางการออกแบบภายในห้องเรียนเพื่อให้เกิดประสิทธิภาพสูงสุดในการจัดการเรียนการสอนโดยการปรับวางตำแหน่งของเครื่องเรือนเพื่อให้สอดคล้องกับกิจกรรมเสนอแนะให้ผนังส่วนกลางสามารถเลื่อนได้เพื่อสะดวกในการใช้พื้นที่ของส่องระดับชั้น แต่การปรับยังใช้หลักของการแบ่งพื้นที่เป็น 4 ส่วนคือ พื้นที่ครุ พื้นที่เก็บของ ส่วนตัวเด็ก พื้นที่กิจกรรมเสรีและเล่นตามมุมที่จัดวางมุมประสบการณ์ และพื้นที่ว่างกลางห้องโดยเสนอแนวทางการจัดพื้นที่ตาม 5 กิจกรรม ของการเรียนรู้ที่เน้นผู้เรียนเป็นสำคัญ ออกแบบให้ห้องมีความโปร่งโล่ง ระยะอากาศได้โดยจัดเน้นวางเครื่องเรือนไว้รอบตัวห้องส่วนหนึบติดกระดานดำและบอร์ดที่ติดเชือกผลงานของเด็ก และมีกระดานเคลื่อนที่เพื่อปรับเปลี่ยนตำแหน่งการสอนให้เข้ากับกิจกรรมที่เน้นผู้เรียนเป็นสำคัญ

อภิปรายผล

การจัดพื้นที่ภายในห้องเรียนเด็กปฐมวัยที่ล่ำเสิงกิจกรรมการเรียนรู้ที่เน้นผู้เรียนเป็นสำคัญจะกระตุ้นความสนใจและการเรียนรู้ประสบการณ์ในลิ้งแวดล้อมภายในห้องเรียนสม่ำเสมอ เด็กได้มีปฏิสัมพันธ์กับ

ลิ่งแวดล้อมหลากหลายสร้างบรรยากาศสถานการณ์เรียนรู้ท้าทายไม่จำเจ โดยใช้เครื่องเรือนที่เคลื่อนย้ายปรับเปลี่ยนตำแหน่งได้เน้นผู้เรียนเป็นสำคัญ เน้นพัฒนาการ และธรรมชาติของเด็กพัฒนาผู้เรียนด้านร่างกายอารมณ์ ลักษณะจิตใจ และศตีปัญญา ลักษณะโดยเรียนนำหนักเบา เคลื่อนย้ายได้ และการปรับเปลี่ยนตำแหน่งสอดคล้องสามารถจัดเป็นกลุ่มย่อยและกลุ่มใหญ่ ลักษณะการจัดวางหลากหลายรูปแบบตามความเหมาะสมของกิจกรรม ลักษณะโดยรูปร่างสี่เหลี่ยมผืนผ้าแบบกลุ่ม 6 ที่นั่ง มีขนาดกว้าง 60 เซนติเมตร ยาว 120 - 150 เซนติเมตร สูง 50 เซนติเมตร เก้าอี้ขนาดกว้าง 25 เซนติเมตร ยาว 28 เซนติเมตร ความสูงระยะนั่ง 26 - 30 (64 เซนติเมตร พนักพิง) [11] และอาจเสริมด้วยโต๊ะเตี้ยแบบนั่งพื้น สภาพห้องเรียนที่เอื้อต่อการเรียนรู้ลักษณะการเรียนการสอนบรรยากาศภายในห้องเรียนมีความสอดคล้องกับภาระทางกายภาพที่ห้องเรียนควรสะอาดปลอดภัยและดูเป็นมิตรมีชีวิตชีวา โถนลีกภายในห้องควรเป็นโถนลีกอ่อนแนวลีดรมชาตินอกห้องเรียนมีพื้นที่กว้างรองรับกิจกรรมการเคลื่อนไหว เพื่อรองรับกิจกรรมการเรียนรู้ที่เน้นผู้เรียนเป็นสำคัญ การเลือกใช้วัสดุทั้งประกอบกิจกรรมการเรียนรู้ และวัสดุตกแต่งควรเน้นธรรมชาติปลอดภัยและมีในห้องถินใช้ [12] การจัดสภาพภายในห้องเรียนต้องมีมุมประสบการณ์ของกิจกรรมเสรีอย่างน้อย 4 มุม ชั้นวางอุปกรณ์จัดวาง ลักษณะแบบเปิดเป็นช่องโล่งไม่มีบานปิดทึบ สามารถหยิบเก็บและมองเห็นอุปกรณ์ที่ใช้ในชั้นได้ ชั้นควรมีน้ำหนักเบา เคลื่อนย้ายสะดวกความสูงประมาณ 90 - 120 เซนติเมตร มุมประสบการณ์ ได้แก่ มุมบล็อก มุมบ้านสมมติหรือมุมบทบาทสมมติ มุมหันลีก มุมดนตรี เป็นต้น ครูและเด็กมีปฏิสัมพันธ์ร่วมกันเพื่อให้การพัฒนาการเรียนรู้ที่เน้นผู้เรียนเป็นสำคัญเต็มคักยกภาพการสร้างและจัดทำอุปกรณ์เครื่องเล่น เครื่องสนานจากทรัพยากรธรรมชาติท้องถินวัสดุเหลือใช้อย่างมีคุณภาพ

บทสรุป

แนวทางการจัดพื้นที่ภายในห้องเรียนเด็กปฐมวัยที่ส่งเสริมกิจกรรมการเรียนรู้ที่เน้นผู้เรียนเป็นสำคัญ การจัดวางผังพื้นภายในห้องเรียนมีความสอดคล้องและล้มพ้นอันกิจกรรมการเรียนเสนอไว 1 แนวทาง เป็นลักษณะที่สามารถปรับเปลี่ยนผังภายในห้องให้สอดคล้องกับกิจกรรมประจำวันทั้ง 5 กิจกรรม โดยแบ่งพื้นที่ 4 ส่วนคือ ส่วนที่ 1 พื้นที่ครู ชั้นวางอุปกรณ์เอกสารการสอนพื้นที่ประมาณ 6.50 ตารางเมตร ส่วนที่ 2 พื้นที่เก็บของส่วนตัวเด็กประมาณ 7 ตารางเมตร และพื้นที่คั่มน้ำ 3 ตารางเมตร ส่วนที่ 3 พื้นที่สำหรับกิจกรรมเสรี และเล่นตามมุมที่จัดวางมุมประสบการณ์ต่าง ๆ มีความสัมพันธ์มากที่สุดกับการจัดกิจกรรมการเรียนรู้เพื่อตอบสนองพัฒนาการตามวัยที่เน้นผู้เรียนเป็นสำคัญ พื้นที่ประมาณ 7.50 ตารางเมตร และส่วนที่ 4 ที่วางกล้องห้อง พื้นที่นั่งเรียน นอน รับประทานอาหาร จัดกิจกรรมการเรียนและกิจกรรมเคลื่อนไหวและจังหวะ กิจกรรมเสริมประสบการณ์ กิจกรรมศิลปะสร้างสรรค์ กิจกรรมเกมการศึกษาพื้นที่ประมาณ 72 ตารางเมตร ลักษณะเครื่องเรือนลอดထัว ขนาดเหมาะสมมากกับเด็ก น้ำหนักเบา และปลอดภัยเลือกใช้วัสดุที่ปลอดภัยต่อเด็กส่วนใหญ่ทำจากวัสดุไม้อัดปิดผิวลา米เนตหลากหลายสีสันและไม้อัลมชาติทาลีสันสติไล และวัสดุที่มีในห้องถินมาใช้ประกอบกิจกรรมการเรียนรู้ โต๊ะเรียน ขนาดและรูปแบบที่เหมาะสม น้ำหนักเบาเคลื่อนย้ายได้สะดวกจัดเป็นกลุ่มตามความเหมาะสมของกิจกรรม กระดานสามารถเคลื่อนที่อิสระ เครื่องเรือนประเภทชั้นวางที่นอน และอุปกรณ์ไม่ควรมีเหลี่ยม และมุมน้ำหนักเบา สามารถเคลื่อนย้ายปรับเปลี่ยนตำแหน่งได้่ายสะดวก สอดคล้องกับกิจกรรมการเรียนรู้

พัฒนาเด็กปฐมวัย ลักษณะห้องเรียนเด็กปฐมวัยเพื่อใช้การออกแบบสถาปัตยกรรมภายในกรณีศึกษาขนาดห้องเรียนจริงของโรงเรียน จำนวน 3 แห่ง พบร่วมกัน 3 โรงเรียนมีห้องเรียนขนาดกว้าง 7.00 - 10.50 เมตร ยาว 12.00 เมตร ลักษณะเป็นอาคารอนุบาลประสังค์ ห้องเรียนรูปแบบอาคารตัดแปลงอาคารอนุบาลประสังค์โรงเรียน ขนาดกว้าง 10.50 เมตร ยาว 12.00 เมตร ห้องมีทางเข้าออก 2 ทาง โดยเป็นทางเข้าหลักและทางออกกลุ่มน้ำที่ต้องข้ามกันมีหน้าต่างอยู่ 2 ด้านของผนังข้างประตูมีผนังทึบ 2 ด้าน เสนอแนวทางการจัดพื้นที่ภายในห้องเรียนโดยการออกแบบให้มีผนังกันแบ่งพื้นที่กลางห้องลักษณะปรับเลื่อนเปิดและปิดได้เพื่อรองรับกิจกรรมการเรียนของชั้นเรียน 2 ระดับ คือ อนุบาล 2 และอนุบาล 3 การกันห้องไม่นเน้นปิดกันเลี้ยงแต่เป็นการปิดมุมมองในบางกิจกรรม พื้นที่ภายในห้องทั้ง 2 ระดับนั้น การจัดวางคล้ายกันคือ มีพื้นที่โล่งตอนกลางห้อง

ข้อเสนอแนะ

ข้อเสนอแนะจากวิจัยพบว่าควรพัฒนาและปรับปรุงสภาพแวดล้อมภายในห้องเรียนด้านพื้นที่ให้เหมาะสมกับการจัดกิจกรรมห้องเรียน จัดทำโดย เก้าอี้ที่ไม่มีลักษณะเหลี่ยมมุม อันตรายต่อเด็ก และเหมาะสมกับระดับขนาดเด็กปฐมวัย วัสดุการเรียนการสอนที่สอดคล้องกับหลักสูตรส่งเสริมความร่วมมือกับชุมชนในท้องถิ่น ควรจัดกิจกรรมการเรียนรู้สอดคล้องกับสภาพท้องถิ่น เด็กได้มีโอกาสฝึกฝนด้วยตนเองเหมาะสม การจัดกิจกรรมการเรียนรู้เชิงร่วมกับ 5 กิจกรรมประจำวันเพื่อพัฒนาการเรียนรู้ ความล้มพันธุ์ของสภาพแวดล้อมภายในและภายนอกห้องเรียนให้ส่งเสริมการจัดกิจกรรมที่เน้นผู้เรียนเป็นสำคัญ เพื่อพัฒนาร่างกายอารมณ์ สังคม จิตใจ และสติปัญญาเด็กปฐมวัยเต็มตามศักยภาพ และการศึกษาสภาพแวดล้อมภายในห้องเรียน ลักษณะการใช้วัสดุท้องถิ่นจัดกิจกรรมการเรียนรู้ ความล้มพันธุ์ระหว่างสภาพแวดล้อมภายในกับผลลัพธ์ทางการเรียนและพัฒนาการแต่ละด้านของศูนย์พัฒนาเด็กเล็กองค์กรปกครองส่วนท้องถิ่น

References

- [1] Ministry of Education. (1999). **National Education Act B.E. 2542 and Revision (Second Revision) B.E. 2545.** Bangkok: Kurusapa Ladprao Printing Press
- [2] Pinyoanuntapong, S. (2002). **Environment for Early Childhood.** Bangkok: Curriculum and Instruction Department, Srinakharinwirot University; Prasanmitr
- [3] Vorakitphokatorn, S. and Maungmasi, R. (2010). **The Manual of Ayatana 6 Development in Early Childhood.** Bangkok: National Institute for Child and Family Development, Mahidol University
- [4] Chan-aim, S. (1998). **General Psychology.** Bangkok: Thai Wattana Panit Press
- [5] Suankaew, P. (1993). **Development Psychology and Early Childhood Care.** Bangkok: Duangkamol
- [6] Khammanee, T. (1999). Learning Management Based on Student-Centered Learning: CIPPA MODEL. **Journal of Education Studies.** Vol. 27, No. 3, pp. 1-17

- [7] Ra-Ngubtook, W. (1999). **The Lesson Plan of a Student-Centered Approach.** Bangkok: L.T. Press
- [8] Sattayatham, P. (2008). **Child Mental Health.** 7th Edition. Bangkok: Chulalongkorn University Press
- [9] Chitsing, S. (2007). **A Physical Interior Environment Design Guideline for Pre-School Babies' Home in Bangkok and Metropolitan Area.** A Thesis for the Degree of Master of Architecture, Interior Architecture, King Mongkut's Institute of Technology Ladkrabang
- [10] The Office of the National Primary Education Commission. (1998). **The Study of Classroom Arrangement within Media and Playing Center for Pre-Elementary Education.** Bangkok: Ministry of Education
- [11] Thaithani, P. (2007). **Nature of the Learners.** Nakhon Ratchasima: Faculty of Education, Nakhon Ratchasima Rajabhat University
- [12] Thorarit, K. (2008). **Environmental Interior Design of Art School for Early Childhood in Commercial Building.** A Thesis for the Degree of Master of Architecture, Interior Architecture, King Mongkut's Institute of Technology Ladkrabang

การพัฒนาระบบตรวจสอบย้อนกลับในห่วงโซ่อุตสาหกรรมถั่วลิสง
ตามมาตรฐานเกษตรไทย มกช. 4702-2557

The Development of Traceability System in Peanut Industry Supply Chain with Thai Agricultural Standard: TAS 4702-2014

ธิติวัฒน์ ตาคำ^{1*} สุรพล ใจวงศ์ษา² และจักรพงษ์ ชุมใจ³

Thitiwat Ta-Kham^{1*} Suraphon Chaiwongsar² and Jakkapong Chumjai³

Received: October 14, 2020; Revised: January 8, 2021; Accepted: January 13, 2021

บทคัดย่อ

บทความวิจัยนี้นำเสนอผลการพัฒนาระบบตรวจสอบย้อนกลับถั่влิสง ตามมาตรฐานสินค้าเกษตรและอาหารแห่งชาติ ใช้วิธีการวิจัยและพัฒนาซึ่งมีผู้ให้ข้อมูลจำนวน 10 ท่าน ประกอบด้วย เกษตรกร ผู้ประกอบการ นักวิชาการและเจ้าหน้าที่ส่วนราชการเกษตร คัดเลือกผู้ให้ข้อมูลโดยวิธีการสุ่มแบบเฉพาะเจาะจง ใช้แบบสอบถามแบบกึ่งโครงสร้างเป็นเครื่องมือในการเก็บข้อมูล และใช้วิธีการเชิงคุณภาพในการวิเคราะห์และตีความหมาย ผลการศึกษาพบว่า ห่วงโซ่อุปทานในอุตสาหกรรมถั่влิสง แบ่งได้เป็น 3 ระยะ คือ 1) การจัดการแหล่งผลิตถั่влิสง 2) การรวมและกระบวนการตรวจสอบคุณภาพถั่влิสง และ 3) การแปรรูปและการจำหน่ายถั่влิสง ซึ่งจำแนกข้อมูลตามการใช้งานเป็น 7 กลุ่มข้อมูลคือ 1) แหล่งผลิต เมล็ดพันธุ์ 2) เกษตรกร 3) แหล่งรวมผลผลิตถั่влิสง 4) โรงงานภาคเทศาถั่влิสง 5) โรงงานแปรรูป 6) ห้องปฏิบัติการตรวจสอบสารเคมี 7) ผู้จำหน่ายผลิตภัณฑ์ การพัฒนาด้านแบบระบบ

¹ คณะบริหารธุรกิจและศิลปศาสตร์ มหาวิทยาลัยเทคโนโลยีราชมงคลล้านนา ลำปาง

² คณะวิทยาศาสตร์และอุตสาหกรรมเกษตร มหาวิทยาลัยเทคโนโลยีราชมงคลล้านนา ลำปาง

³ แผนกวิชาเทคโนโลยีสารสนเทศ วิทยาลัยเทคนิคลำปาง

¹ Faculty of Business Administration and Liberal Arts, Rajamangala University of Technology Lanna, Lampang

² Faculty of Sciences and Agricultural Technology, Rajamangala University of Technology Lanna, Lampang

³ Department of Information Technology, Lampang Technical College, Lampang

* Corresponding Author E - mail Address: Aj_Thitiwat@rmutl.ac.th

ตรวจสอบย้อนกลับในอุตสาหกรรมถั่วลิสง ดำเนินการตามวิธีการพัฒนาระบบสารสนเทศ ซึ่งแสดงผลการวิเคราะห์และออกแบบระบบด้วยแผนภาพบรินท์ แผนภาพกระแสข้อมูล การประเมินผลการพัฒนาระบบโดยผู้มีส่วนเกี่ยวข้องจำนวน 37 ท่าน พนวจมีค่าเฉลี่ยความพึงพอใจต่อการใช้ระบบอยู่ในระดับมาก ซึ่งระบบสามารถช่วยตรวจสอบและติดตามข้อมูลผลิตภัณฑ์ถั่влิสงตามมาตรฐาน มกช. 4702-2557 ได้

คำสำคัญ : ระบบตรวจสอบย้อนกลับ; ถั่влิสง; ห่วงโซ่อุปทาน; การพัฒนาระบบสารสนเทศ

Abstract

This research article presents the results of the development of the peanut traceability system according to TAS 4702-2014, the standard of National Bureau of Agricultural Commodity and Food Standards. This study using research and development method and the key informants were 10 of farmers, entrepreneurs, academic and agricultural extension officers. The key informants were selected from the purposive sampling method, data were analyzed by using a semi-structured interview and a qualitative method to analyze and interpret the results. The finding pointed out that the peanut supply chain is divided into 3 chains: 1) peanut farm management 2) peanut collection and quality inspection 3) peanut processing and distribution. Meanwhile, the data to support peanut industry supply chain is classified into 7 groups: 1) source of peanut seeds 2) farmers 3) peanut gathering 4) peanut bark factory 5) processing factory 6) laboratory and 7) retailers. The system analysis and design are presented by context diagram and data flow diagram. The system was evaluated by 37 stakeholders so the outcome evaluation provides average at a high level. The results of the system development, which assessed 37 stakeholders, found that the average level of satisfaction with the system was at a high level. The traceability system can be traced and tracked information of peanut production according to TAS 4702-2014.

Keywords: Traceability System; Peanut; Supply Chain; Information System Development

บทนำ

ถั่влิสงเป็นผลิตภัณฑ์ที่บริโภคมากในประเทศไทย โดยการแปรรูปเป็นอาหารชนิดเคี้ยว ทั้งแบบถั่влิสงสด เปปีลือต้ม และถั่влิสงอบแห้งทั้งเบปีลือกนำมาเป็นส่วนประกอบอาหาร และแปรรูปเป็นผลิตภัณฑ์ต่าง ๆ เช่น ถั่влิสงคั่ว ถั่влิสงป่น เนยถั่влิสง น้ำมันถั่влิสง [1] ทั้งนี้ผลการประเมินความเสี่ยงของผู้บริโภคไทย จากสารพิษอะฟลาโทกซิน พนวจผู้บริโภค มีความเสี่ยงต่อการเป็นโรคมะเร็งตับในระดับสูง โดยปริมาณอะฟลาโทกซินทั้งหมดที่ผู้บริโภคไทยได้รับมาจากถั่влิสงและผลิตภัณฑ์มากถึง 92% ซึ่งอะฟลาโทกซิน จัดเป็นสารพิษที่เกิดจากเชื้อรากในกลุ่ม *Aspergillus flavus* และ *Aspergillus parasiticus* ที่ก่อให้เกิดมะเร็งตับชนิดปฐมภูมิในมนุษย์ ดังนั้น องค์การอนามัยโลกจึงจัดให้อะฟลาโทกซินเป็นสารก่อมะเร็ง Thitiwat Ta-Kham, Suraphon Chaiwongsar, and Jakkapong Chumjai
ISSN 2672-9369 (Online)

ที่รายแรงมากที่สุดชนิดหนึ่ง เพราะว่าปริมาณของอะฟลาโทกซินเพียง 1 ไมโครกรัม สามารถทำให้เกิดการกลایพันธุ์ของแบคทีเรีย และทำให้เกิดมะเร็งในสัตว์ทดลองได้ ทั้งนี้ข้อมูลผลการศึกษาการปนเปื้อนสารอะฟลาโทกซินในตัวอย่างผลิตภัณฑ์ถั่วลิสงที่วางจำหน่ายในกรุงเทพมหานคร [2] และต่างจังหวัด [3] พบว่ากากลุ่มตัวอย่างที่ตรวจสอบมีปริมาณลาระอะฟลาโทกซินในระดับสูงกว่าที่กำหนด ซึ่งดำเนินงานคณะกรรมการอาหารและยากำหนดให้มีอะฟลาโทกซินทุกชนิดในอาหารที่ว่าไปได้ไม่เกิน 20 ไมโครกรัม ต่อ กิโลกรัม ดังนั้นถั่วลิสงที่วางจำหน่ายที่ว่าไปในท้องตลาด ซึ่งไม่มีการตรวจสอบคุณภาพ จึงมีโอกาสเพิ่มความเสี่ยงต่อโรคมะเร็งในผู้บริโภคได้ นอกจากนี้ยังมีโอกาสสูญเสียจากประเทคคู่ค้าที่มีข้อกำหนดการปนเปื้อนอะฟลาโทกซินที่เข้มงวดกว่าประเทศไทยได้ จากปัญหาดังกล่าวคณะกรรมการมาตรฐานสินค้าเกษตรจึงได้จัดทำมาตรฐานสินค้าเกษตร เรื่อง เมล็ดถั่วลิสง: ข้อกำหนดปริมาณอะฟลาโทกซินซึ่ง เพื่อการคุ้มครองผู้บริโภคอย่างมีประสิทธิภาพ และให้ผู้ประกอบการตระหนักถึงความสำคัญของการผลิตต่อความปลอดภัยและคุณภาพของเมล็ดถั่วลิสง ที่นำมาใช้เป็นอาหารชั้น เช่น เมล็ดถั่วลิสงที่ผลิตเพื่อจำหน่าย ส่งออก หรือนำเข้าต้องมีอะฟลาโทกซินทั้งหมด (Total Aflatoxins) ไม่เกิน 20 ไมโครกรัมต่อ กิโลกรัม ผู้ประกอบการโรงงำเนะ ผู้รวบรวม ผู้บรรจุทุบท่อ และคลังสินค้า ต้องตรวจสอบปริมาณ อะฟลาโทกซินในเมล็ดถั่วลิสงก่อนส่งออกจำหน่าย หรือระหว่างเก็บรักษา และเก็บบันทึกข้อมูลผลการตรวจสอบไว้เพื่อการตรวจสอบ เป็นต้น ทั้งนี้มหาวิทยาลัยเทคโนโลยีราชมงคลล้านนา ได้จัดทำโครงการเตรียมความพร้อมเพื่อปฏิบัติตามมาตรฐานสินค้าเกษตร เรื่อง เมล็ดถั่วลิสง: ข้อกำหนดปริมาณอะฟลาโทกซิน ในปี พ.ศ. 2557 และในปี พ.ศ. 2560 ได้ดำเนินโครงการพัฒนาเทคโนโลยีในการลดปริมาณอะฟลาโทกซินในห่วงโซ่การผลิตเมล็ดถั่วลิสง ตั้งแต่แปลงปลูกถั่วลิสง การเก็บเกี่ยว การเก็บรักษาฝักถั่วลิสง การงำเนะ การคัดแยกเมล็ด และการบรรจุภัณฑ์ ดังนั้นการนำเทคโนโลยีสารสนเทศเข้ามาช่วยสนับสนุนการดำเนินงานเพื่อให้ผู้ผลิต เจ้าหน้าที่ และผู้บริโภคสามารถตรวจสอบย้อนกลับได้ตลอดห่วงโซ่อุปทานของการผลิตที่เป็นไปตามมาตรฐาน มกช. 4702-2557 จึงเป็นแนวทางหนึ่งที่จะสามารถช่วยทำให้เกิดความเชื่อมั่นในระบบการผลิตและคุณภาพของถั่วลิสงที่ปลอดภัยสู่ผู้บริโภคได้

วัตถุประสงค์ของการวิจัย

- ศึกษาการเชื่อมโยงของข้อมูลในอุตสาหกรรมถั่วลิสงตลอดห่วงโซ่อุปทาน
- พัฒนาระบบตรวจสอบย้อนกลับในอุตสาหกรรมถั่วลิสงตามมาตรฐาน มกช. 4702-2557

เอกสารและงานวิจัยที่เกี่ยวข้อง

1. มาตรฐาน มกช. 4702-2557

คณะกรรมการมาตรฐานสินค้าเกษตรกำหนดมาตรฐานสินค้าเกษตร เรื่อง เมล็ดถั่วลิสง: ข้อกำหนดปริมาณอะฟลาโทกซิน เป็นมาตรฐานบังคับ เพื่อการคุ้มครองผู้บริโภคอย่างมีประสิทธิภาพ และให้ผู้ประกอบการตระหนักถึงความสำคัญของการผลิตต่อความปลอดภัยและคุณภาพของเมล็ดถั่วลิสง โดยกำหนดปริมาณและมาตรฐานคุณภาพ อะฟลาโทกซินในเมล็ดถั่วลิสงแท้ดินที่นำมาใช้เป็นอาหาร [4] ดังนี้

1) เมล็ดถั่วลิสงที่ผลิตเพื่อจำหน่าย ส่งออก หรือนำเข้าต้องมีอะฟลาโทกซินทั้งหมด (Total Aflatoxins) ไม่เกิน 20 ไมโครกรัมต่อ กิโลกรัม

2) มาตรการควบคุมการผลิต ได้แก่

2.1) คัดแยกเมล็ดขี้นรำ เมล็ดแทกหัก เมล็ดเสียหาย และสิ่งเปลกปลอมก่อนส่งจำหน่าย และบันทึกข้อมูลໄວะเป็นหลักฐาน

2.2) เพื่อให้มั่นใจว่าเมล็ดถัวลิสิงก่อนส่งจำหน่ายมีปริมาณอะฟลาโทกซินไม่เกิน 20 ไมโครกรัมต่อกิโลกรัม ($\mu\text{g}/\text{kg}$) ผู้ประกอบการโรงกระเทาะ ผู้รวบรวม ผู้บรรจุทึบห่อ และคลังลินค้า ต้องตรวจสอบปริมาณอะฟลาโทกซินในเมล็ดถัวลิสิงก่อนส่งออกจำหน่าย หรือระหว่างเก็บรักษา และเก็บบันทึกข้อมูลผลการตรวจสอบໄວะเพื่อการตรวจสอบประเมิน

3) ผู้เกี่ยวข้องที่ต้องปฏิบัติตามมาตรฐานนี้ คือ

3.1) ผู้ที่นำถัวลิสิงแท้หั้งเปลือกมากระเทาะเป็นเมล็ดถัวลิสิงเพื่อการค้า จะต้องขออนุญาต เป็นผู้ผลิต รวมถึงต้องได้รับใบรับรองว่าขั้นตอนการคัดแยกเมล็ดมีประสิทธิภาพ และมีการตรวจสอบ หากปริมาณอะฟลาโทกซินทั้งหมดก่อนส่งจำหน่ายในแต่ละรุ่น

3.2) ผู้รวบรวม ผู้บรรจุทึบห่อ และคลังลินค้าเมล็ดถัวลิสิงเพื่อการค้าจะต้องขออนุญาต เป็นผู้ผลิตรวมถึงต้องได้รับใบรับรองว่าขั้นตอนการคัดแยกเมล็ดที่มีประสิทธิภาพ และมีการสุ่มตรวจสอบปริมาณอะฟลาโทกซินในเมล็ดถัวลิสิงที่อยู่ระหว่างการเก็บรักษา

3.3) ผู้ส่งออกเมล็ดถัวลิสิงดิบต้องขออนุญาตเป็นผู้ส่งออก พร้อมทั้งแสดงหลักฐานว่า เมล็ดถัวลิสิงผลิตจากผู้ผลิตที่ได้รับใบอนุญาตและใบรับรองตามมาตรฐาน พร้อมผลการตรวจสอบปริมาณอะฟลาโทกซินที่ไม่เกินมาตรฐานของประเทศไทยคู่ค้า

3.4) ผู้นำเข้าเมล็ดถัวลิสิงดิบต้องขออนุญาตเป็นผู้นำเข้า พร้อมทั้งแสดงหลักฐานว่า เมล็ดถัวลิสิงผลิตมาจากผู้ผลิตที่มีมาตรการควบคุมการผลิตตามมาตรฐานนี้ และมีผลการตรวจสอบอะฟลาโทกซินจากหน่วยราชการที่มีอำนาจหน้าที่ หรือห้องปฏิบัติการที่เป็นที่ยอมรับ

2. การตรวจสอบย้อนกลับ (Traceability)

ระบบการตรวจสอบย้อนกลับ [5] หมายถึง ระบบที่จัดทำขึ้นเพื่อให้ผู้บริโภค เกิดความมั่นใจในการซื้อลินค้าว่าลินค้าที่ซื้อไม่มีลิ๊งปนเปื้อนและมีความปลอดภัย โดยสามารถตรวจสอบเส้นทางของอาหารนั้น ๆ ได้ และช่วยลดความสูญเสียในการเรียกคืนลินค้าของบริษัทผู้ผลิตให้เรียกคืนได้อย่างถูกต้อง แม่นยำและรวดเร็ว ซึ่งในระบบการตรวจสอบย้อนกลับ จะประกอบด้วยกระบวนการที่สำคัญ 2 กระบวนการคือ 1) กระบวนการติดตาม (Following) คือ ระบบที่ใช้ในการติดตามลินค้านั้นว่าไปอยู่ที่ตำแหน่งใด ในขณะที่ทำการตรวจสอบ เช่น ผู้ผลิตลินค้าพบว่ามีวัตถุดินในผลิตลินค้าล็อตเดียวกัน มีความจำเป็นต้องเรียกลินค้าล็อตเดียวกันกลับคืนมา (Recall) แต่ลินค้านั้นได้ส่งต่อไปจำหน่ายเรียบร้อยแล้ว ดังนั้น ผู้ผลิตจึงต้องติดตามเส้นทางการผลิตและการจัดจำหน่าย เพื่อที่จะทราบได้ว่าลินค้าที่มีปัญหานั้น มีวางจำหน่ายที่ไหนบ้างเพื่อที่จะสามารถเรียกคืนได้อย่างถูกต้องและรวดเร็ว ซึ่งเป็นการค้นหาปลายทางของลินค้าที่มีปัญหา และ 2) กระบวนการตรวจสอบย้อนกลับ (Tracking) คือ ความสามารถในการสืบย้อนกลับว่า ลินค้าที่มีปัญหานี้ ผลิตขึ้นเมื่อใด จากกิจกรรมใดบ้าง วัตถุดินที่ใช้ผลิตมาจากไหน เป็นต้น เพื่อค้นหาว่าจุดใดที่ก่อให้เกิดปัญหาและมีการผลิตลินค้าไปมากน้อยเพียงใด โดยสามารถตรวจสอบข้อมูลรายละเอียดกรรมวิธี การผลิตเพื่อติดตามลินค้าคืนได้อย่างถูกต้อง ซึ่งเป็นการค้นหาต้นทางของลินค้าที่มีปัญหานั้น [5] ทั้งนี้ ระบบตรวจสอบย้อนกลับที่ดีจะช่วยลดปริมาณการผลิตและการจำหน่ายลินค้าที่ไม่ปลอดภัยและไม่ได้คุณภาพ ซึ่งช่วยให้โอกาสในการเผยแพร่ลินค้าที่ไม่ดี ลินค้าที่มีความบกพร่อง และลินค้าที่ต้องเรียกคืน มีจำนวนลดลง ปัจจุบันระบบการติดตามอาหารเพียงอย่างเดียวไม่สามารถรับประทานได้ว่าอาหารเป็นของแท้

มีคุณภาพดีและปลอดภัย [6] ทั้งนี้องค์ประกอบสำคัญที่ใช้สำหรับการติดตามสินค้าหรือผลิตภัณฑ์ คือ รหัสที่ใช้สำหรับการบ่งชี้หรือการระบุตัวตน (Identification) โดยในงานตรวจสอบย้อนกลับสินค้า ตามมาตรฐานสากลของสถาบันรหัสสากล (GS1 System of Standard) สภาอุตสาหกรรมแห่งประเทศไทย จำแนกประเภทการระบุตัวตนออกเป็น 3 ประเภท [7] ได้แก่ 1) การระบุตัวตนของสถานที่ตั้ง ซึ่งใช้หมายเลขประจำตัวตำแหน่งที่ตั้งสากล (GLN: EAN·UCC Global Location Number) เป็นรหัสเลข 13 หลัก เพื่อใช้ในการบ่งชี้ตัวตนขององค์กร บริษัทหรือโรงงาน 2) การระบุตัวตนของสินค้า ใช้เลขหมายประจำตัวรายการทางการค้าสากล (GTIN: Global Trade Item Number) ประกอบด้วยเลขหมายประจำตัวตำแหน่งสากล และชุดรหัสที่ผู้ใช้งานเป็นผู้กำหนดเองเมื่อได้รับการอนุมัติเลขหมายประจำตัวบริษัทแล้ว โดยบริษัทจะเป็นผู้กำหนดเลขหมายประจำตัวสินค้าให้กับสินค้าแต่ละชนิด เพื่อใช้บ่งชี้เฉพาะรายการทางการค้าที่ใช้ในการทำธุรกรรมทางการค้าได้ทั่วโลก และ 3) การระบุตัวตนของบรรจุภัณฑ์เพื่อการขนส่ง ใช้เลขหมายลำดับบรรจุภัณฑ์เพื่อการขนส่ง (SSCC: Serial Shipping Container Code) เป็นเลขหมายสำหรับการบ่งชี้เฉพาะหน่วยเพื่อการขนส่ง และ/หรือการจัดเก็บที่เกี่ยวข้องกับระบบโลจิสติกส์ ซึ่งจะเข้ารหัสในรูปแบบของบาร์โค้ด สำหรับช่วยในการติดตามและตรวจสอบย้อนกลับได้ จากคุณสมบัติข้างต้น จึงทำให้แนวคิดเกี่ยวกับระบบการตรวจสอบย้อนกลับและเทคโนโลยีการระบุตัวตนสามารถนำไปประยุกต์ใช้เพื่อช่วยลดความเสี่ยงจากความเสียหาย ช่วยลดภาระค่าใช้จ่ายจากการเรียกสินค้ากลับคืน และช่วยรับประคันคุณภาพและความปลอดภัยของสินค้า ตลอดจนสร้างความเชื่อมั่นแก่ผู้บริโภคได้

3. งานวิจัยที่เกี่ยวข้อง

คณะกรรมการวิจัยได้ศึกษางานวิจัยที่เกี่ยวข้องกับการตรวจสอบย้อนกลับสินค้าเกษตรทั้งในและต่างประเทศ ดังนี้

- 1) การพัฒนาระบบตรวจสอบย้อนกลับโดยเทคโนโลยี QR - Code และบรรจุภัณฑ์การค้าปลีก สำหรับสัมโภในจังหวัดนครปฐม [8] ซึ่งผู้วิจัยพัฒนาระบบด้วยภาษา PHP เชื่อมต่อกับฐานข้อมูล MySQL ให้บริการในรูปแบบเว็บไซต์แอปพลิเคชัน ผลวิจัยพบว่า ผู้ใช้งานระบบมีความพึงพอใจต่อการใช้งาน QR - Code ในระดับมาก โดยเกษตรกรผู้ปลูก ส้มโอมีความต้องการใช้ระบบตรวจสอบย้อนกลับเพื่อเพิ่มความเชื่อถือให้กับผู้บริโภค 2) การศึกษาปัจจัยที่มีผลต่อความปลอดภัยของผักและผลไม้สดที่จำหน่ายในประเทศไทยและข้อเสนอมาตรการเพื่อควบคุมความปลอดภัย [9] โดยคุณผู้วิจัยแบ่งห่วงโซ่อุปทานผักและผลไม้เพื่อศึกษาความปลอดภัยของผักและผลไม้ช่วงต้นน้ำ คือ การเพาะปลูก ช่วงกลางน้ำ คือ จุดรวมรวมและการจัดการหลังการเก็บเกี่ยว และช่วงปลายน้ำ คือ การแปรรูป การกระจายและจำหน่าย โดยมาตราการควบคุมความปลอดภัยของผักและผลไม้ช่วงต้นน้ำและกลางน้ำกรณีเป็นสินค้าสำหรับการล่วงออก มีการกำหนดมาตรฐาน GAP และ GMP ภาคสมัครใจ ผลการวิจัยมีข้อค้นพบที่สำคัญคือ การใช้มาตรฐาน GAP และ GMP แบบสมัครใจ ไม่สัมพันธ์กันกับการพับการตกค้างของสารเคมีในตัวอย่างผักและผลไม้ และพบว่ากลุ่มตัวอย่างที่มีข้อมูลสำหรับการตรวจสอบย้อนกลับมีแนวโน้มจำนวนตัวอย่างที่ต่ำกว่าตัวอย่างที่ไม่มีข้อมูล 3) การพัฒนาระบบตรวจสอบย้อนกลับสำหรับห่วงโซ่อุปทานปลาทูน่า [10] ซึ่งให้ความสำคัญกับการตรวจสอบข้อมูลเกี่ยวกับอุณหภูมิ สารชีวเคมี (Histamine) จำนวน TPC แบบที่เรียกและจุลินทรีย์ที่ก่อให้เกิดโรค สุขอนามัยของคนงาน การใช้เครื่องมือและกระบวนการการทำงานต่าง ๆ โดยนำระบบเทคโนโลยีสารสนเทศเข้ามาช่วยบริหารจัดการข้อมูลเพื่อการตรวจสอบย้อนกลับตลอดห่วงโซ่อุปทานของอุตสาหกรรมปลาทูน่าในประเทศไทยในโคนีชีย 4) การพัฒนาระบบตรวจสอบ

ย้อนกลับสำหรับห่วงโซ่อุปทานอุตสาหกรรมข้าวในอินโดนีเซีย [11] คณะกรรมการวิจัยใช้งานการพัฒนาระบบ (System Development Life Cycle) เป็นกรอบในการพัฒนาระบบสารสนเทศ โดยพบว่าผู้ที่มีส่วนเกี่ยวข้องตลอดห่วงโซ่อุปทานข้าว ตั้งแต่ต้นน้ำลึกล้ำไปจนถึงปลายน้ำ ประกอบด้วย เกษตรกร ผู้ประกอบการ (Processing Industries) ผู้กระจายสินค้า (Distributions) ตัวแทนขนส่งสินค้าหรือบูล็อก (Bulog: Indonesian logistics Agency) และผู้ค้าปลีก (Retailers) ผู้วิจัยได้อธิบายสถาปัตยกรรมและการออกแบบระบบด้วยแผนภาพกระแสข้อมูล (Data Flow Diagram) การพัฒนาต้นแบบระบบซึ่งแสดงให้เห็นถึงความต้องการการทำงานของผู้มีส่วนได้เสียในการติดตามกระบวนการผลิตและช่วยการตัดสินใจได้

ผลจากการศึกษาเอกสารและงานวิจัยดังกล่าวได้แสดงให้เห็นถึงประโยชน์และความจำเป็นในการพัฒนาระบบตรวจสอบย้อนกลับ เพื่อใช้สร้างความเชื่อมั่นในคุณภาพของถั่วลิสิงที่ปลอดภัย สามารถตรวจสอบข้อมูลได้ตลอดห่วงโซ่อุปทาน ตั้งแต่แหล่งที่มาของถั่ว กระบวนการแปรรูป การตรวจสอบคุณภาพตามมาตรฐาน มกช. 4702-2557 การจำหน่ายและการกระจายถั่วลิสิงไปยังแหล่งต่าง ๆ โดยใช้เทคโนโลยี QR - Code ร่วมกับเว็บแอปพลิเคชันในการบริการข้อมูลสารสนเทศที่เกี่ยวข้อง ซึ่งเกษตรกร ผู้ประกอบการ เจ้าหน้าที่ และผู้บริโภคสามารถบันทึกและตรวจสอบข้อมูลได้อย่างสะดวกและรวดเร็วยิ่งขึ้น

วิธีดำเนินการวิจัย

1. เครื่องมือการวิจัย

1.1 แบบล้มภาษณ์แบบกึ่งโครงสร้าง (Semi-Structured Interview) ความต้องการระบบสารสนเทศการตรวจสอบย้อนกลับในอุตสาหกรรมถั่วลิสิง

1.2 ต้นแบบ (Prototype) ระบบสารสนเทศการตรวจสอบย้อนกลับในอุตสาหกรรมถั่วลิสิง

1.3 แบบประเมินความพึงพอใจของผู้ใช้ระบบ

2. ประชากรและกลุ่มตัวอย่าง

ผู้วิจัยกำหนดประชากรในการศึกษา ได้แก่ ผู้มีส่วนได้เสียเกี่ยวกับอุตสาหกรรมถั่วลิสิง ในจังหวัดลำปาง ประกอบด้วย เกษตรกรผู้ปลูกถั่วลิสิง ผู้ประกอบการในอุตสาหกรรมถั่วลิสิง ผู้ใช้ผลิตภัณฑ์จากถั่วลิสิง และเจ้าหน้าที่ล่งเสริมการเกษตร กลุ่มตัวอย่างคือ เกษตรกรผู้ปลูกถั่วลิสิง ผู้ประกอบการในอุตสาหกรรมถั่วลิสิง ผู้ใช้ผลิตภัณฑ์จากถั่วลิสิง และเจ้าหน้าที่ล่งเสริมการเกษตร จำนวน 37 คน ซึ่งได้จากการสุ่มตัวอย่างแบบเจาะจง (Purposive Sampling) จำนวน 37 ราย โดยใช้เงื่อนไขในการคัดเลือกคือ เป็นผู้ที่มีส่วนเกี่ยวข้องกับการผลิต การแปรรูป การใช้ และการล่งเสริมอุตสาหกรรมถั่วลิสิงมาแล้วไม่ต่ำกว่า 3 ปี

3. ขั้นตอนดำเนินการวิจัย

ผู้วิจัยดำเนินการโดยประยุกต์ขั้นตอนของวงจรการพัฒนาระบบสารสนเทศและการสร้างต้นแบบ [12] เพื่อให้เหมาะสมกับบริบทในการทำงานที่มีข้อจำกัดด้านเวลา ขั้นตอนมีดังนี้

ขั้นตอนที่ 1 การวางแผนและการศึกษาข้อมูลเบื้องต้น (Project Planning and Study) โดยรวมข้อมูลเกี่ยวกับมาตรฐานการผลิตเมล็ดถั่วลิสิง การปฏิบัติทางการเกษตรที่ดีสำหรับถั่วลิสิง (Good Agricultural Practices) เอกสารและงานวิจัยที่เกี่ยวข้องกับการตรวจสอบย้อนกลับผลิตภัณฑ์ทางการเกษตรอื่น ๆ และสภาพบริบทของการผลิตถั่วลิสิงในพื้นที่จังหวัดลำปาง ความพร้อมด้านบุคลากร และเทคโนโลยีที่เกี่ยวข้องกับการพัฒนาและการใช้งานระบบตรวจสอบย้อนกลับถั่วลิสิง

ขั้นตอนที่ 2 การวิเคราะห์ (System Analysis) การวิเคราะห์กระบวนการทำงาน จากเอกสารที่รวบรวมได้ในขั้นตอนแรก ขอบเขตของระบบ การไหลของข้อมูล ความต้องการสารสนเทศจากบุคลากร และผู้ที่เกี่ยวข้องกับระบบ โดยใช้แบบสัมภาษณ์แบบกึ่งโครงสร้าง (Semi-Structured Interview) เป็นเครื่องมือในการเก็บรวบรวมข้อมูล ข้อมูลที่ได้ทั้งหมดคำน่าวิเคราะห์และสรุปเป็นแผนภาพการไหลของข้อมูล (Data Flow Diagram) พจนานุกรมข้อมูล (Data Dictionary)

ขั้นตอนที่ 3 การออกแบบและพัฒนาต้นแบบระบบ (System Design and Develop Prototype) โดยนำข้อมูลที่ได้จากขั้นตอนการวิเคราะห์มาออกแบบรายงานและการเข้าข้อมูล ออกแบบระบบฐานข้อมูล และพัฒนาเป็นต้นแบบระบบในลักษณะเว็บแอปพลิเคชันและโมบายแอปพลิเคชัน ที่ใช้เทคโนโลยี QR - Code สำหรับการระบุตัวตนของเกษตรกร ผู้ประกอบการ และการตรวจสอบคุณภาพผลิตภัณฑ์ถ้วนสิ้นที่ปลดภัยจากอาชญากรรม

ขั้นตอนที่ 4 การติดตั้งและทดลองใช้งานต้นแบบ (Implement and Use Prototype) โดยทำการอัปโหลดระบบไว้บนเซิร์ฟเวอร์ (Server) เพื่อให้กลุ่มตัวอย่างสามารถใช้งานได้ผ่านเครือข่ายอินเทอร์เน็ต โดยสามารถเข้าใช้งานระบบได้ที่ www.peanutthailand.com จากนั้นได้จัดทำคู่มือการใช้งานระบบ ประชุมกลุ่มตัวอย่างเพื่อแนะนำการใช้งานระบบ โดยให้กลุ่มตัวอย่างเข้าใช้และประเมินผลหลังจากทดลองใช้เก็บข้อมูล ผลการประเมินด้วยแบบประเมินความพึงพอใจของผู้ใช้ระบบ

ขั้นตอนที่ 5 การปรับปรุงและบำรุงรักษา (Maintenance) นำผลจากแบบประเมินความพึงพอใจมาที่ได้มาทำการวิเคราะห์ ออกแบบและปรับปรุงต้นแบบระบบให้สอดคล้องกับความต้องการของผู้ใช้ เพื่อให้ได้ต้นแบบระบบตรวจสอบย้อนกลับในอุตสาหกรรมถ้วนสิ้นที่ปลดภัยต่อสาธารณะฟلاحอกซินต่อไป

ผลการศึกษา

1. ผลการศึกษากระบวนการดำเนินงานในห่วงโซ่อุปทานของอุตสาหกรรมถ้วนสิ้น

จากการศึกษาและรวบรวมข้อมูลการผลิตถ้วนสิ้นตลอดห่วงโซ่อุปทาน ในพื้นที่จังหวัดลำปาง มาทำการวิเคราะห์และออกแบบระบบลืนคันย้อนกลับ พบว่าการเข้มงวดข้อมูลเพื่อการตรวจสอบย้อนกลับข้อมูลระหว่างจุดภายในห่วงโซ่อุปทาน (External Traceability) และภายในของแต่ละจุดของห่วงโซ่อุปทาน (Internal Traceability) และคงได้ดังรูปที่ 1 อธิบายได้ดังนี้

การดำเนินงานในช่วงต้นน้ำ ได้แก่ การจัดการแหล่งผลิตถ้วนสิ้น แหล่งจำหน่ายเมล็ดพันธุ์ถ้วนสิ้น เป็นแหล่งข้อมูลด้านการผลิตเมล็ดพันธุ์ถ้วนสิ้น มีหน้าที่พัฒนาและจัดหาถ้วนสิ้นสายพันธุ์ที่มีคุณภาพดีเพื่อจำหน่ายให้กับเกษตรกร โดยเกษตรกรจะทำการซื้อเมล็ดพันธุ์ถ้วนสิ้นมาทำการเพาะปลูกในแต่ละฤดูกาลผลิต ซึ่งเกษตรกรจะต้องทำการบันทึกข้อมูลเกี่ยวกับแหล่งที่มาของเมล็ดพันธุ์ การปลูก การจัดการแปลง การเก็บเกี่ยว และการจัดการหลังการเก็บเกี่ยว

การดำเนินการในช่วงกลางน้ำ ได้แก่ การรวบรวมและการตรวจสอบคุณภาพถ้วนสิ้น โดยสหกรณ์หรือแหล่งรวมผลผลิตถ้วนสิ้นจากสหกรณ์ จะทำหน้าที่รวบรวมโดยการรับซื้อถ้วนสิ้นจากเกษตรกรมาทำการบรรจุและอกรหัส QR - Code เพื่อติดตามถ้วนสิ้นในแต่ละรุ่น (Lot) จากเกษตรกรแต่ละราย เพื่อนำส่ง โรงพยาบาล ซึ่งจะต้องบันทึกข้อมูลการรับซื้อถ้วนสิ้น อาจมาจากสหกรณ์หรือผู้นำเข้าถ้วนสิ้นจาก

ต่างประเทศ โดยต้องทำการบันทึกข้อมูลการนำเข้าถ้วนสิ้นมาสู่กระบวนการผลิตของโรงงานทุกรุ่งทึ้งนี้ในกระบวนการผลิตของโรงงำเกา และกระบวนการย่อยภายนอกงาน ซึ่งต้องมีการจัดการและบันทึกข้อมูลเพื่อติดตามตรวจสอบย้อนกลับได้ทุกขั้นตอน เช่น การตาก การเกา การบรรจุภัณฑ์ เป็นต้น โดยมีการกำหนดครุ่น (Lot) การผลิตเพื่อติดตามถ้วนสิ้นได้ทุกขั้นตอน จนถึงการจำหน่ายให้กับผู้จำหน่ายรายย่อยหรือโรงงานแปรรูปที่รับซื้อเมล็ดถ้วนสิ้นไปทำผลิตภัณฑ์อื่น ๆ ต่อไป โดยในระหว่างกระบวนการของโรงงำเกา จะมีการสั่งตรวจน้ำมันเมล็ดถ้วนสิ้นที่ทำผ่านกระบวนการเปลือกแล้ว เพื่อวัดปริมาณสารอะฟลาโทกซินโดยห้องปฏิบัติการ ซึ่งจะนำเมล็ดถ้วนสิ้นในแต่ละรุ่นไปตรวจและบันทึกผลการตรวจสอบผ่านระบบซึ่งผู้ที่เกี่ยวข้องสามารถรับทราบผลการตรวจ และติดตามผลตรวจสอบเมล็ดถ้วนสิ้นในแต่ละรุ่นผ่านระบบได้

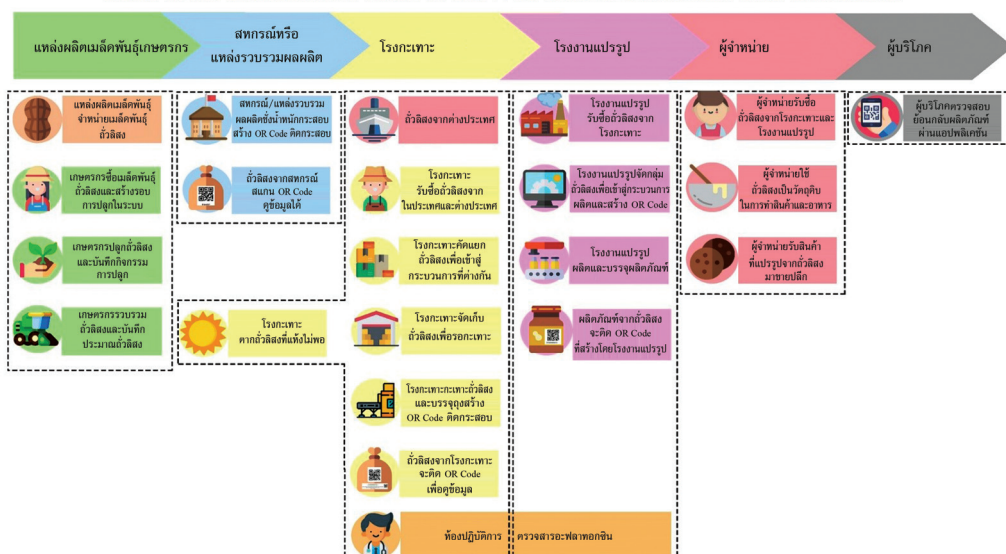
การดำเนินการในช่วงปลายน้ำ ได้แก่ การแปรรูปและการจำหน่ายถ้วนสิ้น ซึ่งโรงงานแปรรูปและร้านค้าผู้จำหน่าย จะรับซื้อถ้วนสิ้นจากโรงงำเกาเป็นส่วนผสมในผลิตภัณฑ์ หรือใช้เป็นส่วนประกอบของผลิตภัณฑ์อาหารที่จำหน่าย ซึ่งต้องบันทึกข้อมูลการรับซื้อเมล็ดถ้วนสิ้น การแปรรูปผลิตภัณฑ์ในแต่ละรุ่น จากเมล็ดถ้วนสิ้นที่รับซื้อ และการจำหน่ายผลิตภัณฑ์ถ้วนสิ้น ซึ่งจะต้องอกรหัส QR - Code เพื่อการตรวจสอบย้อนกลับข้อมูลการผลิตถ้วนสิ้นและข้อมูลผลิตภัณฑ์ไว้บนฉลาก เพื่อให้ผู้บริโภคได้ตรวจสอบผ่านระบบได้

2. ผลการออกแบบและพัฒนาต้นแบบระบบการตรวจสอบย้อนกลับในอุตสาหกรรมถ้วนสิ้น

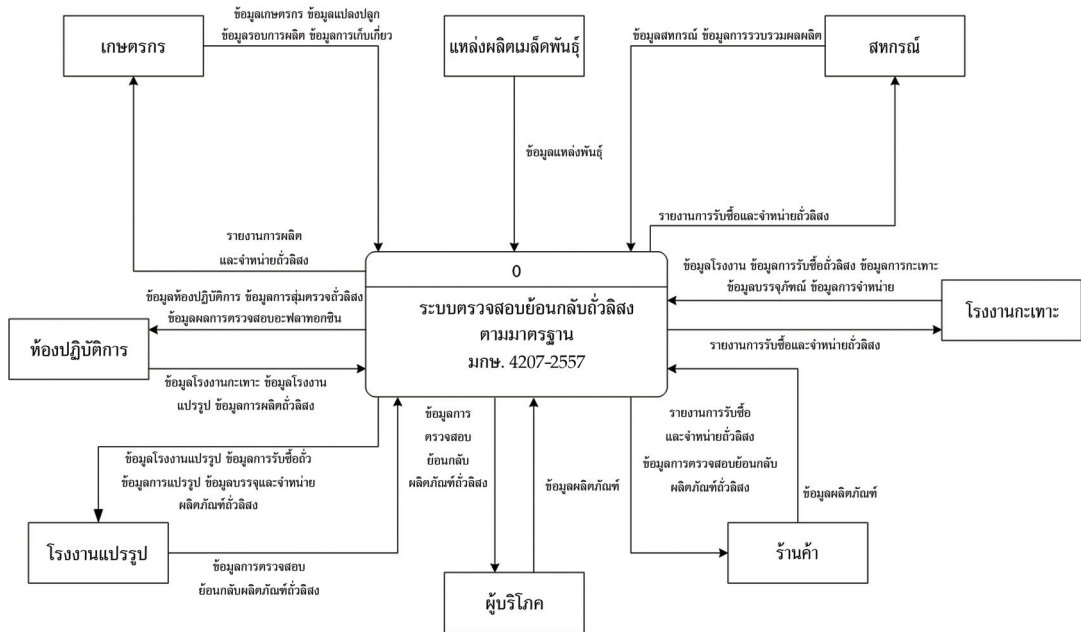
จากการศึกษารายละเอียดการทำงานเกี่ยวกับระบบสืบค้นย้อนกลับตลอดห่วงโซ่อุปทานในอุตสาหกรรมถ้วนสิ้นในพื้นที่จังหวัดลำปาง ดังกล่าวข้างต้น ข้อมูลที่ได้นำมาวิเคราะห์ขอนเขตการทำงานของระบบ ความล้มเหลวของเอนทิตี้ (Entity) และข้อมูลที่เกี่ยวข้องกับระบบ โดยนำเสนอในรูปแบบแผนภาพบริบท (Context Diagram) ซึ่งเป็นแผนภาพแสดงภาพรวมของระบบห้องหมุด [13] ดังรูปที่ 2

ขั้นตอนการทำงานระบบตรวจสอบย้อนกลับถ้วนสิ้น

โครงสร้างการพัฒนาแนวทางการลดปริมาณสารอะฟลาโทกซินในห่วงโซ่อุปทาน



รูปที่ 1 การเขียนโมเดลกิจกรรมของระบบตรวจสอบย้อนกลับในอุตสาหกรรมถ้วนสิ้นตลอดห่วงโซ่อุปทาน

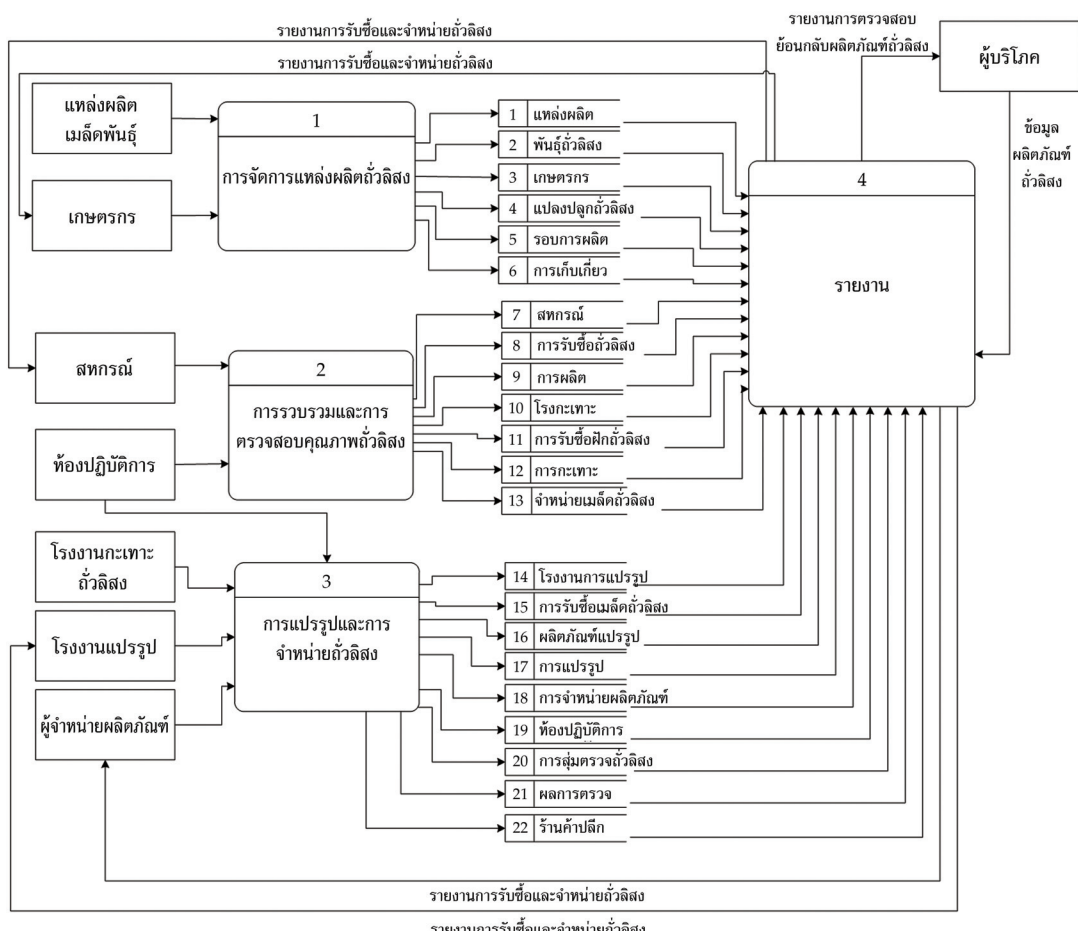


รูปที่ 2 แผนภาพบริบท ระบบตรวจสอบข้อบังคับถ้วนสิ่งตามมาตรฐาน มกช. 4702-2557

จากรูปที่ 2 เอกนথีภัยนอกที่มีความล้มเหลว กับระบบมีจำนวน 8 เอกนथี ได้แก่ 1) แหล่งผลิตเมล็ดพันธุ์ถ้วนสิ่ง คือสถานที่ซึ่งพัฒนาและผลิตเมล็ดพันธุ์ มีข้อมูลที่เกี่ยวข้องกับระบบ ได้แก่ ข้อมูลแหล่งผลิตเมล็ดพันธุ์ ข้อมูลพันธุ์ถ้วนสิ่ง 2) เกษตรกร คือ บุคคลที่นำเมล็ดพันธุ์ถ้วนสิ่งมาเพาะปลูก มีข้อมูลที่เกี่ยวกับระบบ ได้แก่ ข้อมูลเกษตรกร ข้อมูลแปลงปลูกถ้วนสิ่ง และข้อมูลกิจกรรมการปลูก 3) สหกรณ์หรือผู้รวบรวมผลผลิต คือ สถานที่หรือบุคคลที่เป็นผู้รวบรวมหรือรับซื้อฝักถ้วนสิ่งจากเกษตรกร มาตากและจัดเก็บเพื่อรอการจำหน่าย วีช้อมูลที่เกี่ยวข้องกับระบบ ได้แก่ ข้อมูลสหกรณ์หรือผู้รวบรวมข้อมูล ข้อมูลการรวบรวม ข้อมูลรับซื้อหรือข้อมูลการนำเข้าถ้วนสิ่งจากต่างประเทศ 4) โรงพยาบาล คือ สถานที่รับซื้อฝักถ้วนสิ่ง เพื่อนำมาใช้ในทางการแพทย์แล้วนำไปใช้ในโรงพยาบาล ได้แก่ ข้อมูลโรงพยาบาล ข้อมูลการรับซื้อฝักถ้วนสิ่ง ข้อมูลการจะเท่า ข้อมูลการบรรจุภัณฑ์ และข้อมูลการจำหน่ายเมล็ดถ้วนสิ่ง 5) โรงงานแปรรูป ผลิตภัณฑ์ถ้วนสิ่ง คือ สถานที่รับซื้อเมล็ดถ้วนสิ่งมาทำการแปรรูปเป็นผลิตภัณฑ์ที่มีส่วนประกอบของถ้วนสิ่งในลักษณะต่าง ๆ มีข้อมูลที่เกี่ยวข้องกับระบบ ได้แก่ ข้อมูลโรงงานแปรรูป ข้อมูลผลิตภัณฑ์ ข้อมูลการรับซื้อเมล็ดถ้วนสิ่งที่บรรจุภัณฑ์ ข้อมูลการแปรรูปผลิตภัณฑ์จากเมล็ดถ้วนสิ่ง และข้อมูลการจำหน่ายผลิตภัณฑ์จากถ้วนสิ่ง 6) ห้องปฏิบัติการตรวจสอบสารเคมี พลังงาน คือ สถานที่ซึ่งมีอำนาจ และหน้าที่ในการตรวจสอบสารเคมี พลังงาน ตามมาตรฐาน มกช. 4702-2557 มีข้อมูลที่เกี่ยวข้อง กับระบบ ได้แก่ ข้อมูลห้องปฏิบัติการ ข้อมูลการเคมีตรวจสอบถ้วนสิ่ง และข้อมูลผลการตรวจสอบสารเคมี พลังงาน ในเมล็ดถ้วนสิ่งและผลิตภัณฑ์ 7) ร้านจำหน่ายผลิตภัณฑ์ถ้วนสิ่ง คือ สถานที่ซึ่งรับผลิตภัณฑ์ถ้วนสิ่งแปรรูป หรือเมล็ดถ้วนสิ่งมาจำหน่าย มีข้อมูลที่เกี่ยวข้องกับระบบ ได้แก่ ข้อมูลร้านค้า ข้อมูลผลิตภัณฑ์ และข้อมูลการรับซื้อผลิตภัณฑ์จากถ้วนสิ่ง หรือข้อมูลการรับซื้อเมล็ดถ้วนสิ่งบรรจุภัณฑ์ และ 8) ผู้บริโภค คือ

บุคคลที่ใช้ระบบในการตรวจสอบข้อมูลย้อนกลับของผลิตภัณฑ์ถ้วนถิ่น เพื่อทราบเส้นทางการผลิตและผลการตรวจสอบหาปริมาณสารอะฟลาโทกซิน โดยนำเข้ารหัส QR-Code จากตัวผลิตภัณฑ์เพื่อตรวจสอบข้อมูลจากระบบได้

จำแนกแผนภาพบริบทชี้แจงแสดงภาพรวมระหว่างความสัมพันธ์ของเงินทีภายในอกกับระบบสามารถนำมาแสดงรายละเอียดของกระบวนการทำงานหลักของระบบ เพื่อแสดงทิศทางการไหลเวียนของข้อมูลในระบบ การประสานงานรับ-ส่งข้อมูลและสารสนเทศกับเงินทีภายนอก รวมถึงแสดงการเชื่อมโยงการทำงานระหว่างกระบวนการทำงาน การจัดเก็บและค้นหาข้อมูลจากแหล่งจัดเก็บข้อมูลต่าง ๆ โดยนำเสนอในรูปแบบของแผนภาพกระแสข้อมูลระดับบนสุด (Data Flow Diagram: Level 0) ซึ่งเป็นแผนภาพแสดงองค์ประกอบของกระบวนการทำงานหลักของระบบ [13] ดังรูปที่ 3



รูปที่ 3 แผนภาพกระแสข้อมูลระดับบนสุด หรือ Data Flow Diagram: Level 0

จากแผนภาพกระแสข้อมูลระดับบนสุดข้าง ต้น อธิบายได้ว่ากระบวนการทำงานของระบบตรวจสอบย้อนกลับมีเงินทีภายนอกที่มีปฏิสัมพันธ์กับระบบผ่านกระบวนการการทำงาน ซึ่งจำแนกตามระยะ

การดำเนินงานของห่วงโซ่อุปทานในอุตสาหกรรมถั่วลิสิ่ง ดังนี้ 1) การจัดการแหล่งผลิตถั่วลิสิ่ง 2) การรวบรวมและการตรวจสอบคุณภาพถั่วลิสิ่ง 3) การปรับรูปและการจำหน่ายถั่วลิสิ่ง และ 4) รายงาน โดยมีแหล่งจัดเก็บข้อมูล (Data Store) จำนวน 22 แหล่งข้อมูล สำหรับจัดเก็บและใช้ประมวลผลเพื่อนำเสนอในรูปแบบของรายงานสารสนเทศในกระบวนการจัดทำรายงานการตรวจสอบย้อนกลับต่อไป

การพัฒนาต้นแบบระบบการตรวจสอบย้อนกลับในอุตสาหกรรมถั่วลิสิ่งแบ่งเป็น 2 แพลตฟอร์ม ได้แก่

1) เว็บแอปพลิเคชัน พัฒนาโดยใช้โปรแกรมภาษา PHP ใน การเขียนโปรแกรมใช้โปรแกรม MySQL สำหรับบริการจัดการฐานข้อมูล ติดตั้งระบบให้ผู้ใช้สามารถบริหารจัดการและตรวจสอบข้อมูลที่เกี่ยวข้องได้ที่เว็บไซต์ www.peanutthailand.com ประกอบด้วย เมนูการทำงานตามบทบาทของผู้ใช้ดังนี้

(1) แหล่งเมล็ดพันธุ์ถั่วลิสิ่ง ได้แก่ ข้อมูลแหล่งผลิตเมล็ดพันธุ์ และข้อมูลพันธุ์ถั่วลิสิ่ง

(2) เกษตรกร ได้แก่ ข้อมูลเกษตรกร ข้อมูลแปลงปลูกถั่วลิสิ่ง และข้อมูลกิจกรรมการปลูกถั่วลิสิ่ง

(3) สหกรณ์/ตัวแทนรับซื้อหรือนำเข้าถั่วลิสิ่ง/ผู้รวบรวมผลผลิต ได้แก่ ข้อมูลสหกรณ์/ผู้รวบรวมข้อมูล การรวบรวม/รับซื้อ/นำเข้าถั่วลิสิ่ง และข้อมูลการกำหนดรหัสถั่วลิสิ่ง (QR - Code)

(4) โรงงานเปลือกถั่วลิสิ่ง ได้แก่ ข้อมูลโรงงาน ข้อมูลกระบวนการรับซื้อถั่ว ข้อมูลกระบวนการกำ奸นาระบบ ข้อมูลการกำหนดรหัสถั่วลิสิ่ง (QR - Code) ข้อมูลการบรรจุภัณฑ์ และข้อมูลการจำหน่ายถั่วลิสิ่ง

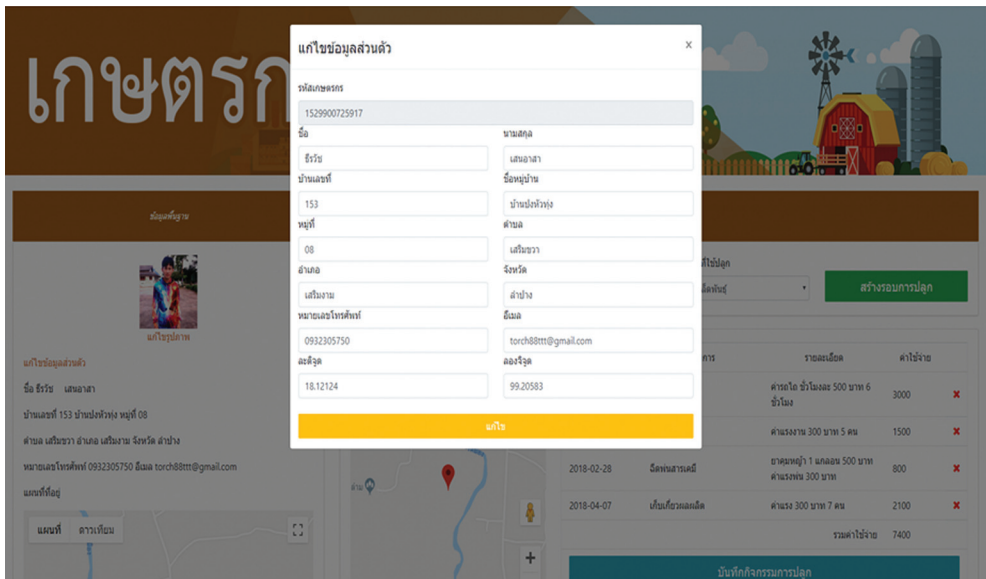
(5) ห้องปฏิบัติการตรวจสอบสารอาหารอุตสาหกรรม ได้แก่ ข้อมูลห้องปฏิบัติการ ข้อมูลการลุ่มตรวจถั่วลิสิ่ง และข้อมูลผลการตรวจ

(6) โรงงานแปรรูป ได้แก่ ข้อมูลโรงงานแปรรูป ข้อมูลผลิตภัณฑ์ ข้อมูลการรับซื้อถั่วลิสิ่ง บรรจุภัณฑ์ ข้อมูลการแปรรูปผลิตภัณฑ์จากถั่วลิสิ่ง ข้อมูลการกำหนดรหัสผลิตภัณฑ์ (QR - Code) และข้อมูลการจำหน่ายผลิตภัณฑ์

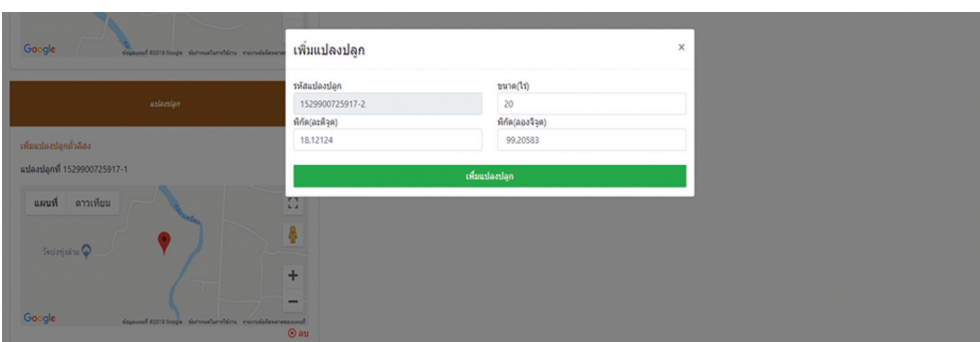
(7) ร้านค้าจำหน่ายผลิตภัณฑ์จากถั่ว ได้แก่ ข้อมูลร้านค้า ข้อมูลผลิตภัณฑ์ และข้อมูลการรับซื้อผลิตภัณฑ์จากถั่วลิสิ่ง/ข้อมูลการรับซื้อถั่วลิสิ่งบรรจุภัณฑ์

นอกจากนี้ เว็บไซต์ยังจัดแสดงและให้บริการความรู้ที่เกี่ยวข้องกับการผลิตถั่วลิสิ่ง ซึ่งเกษตรกรผู้ประกอบการและผู้ที่สนใจทั่วไปสามารถใช้บริการได้ตลอดเวลา เช่น คลังความรู้ กระดานข่าว เป็นต้น ตัวอย่างการทำงานของแต่ละกระบวนการ ดังรูปที่ 4 - 7

2) โมบายแอปพลิเคชัน พัฒนาโดยใช้โปรแกรม Android Studio เพื่อให้ผู้ใช้สามารถเข้าถึงและสืบค้นย้อนกลับข้อมูลในอุตสาหกรรมถั่วลิสิ่งได้จากโทรศัพท์มือถือ โดยการติดตั้งแอปพลิเคชันลงในเครื่องโทรศัพท์และเมื่อต้องการใช้งาน เช่น การตรวจสอบที่มาของผลิตภัณฑ์ถั่วลิสิ่ง การรับรองความปลอดภัย จากสารอาหารอุตสาหกรรมจากห้องปฏิบัติการ เป็นต้น ผู้ใช้สามารถเปิดแอปพลิเคชันจากโทรศัพท์แล้วสแกน QR - Code เพื่อตรวจสอบผลการดำเนินงานจากระบบได้ ดังรูปที่ 8



รูปที่ 4 การจัดการข้อมูลเกษตรกร



รูปที่ 5 การจัดการข้อมูลแปลงปลูกถาวรลิสต์

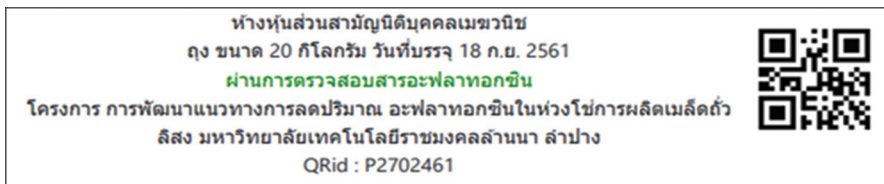
นักวิจัย/ผู้ดูแลระบบ

เลขประจำตัวผู้ใช้	ห้องที่ปักกอก (ชื่อ)	วันที่ปักกอก	เมล์เดิมพันธุ์ที่ใช้ปักกอก	สร้างรอบการปักกอก
1529900725917-1	10	18/09/2018	ใบแทนที่ (ศูนย์บริการที่ผลิตเมล็ดถั่ว)	

แผนที่ 1529900725917-1 รอบที่ 1/2561	<table border="1"> <thead> <tr> <th>วันที่</th> <th>รายการ</th> <th>ราคางวดเดียว</th> <th>ค่าใช้จ่าย</th> </tr> </thead> <tbody> <tr> <td>2018-02-01</td> <td>นำเข้า</td> <td>ค่าขนส่ง 500 บาท 6 ชั่วโมง</td> <td>3000</td> </tr> <tr> <td>2018-02-05</td> <td>ปักกอก</td> <td>ค่าแรงงาน 300 บาท 5 คน</td> <td>1500</td> </tr> <tr> <td>2018-02-28</td> <td>รีดพัฒนาคุณภาพ</td> <td>ยาฆ่าแมลง 1 กก.ละ 500 บาท ค่าแรงงาน 300 บาท</td> <td>800</td> </tr> <tr> <td>2018-04-07</td> <td>เก็บเกี่ยวผลผลิต</td> <td>ค่าแรง 300 บาท 7 คน</td> <td>2100</td> </tr> <tr> <td></td> <td></td> <td>รวมค่าใช้จ่าย</td> <td>7400</td> </tr> </tbody> </table>	วันที่	รายการ	ราคางวดเดียว	ค่าใช้จ่าย	2018-02-01	นำเข้า	ค่าขนส่ง 500 บาท 6 ชั่วโมง	3000	2018-02-05	ปักกอก	ค่าแรงงาน 300 บาท 5 คน	1500	2018-02-28	รีดพัฒนาคุณภาพ	ยาฆ่าแมลง 1 กก.ละ 500 บาท ค่าแรงงาน 300 บาท	800	2018-04-07	เก็บเกี่ยวผลผลิต	ค่าแรง 300 บาท 7 คน	2100			รวมค่าใช้จ่าย	7400
วันที่	รายการ	ราคางวดเดียว	ค่าใช้จ่าย																						
2018-02-01	นำเข้า	ค่าขนส่ง 500 บาท 6 ชั่วโมง	3000																						
2018-02-05	ปักกอก	ค่าแรงงาน 300 บาท 5 คน	1500																						
2018-02-28	รีดพัฒนาคุณภาพ	ยาฆ่าแมลง 1 กก.ละ 500 บาท ค่าแรงงาน 300 บาท	800																						
2018-04-07	เก็บเกี่ยวผลผลิต	ค่าแรง 300 บาท 7 คน	2100																						
		รวมค่าใช้จ่าย	7400																						
แผนที่	ดำเนินการปักกอก																								

Google Map ©2018 Google. สงวนสิทธิ์ของเจ้าของลิขสิทธิ์.

รูปที่ 6 การจัดการข้อมูลกิจกรรมการปักกอกถั่วลิส汀



รูปที่ 7 การพิมพ์ QR - Code ติดถุงถั่влิส汀ของโรงเกษตรเปลือกถั่влิส汀



(ก) หน้าแรกของโมบาย
แอปพลิเคชัน

(ข) การตรวจสอบ
QR-Code จากระบบ

(ค) ผลการตรวจสอบ
ข้อมูลจาก QR-Code

รูปที่ 8 ตัวอย่างการตรวจสอบข้อมูลผลิตภัณฑ์ถั่влิส汀จากโมบายแอปพลิเคชันและการแสดงผลการตรวจสอบ

3. ผลการประเมินความพึงพอใจของการใช้ระบบสืบค้นย้อนกลับในอุตสาหกรรมถั่วลิสинг

ผลของการประเมินความพึงพอใจของการใช้ระบบสืบค้นย้อนกลับในอุตสาหกรรมถั่วลิสิง หลังฟังคำแนะนำและทดลองใช้งานด้วยตนเองแล้ว พบร่วม 1) ผู้ใช้งานระบบจำนวน 37 คน จำแนกกลุ่ม ตามบทบาทการใช้งานได้เป็น เกษตรกร 27 คน ผู้ประกอบการ 1 คน เจ้าหน้าที่ส่งเสริมการเกษตร/นักวิชาการเกษตร 4 คน ผู้ใช้ผลิตภัณฑ์จากถั่วลิสิง 5 คน คิดเป็นร้อยละ 72.98 2.70 10.81 และ 13.51 ตามลำดับ โดยพบว่าระบบที่พัฒนามีรูปแบบลักษณะที่ตรงกับความต้องการอยู่ในระดับมาก โดยมีค่าเฉลี่ยรวมเท่ากับ 4.27 และมีค่าส่วนเบี่ยงเบนมาตรฐานเท่ากับ 0.27 ความพึงพอใจต่อการจัดการข้อมูล และสารสนเทศที่ได้รับจากระบบอยู่ในระดับมาก มีค่าเฉลี่ยรวมเท่ากับ 4.35 และมีค่าส่วนเบี่ยงเบนมาตรฐานเท่ากับ 0.96 ระบบมีการใช้งานง่าย สะดวกและรวดเร็ว อยู่ในระดับมาก โดยมีค่าเฉลี่ยรวมเท่ากับ 4.40 และมีค่าส่วนเบี่ยงเบนมาตรฐานเท่ากับ 0.85 และระบบมีการรักษาความปลอดภัยของข้อมูลที่ดีอยู่ในระดับมาก โดยมีค่าเฉลี่ยรวมเท่ากับ 4.32 และมีค่าส่วนเบี่ยงเบนมาตรฐานเท่ากับ 0.57 และ 2) ข้อสังเกตและข้อเสนอแนะจากการให้ผู้ใช้ทดลองใช้ระบบพบว่า ผู้ใช้ส่วนใหญ่ที่เป็นเกษตรกรซึ่งมีอายุมากจะทำงานได้ช้า เนื่องจากยังไม่คุ้นชินกับการใช้งาน บางส่วนไม่กล้าบันทึกข้อมูลหรือกดปุ่มเมนูคำลั่ง เพราะเกรงว่า จะก่อให้เกิดความผิดพลาด จึงต้องใช้เจ้าหน้าที่ช่วยให้คำแนะนำการใช้งาน ดังนั้น เพื่อให้สามารถนำระบบไปใช้งานจริงได้อย่างเต็มรูปแบบ จึงควรต้องมีการฝึกอบรมการใช้งานระบบและอุปกรณ์ที่เกี่ยวข้อง แก่เกษตรกรอย่างต่อเนื่อง ในส่วนของความพึงพอใจต่อการใช้ระบบจะพบว่าผู้ใช้ส่วนใหญ่มีความพึงพอใจต่อการใช้งานระบบสืบค้นย้อนกลับถั่วลิสิงในระดับอย่างมากถึงมากที่สุด เช่น การที่ระบบมีเมนูนำทางที่ชัดเจน การจัดวางตำแหน่งของข้อมูล รูปภาพ ปุ่มคำลั่งและเมนู เป็นต้น ส่วนที่ต้องปรับปรุง ได้แก่ เรื่องของขนาดตัวอักษร เนื่องจากผู้ใช้ส่วนใหญ่เป็นผู้ใหญ่ซึ่งอาจมีปัญหาเรื่องสายตา จึงควรต้องมีการปรับขนาดตัวอักษรให้เหมาะสมต่อไป

สรุปผลและการอภิปรายผล

จากการศึกษาวิจัยมีประเด็นที่ค้นพบสามารถอภิปรายผลตามวัตถุประสงค์ของการวิจัยดังนี้ ระบบสืบค้นย้อนกลับในอุตสาหกรรมถั่วลิสิง เป็นระบบที่สามารถตรวจสอบข้อมูลได้ตลอดทุกระยะของกิจกรรมการผลิต เริ่มต้นแต่การปลูก การรวบรวมผลผลิต การแปรรูป การจำหน่าย จนผู้บริโภคสุดท้าย ซึ่งระบบมีการบริหารจัดการข้อมูลตลอดห่วงโซ่อุปทาน โดยแบ่งออกเป็น 3 ช่วง คือ 1) การจัดการแหล่งผลิตถั่วลิสิง ได้แก่ ข้อมูลเกี่ยวกับที่มาของเมล็ดพันธุ์ถั่วลิสิง เช่น แหล่งผลิตเมล็ดพันธุ์ เกษตรกร การปลูกถั่วลิสิง เป็นต้น 2) การรวบรวมและการตรวจสอบคุณภาพถั่วลิสิง ได้แก่ การรวบรวมผลผลิตถั่วลิสิง การรับซื้อผู้ผลิตถั่วลิสิง การgrade เมล็ด การตรวจสอบสารอิลาโคไซน์ เป็นต้น และ 3) การแปรรูปและการจำหน่าย ถั่วลิสิง ได้แก่ การแปรรูปและจำหน่ายผลิตภัณฑ์จากถั่วลิสิง ซึ่งมีการจัดการข้อมูลการรับซื้อเมล็ดถั่วลิสิง การแปรรูปผลิตภัณฑ์ในแต่ละรุ่น (Lot) จากเมล็ดถั่วลิสิงที่รับซื้อ และการจำหน่ายผลิตภัณฑ์ถั่วลิสิง ซึ่งจะต้องออก QR - Code เพื่อให้สามารถลืมย้อนกลับข้อมูลได้ทุกขั้นตอนในกิจกรรมตลอดห่วงโซ่อุปทาน และข้อมูลผลการตรวจสอบหาสารอิลาโคไซน์จากห้องปฏิบัติการช่วยทำให้ ผู้บริโภครับทราบและเกิดความมั่นใจในความปลอดภัยของการบริโภคถั่วลิสิงมากขึ้น สอดคล้องกับงานวิจัยของ Parinyasiri, T. et al. [9] ที่พบว่าระบบการตรวจสอบย้อนกลับตลอดห่วงโซ่อุปทานและการมีภาคบังคับ

ที่ต้นน้ำหรือกลางน้ำจะเป็นปัจจัยที่ทำให้ผักและผลไม้มีความปลอดภัยเพิ่มมากขึ้น ประเด็นด้านการพัฒนาระบบในรูปแบบเว็บแอปพลิเคชันและโมบายแอปพลิเคชันที่ให้บริการผ่านเครือข่ายอินเทอร์เน็ต ซึ่งช่วยทำให้ผู้ใช้เกิดความสะดวกในการเข้าใช้งานระบบด้วยอุปกรณ์ที่ทันสมัยต่าง ๆ เช่น โทรศัพท์มือถือ โน๊ตบุ๊ค เป็นต้น ซึ่งลอดคล้องกับข้อเสนอแนะจากงานวิจัยของ Kaewthakulpong, K. et al. [14] และงานวิจัยของ Sukchareonpong, S., and Thammasiri, D. [8] ที่พบว่าการใช้เทคโนโลยี QR - Code ในระบบ การตรวจสอบย้อนกลับผลิตภัณฑ์สินค้าเกษตร ผู้ใช้งานสามารถมีความรู้เกี่ยวกับเทคโนโลยีเบื้องต้น ด้านการใช้งานโปรแกรมการอ่าน QR - Code และการใช้งานอุปกรณ์ประเภทสมาร์ทโฟน ดังนั้นก่อน การใช้งานระบบลืนคันย้อนกลับอย่างเต็มรูปแบบ จึงต้องมีการฝึกอบรมเพื่อสร้างความเข้าใจและทักษะในการใช้เทคโนโลยีทั้งที่เป็นอุปกรณ์ฮาร์ดแวร์ (Hardware) และซอฟต์แวร์ (Software) ที่เกี่ยวข้อง เพื่อให้ผู้ใช้สามารถใช้งานระบบได้อย่างมีประสิทธิภาพต่อไป

กิตติกรรมประกาศ

การวิจัยนี้เป็นส่วนหนึ่งของการวิจัยเรื่องการพัฒนาแนวทางการลดปริมาณอะฟลาโทกซินในห่วงโซ่การผลิตเมล็ดถั่วลิสง ได้รับการสนับสนุนทุนวิจัยจากสำนักงานพัฒนาการวิจัยการเกษตร (องค์กรมหาชน) ปีงบประมาณ 2560

References

- [1] Jogloy, S., Pakuthai, W., Krasuaythong, T., Kesmala, T., Pongbut, D., Jongrungklang, N., Wongkaew, S., and Sansyawichai, T. (2011). **An Analysis to Determine the Standard of Food and Agricultural Products: The Mandatory Standards for Peanuts.** National Bureau of Agricultural Commodity and Food, Ministry of Agriculture and Cooperatives, Thailand.
- [2] Thitipetchrakul, S., Somyoontsup, K., Sattarin, K., Boonyaprapapan, P., and Mekha, N. (2015). Fungus & Aflatoxin Contamination in Ready to Eat Nuts Products. **Bulletin of the Department of Medical Sciences.** Vol. 57, No. Sub 2, pp. 244-253
- [3] Chalad, C. and Khongsai, S. (2012). Microorganisms and Aflatoxin in Food Sold in Trang Province. **RMUTSV Research Journal.** Vol. 4, No. 2, pp. 56-69
- [4] Thailand Agricultural Standard. (2014). **Peanut Kernel: Maximum Level of Aflatoxin.** National Bureau of Agricultural Commodity and Food, Ministry of Agriculture and Cooperatives, Thailand
- [5] Noitubtim, A. and Sukkajornworg, K. (2013). Application of Traceability System in Food Industry. **Princes of Naradhiwas University Journal.** Special Issue, pp. 206-215
- [6] Aung, M. M. and Chang, Y. S. (2014). Traceability in a Food Supply Chain: Safety and Quality Perspectives. **Food Control.** Vol. 39, pp. 172-184

- [7] Office of the National Digital Economy and Society Commission. (2017). **Guidelines for Link of Product Data and Traceability Processes (Traceability)**. Ministry of Digital Economy and Society, Bangkok, Thailand
- [8] Sukjarornphong, S. and Thamsiri, D. (2018). The Development of Traceability System Using QR Code Technology and Retail Packing of Pomelos in Nakhon Pathom Province. **Journal of Management Science Nakhon Pathom Rajabhat University**. Vol. 5, No. 1, pp. 67-78
- [9] Parinyasiri, T., Manoonphon, K., Wimonverapattana, W. and Butryee, C. (2018). Study on Factors Involving Safety of Fresh Fruits and Vegetables sold in Domestic Market and Recommendation on Control Measures for Ensuring Safety of Vegetables and Fruits. **Thai Food and Drug Journal**. Vol. 25, No. 2, pp. 29-38
- [10] Kresna, B. A., Seminar, K. B., and Marimin, M. (2017). Developing a Traceability System for Tuna Supply Chains. **International Journal of Supply Chain Management**. Vol. 6, No. 3, pp. 52-61
- [11] Purwandoko, P. B., Seminar, K. B., Sutrisno, S., and Sugiyanta, S. (2019). Development of a Smart Traceability System for the Rice Agroindustry Supply Chain in Indonesia. **Information (Switzerland)**. Vol. 10, No. 10, pp. 1-15. DOI: 10.3390/info10100288
- [12] Tantatsanawong, P. (2011). **Information Technology System Analysis and Design: A Managerial Perspective**. Bangkok: Faculty of Sciences, Silpakorn University
- [13] Prechapanit, A. (2014). **System Analysis and Design**. IDC Premier, Nonthaburi
- [14] Kaewthakulpong, K., Jedsadathumsathit, S., Sermsak, R., Phaosang, T., Boonkorkaew, P., Anussornnitisarn, P., and Intaravichai, S. (2010). **The Study and Development of Information Management System for Agricultural Logistic with Traceability System**. Case Study: Logistic of Kluay Khai Banana for Exportation. Department of Farm Mechanics and Agricultural System Technology, Kasetsart University, Thailand

การประเมินคุณค่าการใช้ประโยชน์พื้นที่ทุ่งสัมฤทธิ์ เพื่อการจัดการพืชเศรษฐกิจ Evaluation of Thung Sumrit Area utilization for Economic Crops Management

นพดล การดี^{1*} ณภัทร น้อยน้ำใส¹ และชัยสิทธิ์ ทองจู¹

Noppadol Kandee^{1*} Napat Noinumsai¹ and Chaisit Thongjoo¹

Received: June 4, 2020; Revised: October 5, 2020; Accepted: October 6, 2020

บทคัดย่อ

การศึกษานี้มีวัตถุประสงค์เพื่อวิเคราะห์การใช้ประโยชน์พื้นที่ทุ่งสัมฤทธิ์ การจัดการดินต่อการเจริญเติบโต และผลผลิตของพืชเศรษฐกิจ และประเมินการปลดปล่อยกําชาร์บอนไดออกไซด์และการกักเก็บอินทรีย์ かる์บอนในดินต่อการปลูกพืชเศรษฐกิจ โดยดำเนินการในพื้นที่ที่เหมาะสมน้อยสำหรับการปลูกข้าว (S3) เขตพื้นที่ทุ่งสัมฤทธิ์ จังหวัดนครราชสีมา ซึ่งวางแผนการทดลองแบบสุ่มบูรณาינםบล็อก (Randomize Complete Block Design, RCBD) มี 6 ตำรับการทดลองจำนวน 4 ชั้น ผลการทดลองพบว่า การปลูกข้าว และปลูกมันลำปะหลัง มีผลต่อการเปลี่ยนแปลงสมบัติทางเคมีของดิน ค่า pH ของดินอยู่ในระดับกรดจัด ถึงกรดรุนแรง ค่า EC ของดินอยู่ระดับเค็มน้อยถึงเค็มปานกลาง ปริมาณอินทรีย์ต่ำ และปริมาณธาตุอาหาร พอสฟอรัส และโพแทสเซียม อยู่ในระดับต่ำถึงต่ำมาก การเจริญเติบโต และผลผลิตของข้าวพบว่า การไล่ปุ๋ยเคมีตามค่าวิเคราะห์ดินร่วมกับปุ๋ยอินทรีย์ ยิปซัม และน้ำหมักชีวภาพ มีผลผลิตของข้าวสูงที่สุด เท่ากับ 274 กิโลกรัมต่อไร่ และผลผลิตของมันลำปะหลังสูงที่สุดเท่ากับ 4,680 กิโลกรัมต่อไร่ เมื่อเปรียบเทียบ กับตำรับควบคุม การไล่ปุ๋ยตามค่าวิเคราะห์ดินร่วมกับยิปซัม และน้ำหมักชีวภาพกับวิธีเกษตรกรรมมีผลให้ การกักเก็บอินทรีย์かる์บอนในดินสูงที่สุดเท่ากับร้อยละ 0.30 ใน การปลูกข้าว และร้อยละ 0.86 ใน การปลูก มันลำปะหลัง ส่วนการปลดปล่อยกําชาร์บอนไดออกไซด์แปลงปลูกข้าว และแปลงปลูกมันลำปะหลัง มีค่าไกล์เคียงกัน กล่าวคือ 559.45 ppm และ 524.83 ppm ตามลำดับ ซึ่งไม่มีความแตกต่างกันทางสถิติ ที่ระดับความเชื่อมั่นร้อยละ 95 สำหรับรายได้สุทธิของการปลูกข้าวทุกตำรับมีค่าเชิงลบ (ขาดทุน) กล่าวคือ ต้นทุนมากกว่ารายได้จากการขายผลิตผล โดยพบว่ารายได้สุทธิของการปลูกข้าวตำรับควบคุม ติดลบ (ขาดทุน) น้อยที่สุดเท่ากับ -932.00 บาทต่อไร่ สำหรับรายได้สุทธิของการปลูกมันลำปะหลังทุกตำรับ มีทั้งค่าเชิงบวก (กำไร) และค่าเชิงลบ (ขาดทุน) โดยการปลูกมันลำปะหลัง ตำรับที่ 6 ใน การไล่ปุ๋ยตาม

¹ คณะวิทยาศาสตร์และเทคโนโลยี มหาวิทยาลัยราชภัฏนครราชสีมา นครราชสีมา

¹ Faculty of Science and Technology, Nakhon Ratchasima Rajabhat University, Nakhon Ratchasima

* Corresponding Author E - mail Address: pom_pum007@hotmail.com

ค่าวิเคราะห์ติดร่วมกับปุ๋ยอินทรีย์ ยิปซัม และน้ำหมักชีวภาพ มีผลให้รายได้สูงถึงมากที่สุดเท่ากับ 3,854.80 บาทต่อไร่ และตัวรับความคุ้มเท่ากับ 49.20 บาทต่อไร่ ซึ่งตัวรับที่ 6 รายได้สูงถึงสูงกว่าตัวรับความคุ้มมากที่สุด ส่วนตัวรับที่เหลือให้รายได้สูงเป็นลบ (ขาดทุน) ทั้งหมด

คำสำคัญ : การใช้ประโยชน์ที่ดิน; ข้าว; มันสำปะหลัง; การกักเก็บคาร์บอน; การปลดปล่อยก๊าซคาร์บอนไดออกไซด์

Abstract

The objective of this study is to analyze the use of Tungsamrit area for soil management on growth and the production of economic crops, as well as to assess carbon dioxide emissions and soil organic carbon sequestration for economic crops proceeding in the low suitable area for rice growing (S3), Thung Samrit area at Nakhon Ratchasima Province. The Randomize Complete Block Design (RCBD) experiment was designed with 6 experimental treatments, 4 replications. The results showed that rice and cassava planting affect the chemical properties of the soil. Soil pH was acidic to severe acidic. EC of the soil was evaluated as low to moderate salinity. Quantity of organic matter and nutrients, phosphorus and potassium were in the range of low to very low. Regarding the growth and the production of rice, it was found that chemical fertilizer application according to soil analysis values together with organic fertilizer, gypsum, and bio-extract; the highest yield of rice was 274 kilograms per rai, and the highest cassava yield was 4,680 kilograms per rai. When compared to the control recipe using fertilizer application according to soil analysis values together with gypsum, bio-extract through farmer methods; resulting for the highest organic carbon storage in the soil, equaled to 0.30 percent for rice cultivation and 0.86 percent for cassava plantation. For carbon dioxide emission, both rice and cassava cultivation had similar values which as 559.45 ppm, and 524.83 ppm, respectively which were not statistically different at the 95 percent confidence level. Net income for rice cultivation of all recipe had negative income (a loss), the net income of the control recipe was the lowest as -932.00 baht per rai. Some recipe of cassava cultivation had either positive or negative income. The recipe by application of fertilizer according to soil analysis values together with fertilizer, gypsum and bio-extract would result as the highest net income of 3,854.80 bath per rai compared to the control recipe as the net income was 49.20 bath per rai. The rest recipe of cassava cultivation had negative income (a loss).

Keywords: Land Use; Rice; Cassava; Carbon Sequestration; Carbon Dioxide Emission

บทนำ

พื้นที่ที่ทุ่งสัมฤทธิ์ในจังหวัดนครราชสีมา ครอบคลุม 10 อำเภอ 48 ตำบล มีเนื้อที่ประมาณ 1.04 ล้านไร่ [1] มีการใช้ประโยชน์ที่ดินที่หลากหลายในระบบสารสนเทศภูมิศาสตร์ สามารถแบ่งการใช้ที่ดินดังนี้ ภาคการเกษตร ป่าไม้ พื้นที่เบ็ดเตล็ด พื้นที่ชุมชน และพื้นที่น้ำ จากสภาพปัญหาพื้นที่ส่วนใหญ่เป็นพื้นที่เพาะปลูกข้าว ซึ่งมีผลผลิต และคุณภาพต่ำกว่ามาตรฐาน สภาพดินที่เป็นปัญหาดินเค็ม และปลูกพืชไม่เหมาะสมกับสภาพพื้นที่ดิน โดยพื้นที่ส่วนใหญ่เป็นพื้นที่ที่เหมาะสมน้อยสำหรับการปลูกข้าว (S3) และพื้นที่ที่ไม่เหมาะสมสำหรับ การปลูกข้าว (N) แต่เกษตรกรยังปลูกข้าวในพื้นที่ที่เหมาะสมน้อยหรือปลูกข้าวในพื้นที่ที่ไม่เหมาะสม และพบว่าบั้นเมืองเศรษฐกรทำนาในพื้นที่ดอน และมีการจัดการดินที่ไม่ถูกต้อง จึงทำให้ได้ผลผลิตต่ำต้นทุนการผลิตสูง ไม่คุ้มทุนต่อการปลูกข้าว จึงควรมีการปรับเปลี่ยนปลูกพืชให้เหมาะสมกับสภาพพื้นที่การปลูกพืชทุกชนิด นอกจากนี้ยังมีการเพิ่มขึ้นของก้าชเรือนกระจกในปัจจุบัน ล้วงผลถึงปัญหาของสภาวะโลกร้อน โดยในกลุ่ม ก้าชเรือนกระจกนั้น ก้าชคาร์บอนไดออกไซด์ (CO_2) มีการปลดปล่อยมากที่สุด [2] ซึ่งมาจากการเผาไหม้ เชื้อเพลิงในอุตสาหกรรม ชุมชน และเกษตรกรรมบางประเภท เช่น การย่อยสลายของชาพืช ชากระดิ่ง เป็นต้น ส่วนการปลูกพืชเป็นส่วนหนึ่งของการคุ้ดซับก้าชคาร์บอนไดออกไซด์ จึงช่วยลด ก้าชคาร์บอนไดออกไซด์ อย่างไรก็ตามพืชชนิดต่างกันมีการคุ้ดซับก้าชคาร์บอนไดออกไซด์ต่างกัน จึงมีการปลดปล่อยก้าชคาร์บอนไดออกไซด์บ้าง ซึ่งประเด็นเกี่ยวกับสภาวะโลกร้อนและพืชที่ปลูกเป็น ประเด็นรองมากกว่าประเด็นหลักที่ล้วงผลกระทบต่อสภาพแวดล้อม เกิดการเลื่อมไตรมของดินล้วงผลให้สมบูรณ์ ทางกายภาพ เครื่องของดินเปลี่ยนแปลง ยังล้วงผลต่อการสูญเสียคาร์บอนในดินซึ่งเป็นตัวชี้วัดความอุดมสมบูรณ์ ของดิน รวมทั้งชนิดพืชที่ปลูกเป็นปัจจัยสำคัญที่ล้วงผลต่อการเปลี่ยนแปลงของอินทรีย์คาร์บอนในดิน [3] ดังนั้น ควรมีการจัดการดินในการเพาะปลูก เนื่องจากดินเป็นทรัพยากร่มีความสำคัญต่อการเจริญเติบโตของพืช โดยดินแต่ละชนิดมีคุณภาพการผลิตที่แตกต่างกันและล้วงผลต่อการเจริญเติบโตของพืชและผลผลิตที่ แตกต่างกันด้วยเช่นกัน และมีผลต่อรายได้และความเป็นอยู่ของเกษตรกร ถ้าดินมีคุณภาพในการผลิตดีจะทำให้ เกษตรกรไม่สามารถผลิตพืชให้มีรายได้เพียงพอต่อการยังชีพ ดังนั้นเพื่อให้เกษตรกรในพื้นที่ทุ่งสัมฤทธิ์มีรายได้ จากผลผลิตข้าว และมันลำปะหลังที่เพิ่มขึ้น ผู้จัดจីได้ทำการศึกษาเพื่อการประเมินคุณค่าการใช้ประโยชน์พื้นที่ ทุ่งสัมฤทธิ์ และช่วยพื้นฟูทรัพยากรดินให้ดีขึ้น มีการใช้ประโยชน์พื้นที่ดินให้เหมาะสมกับการปลูกพืชในแต่ละชนิด ให้มีคุณภาพสูงสุด เกษตรกรได้มีส่วนร่วมในการจัดการดินและการปลูกพืชดังนั้นจึงการเก็บเกี่ยวผลผลิต รวมทั้งเพิ่มประสิทธิภาพการใช้ประโยชน์พื้นที่ในการทำการเกษตรเขตพื้นที่ทุ่งสัมฤทธิ์ จังหวัดนครราชสีมาได้อย่างยั่งยืน

วิธีดำเนินการวิจัย

อุปกรณ์

1. แปลงของเกษตรกรผู้ที่ปลูกข้าว และปลูกมันลำปะหลัง ในพื้นที่ความเหมาะสมน้อย สำหรับการปลูกข้าว (S3) เขตทุ่งสัมฤทธิ์ จังหวัดนครราชสีมา
2. พืชที่ปลูกข้าว พื้นฐีข้าวหอมมะลิ 105 และมันลำปะหลัง พื้นฐีเกษตรศาสตร์ 50
3. ปุ๋ยเคมีที่ใช้
 - 3.1 ข้าว ได้แก่ ปุ๋ยเคมี (46-0-0) ปุ๋ยเคมีสูตร (16-20-0) และปุ๋ยเคมีสูตร (0-0-60)

- 3.2 มันสำปะหลัง ได้แก่ ปุ๋ยเคมีสูตร (15-15-15) ปุ๋ยเคมีสูตร (15-7-8) ปุ๋ยเคมีสูตร (18-46-0)
4. ชุดเก็บตัวอย่างดินแบบไม่ทำลายโครงสร้าง (Soil Core Samplers) ได้แก่ วงแหวนเก็บตัวอย่างดิน
 5. สารปรับสภาพดิน ได้แก่ ยิปซัม
 6. ปุ๋ยอินทรีย์ ได้แก่ ปุ๋ยหมัก และพืชปุ๋ยสด (ถั่วพู่มดำ)
 7. น้ำหมักชีวภาพที่หมักจากลับบาระด
 8. อุปกรณ์ในการเก็บตัวอย่างพืช ได้แก่ มีดสำหรับเก็บตัวอย่างพืช ถุงพลาสติกสำหรับเก็บตัวอย่างพืช ตับเมตร ไม้มีตรสำหรับวัดความสูง และเครื่องซึ่งน้ำหนักพืชในสนา�
 9. เครื่องวัดเปอร์เซ็นต์แป้ง
 10. เครื่องมือสำหรับวิเคราะห์ติดทางเคมี
 11. เครื่องมือวัดปริมาณการปลดปล่อยก๊าซการบ่อนอกออกไซด์แบบพกพา Testo 535

วิธีการ

1. วางแผนการทดลองแบบสุ่มสมบูรณ์ในบล็อก (Randomize Complete Block Design: RCBD) ประกอบด้วย 6 ตัวรับการทดลอง จำนวน 4 ชั้้า ตามตัวรับการทดลองดังนี้

ตัวรับการทดลองที่ 1 แปลงควบคุม (Control)

ตัวรับการทดลองที่ 2 แปลงวิธีเกษตรกร

ตัวรับการทดลองที่ 3 แปลงวิธีเกษตรกรร่วมกับยิปซัม และน้ำหมักชีวภาพ

ตัวรับการทดลองที่ 4 แปลงไสปุ๋ยเคมี (ไสปุ๋ยตามค่าวิเคราะห์ติด) ร่วมกับยิปซัม และน้ำหมักชีวภาพ

ตัวรับการทดลองที่ 5 แปลงไสปุ๋ยอินทรีย์ร่วมกับยิปซัม และน้ำหมักชีวภาพ

ตัวรับการทดลองที่ 6 แปลงไสปุ๋ยเคมี (ไสปุ๋ยตามค่าวิเคราะห์ติด) ร่วมกับแปลงไสปุ๋ยอินทรีย์ ยิปซัม และน้ำหมักชีวภาพ

2. ขั้นตอนการดำเนินงาน

2.1 คัดเลือกพื้นที่แปลงทดลอง

คัดเลือกพื้นที่ปลูก กลุ่มชุดดินที่ 20 ชุดดินทุ่งล้มถูกอธิ ณ แปลงของเกษตรกร ตำบลโคงกลาง อำเภอประทาย จังหวัดนครราชสีมา ปลูกข้าวพื้นที่ความเหมาะสมสำหรับการปลูกข้าวน้อย (S3) และปลูกมันสำปะหลังในพื้นที่ความเหมาะสมสำหรับการปลูกข้าวน้อย (S3) ในพื้นที่ดินเค็มระดับน้อย เขตทุ่งล้มถูกอธิ จังหวัดนครราชสีมา (รูปที่ 1)

แผนผังการทดลองการปลูกข้าว

แผนผังการทดลองการปลูกมันสำปะหลัง

T1R4	T3R2	T6R1	T5R4	T1R3	T4R1
T3R3	T2R1	T5R3	T3R1	T6R3	T6R2
T4R4	T3R4	T2R2	T2R3	T5R2	T5R1
T4R2	T2R4	T6R4	T1R1	T1R2	T4R3

T3R1	T2R1	T4R1	T6R1	T5R1	T1R1
T4R2	T1R1	T3R2	T5R2	T6R2	T2R2
T1R3	T4R3	T2R3	T5R2	T5R3	T6R3
T5R4	T2R4	T1R4	T6R4	T4R4	T3R4

รูปที่ 1 แผนผังการทดลองการปลูกข้าวและมันสำปะหลัง

ความหมายของ T คือ ตัวรับการทดลอง, R คือ จำนวนชั้้า

2.1 คัด

2.2 ขนาดของแปลงทดลอง

2.2.1 ข้าวทำการปรับพื้นที่ให้เหมาะสมสำหรับปลูกข้าวแล้วแบ่งพื้นที่เป็นแปลงย่อย มีขนาด 5×5 เมตร จำนวน 24 แปลง

2.2.2 มันสำปะหลังทำการไถเตรียมแปลงแล้วแบ่งวัดขนาดแปลงย่อย 5×8 เมตร จำนวน 24 แปลง

2.3 การปลูก

2.3.1 ข้าวการเตรียมเมล็ดพันธุ์ข้าวพันธุ์ข้าวห้อมมะลิ 105 โดยแข่เมล็ดพันธุ์ข้าว ในน้ำหมักชีวภาพอัตรา 20 มิลลิลิตรต่อล้าน 20 ลิตรต่อมล็ดข้าว 20 กิโลกรัม การปลูกข้าวห้อมมะลิ 105 โดยการหัวนเเมล็ดพันธุ์ข้าวในแปลงที่เตรียมไว้ อัตรา 20 กิโลกรัมต่อไร่

2.3.2 มันสำปะหลังการเตรียมท่อนพันธุ์มันสำปะหลังพันธุ์เกษตรศาสตร์ 50 โดยแข่ท่อนพันธุ์มันสำปะหลังในน้ำหมักชีวภาพอัตรา 20 มิลลิลิตรต่อล้าน 20 ลิตร ใช้รดน้ำทุกวัน ความยาวท่อนพันธุ์ 20 - 25 เซนติเมตร ใช้ระยะปลูกระหว่างร่อง 100 เซนติเมตร ระหว่างต้น 80 เซนติเมตร

2.4 การบำรุงดูแลรักษา

2.4.1 การใส่น้ำหมักชีวภาพ

2.4.1.1 ข้าวการใส่น้ำหมักชีวภาพใช้อัตรา 4 ข้อนโต๊ะ ผสมน้ำ 20 ลิตร ในทำรับการทดลองที่ 3 4 5 และ 6 โดยการฉีดพ่นลงในแปลงข้าว ช่วงอายุข้าว 30-50 และ 60 วัน

2.4.1.2 มันสำปะหลังการใส่น้ำหมักชีวภาพ ใช้อัตรา 4 ข้อนโต๊ะ ผสมน้ำ 20 ลิตร ในทำรับการทดลองที่ 3 4 5 และ 6 โดยการฉีดพ่นลงใบในแปลงมันสำปะหลัง ช่วงอายุ 30-60 และ 90 วัน

2.4.2 การใส่ปุ๋ยหมักใช้อัตรา 2 ตันต่อไร่ และการใส่พืชปุ๋ยสด (ถั่วพู่มดำ) ใช้อัตรา 8 กิโลกรัมต่อไร่

2.4.3 การใช้สารปรับสภาพดิน ได้แก่ ยิปซัม อัตราการใช้ 320 กิโลกรัมต่อไร่

2.4.4 การใส่ปุ๋ยเคมี โดยมีการใส่ตามทำรับการทดลอง ดังนี้

2.4.4.1 ข้าว

ก. ทำรับการทดลองที่ 2 วิธีเกษตรกร มีการใส่ปุ๋ยสูตร 46-0-0 รองพื้นอัตรา 10 กิโลกรัมต่อไร่ แต่งหน้าและสร้างร่องอย่างละ 15 กิโลกรัมต่อไร่ ปุ๋ยสูตร 16-20-0 อัตรา 20 กิโลกรัมต่อไร่ในการรองพื้น

ข. ทำรับการทดลองที่ 3 วิธีเกษตรกรกับน้ำหมักชีวภาพ มีการใส่ปุ๋ยสูตร 46-0-0 รองพื้นอัตรา 10 กิโลกรัมต่อไร่ แต่งหน้าและสร้างร่องอย่างละ 15 กิโลกรัมต่อไร่ ปุ๋ยสูตร 16-20-0 อัตรา 20 กิโลกรัมต่อไร่ในการรองพื้น และใส่ยิปซัม 320 กิโลกรัมต่อไร่

ค. ทำรับการทดลองที่ 4 คำแนะนำจากการใส่ปุ๋ยเคมี (ตามค่าวิเคราะห์ดิน) กับน้ำหมักชีวภาพ และใส่ยิปซัม 320 กิโลกรัมต่อไร่

ง. ทำรับการทดลองที่ 5 การใช้ปุ๋ยอินทรีย์กับน้ำหมักชีวภาพ มีการใส่ปุ๋ยอินทรีย์ อัตรา 2,000 กิโลกรัมต่อไร่ ใส่ถั่วพู่ม 8 กิโลกรัมต่อไร่ และใส่ยิปซัม 320 กิโลกรัมต่อไร่

จ. ตัวรับการทดลองที่ 6 การใช้ปุ๋ยเคมี (ตามค่าวิเคราะห์ดิน) ร่วมกับปุ๋ยอินทรีย์กับน้ำหมักชีวภาพ มีการใส่ปุ๋ยหมักอัตรา 2,000 กิโลกรัมต่อไร่ ใส่ถั่วพู่ม 8 กิโลกรัมต่อไร่ และใส่ยิปซัม 320 กิโลกรัมต่อไร่

2.4.4.2 มันสำปะหลัง

ก. ตัวรับการทดลองที่ 2 วิธีเกษตรกรรมมีการใส่ปุ๋ยเคมีสูตร 46-0-0 อัตรา 25 กิโลกรัมต่อไร่

ข. ตัวรับการทดลองที่ 3 วิธีเกษตรกรกับน้ำหมักชีวภาพ มีการใส่ปุ๋ยเคมีสูตร 46-0-0 อัตรา 25 กิโลกรัมต่อไร่ และใส่ยิปซัม 320 กิโลกรัมต่อไร่

ค. ตัวรับการทดลองที่ 4 คำแนะนำจากการใส่ปุ๋ยเคมี (ตามค่าวิเคราะห์ดิน) กับน้ำหมักชีวภาพ และใส่ยิปซัม 320 กิโลกรัมต่อไร่

ง. ตัวรับการทดลองที่ 5 การใช้ปุ๋ยอินทรีย์กับน้ำหมักชีวภาพ มีการใส่ปุ๋ยหมัก อัตรา 2,000 กิโลกรัมต่อไร่ ใส่ถั่วพู่ม 8 กิโลกรัมต่อไร่ และใส่ยิปซัม 320 กิโลกรัมต่อไร่

จ. ตัวรับการทดลองที่ 6 การใช้ปุ๋ยเคมี (ตามค่าวิเคราะห์ดิน) ร่วมกับปุ๋ยอินทรีย์กับน้ำหมักชีวภาพ มีการใส่ปุ๋ยหมักอัตรา 2,000 กิโลกรัมต่อไร่ ใส่ถั่วพู่ม 8 กิโลกรัมต่อไร่ และใส่ยิปซัม 320 กิโลกรัมต่อไร่

การเก็บรวบรวมข้อมูล

1. การเก็บข้อมูลของดิน การศึกษาสมบัติของดินในแปลงทดลองก่อนและหลังการปลูกพืช

1.1 การเตรียมตัวอย่างดินเก็บตัวอย่างดินจากแปลงทดลองที่ระดับความลึก 0 - 30 เซนติเมตร นำดินมาบดแล้วร่อนผ่านตะแกรงขนาด 2 และ 0.5 มิลลิเมตร เพื่อใช้ในการวิเคราะห์สมบัติทางเคมีของดิน

1.2 การวิเคราะห์สมบัติทางเคมีของดิน

1.2.1 ความเป็นกรดเป็นด่าง (pH) วัดโดยใช้ pH meter อัตราส่วนระหว่างดินต่อน้ำเท่ากับ 1:1

1.2.2 ค่าการนำไฟฟ้า (EC_s) โดยวัดค่าการนำไฟฟ้าของสารละลายน้ำที่สกัดจากดินที่อิ่มตัวด้วยน้ำ (Saturated Extract) วัดที่อุณหภูมิ 25 องศาเซลเซียส ด้วยเครื่อง Electrical Conductivity Meter

1.2.3 Organic Matter โดยวิธี Walkley and Black Titration

1.2.4 หาค่า Available P โดยวิธี Bray II และหาค่า Exchangeable K สดุดินด้วยสารละลายน้ำ 1 N. NH₄ CH₃COO pH 7 และนำไปวัดปริมาณด้วยเครื่อง Atomic Absorption Spectrophotometer

2. การเก็บข้อมูลของพืช

2.1 ข้าว

ก. วัดการเจริญเติบโตของข้าว ได้แก่ ความสูงของต้นข้าว และจำนวนต้นต่อกราฟที่อายุ 30 50 60 และ 90 วัน

ข. เก็บผลผลิตข้าวที่อายุประมาณ 120 วัน ได้แก่ พื้นที่เก็บเกี่ยว 1 x 1 เมตร

2.2 มันสำปะหลัง

2.2.1 วัดการเจริญเติบโตของมันสำปะหลัง ได้แก่ ความสูงต้นมันสำปะหลังที่อายุ 36 และ 8 เดือน

2.2.2 เก็บผลผลิตมันสำปะหลังที่อายุประมาณ 12 เดือน โดยใช้มีดตัดต้นเหง้าระดับพื้นดินประมาณ 30 เซนติเมตร โดยใช้รุ่นแทรกรากเตอร์เก็บเกี่ยวผลผลิต พื้นที่เก็บเกี่ยวผลผลิตขนาด 3×6 เมตร และจำนวนหัวต่อต้น

3. การเก็บข้อมูลสภาพภูมิอากาศ ได้แก่ ปริมาณน้ำฝน

4. สมุดเก็บตัวอย่างก้าชาร์บอนไดออกไซด์โดยใช้เครื่อง Testo 535 แบบพกพา เก็บแปลงละหนึ่งจุด จุดละ 15 นาที ในกล่องพื้นที่ 1 ตารางเมตร วัดหลังจากเก็บผลผลิตเพื่อวัดการปลดปล่อยก้าชาร์บอนไดออกไซด์จากดินสู่บรรยากาศ

การวิเคราะห์ข้อมูล

การวิเคราะห์ข้อมูลธาตุอาหารพืชในดินโดยการนำตัวอย่างดินมาวิเคราะห์ค่าความเป็นกรดเป็นด่างของดิน (pH) ปริมาณอินทรีย์วัตถุในดิน (OM) ปริมาณอินทรีย์คาร์บอนในดิน (OC) ฟอลฟอรัสที่เป็นประโยชน์ต่อพืชในดิน (P) และโพแทสเซียมที่เป็นประโยชน์ต่อพืชในดิน (K)

การวิเคราะห์ทางสถิติ

การวิเคราะห์ทางสถิติจะนำข้อมูลที่ได้จากการทดลอง การวิเคราะห์ธาตุอาหารพืช การวิเคราะห์ทางสถิติ จะนำข้อมูลที่ได้จากการทดลอง การวิเคราะห์ธาตุอาหารพืช คุณสมบัติทางเคมีของดินก่อนและหลังการทดลอง มาหาค่าความแปรปรวนทางสถิติ (Analysis of Variance) ค่าเฉลี่ย ร้อยละ และ F-test พร้อมทั้งค่าสถิติสำหรับเปรียบเทียบค่าเฉลี่ยตามวิธี LSD (Least Significant Difference) และคำนวณผลตอบแทนทางเศรษฐกิจ การวิเคราะห์ผลตอบแทนในการผลิตข้าว และมันสำปะหลัง ตัวชี้วัด คือรายได้สุทธิ (Net Revenue หรือ Net Income) ที่เกิดจากการผลิตข้าว และมันสำปะหลังในแต่ละแปลงทดลองทั้งนี้รายได้สุทธิเกิดจากส่วนแตกต่างระหว่างรายได้รวม (Total Revenue) จากการขายผลผลิต และค่าใช้จ่ายผันแปรในการผลิต [4]

ผลการวิจัย

การประเมินคุณค่าการใช้ประโยชน์พื้นที่ทุ่งล้มฤทธิ์เพื่อการจัดการพืชเศรษฐกิจ

1. การเจริญเติบโต และผลผลิตของพืชเศรษฐกิจ

1.1 การเจริญเติบโต และผลผลิตของข้าวพันธุ์ทومมะลิ 105 ความสูงต้น ภายนอก การเจริญเติบโต และผลผลิตของข้าวพันธุ์ทอมมะลิ 105 ความสูงต้น ภายนอก จากการไส่ปุ๋ยตาม捺รับการทดลองต่าง ๆ มีผลให้ความสูงต้นของข้าวที่อายุ 30 50 60 และ 90 วันหลังปลูกแตกต่างกันอย่างมีนัยสำคัญทางสถิติ (ตารางที่ 1) กล่าวคือ ช่วงข้าวอายุ 30 และ 50 วัน 捺รับการทดลองที่มีการไส่ปุ๋ยอินทรีย์ร่วมกับยิปซัม และน้ำหมักชีวภาพ มีผลให้ความสูงต้นของข้าวมากที่สุดเท่ากับ 10.07 เซนติเมตร และ 17.40 เซนติเมตร เมื่อช่วงข้าวอายุ 60 และ 90 วัน 捺รับการทดลองไส่ปุ๋ยเคมี (ไส่ปุ๋ยตามค่าวิเคราะห์ดิน) ร่วมกับปุ๋ยอินทรีย์ ยิปซัม และน้ำหมักชีวภาพ มีผลให้ความสูงของต้นข้าวมากที่สุดเท่ากับ 21.35 เซนติเมตร และ 23.97 เซนติเมตร

ตารางที่ 1 ความสูงของข้าวพันธุ์томมะลิ 105 ที่ระยะต่าง ๆ น้ำหนักรวม และผลผลิต

คำรับทดสอบ	ความสูง (ซม.)				น้ำหนักรวม (กรัม / 1 ตารางเมตร)	ผลผลิต (กรัม / 1 ตารางเมตร)	ผลผลิต (กิโลกรัม/ไร่)
	30 วัน	50 วัน	60 วัน	90 วัน			
การทดลองที่ 1	7.57 ^{bc}	10.57 ^b	12.35 ^b	13.22 ^b	335.00	105.00 ^c	168.00 ^c
การทดลองที่ 2	7.30 ^{bc}	10.82 ^b	12.17 ^b	13.40 ^b	415.00	121.25 ^{bc}	194.00 ^{bc}
การทดลองที่ 3	7.25 ^{bc}	11.4 ^b	13.7 ^b	15.05 ^b	445.00	158.75 ^{ab}	254.00 ^{ab}
การทดลองที่ 4	7.02 ^c	11.00 ^b	12.95 ^b	13.75 ^b	445.00	143.75 ^{abc}	230.00 ^{abc}
การทดลองที่ 5	10.07 ^a	17.40 ^a	20.87 ^a	23.67 ^a	392.50	160.00 ^{ab}	256.00 ^{ab}
การทดลองที่ 6	8.62 ^b	15.50 ^{ab}	21.35 ^a	23.97 ^a	477.50	171.25 ^a	274.00 ^a
ค่าเฉลี่ย	7.97	12.78	15.56	17.17	418.33	143.00	229.33
F-test	**	**	**	**	ns	*	*
CV (%)	8.51	18.61	17.23	18.97	26.47	19.83	19.83

* หมายถึง มีความแตกต่างกันทางสถิติที่ระดับความเชื่อมั่นร้อยละ 95

** หมายถึง มีความแตกต่างกันทางสถิติที่ระดับความเชื่อมั่นร้อยละ 99

a, b ตัวอักษรเหมือนกัน หมายถึง ไม่มีความแตกต่างกันทางสถิติโดยวิธี LSD

น้ำหนักรวม และผลผลิตของข้าว น้ำหนักรวมของข้าวที่ระยะเก็บเกี่ยว พบร่วมน้ำหนักรวม ไม่แตกต่างกันทางสถิติ (ตารางที่ 1) กล่าวคือ วิธีการไส่ปุ๋ยเคมี (ไส่ปุ๋ยตามค่าวิเคราะห์ดิน) ร่วมกับปุ๋ยอินทรีย์ ยิปซัม และน้ำหมักชีวภาพ มีค่าน้ำหนักรวมมากที่สุดเท่ากับ 477.50 กรัม

ผลผลิตของข้าว มีผลทำให้ผลผลิตของข้าว มีความแตกต่างกันอย่างมีนัยสำคัญทางสถิติ (ตารางที่ 1) กล่าวคือ วิธีการไส่ปุ๋ยเคมี (ไส่ปุ๋ยตามค่าวิเคราะห์ดิน) ร่วมกับปุ๋ยอินทรีย์ ยิปซัม และน้ำหมักชีวภาพ มีผลให้ผลผลิตของข้าวมากที่สุดเท่ากับ 274.00 กิโลกรัมต่อไร่ ขณะที่ตัวรับควบคุม (Control) มีผลให้ผลผลิตของข้าวต่ำที่สุดเท่ากับ 168 กิโลกรัมต่อไร่

1.2 การเจริญเติบโต และผลผลิตของมันสำปะหลังพันธุ์เกษตรศาสตร์ 50 ความสูงของมันสำปะหลัง ภายนอกจากการไส่ปุ๋ยตามตัวรับการทดลองต่าง ๆ มีผลให้ความสูงของต้นมันสำปะหลัง ที่อายุ 3 6 และ 8 เดือนหลังปลูก มีความแตกต่างกันอย่างมีนัยสำคัญทางสถิติ (ตารางที่ 2) กล่าวคือ วิธีการไส่ปุ๋ยเคมี (ไส่ปุ๋ยตามค่าวิเคราะห์ดิน) ร่วมกับปุ๋ยอินทรีย์ ยิปซัม และน้ำหมักชีวภาพ มีผลต่อการเจริญเติบโตของมันสำปะหลังโดยมีค่าความสูงต้นของมันสำปะหลังเท่ากับ 113.50 193.12 และ 228.50 เซนติเมตร ตามลำดับ ขณะที่ตัวรับควบคุม (Control) มีผลให้ความสูงต้นของมันสำปะหลังต่ำที่สุด ทุกระยะการเจริญเติบโต

ตารางที่ 2 ความสูงที่ระยะต่าง ๆ จำนวนหัวต่อตัน และค่าอัตราส่วนร้อยละของแป้งมันสำปะหลัง พันธุ์เงาะคราสต์ 50

คำรับทดลอง	ความสูง (ซม.)			จำนวนหัว ต่อตัน	อัตราส่วน ร้อยละของแป้ง
	3 เดือน	6 เดือน	8 เดือน		
การทดลองที่ 1	64.80 ^c	99.42 ^b	122.50 ^c	8	23.97 ^{cd}
การทดลองที่ 2	74.87 ^{bc}	127.50 ^b	146.37 ^c	9	23.52 ^d
การทดลองที่ 3	73.77 ^{bc}	110.00 ^b	129.25 ^c	9	24.35 ^{bcd}
การทดลองที่ 4	82.72 ^b	165.50 ^a	192.12 ^b	9	26.00 ^a
การทดลองที่ 5	82.70 ^b	125.65 ^b	148.00 ^c	11	25.20 ^{ab}
การทดลองที่ 6	113.50 ^a	193.12 ^a	228.50 ^a	13	25.10 ^{abc}
ค่าเฉลี่ย	82.06	136.86	161.12	10	24.52
F-test **	**	**	ns	**	
CV (%)	10.98	14.76	13.55	19.98	3.22

** หมายถึง มีความแตกต่างกันทางสถิติที่ระดับความเชื่อมั่นร้อยละ 99

a, b ตัวอักษรเหมือนกัน หมายถึง ไม่มีความแตกต่างกันทางสถิติโดยวิธี LSD

จำนวนหัวต่อตันของมันสำปะหลังที่ระยะเก็บเกี่ยว พบร่วมกันที่ 8 หัวต่อตัน ไม่แตกต่างกันทางสถิติ (ตารางที่ 2) กล่าวคือวิธีการไล่ปุ๋ยเคมี (ไล่ปุ๋ยตามค่าวิเคราะห์ดิน) ร่วมกับปุ๋ยอินทรีย์ ยิปซัม และน้ำหมักชีวภาพ มีค่าจำนวนหัวมากที่สุดเท่ากับ 13 หัวต่อตัน

ค่าอัตราส่วนร้อยละของแป้งมันสำปะหลังภายหลังจากการทดลองพบว่า ค่าอัตราส่วนร้อยละของแป้งมันสำปะหลังระยะเก็บเกี่ยว มีความแตกต่างกันอย่างมีนัยสำคัญทางสถิติ (ตารางที่ 3) กล่าวคือวิธีการไล่ปุ๋ยเคมี (ไล่ปุ๋ยตามค่าวิเคราะห์ดิน) ร่วมกับปุ๋ยอินทรีย์ ยิปซัม และน้ำหมักชีวภาพ มีผลต่อค่าอัตราส่วนร้อยละของแป้งมันสำปะหลังมากที่สุดเท่ากับร้อยละ 26 ขณะที่วิธีเกษตรกรรมมีผลให้ค่าอัตราส่วนร้อยละของแป้งมันสำปะหลังต่ำที่สุดเท่ากับร้อยละ 23.52

น้ำหนักจำต่อพื้นที่เก็บเกี่ยว พบร่วมกันที่ 35.57 กิโลกรัมต่อพื้นที่เก็บเกี่ยว ขณะที่วิธีเกษตรกรรม ร่วมกับปุ๋ยอินทรีย์ ยิปซัม และน้ำหมักชีวภาพ น้ำหนักจำต่อพื้นที่สุดเท่ากับ 12.75 กิโลกรัมต่อพื้นที่เก็บเกี่ยว

ผลผลิตของมันสำปะหลัง ภายนอกจากการไล่ปุ๋ยตามคำรับการทดลองต่าง ๆ พบร่วมกับผลผลิตของมันสำปะหลังมีความแตกต่างกันอย่างมีนัยสำคัญทางสถิติ (ตารางที่ 3) กล่าวคือ วิธีการไล่ปุ๋ยเคมี (ไล่ปุ๋ยตามค่าวิเคราะห์ดิน) ร่วมกับปุ๋ยอินทรีย์ ยิปซัม และน้ำหมักชีวภาพ มีผลให้ผลผลิตของมันสำปะหลังมากที่สุดเท่ากับ 4,680 กิโลกรัมต่อไร่ ขณะที่ต่ำกว่าควบคุม (Control) มีผลผลิตของมันสำปะหลังต่ำที่สุดเท่ากับ 1,640 กิโลกรัมต่อไร่

ตารางที่ 3 น้ำหนักกล้ำ และผลผลิตของมันสำปะหลังพันธุ์เกษตรศาสตร์ 50 ที่ระยะเก็บเกี่ยว

ตัวรับทดลอง	น้ำหนักกล้ำ (กิโลกรัม/พื้นที่เก็บเกี่ยว)	ผลผลิต (กิโลกรัม/16ตารางเมตร)	ผลผลิต (กิโลกรัม/ไร่)
การทดลองที่ 1	13.25 ^b	16.40 ^c	1,640.00 ^c
การทดลองที่ 2	23.55 ^b	18.90 ^{bc}	1,890.00 ^{bc}
การทดลองที่ 3	12.75 ^b	21.30 ^{bc}	2,130.00 ^{bc}
การทดลองที่ 4	21.82 ^b	30.45 ^b	3,045.00 ^b
การทดลองที่ 5	20.00 ^b	21.65 ^{bc}	2,165.00 ^{bc}
การทดลองที่ 6	35.57 ^a	46.8 ^a	4,680.00 ^a
ค่าเฉลี่ย	21.15	25.91	1811.66
F-test	*	**	**
CV (%)	37.41	32.09	32.09

* หมายถึง มีความแตกต่างกันทางสถิติที่ระดับความเชื่อมั่นร้อยละ 95

** หมายถึง มีความแตกต่างกันทางสถิติที่ระดับความเชื่อมั่นร้อยละ 99

a, b ตัวอักษรเหมือนกัน หมายถึง ไม่มีความแตกต่างกันทางสถิติโดยวิธี LSD

2. คุณสมบัติทางเคมีของดิน

2.1 สมบัติทางเคมีของดินก่อน และหลังการทดลองการปลูกข้าว

ตารางที่ 4 สมบัติทางเคมีของดินก่อน และหลังการทดลองการปลูกข้าว

ตัวรับ การทดลอง	ก่อนการทดลอง					หลังการทดลอง				
	pH	EC (ds/m ⁻¹)	OM (ร้อยละ)	P (mg/kg ⁻¹)	K (mg/kg ⁻¹)	pH	EC (ds/m ⁻¹)	OM (ร้อยละ)	P (mg/kg ⁻¹)	K (mg/kg ⁻¹)
การทดลองที่ 1	4.5 ^a	0.02 ^c	0.49 ^{ab}	1 ^a	1 ^c	4.5 ^b	0.12 ^b	0.43 ^b	0.25 ^c	10.75 ^{cd}
การทดลองที่ 2	4 ^b	0.03 ^{bc}	0.19 ^c	1 ^a	4 ^a	4.5 ^{ab}	0.11 ^b	0.52 ^a	0.25 ^c	11.00 ^c
การทดลองที่ 3	4.8 ^a	0.04 ^b	0.5 ^{ab}	1 ^a	1 ^c	4.4 ^b	0.13 ^b	0.29 ^d	0.25 ^c	9.00 ^d
การทดลองที่ 4	4.5 ^a	0.02 ^c	0.4 ^b	0 ^b	5 ^{ab}	4.6 ^a	0.14 ^b	0.52 ^a	3.75 ^a	11.25 ^c
การทดลองที่ 5	4.7 ^a	0.06 ^a	0.54 ^a	1 ^a	1 ^c	4.6 ^a	0.43 ^a	0.35 ^c	1.75 ^b	15.00 ^b
การทดลองที่ 6	4.5 ^a	0.02 ^c	0.4 ^b	1 ^a	2 ^{bc}	4.4 ^b	0.35 ^a	0.37 ^c	0.50 ^c	18.00 ^a
ค่าเฉลี่ย	4.5	0.03	0.42	0.83	2.33	4.5	0.21	0.41	0.52	12.5
F-test	**	**	**	**	**	*	**	**	**	**
CV (%)	5.08	33.62	20.98	7.82	54.23	3.25	31.35	3.98	52.8	8.7

* หมายถึง มีความแตกต่างกันทางสถิติที่ระดับความเชื่อมั่นร้อยละ 95

** หมายถึง มีความแตกต่างกันทางสถิติที่ระดับความเชื่อมั่นร้อยละ 99

a, b ตัวอักษรเหมือนกัน หมายถึง ไม่มีความแตกต่างกันทางสถิติโดยวิธี LSD

ค่าความเป็นกรดเป็นด่าง (pH) ของดิน ภายหลังการทดลองต่าง ๆ มีค่าแตกต่างกันอย่างมีนัยสำคัญทางสถิติ (ตารางที่ 4) กล่าวคือ การใช้แบบวิธีเกษตรกร ร่วมกับยิปชัม และน้ำหมักชีวภาพ และการใช้วิธีการใส่ปุ๋ยเคมี (ใส่ปุ๋ยตามค่าวิเคราะห์ดิน) ร่วมกับปุ๋ยอินทรีย์ ยิปชัม และน้ำหมักชีวภาพ มีผลให้ค่า pH ของดิน เป็นกรดครุนแรง (pH 4.4) ขณะที่การใช้วิธีการใส่ปุ๋ยเคมี (ใส่ปุ๋ยตามค่าวิเคราะห์ดิน) ร่วมกับยิปชัม และน้ำหมักชีวภาพ และการใช้วิธีการใส่ปุ๋ยอินทรีย์ ร่วมกับยิปชัม และน้ำหมักชีวภาพมีผลให้ค่า pH ของดินเป็นกรดจัด (pH 4.6) อย่างไรก็ตาม เมื่อใช้เกณฑ์การประเมินจาก [5] มาพิจารณาร่วมด้วยพบว่า ทุกตัวรับทดลองมีผลให้ค่า pH ของดินอยู่ในระดับเป็นกรดครุนแรงถึงกรดจัด (pH 4.4 – 4.6)

ค่าการนำไฟฟ้า (EC_c) ของดิน (ดิน:น้ำ = 1:5) ภายหลังจากการทดลอง มีผลแตกต่างกันอย่างมีนัยสำคัญทางสถิติ (ตารางที่ 4) กล่าวคือ การใช้แบบวิธีใส่ปุ๋ยอินทรีย์ ร่วมกับยิปชัม และน้ำหมักชีวภาพ มีผลให้ค่า EC_c ของดินเท่ากับ 0.43 dS/m (เค็มปานกลาง) ขณะที่การใช้แบบวิธีเกษตรกรรมมีผลให้ค่า EC_c ของดินเท่ากับ 0.11 dS/m (ไม่เค็ม) เมื่อนำมาเกณฑ์การประเมินจาก [5] มาพิจารณาร่วมด้วยพบว่า ตัวรับทดลองที่ 5 และตัวรับทดลองที่ 6 มีผลให้ค่า EC_c ของดินอยู่ระหว่าง 0.31 – 0.60 dS/m (อยู่ในระดับเค็มปานกลาง) นั่นคือ มีผลกระทบต่อการเจริญเติบโตของพืช และตัวรับทดลองที่ 1 2 3 และ 4 มีผลให้ค่า EC_c ของดินเท่ากับ <0.15 dS/m (อยู่ในระดับที่ไม่เค็ม) นั่นคือ ไม่มีผลกระทบกระเทือนต่อการเจริญเติบโตของพืช หรือพืชที่ไวต่อความเค็มอาจมีการเจริญเติบโตลดลงบ้าง

ปริมาณอินทรีย์วัตถุในดิน ภายหลังจากการทดลองมีความแตกต่างกันอย่างมีนัยสำคัญทางสถิติ (ตารางที่ 4) กล่าวคือ การใช้วิธีเกษตรกร และการใส่ปุ๋ยเคมี (ใส่ปุ๋ยตามค่าวิเคราะห์ดิน) ร่วมกับยิปชัม และน้ำหมักชีวภาพ มีผลต่อปริมาณอินทรีย์วัตถุในดินสูงที่สุดเท่ากับร้อยละ 0.52 เมื่อใช้เกณฑ์การจาก [5] มาพิจารณาร่วมด้วย พบร่วมตัวรับทดลองที่ 1 3 5 และ 6 มีผลต่อปริมาณอินทรีย์วัตถุในดินอยู่ในระดับต่ำมาก (<ร้อยละ 0.5)

ปริมาณฟอสฟอรัสที่เป็นประโยชน์ภายหลังจากการทดลอง มีความแตกต่างกันอย่างมีนัยสำคัญทางสถิติ (ตารางที่ 4) กล่าวคือ การใช้วิธีการใส่ปุ๋ยเคมี (ใส่ปุ๋ยตามค่าวิเคราะห์ดิน) ร่วมกับยิปชัม และน้ำหมักชีวภาพ มีผลต่อปริมาณฟอสฟอรัสที่เป็นประโยชน์ในดินมากที่สุด (3.75 mg/kg) ขณะที่ตัวรับทดลองที่ 1 2 และ 3 มีผลให้ปริมาณฟอสฟอรัสที่เป็นประโยชน์ในดินต่ำที่สุด (0.25 mg/kg) ไม่แตกต่างกัน ตัวรับทดลองที่ 6 เมื่อใช้เกณฑ์การประเมินจาก [5] มาพิจารณาร่วมด้วยพบว่า ทุกตัวรับทดลอง มีผลต่อปริมาณฟอสฟอรัสที่เป็นประโยชน์ในดินอยู่ในระดับต่ำมาก (<7 mg/kg)

ปริมาณโพแทลเชียมที่แตกเปลี่ยนได้ ภายหลังจากการทดลองมีความแตกต่างกันอย่างมีนัยสำคัญทางสถิติ (ตารางที่ 4) กล่าวคือ การใช้วิธีการใส่ปุ๋ยเคมี (ใส่ปุ๋ยตามค่าวิเคราะห์ดิน) ร่วมกับปุ๋ยอินทรีย์ ยิปชัม และน้ำหมักชีวภาพ มีผลต่อปริมาณโพแทลเชียมที่แตกเปลี่ยนได้ในดินมากที่สุด (18.00 mg/kg) ขณะที่การใช้วิธีเกษตรกร ร่วมกับยิปชัม และน้ำหมักชีวภาพ มีผลต่อปริมาณโพแทลเชียมที่แตกเปลี่ยนได้ในดินน้อยที่สุด (9.00 mg/kg) เมื่อใช้เกณฑ์การประเมินจาก [5] มาพิจารณาร่วมด้วยพบว่าตัวรับทดลองที่ 6 การใส่ปุ๋ยเคมี (ใส่ปุ๋ยตามค่าวิเคราะห์ดิน) ร่วมกับปุ๋ยอินทรีย์ ยิปชัม และน้ำหมักชีวภาพ มีผลต่อปริมาณโพแทลเชียมที่แตกเปลี่ยนได้ในดินอยู่ในระดับต่ำ (16 – 30 mg/kg) และตัวรับทดลองที่ 1 2 3 4 และ 5 มีผลต่อปริมาณโพแทลเชียมที่แตกเปลี่ยนได้ในดินอยู่ในระดับต่ำ (<16 mg/kg)

2.2 สมบัติทางเคมีของดินก่อน และหลังการทดลองการปลูกมันลำปะหลัง

ตารางที่ 5 สมบัติทางเคมีของดินก่อนและหลังการทดลองปลูกมันลำปะหลัง

คำรับ การทดลอง	ก่อนการทดลอง					หลังการทดลอง				
	pH	EC (ds/m ⁻¹)	OM (ร้อยละ)	P (mg/kg ⁻¹)	K (mg/kg ⁻¹)	pH	EC (ds/m ⁻¹)	OM (ร้อยละ)	P (mg/kg ⁻¹)	K (mg/kg ⁻¹)
การทดลองที่ 1	4.7 ^{ab}	0.01	0.45 ^{ab}	1	7 ^a	4.6 ^a	0.10 ^d	1.13 ^b	4.50 ^b	27.00 ^a
การทดลองที่ 2	4.5 ^b	0.02	0.4 ^{bc}	1	5 ^c	4.2 ^b	0.16 ^{cd}	0.50 ^f	3.50 ^b	12.50 ^c
การทดลองที่ 3	4.8 ^a	0.01	0.35 ^c	1	6 ^b	4.6 ^a	0.49 ^a	1.49 ^a	0.30 ^c	22.00 ^b
การทดลองที่ 4	4.7 ^{ab}	0.01	0.48 ^a	1	7 ^a	4.0 ^b	0.44 ^{ab}	0.63 ^e	4.50 ^b	9.00 ^d
การทดลองที่ 5	4.5 ^b	0.02	0.42 ^{ab}	1	5 ^c	4.5 ^a	0.23 ^c	0.69 ^d	3.80 ^b	13.00 ^c
การทดลองที่ 6	4.7 ^{ab}	0.01	0.45 ^{ab}	1	7 ^a	4.6 ^a	0.40 ^b	0.97 ^c	23.25 ^a	22.00 ^b
ค่าเฉลี่ย	4.65	0.01	0.42	1	6.16	4.41	0.3	0.9	6.64	17.58
F-test *	ns	**	ns	**	**	**	**	**	**	**
CV (%)	3.07	63.25	9.39	4.47	1.62	2.94	12.91	1.67	9.9	4.72

* หมายถึง มีความแตกต่างกันทางสถิติที่ระดับความเชื่อมั่นร้อยละ 95

** หมายถึง มีความแตกต่างกันทางสถิติที่ระดับความเชื่อมั่น ร้อยละ 99

a, b ตัวอักษรเหมือนกัน หมายถึง ไม่มีความแตกต่างกันทางสถิติโดยวิธี LSD

ค่าความเป็นกรดเป็นด่าง (pH) ของดิน ภายหลังจากการทดลองมีความแตกต่างกันอย่างมีนัยสำคัญทางสถิติ (ตารางที่ 5) กล่าวคือ การใช้แบบวิธีเกษตรกร ร่วมกับยิปซัม และน้ำหมักชีวภาพ การใช้วิธีการใส่ปุ๋ยเคมี (ใส่ปุ๋ยตามค่าวิเคราะห์ดิน) ร่วมกับปุ๋ยอินทรีย์ ยิปซัม และน้ำหมักชีวภาพ และตัวรับควบคุม (Control) มีผลให้ค่า pH ของดินเป็นกรดจัด (pH 4.6) ไม่แตกต่างกับการใช้วิธีการใส่ปุ๋ยอินทรีย์ ร่วมกับยิปซัม และน้ำหมักชีวภาพ และแปลงใส่ปุ๋ยเคมี (ใส่ปุ๋ยตามค่าวิเคราะห์ดิน) ร่วมกับยิปซัม และน้ำหมักชีวภาพมีผลให้ค่า pH ของดินเป็นกรดrunแรง (pH 4.0) อย่างไรก็ตาม เมื่อใช้เกณฑ์การประเมินจาก [5] มาพิจารณา ร่วมด้วยพบว่า ทุกตัวรับทดลองมีผลให้ค่า pH ของดินอยู่ในระดับเป็นกรดrunแรงถึงกรดจัด (pH 4.0 - 4.6)

ค่าการนำไฟฟ้า (EC_e) ของดิน (ดิน:น้ำ = 1:5) ภายหลังจากการทดลองมีความแตกต่างกันอย่างมีนัยสำคัญทางสถิติ (ตารางที่ 5) กล่าวคือ การใช้วิธีเกษตรกร ร่วมกับยิปซัม และน้ำหมักชีวภาพ มีผลให้ค่า EC_e ของดินเค็มปานกลาง (0.49 dS/m) ไม่แตกต่างกับวิธีการใส่ปุ๋ยเคมี (ใส่ปุ๋ยตามค่าวิเคราะห์ดิน) ร่วมกับยิปซัม และน้ำหมักชีวภาพ ขณะที่ตัวรับควบคุม (Control) มีผลให้ค่า EC_e ของดินไม่เค็ม (0.10 dS/m) อย่างไรก็ตาม เมื่อนำเกณฑ์การประเมินจาก [5] มาพิจารณา ร่วมด้วยพบว่า ตัวรับการทดลองที่ 3 4 และ 6 มีผลให้ค่า EC_e ของดินอยู่ในระดับเค็มปานกลาง (0.31 - 0.60 dS/m) นั่นคือ มีผลกระทบต่อการเจริญเติบโตของพืช ตัวรับการทดลองที่ 5 มีผลให้ค่า EC_e ของดินอยู่ในระดับเค็มน้อยมาก (0.15 - 0.30 dS/m) และตัวรับการทดลองที่ 1 และ 2 มีผลให้ค่า EC_e ของดินอยู่ในระดับ

ไม่เค็ม ($<0.15 \text{ dS/m}$) นั้นคือ ไม่มีผลกระทบกระเทือนต่อการเจริญเติบโตของพืช หรือพืชที่ไวต่อความเค็มอาจมีการเจริญเติบโตลดลงบ้าง

ปริมาณอินทรีย์วัตถุในดิน ภายหลังจากการทดลองมีความแตกต่างกันอย่างมีนัยสำคัญทางสถิติ (ตารางที่ 5) กล่าวคือ การใช้วิธีเกษตรกร ร่วมกับยิปซัม และน้ำหมักชีวภาพ มีผลให้ปริมาณอินทรีย์วัตถุ ในดินสูงที่สุดร้อยละ 1.49 และการใช้วิธีเกษตรกรรมมีผลให้ปริมาณอินทรีย์วัตถุในดินต่ำที่สุดร้อยละ 0.50 เมื่อใช้เกลอนที่จาก [5] มาพิจารณาร่วมด้วย พบร่วมกับการทดลองที่ 1 2 4 5 และ 6 มีผลให้ปริมาณอินทรีย์วัตถุในดินอยู่ในระดับต่ำ (ร้อยละ 0.5 - 1.0)

ปริมาณฟอสฟอรัสที่เป็นประโยชน์ ภายหลังจากการทดลองมีความแตกต่างกันอย่างมีนัยสำคัญทางสถิติ (ตารางที่ 5) กล่าวคือ แปลงใส่ปุ๋ยเคมี (ใส่ปุ๋ยตามค่าวิเคราะห์ดิน) ร่วมกับปุ๋ยอินทรีย์ ยิปซัม และน้ำหมักชีวภาพ มีผลให้ปริมาณฟอสฟอรัสที่เป็นประโยชน์ในดินมากที่สุด (23.25 mg/kg) ขณะที่วิธีเกษตรกร ร่วมกับยิปซัม และน้ำหมักชีวภาพ มีผลให้ปริมาณฟอสฟอรัสที่เป็นประโยชน์ในดินต่ำที่สุด (0.30 mg/kg) เมื่อใช้เกลอนที่การประเมินจาก [5] มาพิจารณาร่วมด้วย พบร่วมกับการทดลองที่ 1 2 3 4 และ 5 มีผลให้ปริมาณฟอสฟอรัสที่เป็นประโยชน์ในดินอยู่ในระดับต่ำมาก ($<7 \text{ mg/kg}$)

ปริมาณโพแทลสเซียมที่แลกเปลี่ยนได้ภายหลังจากการทดลอง มีความแตกต่างกันอย่างมีนัยสำคัญทางสถิติ (ตารางที่ 5) กล่าวคือ ตำรับควบคุม (Control) มีผลให้ปริมาณโพแทลสเซียมที่แลกเปลี่ยนได้ในดินมากที่สุด (27.00 mg/kg) ขณะที่การใส่ปุ๋ยเคมี (ใส่ปุ๋ยตามค่าวิเคราะห์ดิน) ร่วมกับยิปซัม และน้ำหมักชีวภาพ มีผลให้ปริมาณโพแทลสเซียมที่แลกเปลี่ยนได้ในดินน้อยที่สุด (9.00 mg/kg) เมื่อใช้เกลอนที่การประเมินจากคู่มือ [5] มาพิจารณาร่วมด้วย พบร่วมกับการทดลองที่ 1 3 และ 6 มีผลให้ปริมาณโพแทลสเซียมที่แลกเปลี่ยนได้ในดินอยู่ในระดับต่ำ ($16 - 30 \text{ mg/kg}$) และตำรับการทดลองที่ 2 4 และ 5 ผลปริมาณโพแทลสเซียมที่แลกเปลี่ยนได้ในดินอยู่ในระดับต่ำ ($<16 \text{ mg/kg}$)

3. การกักเก็บอินทรีย์คาร์บอนและการปลดปล่อยก๊าซคาร์บอนไดออกไซด์

3.1 การกักเก็บอินทรีย์คาร์บอนในดินในการปลูกข้าว พบร่วมกับการกักเก็บอินทรีย์คาร์บอนในดินมีความแตกต่างกันอย่างมีนัยสำคัญทางสถิติ (ตารางที่ 6) กล่าวคือ วิธีการใส่ปุ๋ยเคมี (ใส่ปุ๋ยตามค่าวิเคราะห์ดิน) ร่วมกับยิปซัม และน้ำหมักชีวภาพ และวิธีเกษตรกร มีค่าการกักเก็บอินทรีย์คาร์บอนมากที่สุดร้อยละ 0.30 ขณะที่วิธีการเกษตรกรร่วมกับยิปซัม และน้ำหมักชีวภาพ มีค่าการกักเก็บอินทรีย์คาร์บอนต่ำที่สุดร้อยละ 0.17

3.2 การกักเก็บอินทรีย์คาร์บอนในดินในการปลูกมันลำปะหลัง พบร่วมกับการกักเก็บอินทรีย์คาร์บอนในดิน มีความแตกต่างกันอย่างมีนัยสำคัญทางสถิติ (ตารางที่ 6) กล่าวคือ วิธีเกษตรกร ร่วมกับยิปซัม และน้ำหมักชีวภาพ มีค่าการกักเก็บอินทรีย์คาร์บอนมากที่สุดร้อยละ 0.86 ขณะที่วิธีเกษตรกรรมมีค่าการกักเก็บอินทรีย์คาร์บอนต่ำที่สุด ร้อยละ 0.35

3.3 การปลดปล่อยก๊าซคาร์บอนไดออกไซด์แปลงข้าว และแปลงมันลำปะหลัง พบร่วมกับความแตกต่างกันทางสถิติ (ตารางที่ 6)

ตารางที่ 6 การกักเก็บอินทรีย์คาร์บอนในดิน และการปลดปล่อยก๊าซคาร์บอน dioxide ได้ออกใช้ต่อหลังการปลูกพืช

ตัวรับทดลอง	ข้าว		มันสำปะหลัง	
	อินทรีย์ คาร์บอนในดิน (ร้อยละ)	การปลดปล่อย CO_2 (ppm)	อินทรีย์คาร์บอน ในดิน (ร้อยละ)	การปลดปล่อย CO_2 (ppm)
การทดลองที่ 1	0.25 ^b	563.25	0.65 ^b	525.25
การทดลองที่ 2	0.30 ^a	563.00	0.30 ^f	521.75
การทดลองที่ 3	0.17 ^d	555.25	0.86 ^a	527.75
การทดลองที่ 4	0.30 ^a	568.75	0.37 ^e	528.00
การทดลองที่ 5	0.20 ^c	551.00	0.40 ^d	523.50
การทดลองที่ 6	0.22 ^c	555.50	0.56 ^c	522.75
ค่าเฉลี่ย	0.24	559.45	0.52	524.83
F-test	**	ns	**	ns
CV (%)	4.19	2.89	1.92	0.92

ns หมายถึง ไม่มีความแตกต่างกันทางสถิติที่ระดับความเชื่อมั่นร้อยละ 95

** หมายถึง มีความแตกต่างกันทางสถิติที่ระดับความเชื่อมั่นร้อยละ 99

a, b ตัวอักษรเหมือนกัน หมายถึง ไม่มีความแตกต่างกันทางสถิติโดยวิธี LSD

4. ผลตอบแทนในการผลิตพืช

4.1 ข้าว ภายหลังจากการทดลอง ทุกตัวรับให้รายได้สุทธิเชิงลบ (กล่าวคือ ต้นทุนมากกว่า ราคาผลิตผลที่ขายได้หรือขาดทุน) ทั้งนี้ทุกตัวรับมีความแตกต่างกันอย่างมีนัยสำคัญทางสถิติ (ตารางที่ 7) กล่าวคือ ตัวรับควบคุม (Control) มีรายได้สุทธิเชิงลบน้อยที่สุด (-932.00 บาทต่อไร่) ขณะที่ตัวรับวิธีการใส่ปุ๋ยเคมี (ใส่ปุ๋ยตามค่าวิเคราะห์ดิน) ร่วมกับปุ๋ยอินทรีย์ ยิปซัม และน้ำหมักชีวภาพ มีรายได้สุทธิเชิงลบมากที่สุด -2,696.00 บาทต่อไร่ นอกจากนี้ ทุกตัวรับการทดลองไม่มีรายได้สุทธิเทื่องตัวรับควบคุม

4.2 มันสำปะหลัง ภายหลังจากการทดลองบางตัวรับให้รายได้สุทธิเชิงบวก (กล่าวคือ ต้นทุนน้อยกว่าราคาผลผลิตที่ขายได้ หรือกำไร) และบางตัวรับให้รายได้สุทธิเชิงลบ (กล่าวคือ ต้นทุนมากกว่า ราคาผลิตผลที่ขายได้ หรือขาดทุน) และรายได้สุทธิของการปลูกมันสำปะหลังตัวรับต่าง ๆ มีความแตกต่างกันอย่างมีนัยสำคัญทางสถิติ (ตารางที่ 7) กล่าวคือ ใส่ปุ๋ยเคมี (ใส่ปุ๋ยตามค่าวิเคราะห์ดิน) ร่วมกับปุ๋ยอินทรีย์ ยิปซัม และน้ำหมักชีวภาพ มีรายได้สุทธิมากที่สุด (3,854.80 บาทต่อไร่) ขณะที่วิธีเกษตรกร ร่วมกับยิปซัม และน้ำหมักชีวภาพ มีผลให้รายได้สุทธิเชิงลบมากที่สุด (ขาดทุน) -1,526.70 บาทต่อไร่ นอกจากนี้วิธีการใส่ปุ๋ยเคมี (ใส่ปุ๋ยตามค่าวิเคราะห์ดิน) ร่วมกับปุ๋ยอินทรีย์ ยิปซัม และน้ำหมักชีวภาพ ยังมีรายได้สุทธิ เทื่องตัวรับควบคุมมากที่สุด (3,805.60 บาทต่อไร่) ขณะที่วิธีเกษตรกร ร่วมกับยิปซัม และน้ำหมักชีวภาพ มีผลให้รายได้สุทธิเชิงลบซึ่งเท่ากับอยู่ใต้ตัวรับควบคุมกล่าวคือ -1,477.50 บาทต่อไร่

ตารางที่ 7 การวิเคราะห์รายได้สุทธิ (Net Revenue) ของการปลูกพืชราชบูรจ

พืช	ต้นทุนการผลิต (บาท/ต.)					ผลผลิตและมูลค่าขายที่เกิดขึ้นจริง (บาท/ต.)					รายได้สุทธิ เทียบต่อรับ ความคง	
	ต้นทุนการผลิต	น้ำหมัก	ปุ๋ย	พักรด	น้ำยาเคมี	ค่าเชรนและ ค่าลักษณะฯ	ผลผลิต	ราคาขาย	ได้เส้นจาก ภาระ	รายได้สุทธิ		
	ต้นทุนการผลิต (บาท/ต.)	น้ำหมัก	ปุ๋ย	พักรด (ถ้วน)	น้ำยาเคมี	ค่าเชรนและ ค่าลักษณะฯ	กิโลกรัม/ ตัน	(กิโลกรัม)	(Net revenue)	(บาท/ต.)		
							(TVC)	(Q)	(P)	(PxQ)	[NR=(PxQ) - TVC]	
											**	
ข้าว	การทดลองที่ 1	-	-	-	-	-	3,200.00	168	13.5	2,268.00	-932.00 ^a	
	การทดลองที่ 2	-	-	-	720	-	3,200.00	194	13.5	2,619.00	-1,301.00 ^b	
	การทดลองที่ 3	-	75	-	720	840	3,200.00	254	13.5	3,429.00	-1,406.00 ^c	
	การทดลองที่ 4	-	75	-	510	840	3,200.00	230	13.5	3,105.00	-1,520.00 ^d	
	การทดลองที่ 5	1,650.00	75	120	-	840	3,200.00	256	13.5	3,456.00	-2,429.00 ^e	
	การทดลองที่ 6	1,650.00	75	120	510	840	3,200.00	274	13.5	3,699.00	-2,696.00 ^f	
	F-test										**	
	CV (%)										-0.16	
ข้าวเจ้าป่าหลัง	การทดลองที่ 1	-	-	-	-	-	4,100.60	4,100.60	2.53	4,149.20	49.20 ^c	
	การทดลองที่ 2	-	-	-	1,900.00	-	4,100.60	6,000.60	1,890.00	2.53	4,781.70	-1,218.90 ^d
	การทดลองที่ 3	-	75	-	1,900.00	840	4,100.60	6,915.60	2,130.00	2.53	5,388.90	-1,526.70 ^f
	การทดลองที่ 4	-	75	-	1,200.00	840	4,100.60	6,215.60	3,045.00	2.53	7,703.85	1,488.25 ^b
	การทดลองที่ 5	1,650.00	75	120	-	840	4,100.60	6,785.60	2,165.00	2.53	5,477.45	-1,308.15 ^c
	การทดลองที่ 6	1,650.00	75	120	1,200.00	840	4,100.60	7,985.60	4,680.00	2.53	11,840.40	3,854.80 ^a
	F-test										**	
	CV (%)										18.25	
หมายเหตุ	** หมายถึง มีความแตกต่างกันทางสถิติที่ระดับความเชื่อมั่นเรียลล์ 99 a, b ตัวอักษรเหมือนกัน หมายถึง ไม่มีความแตกต่างกันทางสถิติโดยวิธี LSD											

สรุปผลการวิจัยและอภิปรายผลการวิจัย

จากการศึกษาการประเมินคุณค่าการใช้ประโยชน์พื้นที่ทุ่งล้มถูกอิฐ เพื่อการจัดการพืชเศรษฐกิจ สามารถสรุปผลการวิจัย และอภิปรายผลการใช้ประโยชน์พื้นที่ทุ่งล้มถูกอิฐเพื่อการจัดการดินต่อการเจริญเติบโต และผลผลิตของพืชเศรษฐกิจ ได้ดังนี้

1. พืชที่ปลูกข้าวพันธุ์หอมมะลิ 105 ภายหลังการทดลองมีผลต่อการเปลี่ยนแปลงสมบัติทางเคมีของดินโดยภาพรวมดังนี้ คือ ค่า pH ของดินอยู่ในระดับกรดจัด ค่า EC ของดินอยู่ในระดับเค็มปานกลาง ปริมาณอินทรีย์ต่ำในดินอยู่ระดับต่ำถึงต่ำมาก ปริมาณฟอสฟอรัสที่เป็นประโยชน์ในดินอยู่ในระดับต่ำมาก และปริมาณโพแทสเซียมที่แลกเปลี่ยนได้ในดินอยู่ในระดับต่ำถึงต่ำมาก ความลุ่งของต้นข้าว มีความแตกต่างกันอย่างมีนัยสำคัญทางสถิติ คือ การใส่ปุ๋ยอินทรีย์ ร่วมกับยิปซัม และน้ำหมักชีวภาพ มีผลให้ความลุ่งต้นสูงที่สุด ช่วงอายุ 30 และ 50 วัน และช่วงอายุ 60 และ 90 วัน การใส่ปุ๋ยเคมี (ใส่ปุ๋ยตามค่าวิเคราะห์ดิน) ร่วมกับปุ๋ยอินทรีย์ ยิปซัม และน้ำหมักชีวภาพ ผลให้ความลุ่งต้นสูงที่สุดลดลงคล้องกับ [6] การใช้พืชตระกูลถั่วที่มีปริมาณในโตรเรจนสูงจะช่วยส่งเสริมการเจริญเติบโตของพืช วิธีการใส่ปุ๋ยเคมี (ใส่ปุ๋ยตามค่าวิเคราะห์ดิน) ร่วมกับปุ๋ยอินทรีย์ ยิปซัม และน้ำหมักชีวภาพมีให้ผลผลิตของข้าวสูงที่สุด เท่ากับ 274.00 กิโลกรัมต่อไร่ การใช้วิธีเกษตรกร และการใส่ปุ๋ยเคมี (ใส่ปุ๋ยตามค่าวิเคราะห์ดิน) ร่วมกับ ยิปซัม และน้ำหมักชีวภาพ มีผลให้การกักเก็บอินทรีย์คาร์บอนในดินได้สูงที่สุด ขณะที่วิธีเกษตรกร ร่วมกับ ยิปซัม และน้ำหมักชีวภาพ มีผลให้การกักเก็บอินทรีย์คาร์บอนในดินต่ำที่สุด ลดลงคล้องกับ [7] เกิดจากการกร่อนของดินทำให้ปริมาณคาร์บอนในดินลดลง และการปลดปล่อยก๊าซคาร์บอนไดออกไซด์ไกල์เคียงกันไม่มีความแตกต่างกันทางสถิติ ตัวรับควบคุม (Control) มีผลให้รายได้สูงอิเชิงลบ (ขาดทุน) น้อยที่สุด เท่ากับ -932.00 บาทต่อไร่ ขณะที่ตัวรับการใส่ปุ๋ยเคมี (ใส่ปุ๋ยตามค่าวิเคราะห์ดิน) ร่วมกับปุ๋ยอินทรีย์ ยิปซัม และน้ำหมักชีวภาพ มีผลให้รายได้สูงอิเชิงลบ (ขาดทุน) มากที่สุดเท่ากับ -2,696.00 บาทต่อไร่ และยังมีผลให้รายได้สูงอิเชิงลบ (ขาดทุน) มากที่สุด (-1,764 บาทต่อไร่)

2. พืชที่ปลูกมันลำปะหลัง พันธุ์เงาตราศาสตร์ 50 ภายหลังจากการใช้ปุ๋ยตามตัวรับการทดลองต่าง ๆ มีผลต่อการเปลี่ยนแปลงสมบัติทางเคมีของดินโดยภาพรวมดังนี้ คือ ค่า pH ของดินอยู่ในระดับกรดจัดถึงกรดรุนแรง ค่า EC ของดินอยู่ในระดับเค็มน้อยมากถึงเค็มปานกลาง ปริมาณอินทรีย์ต่ำในดินอยู่ในระดับค่อนข้างต่ำถึงต่ำ ปริมาณฟอสฟอรัสที่เป็นประโยชน์ในดินอยู่ในระดับปานกลางถึงต่ำมาก และปริมาณโพแทสเซียมที่แลกเปลี่ยนได้ ในดินอยู่ในระดับต่ำถึงต่ำมาก ลดลงคล้องกับ [8] การเปลี่ยนแปลงด้านกายภาพ เคมี ชีวภาพ และความสามารถ ใน การกักเก็บน้ำของดิน เป็นกระบวนการเกิดความเสื่อมโทรมของดิน ความลุ่งต้น มีความแตกต่างกันอย่างมีนัยสำคัญทางสถิติ คือการใส่ปุ๋ยเคมี (ใส่ปุ๋ยตามค่าวิเคราะห์ดิน) ร่วมกับปุ๋ยอินทรีย์ ยิปซัม และน้ำหมักชีวภาพมีผลให้ความลุ่งต้นสูงที่สุด แต่จำนวนหัวต่อต้นไม่มีความแตกต่างกันทางสถิติ การใส่ปุ๋ยเคมี (ใส่ปุ๋ยตามค่าวิเคราะห์ดิน) ร่วมกับ ยิปซัม และน้ำหมักชีวภาพ มีผลให้ค่าอัตราส่วนร้อยละของแป้งมันลำปะหลังสูงที่สุด เมื่อเปรียบเทียบกับตัวรับควบคุม (Control) ซึ่งมีผลให้ค่าอัตราส่วนร้อยละของแป้งมันลำปะหลังต่ำที่สุด การใส่ปุ๋ยเคมี (ใส่ปุ๋ยตามค่าวิเคราะห์ดิน) ร่วมกับปุ๋ยอินทรีย์ ยิปซัม และน้ำหมักชีวภาพ มีผลให้น้ำหนักกล้ำที่รีบาก เก็บเกี่ยวสูงที่สุด และมีผลให้ผลผลิตของมันลำปะหลังสูงที่สุดเท่ากับ 4,680 กิโลกรัมต่อไร่ เมื่อเปรียบเทียบกับตัวรับควบคุม (Control) ซึ่งมีผลให้ผลผลิตของมันลำปะหลังต่ำที่สุด ลดลงคล้องกับ [6] การใช้ปุ๋ย

ตามค่าวิเคราะห์ดินเป็นบริมาณธาตุปุ๋ยที่พืชต้องการสำหรับดินและพืชที่คาดว่าจะได้ผลผลิตสูงสุด และการใช้ปุ๋ยหมักลงอาจไม่เพียงพอต้องใช้ร่วมกับการใส่ปุ๋ยเคมีซึ่งสอดคล้องกัน [9] การใช้วิธีเกษตรกร ร่วมกับยิปซัม และน้ำหมักชีวภาพ มีผลให้การกักเก็บอนทรีย์ carbon ในดินได้สูงที่สุด ขณะที่วิธีเกษตรกร มีผลให้การกักเก็บอนทรีย์ carbon ในดินต่ำที่สุด และการปลดปล่อยก๊าซ carbon ออกได้อย่างมาก [9] การใช้ปุ๋ยอินทรีย์ ยิปซัม และน้ำหมักชีวภาพ มีผลให้รายได้สุทธิมากที่สุดเท่ากับ 3,854.80 บาทต่อไร่ ขณะที่วิธีเกษตรกร ร่วมกับยิปซัม ร่วมกับน้ำหมักชีวภาพ มีผลให้รายได้ขาดทุนมากที่สุดเท่ากับ -1,526.70 บาทต่อไร่ นอกจากนี้ การใส่ปุ๋ยเคมี (ใส่ปุ๋ยตามค่าวิเคราะห์ดิน) ร่วมกับปุ๋ยอินทรีย์ ยิปซัม และน้ำหมักชีวภาพ มีผลให้รายได้สุทธิเท่ากับ 0 ขณะที่วิธีเกษตรกร ร่วมกับยิปซัม ร่วมกับน้ำหมักชีวภาพ มีผลให้รายได้ขาดทุนมากที่สุดเท่ากับ 3,854.80 บาทต่อไร่ ขณะที่วิธีเกษตรกร ร่วมกับยิปซัม ร่วมกับน้ำหมักชีวภาพ มีผลให้รายได้สุทธิมากที่สุดเท่ากับ 3,854.80 บาทต่อไร่ ขณะที่วิธีเกษตรกร ร่วมกับยิปซัม ร่วมกับน้ำหมักชีวภาพ มีผลให้รายได้สุทธิเท่ากับ 0 ต่างจากตัวบ่งชี้คุณภาพน้อยที่สุด

จากการศึกษาครั้งนี้เกษตรกรผู้ปลูกข้าวในพื้นที่ไม่เหมาะสมสมหรือเหมาะสมสมน้อย ทำให้ได้ผลผลิตน้อย ไม่คุ้มทุน จึงให้เกษตรกรปรับเปลี่ยนปลูกมันลำปางหลัง เพื่อให้เหมาะสมกับสภาพพื้นที่ โดยคำนึงถึงทรัพยากรดิน ทำให้ได้รับผลตอบแทนสูงสุด มีรายได้ที่หลากหลาย ช่วยเพิ่มผลผลิต เพิ่มคุณภาพ ลดต้นทุนในการผลิต และช่วยรักษาลิ่งแวงล้อมได้อีกด้วย วิธีการที่เหมาะสมที่สุดสำหรับปลูกมันลำปางหลัง คือ ดำเนินการทดลองที่ 6 การใส่ปุ๋ยเคมี (ใส่ปุ๋ยตามค่าวิเคราะห์ดิน) ร่วมกับปุ๋ยอินทรีย์ ยิปซัม และน้ำหมักชีวภาพ แต่ทั้งนี้ควรพิจารณาความพร้อม และการยอมรับของเกษตรกรในพื้นที่เป็นหลักด้วยเช่นกัน หากมีการนำไปใช้ประโยชน์กันอย่างแพร่หลายอาจส่งผลให้ราคาเพิ่มสูงขึ้นและมีปริมาณไม่มากพอ ต่อความต้องการได้

References

- [1] Land Development Department. (2011). **Thung Samrit Area Map Nakhon Ratchasima Province.** Modified from Area 3 Land Development Department, Land Development Department Ministry of Agriculture and Cooperatives.
- [2] Jones, P. D. and Briffa, K. R. (1992). Global Surface Air Temperature Variations During the Twentieth Century: Part 1, Spatial, Temporal and Seasonal Details. **The Holocene.** Vol. 2, Issue 2, pp. 165-179. DOI: 10.1177/095968369200200208
- [3] Jobbagy, E. G. and Jackson, R. B. (2000). The Vertical Distribution of Soil Organic Carbon and Its Relation to Climate and Vegetation. **Ecological Applications.** Vol. 10, Issue 2, pp. 423-436. DOI: 10.2307/2641104
- [4] Pabpom, S. (1987). **Principles and Methods of Farm Business Management.** Bangkok: Odeon Store
- [5] Land Development Department. (2004). **Manual for Analyzing Soil Samples, Water, Fertilizer, Soil Improvement Materials and Analysis for Product Standard Certification Book 1.** Organic Agriculture Project in Office of Science for Land Development Department of Land Development Ministry of Agriculture and Cooperatives

- [6] Land Development Department. (2010). **Handbook of Speakers, Young Doctors.** Organic Farming Project in Schools and Young Earth Doctor Year (2010). Department of Land Development Ministry of Agriculture and Cooperatives.
- [7] Merchant, T. (2012). **Greenhouse Gas Emissions from Fermentation in the Digestive System and Manure Management of Livestock Farms In Phayao Province.** Master of Science Natural Resources and Environmental Management Program Phayao University. 120 hrs.
- [8] Land Development Department. (2015). **Land Development Guide For Volunteer Soil Doctors and Farmers.** Department of Land Development Ministry of Agriculture and Cooperatives.
- [9] Mala, T. (2003). **Organic and Bio-Fertilizer: Production Techniques and Utilization.** Department of Soil Science, Faculty of Agriculture, Kamphaengsaen, Kasetsart University. Kamphaeng Saen Campus, Nakhon Pathom.

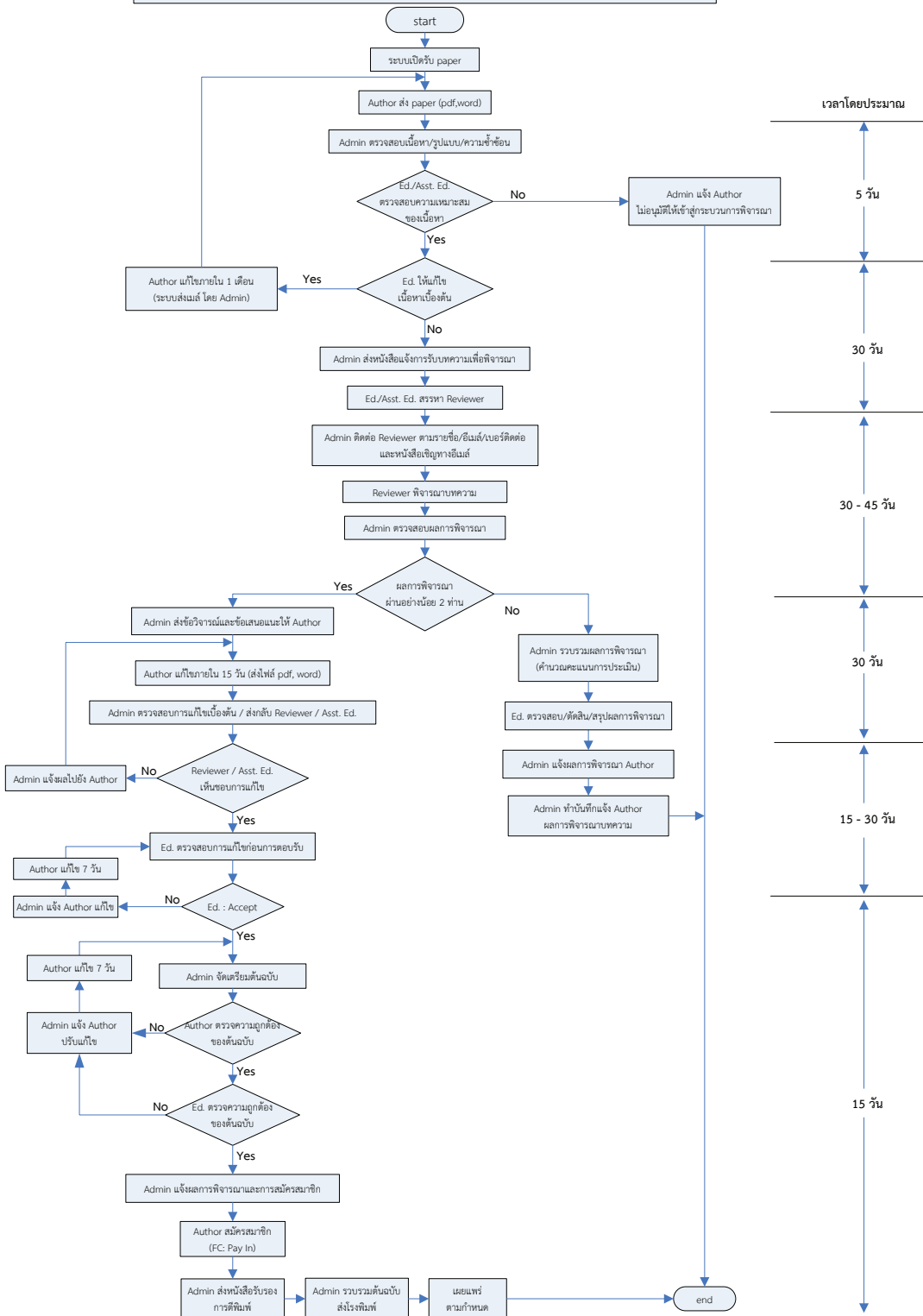


คำแนะนำสำหรับผู้เขียน



RMUTI
ราชมงคลอีสาน

ผังการดำเนินงานการสาร มหาวิทยาลัยและเทคโนโลยี



วารสาร มทร.อีสาน ฉบับวิทยาศาสตร์และเทคโนโลยี
RMUTI JOURNAL Science and Technology

1. ประเภทของบทความที่ตีพิมพ์

1.1 บทความวิจัย (Research article) เป็นบทความที่ได้จากการวิจัย

1.2 บทความวิชาการ (Academic article) เป็นบทความที่มีลักษณะดังนี้

1. เป็นบทความจากการทบทวนเอกสาร ซึ่งเป็นผลมาจากการวิจัยหลาย ๆ ครั้ง ถือเป็นบทความที่มีความสำคัญเป็นอย่างยิ่ง

2. เป็นบทความนำเสนอกระบวนการพัฒนาผลิตภัณฑ์ การทดสอบภาคสนาม รวมไปถึงเทคนิคการวิเคราะห์ใหม่ ๆ

3. เป็นบทความที่มาจากประสบการณ์ หรือความชำนาญของผู้เขียน

4. เป็นบทความเกี่ยวกับนโยบายด้านต่าง ๆ ของหน่วยงาน

2. รูปแบบการพิมพ์บทความ

การตั้งค่าหน้ากระดาษ

- ระยะขอบ

ขอบบน (Top Margin) 2.54 ซม. ขอบล่าง (Bottom Margin) 2.54 ซม.

ขอบขวา (Right Margin) 2.54 ซม. ขอบซ้าย (Left Margin) 3.17 ซม.

- ระยะห่างบรรทัด 1 เท่า

- รูปแบบตัวอักษร บทความภาษาไทยใช้ TH SarabunPSK

บทความภาษาอังกฤษใช้ Times New Roman

- การย่อหน้า 7 ตัวอักษร พิมพ์ตัวที่ 8

- จำนวนหน้า 12 หน้า แต่ไม่ควรเกิน 15 หน้า

- ชื่อบทความ ภาษาไทย ขนาดตัวอักษร 20 ตัวหนา

ภาษาอังกฤษ ขนาดตัวอักษร 18 ตัวหนา

- ชื่อผู้เขียน ภาษาไทย ขนาดตัวอักษร 16 และจัดชิดซ้าย

ภาษาอังกฤษ ขนาดตัวอักษร 14 และจัดชิดซ้าย

- ตัวเลขยก (ต่อท้ายนามสกุล) ขนาดตัวอักษร 14

- ที่อยู่ ภาษาไทย ขนาดตัวอักษร 13

ภาษาอังกฤษ และภาษาอังกฤษ 11

- ชื่อหัวเรื่องหลักในบทความ เช่น “บทคัดย่อ” “คำสำคัญ” “วิธีดำเนินการ” “ผลการวิจัย”

“สรุปผลการวิจัย” “กิตติกรรมประกาศ” “เอกสารอ้างอิง” จัดชิดซ้ายหน้ากระดาษ

กรณีบทความภาษาไทย ขนาดตัวอักษร 18 ตัวหนา

กรณีบทความภาษาอังกฤษ ขนาดตัวอักษร 16 ตัวหนา

- ชื่อหัวเรื่องรอง จัดชิดซ้ายหน้ากระดาษ

กรณีบทความภาษาไทย ขนาดตัวอักษร 14 ตัวหนา

กรณีบทความภาษาอังกฤษ ขนาดตัวอักษร 11 ตัวหนา

- เนื้อหาในส่วนต่าง ๆ และคำสำคัญ

กรณีบหความภาษาไทย ขนาดตัวอักษร 14

กรณีบหความภาษาอังกฤษ ขนาดตัวอักษร 11

- ข้อตาราง

กรณีบหความภาษาไทย ข้อความ “ตารางที่ x” ใช้ขนาดตัวอักษร 14 ตัวหนา วางด้านบน ชิดซ้ายหน้ากระดาษ ตามด้วยชื่อตารางที่เป็นตัวอักษรขนาด 14 ไม่หนา

กรณีบหความภาษาอังกฤษ ข้อความ “Table x” ใช้ขนาดตัวอักษร 11 ตัวหนา วางด้านบน ชิดซ้ายหน้ากระดาษ ตามด้วยชื่อตารางที่เป็นตัวอักษรขนาด 11 ไม่หนา

- ชื่อรูปภาพ

กรณีบหความภาษาไทย ข้อความ “รูปที่ x” ใช้ขนาดตัวอักษร 14 ตัวหนา วางด้านล่างจัดชิดซ้ายหน้ากระดาษ ตามด้วยคำชื่อรูปที่เป็นตัวอักษรขนาด 14 ไม่หนา

กรณีบหความภาษาอังกฤษ ข้อความ “Figure x” ใช้ขนาดตัวอักษร 11 ตัวหนา วางด้านล่างจัดชิดซ้ายหน้ากระดาษ ตามด้วยคำชื่อรูปที่เป็นตัวอักษรขนาด 11 ไม่หนา

3. ส่วนประกอบของบทความแต่ละประเภท

3.1 บทความวิจัย จะประกอบไปด้วย

ก. ส่วนปก

1. ชื่อบทความ (Title) ภาษาไทยและภาษาอังกฤษ ควรกระหัตดัด ไม่ยาวเกินไป บทความภาษาไทยชื่อเรื่องต้องมีทั้งภาษาไทยและภาษาอังกฤษ บทความภาษาอังกฤษชื่อเรื่องไม่ต้องมีภาษาไทย

2. ชื่อผู้เขียน (Authors) ชื่อเต็ม - นามสกุลเต็ม ของผู้เขียนทุกคน โดยให้รายละเอียด ต้นลั้งกัดของผู้เขียนไว้ที่บรรทัดล่างสุดของหน้าแรก พร้อมทั้งระบุชื่อผู้เขียนประสานงาน (Corresponding Author) ด้วยการระบุ E-mail address ที่สามารถติดต่อได้ และให้เครื่องหมายดอกจันทร์ตัวยก กำกับไว้ต่อท้ายนามสกุล และตัวเลขยก ให้เขียนไว้ต่อท้ายนามสกุล เพื่อระบุที่อยู่ของผู้เขียน

3. บทคัดย่อ (Abstract) ควรสั้น ตรงประเด็น ครอบคลุมสาระสำคัญของการศึกษา ประกอบไปด้วยเนื้อหา ได้แก่ วัตถุประสงค์ วิธีการ ผลการวิจัย และการอภิปรายผล เป็นต้น โดยเขียนลงใน 1 ย่อหน้า ถ้าบทความเป็นภาษาไทย จะต้องมีบทคัดย่อภาษาไทย 1 ย่อหน้า และภาษาอังกฤษ 1 ย่อหน้า โดยให้ภาษาไทยขึ้นก่อน เนื้อความในบทคัดย่อภาษาไทยและภาษาอังกฤษต้องมีความหมายเดียวกัน ความยาวของบทคัดย่อภาษาอังกฤษ กำหนดให้มีความยาวได้ไม่เกิน 300 คำ

4. คำสำคัญ (Key words) เป็นการกำหนดคำสำคัญที่สามารถนำไปใช้เป็นคำสืบค้น ในระบบฐานข้อมูล หากเป็นบทความภาษาไทยต้องมีคำสำคัญ 2 ภาษา คือภาษาไทยและภาษาอังกฤษที่มีความหมายตรงกัน ส่วนกรณีของบทความภาษาอังกฤษให้มีเพียงคำสำคัญในรูปแบบภาษาอังกฤษเท่านั้น จำนวนคำสำคัญที่กำหนดให้มีคำสำคัญได้อย่างน้อย 3 คำ แต่ไม่เกิน 5 คำ

**หมายเหตุ : เนื้อหาส่วนปกจะต้องเขียนให้อยู่ในกระดาษจำนวน 1 หน้า เท่านั้น

ข. ส่วนเนื้อหา

1. บทนำ (**Introduction**) เพื่ออธิบายถึงความสำคัญของปัญหา และวัตถุประสงค์ของการวิจัย รวมถึงการทบทวนวรรณกรรม และเอกสารที่เกี่ยวข้อง

2. วัสดุ อุปกรณ์ และวิธีการ (**Materials and Methods**) / วิธีดำเนินการวิจัย (**Research Methodology**) อธิบายเครื่องมือและวิธีการดำเนินการวิจัยให้ชัดเจน

3. ผลการวิจัย (**Results**) เสนอผลการทดลองอย่างชัดเจน ตรงประเด็น ควรมีรูปภาพ และ/หรือ ตารางประกอบการอธิบายผลในตารางและรูปภาพ ต้องไม่เข้าข้องกัน รูปภาพและตารางของบทความที่เป็นภาษาไทย ให้บรรยายเป็นภาษาไทย รูปภาพและตารางของบทความที่เป็นภาษาอังกฤษ ให้บรรยายเป็นภาษาอังกฤษ

4. การอภิปรายผล (**Discussion**) เป็นการอภิปรายผลการวิจัย เพื่อให้ผู้อ่านมีความเห็นคล้ายตาม เพื่อเปรียบเทียบกับผลการวิจัยของผู้อื่น พร้อมทั้งเสนอแนวทางที่จะนำไปใช้ประโยชน์ผลการวิจัย และการอภิปรายผล (**Results and Discussion**) อาจนำมาเขียนตอนเดียวกันได้

5. บทสรุป (**Conclusion**) สรุปประเด็น และสาระสำคัญของการวิจัย

6. กิตติกรรมประกาศ (**Acknowledgements**) เพื่อแสดงความขอบคุณแก่ผู้ให้ความช่วยเหลือในการวิจัย อาจมีหรือไม่มีก็ได้

7. เอกสารอ้างอิง (**References**) เป็นรายการเอกสารที่ถูกอ้างไว้ในส่วนของเนื้อเรื่อง เพื่อใช้เป็นหลักในการค้นคว้าวิจัย จำนวนเอกสารที่นำมาอ้างอิงตอนท้ายต้องมีจำนวนตรงกับที่ถูกอ้างอิงไว้ ในส่วนของเนื้อเรื่องที่ปรากฏในบทความเท่านั้น การจัดเรียงให้เรียงตามลำดับการอ้างอิงในเนื้อหาโดยใช้ย่อถือรูปแบบการเขียนเอกสารอ้างอิงตามที่ทางวารสาร มทร.อีสาน กำหนด และต้องเขียนในรูปแบบภาษาอังกฤษเท่านั้น

3.2 บทความวิชาการ จะประกอบไปด้วย

ก. ส่วนปก

มีส่วนประกอบเหมือนบทความวิจัย และเขียนให้อยู่ในกระดาษ จำนวน 1 หน้า เท่านั้น

ข. ส่วนเนื้อหา

1. บทนำ (**Introduction**) เป็นส่วนของที่มาของมูลเหตุของการเขียนบทความ

2. วิธีการศึกษา/วิธีดำเนินการ (**Method**) (ถ้ามี) เป็นการอธิบายวิธีการศึกษา หรือ การดำเนินการตามประเภทของบทความวิชาการ

3. ผลการศึกษา/ผลการดำเนินการ (**Results**) เป็นการเสนอผลอย่างชัดเจน ตามประเด็น โดยลำดับตามหัวข้อที่ศึกษาหรือดำเนินการ

4. สรุป (**Conclusion**) สรุปประเด็น และสาระสำคัญที่ได้จากการศึกษา

5. เอกสารอ้างอิง (**References**) ใช้รูปแบบที่วารสารกำหนด รายการการอ้างอิง ต้องเขียนในรูปแบบภาษาอังกฤษเท่านั้น

4. การอ้างอิงเอกสารในเนื้อเรื่องของบทความ (**In-text Citations**)

การอ้างอิงเอกสารในเนื้อเรื่องใช้รูปแบบ IEEE ระบบตัวเลข (**Numerical System**) เท่านั้น โดยรายการอ้างอิงเอกสารให้จัดขึ้นท้ายหน้ากระดาษ หมายเลขอลำดับของเอกสารอ้างอิงในเครื่องหมาย

วงเล็บกรอบลี่เทลี่ยม ตัวอย่างเช่น [1] เป็นต้น หากเป็นการอ้างอิงเอกสารหลายฉบับในเวลาเดียวกัน ให้ใส่ท้ายเลขอ้างอิงเรียงตามลำดับ จากน้อยไปมาก เช่น [1] - [3] หรือ [1], [2], [5] เป็นต้น

การเขียนรายการเอกสารอ้างอิง (Reference list)

1) หนังสือ

[X] ผู้แต่ง./.(ปีที่พิมพ์).//ชื่อหนังสือ./.ครั้งที่พิมพ์(ถ้ามี).//เมืองที่พิมพ์:/;สำนักพิมพ์.

ตัวอย่างเช่น

- [1] Herren, Ray V. (1994). **The Science of Animal Agriculture**. Albany, N.Y. : Delmar Publishers.

2) หนังสือแปล

[X] ผู้แต่ง./.(ปีที่พิมพ์).//ชื่อเรื่องของหนังสือแปล//แปลจาก(ชื่อเรื่องในภาษาเดิม).//โดย/
ชื่อผู้แปล./.ครั้งที่พิมพ์(ถ้ามี).//เมืองที่พิมพ์:/;สำนักพิมพ์

ตัวอย่างเช่น

- [2] Grmek, Mirko D. (1990). **History of AIDS : Emerging and Origin of a Modern Pandemic**.
Translated by Russell C. Maulitz, and Jacalyn Duffin. Princeton, N.J.: University Press

3) บทความในหนังสือรายงานประชุมทางวิชาการ/สัมมนาทางวิชาการ

[X] ผู้เขียนบทความ./.(ปีที่พิมพ์).//ชื่อบทความ./ชื่อบรรณาธิการหรือผู้ร่วบรวม(ถ้ามี).//
หน้า/เลขหน้า./.สถานที่พิมพ์:/;สำนักพิมพ์

ตัวอย่างเช่น

- [3] McTaggart, J. M. E. (1993). The Unreality of Time. **Philosophy of Time**. Robin Le Poidevin, and Murray MacBeath, eds. pp. 23-34. Oxford : Oxford University Press

4) บทความในหนังสือรายงานประชุมทางวิชาการ/สัมมนาทางวิชาการ

[X] ผู้เขียนบทความ./.(ปีที่พิมพ์).//ชื่อบทความ./ชื่อบรรณาธิการ(ถ้ามี).//ชื่อเรื่องรายงาน
การประชุม./.หน้า/เลขหน้า./.สถานที่พิมพ์:/;สำนักพิมพ์

ตัวอย่างเช่น

- [4] Beales, P. F. (1980). The Status of Malaria in Southeast Asia. **Proceedings of the Third Asian Congress of Pediatrics**. Aree Valyasevi, and Vidhaya Mekanandha, eds.
pp. 52-58. Bangkok : Bangkok Medical Publisher

5) วารสาร

[X] ผู้เขียนบทความ./.(ปีที่พิมพ์).//ชื่อบทความ./ชื่อวารสาร./.ปีที่./.ฉบับที่./.หน้า/เลขหน้า
ตัวอย่างเช่น

- [5] Vitsanusat, A. and Phachirarat, S. (2015). Measurement of Radon in Drinking Water at Amphur Meaung, Khonkhaen Province with Ionization chamber. **RMUTI Journal Science and Technology**. Vol. 8, No. 2, pp. 12-20

6) บทความในหนังสือพิมพ์

[X] ชื่อผู้เขียน // (ปี./วัน./เดือน).// ชื่อบทความ./ใน/ชื่อหนังสือพิมพ์./หน้า/เลขหน้า
ตัวอย่างเช่น

- [6] Vitit Muntarbhorn. (1994. 21. March). **The Sale of Children as a Global Dilemma.**
Bangkok Post. p. 4

7) บทความในสารานุกรม

[X] ชื่อผู้เขียนบทความ./// (ปีที่พิมพ์).// ชื่อบทความ./ใน./ชื่อสารานุกรม./// เล่มที่:/หน้า/เลขหน้า-เลขหน้า
ตัวอย่างเช่น

- [7] Morrow, Blaine Victor. (1993). Standards for CD-Rom Retrieval. **Encyclopedia of Library and Information Science.** Vol. 51, pp. 380-389

8) วิทยานิพนธ์

[X] ผู้เขียนวิทยานิพนธ์ // (ปีที่พิมพ์).// ชื่อวิทยานิพนธ์ // ระดับวิทยานิพนธ์ /ชื่อสาขา/คณะ/
มหาวิทยาลัย

ตัวอย่างเช่น

- [8] Phillips, O. C., Jr. (1962). **The Indfluence of Ovid on Lucan's Bellum Civil.** Ph.D.
Dissertation University of Chicago

9) สื่ออิเล็กทรอนิกส์ (สื่ออิเล็กทรอนิกส์) : www

[X] ผู้เขียน // ปี // ชื่อบทความ // ชื่อวารสารหรือนิตยสาร // ปีที่(เดือนหรือฉบับที่):/ เลขหน้า(ถ้ามี).//
เข้าถึงเมื่อ (วัน เดือน ปีที่ค้นข้อมูล)/เข้าถึงได้จาก (ที่อยู่ของบทความหรือสื่ออิเล็กทรอนิกส์ URL)
ตัวอย่างเช่น

- [9] Department of the Environment and Heritage. (1999). **Guide to Department and Agency Libraries.** Access (17 November 2000). Available (<http://www.erin.gov.au/library/guide.html>)

10) ผู้แต่งเป็นหน่วยงาน

[X] ชื่อหน่วยงาน // (ปีที่พิมพ์).// ชื่อหนังสือ /เล่มที่(ถ้ามี).// ครั้งที่พิมพ์(ถ้ามี).// เมืองที่พิมพ์:/
สำนักพิมพ์

ตัวอย่างเช่น

- [10] Prince of Songkla University. (2009). **Annual Report 2008.** Songkhla: Prince of Songkla University

11) มีเฉพาะชื่อบรรณาธิการเป็นผู้รวมรวม

[X] ชื่อบรรณาธิการ หรือผู้รวมรวม หรือผู้เรียบเรียง // (ปีที่พิมพ์).// ชื่อหนังสือ // เล่มที่ (ถ้ามี) //
ครั้งที่พิมพ์(ถ้ามี) // เมืองที่พิมพ์:/สำนักพิมพ์

ตัวอย่างเช่น

- [11] Rueangwit Limpanat. (2000). **Local - India.** Chonburi: Department of History
Faculty of Humanities And social science Burapa university

5. รูปแบบการใส่รูปภาพในเนื้อหาบทความ

- 1) ชื่อรูปภาพห้ามขึ้นต้นด้วยคำว่า “ແສດງ”
- 2) รูปภาพที่แสดงต้องมีคำอธิบายอยู่ในเนื้อหาบทความที่มีการระบุถึงรูปภาพนั้น ๆ
- 3) คำอธิบายรูปภาพ ให้เขียนไว้ใต้รูปภาพแต่ละรูปภาพ โดยจัดรูปภาพไว้กึ่งกลางหน้ากระดาษ และคำอธิบายจัดขึ้นด้วยหัวใจกระดาษ
- 4) ไฟล์ของรูปภาพต้องเป็นไฟล์ที่มีนามสกุล .jpg, .png, .tiff หรือ .eps เท่านั้น ความละเอียดไม่ต่ำกว่า 300 dpi
- 5) ลายเลันที่ปรากฏบนรูปภาพต้องมีความคมชัด กรณีที่เป็นรูปกราฟ ต้องระบุชื่อแกนต่าง ๆ ให้ครบถ้วน
- 6) กรณีที่มีรูปภาพย่ออย่าง ควรจัดให้รูปภาพย่ออยู่ทึ่งหมวดอยู่ในหน้าเดียวกัน สำหรับบทความภาษาไทย ให้เขียนคำบรรยายใต้ชื่อรูปย่ออย่างเต็มรูป และกำหนดลำดับของรูปภาพด้วยตัวอักษร ตัวอย่างเช่น



(ก) รูปย่ออย่างที่ 1



(ข) รูปย่ออย่างที่ 2

รูปที่ 1 ตัวอย่างการเขียนคำอธิบายรูปภาพ

สำหรับบทความภาษาอังกฤษ ให้ใช้อักษร (a), (b),... แทนการกำหนดรูปภาพย่ออย่าง

- 7) การเว้นระยะบรรทัด ก่อนรูปภาพ ให้เว้น 1 บรรทัด และหลังจากชื่อรูปภาพ ให้เว้น 1 บรรทัด
- 8) การใช้ภาพสี อาจทำให้เกิดความสับสน แต่ให้คำนึงถึงการลือความหมายกรณีที่มีการจัดพิมพ์เอกสารแบบขาวดำเพื่อให้ผู้อ่านสามารถเข้าใจได้ กรณีที่เป็นกราฟควรกำหนดลักษณะเส้นที่แตกต่างกันเพื่อให้สามารถเข้าใจได้ เมื่อมีการจัดพิมพ์แบบขาว - 黑
- 9) ขนาดของรูปต้องไม่ใหญ่เกินกว่าความกว้างของหน้ากระดาษที่กำหนดไว้
- 10) หากเป็นการคัดลอกรูปภาพมาจากที่อื่น ผู้เขียนควรมีการอ้างอิงแหล่งที่มาให้ถูกต้อง

6. รูปแบบการใส่ตารางในเนื้อหาบทความ

- 1) ชื่อตารางห้ามขึ้นต้นด้วยคำว่า “ແສດງ”
- 2) ตารางที่แสดงต้องมีคำอธิบายอยู่ในเนื้อหาบทความที่มีการระบุถึงตารางนั้น ๆ
- 3) คำอธิบายตาราง ให้เขียนไว้ด้านบนของตาราง โดยจัดคำอธิบายไว้ขึ้นด้านซ้ายของหน้ากระดาษ และตารางอยู่กึ่งกลางหน้ากระดาษ ควรจัดเนื้อหาตารางให้อยู่บนหน้าเดียวกัน กรณีที่ตารางมีความยาวเกินหน้ากระดาษ ให้ใส่ชื่อตาราง “ตารางที่ x” ไว้ที่ด้านบนของตารางในหน้าแรก และใส่ชื่อตาราง “ตารางที่ x (ต่อ)” ไว้ที่ด้านบนของตารางในหน้าลักษณะไป
- 4) ขนาดของตารางต้องไม่ใหญ่เกินกว่าความกว้างของหน้ากระดาษที่กำหนดไว้
- 5) การเว้นระยะบรรทัด ก่อนชื่อตาราง ให้เว้น 1 บรรทัด และหลังลิ้นสุดตาราง ให้เว้น 1 บรรทัด
- 6) การกำหนดเล้นขอบตาราง ให้กำหนดเฉพาะเล้นด้านบน และด้านล่างของบรรทัด ตั้งตัวอย่าง

ตารางที่ 1 ตัวอย่างการนำเสนอตาราง

Table Head	Table Column Head	
	Subhead (unit)	Subhead (unit)
xxx	123	456
xxx	321	654

7. รูปแบบการใส่สมการในเนื้อหาบทความ

- 1) จัดตำแหน่งของสมการไว้กึ่งกลางหน้ากระดาษ
- 2) พิมพ์สมการด้วยโปรแกรม MathType โดยใช้รูปแบบตัวอักษร Times New Roman ขนาด 11
- 3) ระบุเลขลำดับสมการโดยเขียนไว้ในวงเล็บ จัดตำแหน่งเลขสมการชิดขวาของหน้ากระดาษ เช่น
- 4) ทุกสมการต้องมีการอ้างถึงในเนื้อหา ให้ระบุเลขและเขียนไว้ในวงเล็บ เช่นเดียวกับที่ปรากฏในสมการ
- 5) การเว้นระยะบรรทัด ก่อนสมการ ให้เว้น 1 บรรทัด และหลังสมการ ให้เว้น 1 บรรทัด

$$y = ax + b \quad (1)$$

8. การดำเนินงานของกองบรรณาธิการ

- 1) ทุกบทความที่ล่งเข้าวารสาร ต้องลิ้งผ่านระบบออนไลน์ที่ <https://www.tci-thaijo.org/index.php/rmutijo/index> โดยดำเนินการสมัครสมาชิก และชำระค่าสมาชิกจำนวน 1,000 บาท ซึ่งจะมีอายุสมาชิก 1 ปี
- 2) บทความที่ถูกล่งเข้ามายังระบบ กองบรรณาธิการจะพิจารณาบทความเบื้องต้นเกี่ยวกับความถูกต้องของรูปแบบทั่วไป บทความที่ไม่ดำเนินการตามรูปแบบที่กำหนดจะไม่รับเข้าสู่กระบวนการพิจารณา โดยผู้ทรงคุณวุฒิ และจะส่งกลับเพื่อทำการแก้ไข ดังนั้น เพื่อให้เกิดความรวดเร็วในเข้าสู่กระบวนการพิจารณาผล ผู้เขียนควรดำเนินการจัดทำวารสารให้ถูกต้องตามรูปแบบที่กำหนดอย่างเคร่งครัด
- 3) เมื่อบทความผ่านการพิจารณาให้ดีพิมพ์ลงในวารสาร และผู้เขียนได้ดำเนินการจัดเตรียมเอกสารต่าง ๆ อย่างถูกต้อง ครบถ้วนตามข้อกำหนดของวารสารเป็นที่เรียบร้อยแล้ว ผู้เขียนจะได้รับหนังสือรับรองการตีพิมพ์บทความเพื่อเป็นการยืนยัน
- 4) หากทางวารสารตรวจสอบว่าบทความที่ถูกล่งเข้ามามีการคัดลอก หรือเผยแพร่ในที่อื่น ๆ ก่อนหน้า หรือมีการดำเนินการใด ๆ อันเป็นการกระทำที่ผิดจรรยาบรรณของนักวิจัย ทางวารสาร จะดำเนินการทำหนังสือแจ้งไปยังหน่วยงานด้านลังกัด และรับการพิจารณาและรับบทความจากผู้เขียน บทความนั้นเป็นระยะเวลาอย่างน้อย 5 ปี



หมายเลขอสมाचิก

.....

(สำหรับเจ้าหน้าที่)

แบบฟอร์มการสั่งบทความ
วารสาร มทร.อีสาน ฉบับวิทยาศาสตร์และเทคโนโลยี

วันที่.....

ข้าพเจ้า (นาย/นาง/นางสาว)

ระดับการศึกษาสูงสุด ตำแหน่งทางวิชาการ

หน่วยงาน

ที่อยู่ที่สามารถติดต่อได้สะดวก.....

โทรศัพท์..... โทรสาร..... โนมาย.....

e-mail.....

ขอส่ง บทความวิจัย บทความวิชาการ บทความจากวิทยานิพนธ์/สารนิพนธ์

ชื่อบทความ (ภาษาไทย)

.....
(ภาษาอังกฤษ)

ชื่อผู้เขียนร่วม

1.
2.
3.
4.

สาขาหลักของบทความ (กรุณาเลือก)

วิศวกรรมศาสตร์ ENG เกษตรศาสตร์ AGR สหวิทยาการวิทยาศาสตร์และเทคโนโลยีสิทธิ IG
สาขาวงของบทความ (สามารถเลือกได้มากกว่า 1 ช้อ)

- | | | |
|--|--|--|
| <input type="checkbox"/> ไฟฟ้า | <input type="checkbox"/> อิเล็กทรอนิกส์ | <input type="checkbox"/> คอมพิวเตอร์ |
| <input type="checkbox"/> สื่อสาร-โทรคมนาคม | <input type="checkbox"/> สัตวศาสตร์ | <input type="checkbox"/> ศิลปะและการออกแบบ |
| <input type="checkbox"/> วัสดุและโลหะ | <input type="checkbox"/> โยธา-สำรวจ | <input type="checkbox"/> ลิ้งแวดล้อม |
| <input type="checkbox"/> พลังงาน | <input type="checkbox"/> สถาปัตยกรรม | <input type="checkbox"/> พืชไร่ |
| <input type="checkbox"/> พิชสวน | <input type="checkbox"/> วิทยาศาสตร์การอาหาร | <input type="checkbox"/> ICT |
| <input type="checkbox"/> อุตสาหการ | <input type="checkbox"/> เคมี | <input type="checkbox"/> คณิตศาสตร์ |
| <input type="checkbox"/> สสติประยุกต์ | <input type="checkbox"/> เครื่องกล | <input type="checkbox"/> โภชนาศาสตร์ |
| <input type="checkbox"/> พลิกส์ | <input type="checkbox"/> อื่น ๆ | |

ขอเสนอชื่อผู้ทรงคุณวุฒิที่มีความเชี่ยวชาญในสาขาวิชาที่เกี่ยวข้อง

1. ชื่อ-สกุล ตำแหน่งทางวิชาการ.....

คุณวุฒิ..... สาขาวิชาที่เชี่ยวชาญ.....

หน่วยงานที่สังกัด.....

ที่อยู่สำหรับล่งเอกสาร.....

หมายเลขอรหัสพท..... Email.....

2. ชื่อ-สกุล ตำแหน่งทางวิชาการ.....

คุณวุฒิ..... สาขาวิชาที่เชี่ยวชาญ.....

หน่วยงานที่สังกัด.....

ที่อยู่สำหรับล่งเอกสาร.....

หมายเลขอรหัสพท..... Email.....

หมายเหตุ

1. ผู้ทรงคุณวุฒิต้องมีตำแหน่งทางวิชาการ ระดับ พศ. ขึ้นไป หรือจบการศึกษาระดับปริญญาเอก และต้องไม่สังกัดหน่วยงานเดียวกับผู้ประพันธ์

2. กองบรรณาธิการขอสงวนสิทธิ์ในการเป็นผู้พิจารณาคัดเลือกผู้ทรงคุณวุฒิเพื่อพิจารณาผลงานทางวิชาการ

3. เจ้าของบทความที่ผ่านการพิจารณาให้ตีพิมพ์ลงในวารสาร จะต้องสมัครสมาชิกวารสาร มทร.อีสาน อย่างน้อย 1 ปี เพื่อเป็นการยืนยันการตีพิมพ์บทความลงในวารสาร

ข้าพเจ้าได้รับทราบและยินดีปฏิบัติตามเงื่อนไขและข้อกำหนดดัง ฯ ในแบบฟอร์มแบบท้าย ซึ่งมีรายละเอียดอยู่ใน “คำแนะนำผู้เขียน” ที่ทางกองบรรณาธิการ วารสาร มทร.อีสาน ได้กำหนดขึ้น และยินดีให้กองบรรณาธิการมีสิทธิ์ที่จะไม่รับพิจารณา หากไม่ติดรูปแบบตามที่กำหนด ยินยอมให้มีสิทธิ์ในการเลือกสรรหาผู้กลั่นกรองโดยอิสระเพื่อพิจารณาต้นฉบับที่ข้าพเจ้า (และผู้แต่งร่วม) ล่วงมา ยินยอมให้กองบรรณาธิการสามารถตรวจสอบแก้ไขต้นฉบับดังกล่าวได้ตามที่เห็นสมควร และข้าพเจ้า “ขอรับรองว่า บทความนี้ไม่เคยลงตีพิมพ์ในวารสารใดมาก่อน ไม่อุยร์ร่าห่วงการพิจารณาจากวารสารอื่น และยินยอมว่าบทความที่ตีพิมพ์ลงในวารสารวิชาการมหาวิทยาลัยเทคโนโลยีราชมงคลอีสาน ถือเป็นลิขสิทธิ์ของมหาวิทยาลัยเทคโนโลยีราชมงคลอีสาน”

หากข้าพเจ้ามีความประสงค์ในการขอยกเลิกการพิจารณาบทความหลังจากวันที่ได้รับหนังสือยืนยันการรับบทความ ข้าพเจ้ายินดีรับผิดชอบค่าใช้จ่ายในการดำเนินงานที่มหาวิทยาลัยฯ ดำเนินการตามกระบวนการของวารสาร มทร.อีสาน ตามที่จ่ายจริง

ลงชื่อ.....

(.....)



หนังสือรับรองการตีพิมพ์บрошีร์
วารสาร มทร.อีสาน ฉบับวิทยาศาสตร์และเทคโนโลยี
มหาวิทยาลัยเทคโนโลยีราชมงคลอีสาน

ขอรับรองว่าบрошีร์.....

เรื่อง
.....

โดย
.....

ได้ผ่านการประเมินจากคณะกรรมการผู้ทรงคุณวุฒิ
และตีพิมพ์ในวารสาร มทร.อีสาน
ปีที่ ฉบับที่(.....-..... พ.ศ.)

(.....)

บรรณาธิการ วารสาร มทร.อีสาน ฉบับวิทยาศาสตร์และเทคโนโลยี
มหาวิทยาลัยเทคโนโลยีราชมงคลอีสาน



ใบสมัครสมาชิก¹
วารสาร มทร.อีสาน ฉบับวิทยาศาสตร์และเทคโนโลยี
มหาวิทยาลัยเทคโนโลยีราชมงคลอีสาน

หมายเลขอسمายิก

.....
(สำหรับเจ้าหน้าที่)

วันที่ล้มคําร.....

ข้าพเจ้า (นาย/นาง/นางสาว).....

ที่อยู่

.....โทรศัพท์.....

ออกใบเสร็จในนาม ชื่อ.....

ที่อยู่.....

มีความประสงค์เป็นสมาชิก

วารสารวิชาการ มหาวิทยาลัยเทคโนโลยีราชมงคลอีสาน (1 ปี มี 3 ฉบับ 1,000 บาท)

โดย สมัครเป็นสมาชิกใหม่ จำนวน ปี เริ่มตั้งแต่ปีที่ ฉบับที่

ต่ออายุสมาชิก จำนวน ปี เริ่มตั้งแต่ปีที่ ฉบับที่

พร้อมกันนี้ได้ส่งค่าสมาชิก จำนวน.....บาท

(ดัวอักษร).....

ซึ่งได้ชำระเงินผ่านทางบัญชีกองทุนสนับสนุนการวิจัย ธนาคารกรุงไทย สาขา.เทคโนโลยีราชมงคลอีสาน
นครราชสีมา ชื่อบัญชี “กองทุนสนับสนุนการวิจัย มทร.อีสาน” บัญชีออมทรัพย์ เลขที่ 980-9-74231-2

หมายเหตุ กรุณาร่วมให้คะแนนการจ่ายเงินและใบสมัครสมาชิก Majority สถาบันวิจัยและพัฒนาที่ E-mail : rmuti.journal@gmail.com พร้อมเขียนชื่อ-นามสกุล ให้ชัดเจน การสมัครสมาชิกจะมีผลสมบูรณ์ เมื่อทางวารสารได้มีการตรวจสอบเอกสารต่าง ๆ อย่างถูกต้องแล้วเท่านั้น

ลงชื่อ.....ผู้สมัคร

(.....)



หนังสือยืนยันการถอนบทความ
วารสาร มทร.อีสาน ฉบับวิทยาศาสตร์และเทคโนโลยี
มหาวิทยาลัยเทคโนโลยีราชมงคลอีสาน

ข้าพเจ้า (นาย/นาง/นางสาว).....

สังกัดหน่วยงาน

มีความประสงค์ขอถอนการพิจารณาบทความเรื่อง

ที่ได้ส่งเข้ามายังวารสาร มทร.อีสาน เมื่อวันที่ และยินยอม

รับผิดชอบค่าใช้จ่ายในการดำเนินการตามกระบวนการของวารสาร มทร.อีสาน เป็นจำนวนเงิน บาท

(.....) โดยชำระเงินผ่านทางบัญชีกองทุนสนับสนุนการวิจัย
ธนาคารกรุงไทย สาขาฯ.เทคโนโลยีราชมงคลอีสาน นครราชสีมา ชื่อบัญชี “กองทุนสนับสนุนการวิจัย
มทร.อีสาน” บัญชีออมทรัพย์ เลขที่ 980-9-74231-2

หมายเหตุ กรุณاسل่ำหลักฐานการชำระเงินและหนังสือยืนยันการถอนบทความ มายังสถาบันวิจัยและพัฒนาที่

E-mail : rmuti.journal@gmail.com พร้อมเชิญชื่อ-นามสกุล ให้ชัดเจน ข้อมูลการชำระเงิน
จะมีผลสมบูรณ์ เมื่อทางวารสารได้มีการตรวจสอบเอกสารต่าง ๆ อย่างถูกต้องแล้วเท่านั้น

ลงชื่อ.....ผู้ถอนบทความ
(.....)



RMUTI
ราชมงคลอีสาน



RMUTI JOURNAL

Science and Technology

VOL. 14 No. 1 January - April 2021



Institute of Research and Development

Rajamangala University of Technology Isan
744 Suranarai Road, Meuang, Nakhon Ratchasima 30000, Thailand
Tel. (66) 4423 3063 Fax. (66) 4423 3064
E-mail : rmuti.journal@gmail.com <http://ird.rmuti.ac.th/2015>